

CEPEL

Centro de Pesquisas de Energia Elétrica

## **Modelo DESSEM**

**Programação Diária da Operação e Formação de Preço Horário de  
Sistemas Hidrotérmicos com Representação Detalhada das  
Unidades Geradoras, Fontes Intermitentes, Consideração da Rede  
Elétrica e Restrições de Segurança**

## **MANUAL DE METODOLOGIA**

Versão 21  
Março / 2025

## ÍNDICE

<b>PARTE I – INTRODUÇÃO .....</b>	<b>1</b>
<b>1 O MODELO DESSEM.....</b>	<b>2</b>
1.1 Objetivo e Aplicações do DESSEM.....	4
1.2 Formulação e Resolução do Problema.....	5
1.3 Funcionalidades.....	6
1.4 Principais Resultados.....	6
1.5 Documentação .....	7
<b>2 PROBLEMA DE PROGRAMAÇÃO DIÁRIA DA OPERAÇÃO .....</b>	<b>8</b>
<b>3 PLANEJAMENTO DA OPERAÇÃO HIDROTÉRMICA .....</b>	<b>10</b>
3.1 Critérios para o Planejamento .....	11
3.2 Custo de Operação .....	12
3.3 Valor da água.....	12
<b>PARTE II - REPRESENTAÇÃO TEMPORAL .....</b>	<b>13</b>
<b>4 HORIZONTE DE ESTUDO E DISCRETIZAÇÃO TEMPORAL.....</b>	<b>14</b>
4.1 Períodos semi-horários .....	15
4.2 Patamares cronológicos .....	15
4.3 Horário de verão.....	16
4.4 Ano Bissexto .....	16
4.5 Representação de cenários .....	16
<b>5 ACOPLAMENTO COM O PLANEJAMENTO A CURTO PRAZO (DECOMP).....</b>	<b>17</b>
5.1 Etapas de planejamento da Operação no Brasil .....	17
5.2 Integração do DESSEM com os modelos DECOMP e NEWAVE.....	18
5.2.1 Acoplamento via função de custo futuro do DECOMP.....	19
5.3 Acoplamento por metas operativas.....	19
5.3.1 Acoplamento por metas semanais de geração térmica ou intercâmbios .....	19
5.3.2 Acoplamento por metas de armazenamento mínimo no final do horizonte de estudo..	20

---

<b>6</b>	<b>ACOPLAMENTO COM O PLANEJAMENTO A MÉDIO PRAZO (NEWAVE).....</b>	<b>21</b>
6.1	Conversão dos dados do NEWAVE para o DESSEM .....	21
6.2	Realização de simulações horárias com o DESSEM para várias séries / períodos....	22
<b>PARTE III – COMPONENTES DO SISTEMA: CARACTERÍSTICAS E RESTRIÇÕES FÍSICAS</b>		<b>23</b>
<b>7</b>	<b>SUBMERCADOS .....</b>	<b>24</b>
7.1	Submercados / Subsistemas .....	25
7.1.1	Submercados (nós) fictícios .....	25
7.2	Intercâmbios.....	26
7.3	Atendimento à demanda por submercado.....	26
7.4	Restrição de transporte entre Itaipu 50 e 60 Hz e os submercados SU/SE .....	27
7.5	Modelagem de Elos HVDC (Corrente contínua).....	27
<b>8</b>	<b>CONTRATOS DE IMPORTAÇÃO/EXPORTAÇÃO (COMERCIALIZAÇÃO) DE ENERGIA COM OUTROS SISTEMAS.....</b>	<b>29</b>
<b>9</b>	<b>USINAS HIDRELÉTRICAS .....</b>	<b>30</b>
9.1	Dados de Cadastro .....	31
9.2	Usinas a fio d'água e reservatórios de regularização .....	32
9.3	Topologia hidráulica .....	32
9.4	Reservatórios.....	33
9.4.1	Cálculo da cota de montante do reservatório .....	34
9.4.2	Cálculo da área do espelho d'água .....	35
9.5	Vertedouros.....	36
9.6	Desvios de água.....	36
9.6.1	Soleira para desvio .....	37
9.7	Casa de Força.....	37
9.8	Usinas Elevatórias (estações de bombeamento) .....	38
9.8.2	Usinas elevatórias entre dois rios diferentes (ciclo aberto) .....	40
9.8.3	Usinas hidrelétricas reversíveis (ciclo fechado) .....	41
9.9	Canais entre reservatórios .....	42
9.10	Seções de Rio.....	45
9.10.1	Polinômio cota X vazão (curva-chave) da seção .....	46

---

9.10.2	Seção de rio da Régua 11 .....	46
9.11	Limites físicos para as variáveis das usinas .....	47
9.12	Balanço hídrico nos reservatórios .....	47
9.13	Tempo de viagem da água .....	48
9.13.1	Tempo de viagem da água por translação simples .....	48
9.13.2	Curva de propagação da água .....	49
9.13.3	Acoplamento com o final do horizonte de estudo .....	50
9.14	Evaporação .....	53
9.14.1	Cálculo exato da evaporação .....	53
9.14.2	Aproximação linear para a evaporação .....	54
9.14.3	Acurácia da aproximação para a evaporação .....	55
9.15	Função de produção hidrelétrica .....	55
9.15.1	Energia Potencial para geração hidrelétrica .....	56
9.15.2	Cálculo da altura de queda bruta .....	56
9.15.3	Polinômio por partes para a cota do canal de fuga .....	56
9.15.4	Influência do remanso na cota do canal de fuga .....	57
9.15.5	Afogamento do canal de fuga .....	59
9.15.6	Influência de vazões laterais na cota do canal de fuga .....	60
9.15.7	Produtibilidade Específica .....	62
9.15.7.1	Produtibilidade específica das usinas por meio de fator constante .....	62
9.15.7.2	Produtibilidade específica variável com a vazão e a altura de queda .....	63
9.15.8	Perdas hidráulicas nos condutos .....	63
9.15.8.1	Perdas hidráulicas por meio de fatores .....	63
9.15.8.2	Perdas hidráulicas em função da vazão turbinada .....	64
9.15.9	Cálculo da altura de queda líquida .....	65
9.15.10	Expressão exata da função de produção (FPH) .....	66
9.15.11	Modelagem linear por partes multidimensional da função de produção hidrelétrica aproximada (FPHA) .....	68
9.15.12	Acurácia da aproximação para a função de produção .....	73
9.16	Engolimento máximo das turbinas .....	73
9.16.1	Cálculo do engolimento máximo para construção da FPHA .....	75
9.16.2	Cálculo do engolimento máximo para limite de variável no PL/MILP .....	75
9.17	Unit Commitment Hidráulico .....	76

---

9.17.1	Status das unidades geradoras hidrelétricas ligada ou desligada .....	77
9.17.2	Status das unidades geradores hidrelétricas em vazio.....	77
9.17.3	Inequação de composição das unidades geradoras hidrelétricas .....	77
9.17.4	Turbinamento e geração das unidades geradoras hidrelétricas .....	78
9.17.5	Equação de composição de turbinamento e geração das unidades geradoras hidrelétricas .....	78
9.17.6	Turbinamento mínimo e máximo (enquanto ligadas) das unidades geradoras hidrelétricas .....	79
9.17.7	Geração mínima e máxima (enquanto ligadas) das unidades geradoras hidrelétricas....	79
9.17.8	Tempo mínimo ligada e desligada das Unidades Geradores Hidrelétricas .....	79
9.17.9	Custo de Partida.....	79
9.17.10	Número máximo de mudanças de estado para operando em vazio.....	80
9.17.11	Consumo de água para operação em vazio .....	81
<b>10</b>	<b>USINAS TERMELÉTRICAS.....</b>	<b>82</b>
10.1	Unit Commitment das usinas e unidades termoelétricas convencionais.....	82
10.1.1	Variáveis referentes ao status e geração das unidades geradoras .....	82
10.1.2	Geração térmica mínima das unidades geradoras .....	82
10.1.3	Mínimo tempo ligada e desligada ( <i>up/down times</i> ).....	83
10.1.4	Trajetórias de acionamento e desligamento das unidades térmicas e Restrição de geração térmica entre a mínima e a máxima .....	84
10.1.5	Restrição de geração térmica fixa no mínimo ou no máximo, e número máximo de oscilações entre estes valores.....	87
10.1.6	Rampa para tomada/alívio de carga .....	88
10.2	Operação de usinas térmicas a ciclo combinado (UTCC).....	89
10.2.1	Restrição de unicidade de acionamento.....	91
10.2.2	Transição entre unidades equivalentes .....	91
10.3	Usinas térmicas a ciclo simples dependentes.....	91
10.3.1	Manutenção de unidades "reais" .....	91
10.4	Usinas termoelétricas a GNL .....	92
<b>11</b>	<b>USINAS EÓLICAS .....</b>	<b>93</b>
11.1	Cenários/previsão de geração eólica .....	93
11.2	Modelagem da geração eólica no problema de otimização.....	94

---

<b>12</b>	<b>GERAÇÕES NÃO DESPACHADAS CENTRALIZADAMENTE .....</b>	<b>95</b>
12.1	Pequenas usinas .....	95
12.2	Usinas fotovoltaicas .....	95
<b>13</b>	<b>ARMAZENAMENTO DE ENERGIA .....</b>	<b>96</b>
13.1	Limites mínimo e máximo de armazenamento .....	96
13.2	Limites para a carga/descarga da bateria .....	97
13.3	Balanco de carga da bateria, com perdas .....	97
<b>14</b>	<b>RESPOSTA DA DEMANDA .....</b>	<b>98</b>
<b>15</b>	<b>REDE ELÉTRICA .....</b>	<b>99</b>
15.1	Área de Controle .....	99
15.2	Componentes da rede .....	99
15.3	Conexão das injeções na rede .....	99
15.4	Ilhas Elétricas .....	99
15.4.1	Identificação das ilhas .....	100
15.4.1	Identificação dos desligamentos que provocam ilhas .....	100
15.4.1.1	Desligamentos de linhas que provocam a ocorrência de ilhas .....	100
15.4.1.2	Desligamentos de barras que provocam a ocorrência de ilhas .....	101
15.4.2	Verificação do balanço de carga na ilha previamente ao problema de otimização.....	102
15.4.2.1	Verificação do excesso de geração obrigatória em relação à carga na ilha	103
15.4.2.2	Verificação da insuficiência da capacidade de geração em relação à carga na ilha	103
15.4.3	Tratamento no problema de Otimização.....	104
15.5	Atendimento à demanda por barra .....	105
15.6	Atendimento à demanda por ilha elétrica .....	106
15.7	Fluxo de potência DC.....	107
15.8	Modelagem das perdas nas linhas .....	108
15.8.1	Expressão teórica .....	108
15.8.2	Aproximação linear por partes para as perdas.....	109
	<b>PARTE IV – FUNÇÕES DE CUSTO .....</b>	<b>111</b>
<b>16</b>	<b>CUSTOS DE OPERAÇÃO.....</b>	<b>112</b>

---

16.1	Custo de geração termoelétrica .....	112
16.2	Custos de partida/parada de unidades térmicas .....	112
16.3	Custo de energia importada/exportada .....	113
<b>17</b>	<b>CUSTO DE DÉEFICIT .....</b>	<b>114</b>
17.1	Função linear por partes do custo de déficit .....	114
17.2	Modelagem do custo de déficit no problema de otimização .....	114
17.3	Corte de carga na presença de restrições da rede elétrica .....	115
<b>18</b>	<b>CUSTO FUTURO .....</b>	<b>116</b>
18.1	Acoplamento com a Função de Custo Futuro do DECOMP .....	116
18.1.2	Ajuste nos valores da água nos cortes da FCF do DECOMP .....	118
<b>19</b>	<b>PENALIDADES ELEVADAS DE VIOLAÇÕES DE RESTRIÇÕES .....</b>	<b>121</b>
19.1	Formulação matemática das variáveis de folga nas restrições .....	121
19.2	Tipos de restrições quanto à factibilidade de violação na prática.....	123
19.2.1	Restrições físicas .....	123
19.2.2	Restrições operativas .....	123
19.3	Unidade de medida das restrições no problema .....	124
19.4	Penalidade para violação das restrições operativas .....	125
19.4.1	Determinação de valores de referência para as penalidades .....	125
19.4.2	Valor inicial para as penalidades, com base nos valores de referência .....	126
19.4.3	Fator adicional aplicado à penalidade de violação das restrições.....	126
19.4.4	Aplicação do valor de penalidade às restrições.....	127
19.5	Penalidades para violação de restrições físicas .....	127
19.6	Restrições com tratamento especial para a penalidade de violação .....	128
19.6.1	Custo de violação de restrições de limites de fluxo na rede elétrica .....	128
19.6.2	Custo de déficit em casos com rede .....	128
19.6.3	Custo de violação das restrições de meta .....	129
<b>20</b>	<b>PENALIZAÇÕES PEQUENAS DE “UTILIZAÇÃO” DE VARIÁVEIS .....</b>	<b>130</b>
20.1	Penalidade de vertimento .....	130
20.2	Penalidades de turbinamento .....	130
20.3	Penalidades de intercâmbio .....	130

---

20.4	Relação entre as penalidades e valores <i>default</i> aplicados .....	130
<b>PARTE V – RESTRIÇÕES OPERATIVAS.....</b>		<b>132</b>
<b>21</b>	<b>RESTRIÇÕES OPERATIVAS SISTÊMICAS.....</b>	<b>133</b>
21.1	Reserva de potência .....	133
21.1.1	Reserva de potência individual, por usina hidrelétrica ou térmica;.....	133
21.1.2	Reserva de potência por área de controle.....	133
21.1.3	Reserva disponível devido ao engolimento máximo e restrições elétricas.....	134
21.1.4	Acurácia da aproximação para a restrição de reserva.....	135
21.1.4.1	Ocorrência de reserva negativa devido a desvios na função de produção 135	
21.1.4.2	Ocorrência de reserva negativa devido a desvios de resultados entre a penúltima e a última resolução do problema.....	137
21.2	Restrições elétricas especiais .....	138
21.3	Restrições de meta de geração térmica ou intercâmbio .....	140
<b>22</b>	<b>RESTRIÇÕES OPERATIVAS DA REDE ELÉTRICA .....</b>	<b>141</b>
22.1	Restrições de limites de fluxo nas linhas.....	141
22.2	Restrições de limites no somatório de fluxo nas linhas (restrições de segurança estáticas).....	141
22.3	Restrições de segurança elétrica (DREF) ou restrições elétricas especiais (RE) dinâmicas por tabela .....	142
22.4	Restrições de segurança dinâmicas lineares por partes (LPP).....	144
22.5	Restrições de reserva de potência elétrica para as inequações de fluxo .....	145
22.6	Rampa para variação nos fluxos dos circuitos .....	145
<b>23</b>	<b>RESTRIÇÕES OPERATIVAS HIDRÁULICAS.....</b>	<b>146</b>
23.1	Retiradas de água para outros usos .....	146
23.2	Enchimento de volume morto .....	146
23.3	Variação Máxima de cota em seções de rio (ex: Régua 11) .....	146
23.3.1	Restrições de variação máxima horária .....	148
23.3.2	Restrições de variação máxima diária .....	150
23.4.2	Verificação do atendimento às restrições de variação de variação de cota .....	152
23.5	Volume de espera para controle de cheias.....	153

---

23.6	Restrições de vazão máxima no canal.....	154
23.7	Restrições operativas de Limite instantâneas.....	154
23.7.1	Restrições hidráulicas de nível (cota) de armazenamento.....	154
23.7.2	Restrições de volume armazenado.....	156
23.7.3	Restrições de vazão.....	157
23.7.4	Restrições de geração.....	157
23.8	Restrições operativas de Limite médias por dia civil ou semana operativa.....	158
23.8.1	Restrições operativas de vazão média diárias.....	159
23.8.2	Restrições operativas de geração média diária.....	161
23.8.3	Restrições operativas de vazão e geração média semanais.....	162
23.9	Restrições operativas de variação instantâneas.....	163
<b>24</b>	<b>RESTRICÇÕES OPERATIVAS GENÉRICAS.....</b>	<b>164</b>
24.1	Restrições operativas de Limite.....	164
24.2	Restrições operativas de Variação.....	164
<b>25</b>	<b>MANUTENÇÃO DE UNIDADES GERADORAS.....</b>	<b>165</b>
25.1	Manutenção de unidades geradoras hidrelétricas.....	165
25.2	Manutenção de estações de bombeamento.....	165
25.3	Manutenção de unidades geradoras termoelétricas.....	165
	<b>PARTE VI - ESTRATÉGIA DE SOLUÇÃO.....</b>	<b>166</b>
<b>26</b>	<b>ESTRATÉGIA DE SOLUÇÃO DO PROBLEMA POR PROGRAMAÇÃO LINEAR INTEIRA-MISTA (MILP).....</b>	<b>167</b>
26.1	Processo iterativo de resolução da rede elétrica.....	167
26.2	Seleção de cortes da função da produção hidrelétrica.....	168
26.3	Processos iterativos de inclusão e ajuste de restrições.....	169
26.4	Tipos de Problemas resolvidos.....	170
26.5	Estratégia geral de solução.....	170
26.6	Verificação da viabilidade da solução.....	172
<b>27</b>	<b>EFICIENTIZAÇÃO E INTERAÇÃO COM O SOLVER PARA A RESOLUÇÃO DO PL/MILPS.....</b>	<b>174</b>
27.1	Aplicação de crossover nos PLs.....	174

---

27.2	Algoritmo primal simplex aproximativo para os PLs.....	175
27.3	Desigualdades válidas para o MILP .....	175
27.4	Simetria para o MILP .....	175
27.5	Fluxograma de resolução dos PLs .....	175
27.6	Fluxograma de resolução dos MILPs.....	177
27.7	Fluxograma de resolução dos PLs com UCT fixo .....	177
<b>28</b>	<b>CÁLCULO DO CUSTO MARGINAL DE OPERAÇÃO (CMO) .....</b>	<b>179</b>
28.1	Cálculo do custo marginal em cada barra (CMB).....	179
28.2	Cálculo do custo marginal do submercado (CMO) .....	180
<b>29</b>	<b>Referências .....</b>	<b>181</b>

## **NOMENCLATURA**

### **Dimensões**

<i>NAC:</i>	Número de áreas de controle para fins de reserva de potência;
<i>NCI:</i>	número de contratos de importação definidos nos registros CI;
<i>NCE:</i>	número de contratos de exportação definidos nos registros CE;
<i>nc<sub>j</sub><sub>i</sub>:</i>	número de conjuntos de máquinas da usina hidrelétrica <i>i</i> ;
<i>NEB:</i>	número de estações de bombeamento;
<i>NEOL:</i>	número de usinas eólicas no sistema;
<i>NH:</i>	número de usinas hidrelétricas;
<i>nh<sub>i</sub>:</i>	número de unidades geradoras da usina hidrelétrica <i>i</i> ;
<i>nmq<sub>i,j</sub>:</i>	número de máquinas no conjunto <i>j</i> da usina hidrelétrica <i>i</i> ;
<i>NINT:</i>	número de intercâmbios entre submercados;
<i>NSOLAR:</i>	número de usinas solares no sistema;
<i>NT:</i>	número de usinas térmicas;
<i>nt<sub>i</sub>:</i>	número de unidades geradoras da usina termoelétrica <i>i</i> ;
<i>NTCC:</i>	número de usinas térmicas a ciclo combinado;
<i>NPQ:</i>	número de pequenas usinas, definidas nos registros PQ;
<i>NS:</i>	número de submercados, definidos nos registros SIST;
<i>T:</i>	número de períodos de tempo;
<i>NRE:</i>	número de restrições elétricas especiais;
<i>NSC:</i>	número de restrições de somatório de fluxos (restrições de segurança).

### **Conjuntos**

<i>ACH<sub>i</sub>:</i>	conjunto de usinas hidrelétricas na área de controle <i>i</i> ;
<i>ACT<sub>i</sub>:</i>	conjunto de usinas térmicas na área de controle <i>i</i> ;

---

$ACI_i$ :	conjunto de intercâmbios que contribuem para a reserva na área de controle $i$ ;
$Ch_i$ :	conjunto de reservatórios de usinas que se conectam à usina $i$ por meio de um canal;
$J_{eb_i}$ :	conjunto de estações elevatórias que tem a usina $i$ como jusante;
$M_i$ :	conjunto de usinas à montante da usina $i$ ;
$M_{eb_i}$ :	conjunto de estações elevatórias que possuem a usina $i$ como montante;
$M_{tv_i}$ :	conjunto de usinas à montante da usina $i$ com tempo de viagem da água até $i$ ;
$M_{dv_i}$ :	conjunto de usinas que desviam água para a usina $i$ ;
$M_{sr_i}$ :	conjunto de usinas à montante da seção de rio $i$ ;
$\Omega_{BCE_i}$ :	conjunto de contratos de exportação conectados à barra $i$ ;
$\Omega_{BCI_i}$ :	conjunto de contratos de importação conectados à barra $i$ ;
$\Omega_{BEB_i}$ :	conjunto de usinas de bombeamento conectados à barra $i$ ;
$\Omega_{BEOL_k}$ :	conjunto de usinas eólicas conectados à barra $i$ ;
$\Omega_{BG_i}$ :	conjunto de todos os elementos de injeção de potência (unidades geradoras hidrelétricas, usinas termelétricas, contatos de importação, etc) que injetam carga na barra $i$ ;
$\Omega_{BH_i}$ :	conjunto de usinas hidrelétricas conectadas à barra $i$ ;
$\Omega_{BG_i}$ :	conjunto de todos os elementos de carga (cargas fixas, cargas interruptíveis) conectadas à barra $i$ ;
$\Omega_{BPQ_i}$ :	conjunto de pequenas usinas conectadas à barra $i$ ;
$\Omega_{BSOL_k}$ :	conjunto de usinas solares conectados à barra $i$ ;
$\Omega_{BT_i}$ :	conjunto de usinas térmicas conectados à barra $i$ ;
$\Omega_{CC_j}$ :	conjunto de unidades geradoras térmicas (equivalentes) que pertencem à usina térmica a ciclo combinado $i$ ;
$\Omega_{Ilh_b_i}$ :	conjunto de barras pertencentes à ilha elétrica $i$ ;
$\Omega_{Ilh_{CE_i}}$ :	conjunto de contratos de exportação da ilha elétrica $i$ ;

---

$\Omega_{IlhCI_i}$	conjunto de contratos de importação da ilha elétrica $i$ ;
$\Omega_{IlhEb_i}$	conjunto de usinas de bombeamento da ilha elétrica $i$ ;
$\Omega_{IlhEol_i}$	conjunto de usinas eólicas da ilha elétrica $i$ ;
$\Omega_{IlhH_i}$	conjunto de unidades geradoras hidrelétricas da ilha elétrica $i$ ;
$\Omega_{IlhH_i}$	conjunto de usinas hidrelétricas da ilha elétrica $i$ ;
$\Omega_{IlhPQ_i}$	conjunto de pequenas usinas da ilha elétrica $i$ ;
$\Omega_{IlhSol_i}$	conjunto de usinas solares da ilha elétrica $i$ ;
$\Omega_{IlhT_i}$	conjunto de unidades geradoras térmicas da ilha elétrica $i$ ;
$\Omega_{IlhT_i}$	conjunto de usinas térmicas da ilha elétrica $i$ ;
$\Omega_{Subm_b_i}$	conjunto de barras pertencentes ao submercado $i$ ;
$\Omega_{SubmCE_i}$	conjunto de contratos de exportação do submercado $i$ ;
$\Omega_{SubmCI_i}$	conjunto de contratos de importação do submercado $i$ ;
$\Omega_{SubmEb_i}$	conjunto de usinas de bombeamento do submercado $i$ ;
$\Omega_{SubmEol_i}$	conjunto de usinas eólicas do submercado $i$ ;
$\Omega_{SubmH_i}$	conjunto de usinas hidrelétricas do submercado $i$ ;
$\Omega_{SubmI_i}$	conjunto de submercados diretamente conectados ao submercado $i$ ;
$\Omega_{SubmPQ_i}$	conjunto de pequenas usinas do submercado $i$ ;
$REH_i$	conjunto de usinas hidrelétricas pertencentes à restrição elétrica $i$ ;
$RET_i$	conjunto de usinas térmicas pertencentes à restrição elétrica $i$ ;
$REI_i$	conjunto de intercâmbios pertencentes à restrição elétrica $i$ ;
$RECI_i$	conjunto de contratos de importação pertencentes à restrição elétrica $i$ ;
$RECE_i$	conjunto de contratos de exportação pertencentes à restrição elétrica $i$ ;
$REEO_i$	conjunto de usinas eólicas pertencentes à restrição elétrica $i$ ;

- $RESO_i$ : conjunto de usinas solares/fotovoltaicas pertencentes à restrição elétrica  $i$ ;
- $RHN_{p_i}$ : conjunto de usinas que compõem a  $i$ -ésima restrição hidráulica de limite de nível instantânea;
- $RHV_{p_i}$ : conjunto de usinas que compõem a  $i$ -ésima restrição hidráulica de limite de volume instantânea;
- $RHQ_{PAFL_i}$ : conjunto de usinas hidrelétricas cuja afluência participa da  $i$ -ésima restrição hidráulica de vazão instantânea;
- $RHQ_{PQ_i}$ : conjunto de usinas elevatórias cujo bombamento participa da  $i$ -ésima restrição hidráulica de vazão instantânea;
- $RHQ_{PDef_i}$ : conjunto de usinas hidrelétricas cujo desvio participa da  $i$ -ésima restrição hidráulica de vazão instantânea;
- $RHQ_{PDvi}$ : conjunto de usinas hidrelétricas cuja defluência participa da  $i$ -ésima restrição hidráulica de vazão instantânea;
- $RHQ_{PT_i}$ : conjunto de usinas hidrelétricas cujo turbinamento participa da  $i$ -ésima restrição hidráulica de vazão instantânea;
- $RHQ_{PS_i}$ : conjunto de usinas hidrelétricas cujo vertimento participa da  $i$ -ésima restrição hidráulica de vazão instantânea;
- $SCB_i$ : conjunto de barras que pertencem à restrição de segurança  $i$ ;
- $SCL_i$ : conjunto de linhas que pertencem à restrição de segurança  $i$ .

#### **Dados e Parâmetros de entrada**

- $a_{acj_i}$ : coeficiente de ordem  $j$  do polinômio área-cota da usina hidrelétrica  $i$ ;
- $a_{cvj_i}$ : coeficiente de ordem  $j$  do polinômio cota-volume da usina hidrelétrica  $i$ ;
- $\underline{Afl}_i^t$ : restrição operativa de limite inferior de afluência, para a usina hidrelétrica  $i$  e período  $t$ ;
- $\overline{Afl}_i^t$ : restrição operativa de limite superior de afluência, para a usina hidrelétrica  $i$  e período  $t$ ;
- $b_i$ : susceptância da linha  $i$ ;
- $B$ : matriz de susceptância da rede elétrica;
- $\beta_{tdesc}$ : taxa de desconto utilizada pelo modelo DECOMP, utilizada para descontar o custo futuro;

---

$cdefc_{i,k}^t$ :	custo incremental de déficit para o submercado $i$ , segmento $k$ e período $t$ ;
$ce_{vi_j}$ :	coeficiente de evaporação (mm/mês) no mês civil $j$ , para a usina hidrelétrica $i$ ;
$ce_i^t$ :	preço de venda por unidade de energia, para o contrato de exportação $i$ e período $t$ ;
$ci_i^t$ :	preço de compra por unidade de energia, para o contrato de importação $i$ e período $t$ ;
$ct_i^t$ :	custo incremental (linear) de geração da unidade térmica $i$ , no período $t$ ;
$d_{bus_i}^t$	demanda na barra $i$ , no período $t$ ;
$D_{subm_i}^t$	demanda no submercado $i$ , no período $t$ ;
$\Delta_t$ :	duração de cada período $t$ ;
$C_i^{cold}$ :	custo fixo de partida da unidade térmica $i$ (dado cadastral);
$Cons_{EB_i}$ :	consumo específico (MW/(m <sup>3</sup> /s)) da estação de bombeamento $i$ ;
$C_i^{shut}$ :	custo fixo de parada da unidade térmica $i$ (dado cadastral);
$C_i^{shut}$ :	custo fixo de parada da unidade térmica $i$ (dado cadastral);
$\underline{Defl}_i^t$	restrição operativa de limite inferior de defluência, para a usina hidrelétrica $i$ e período $t$ ;
$\overline{Defl}_i^t$ :	restrição operativa de limite superior de defluência, para a usina hidrelétrica $i$ e período $t$ ;
$\overline{\Delta Afl}^{+t}$ :	variação máxima horária positiva para a afluência à usina hidrelétrica $i$ , no período $t$ ;
$\overline{\Delta Afl}^{-t}$	variação máxima horária negativa para afluência à usina hidrelétrica $i$ , no período $t$ ;
$\overline{\Delta Defl}^{+t}$ :	variação máxima horária positiva para a defluência à usina hidrelétrica $i$ , no período $t$ ;
$\overline{\Delta Defl}^{-t}$	variação máxima horária negativa para a defluência à usina hidrelétrica $i$ , no período $t$ ;
$\overline{\Delta GH}^{+t}$ :	variação máxima horária positiva para a geração da usina hidrelétrica $i$ , no período $t$
$\overline{\Delta GH}^{-t}$	variação máxima horária negativa para a geração da usina hidrelétrica $i$ , no período $t$ ;
$\overline{\Delta GT}^{+t}$ :	variação máxima horária positiva para a geração da usina térmica $i$ , no período $t$ ;

---

$\overline{\Delta GT^{-t}}$	variação máxima horária negativa para a geração da usina térmica $i$ , no período $t$ ;
$\overline{\Delta h^{+t}}$ :	variação máxima horária positiva para a cota de montante da usina hidrelétrica $i$ , no período $t$ ;
$\overline{\Delta h^{-t}}$	variação máxima horária negativa para a cota de montante da usina hidrelétrica $i$ , no período $t$ ;
$\overline{\Delta Q^{+t}}$ :	variação máxima horária positiva para o turbinamento da usina hidrelétrica $i$ , no período $t$ ;
$\overline{\Delta Q^{-t}}$	variação máxima horária negativa para o turbinamento da usina hidrelétrica $i$ , no período $t$ ;
$\overline{\Delta Q_b^{+t}}$ :	variação máxima horária positiva para a vazão bombeada da estação de bombeamento $i$ , no período $t$ ;
$\overline{\Delta Q_b^{-t}}$	variação máxima horária negativa para a vazão bombeada da estação de bombeamento $i$ , no período $t$ ;
$\overline{\Delta S^{+t}}$ :	variação máxima horária positiva para o vertimento da usina hidrelétrica $i$ , no período $t$ ;
$\overline{\Delta S^{-t}}$	variação máxima horária negativa para o vertimento da usina hidrelétrica $i$ , no período $t$ ;
$\overline{\Delta V^{+t}}$ :	variação máxima horária positiva para o volume da usina hidrelétrica $i$ , no período $t$ ;
$\overline{\Delta V^{-t}}$	variação máxima horária negativa para o volume da usina hidrelétrica $i$ , no período $t$ ;
$\overline{\Delta h_{SR_i}^h}$ :	variação máxima horária no nível da seção de rio $i$ ;
$\overline{\Delta h_{SR_i}^d}$ :	variação máxima diária no nível da seção de rio $i$ ;
$\overline{\Delta SC_i^t}$ :	rampa máxima de acréscimo no valor da restrição de segurança $i$ , para o período $t$ ;
$\overline{\Delta SC_i^t}$ :	rampa máxima de decréscimo no valor da restrição de segurança $i$ , para o período $t$ ;
$\overline{Eci_i^t}$ :	limite inferior de energia comprada para o contrato de importação $i$ , no período $t$ ;
$\overline{Eci_i^t}$ :	limite superior de energia comprada para o contrato de importação $i$ , no período $t$ ;
$\overline{Ece_i^t}$ :	limite inferior de energia vendida para o contrato de exportação $i$ , no período $t$ ;

---

$\overline{Ece}_i^t$ :	limite superior de energia vendida para o contrato de exportação $i$ , no período $t$ ;
$Ece_{p_{min}_i}^t$ :	limite inferior da restrição operativa instantânea para a energia vendida no contrato de exportação $i$ , para o período $t$ ;
$Ece_{p_{max}_i}^t$ :	limite superior da restrição operativa instantânea para a energia vendida no contrato de exportação $i$ , para o período $t$ ;
$Eci_{p_{min}_i}^t$ :	limite inferior da restrição operativa instantânea para a energia comprada no contrato de importação $i$ , para o período $t$ ;
$Eci_{p_{max}_i}^t$ :	limite superior da restrição operativa instantânea para a energia comprada no contrato de importação $i$ , para o período $t$ ;
$fr_i$ :	índice da barra de origem da linha $i$ ;
$g_{bus_{max}_i}^t$ :	geração máxima da barra $i$ , no período $t$ , levando em consideração capacidades físicas e aspectos operativos dos componentes de geração na barra no período correspondente;
$g_{bus_{min}_i}^t$ :	geração mínima da barra $i$ , no período $t$ , levando em consideração aspectos operativos dos componentes de geração na barra no período correspondente;
$g_i$ :	condutância da linha $i$ ;
$G_{eol_i}^t$ :	geração da usina eólica $i$ , no período $t$ ;
$\overline{gh}_i$ :	geração máxima da $j$ -ésima unidade geradora da usina hidrelétrica $i$ ;
$\overline{GH}_i^t$ :	geração máxima da usina hidrelétrica $i$ , calculada em função da capacidade e disponibilidade de suas unidades geradoras;
$G_{pq_i}^t$ :	geração da pequena usina $i$ , no período $t$ ;
$G_{solar_i}^t$ :	geração da usina solar $i$ , no período $t$ ;
$\underline{gt}_i$ :	geração mínima (uma vez acionada) da unidade térmica $i$ ;
$\overline{gt}_i$ :	geração máxima de cadastro da unidade térmica $i$ ;
$\overline{GT}_i^t$ :	geração máxima da usina térmica $i$ , calculada em função da capacidade e disponibilidade de suas unidades geradoras;
$h_{inf_i}^t$ :	restrição operativa de limite inferior de cota de montante, para a usina hidrelétrica $i$ , no período $t$ ;

---

$h_{sup}_i^t$ :	restrição operativa de limite superior de cota de montante, para a usina hidrelétrica $i$ , no período $t$ ;
$h_{perdas}_i$ :	perdas na altura de queda da usina hidrelétrica $i$ , quando dada em metros;
$I_i^t$ :	vazão natural afluente incremental à usina hidrelétrica $i$ , no período $t$ ;
$\overline{Int}_{ij}^t$ :	capacidade de intercâmbio do submercado $i$ para o submercado $j$ , no período $t$ ;
$J_{EB}_i$ :	índice da usina hidrelétrica à jusante da estação elevatória $i$ ;
$\kappa_{manut_{E}_i}^t$ :	fator de manutenção (em p.u.) de cada usina elevatória $i$ , no período $t$ ;
$\kappa_{manut_{h}_i}^t$ :	fator de manutenção (em p.u.) de cada unidade geradora hidrelétrica $i$ no período $t$ ;
$\kappa_{manut_{H}_i}^t$ :	fator de manutenção (em p.u.) de cada usina hidrelétrica $i$ , no período $t$ ;
$\kappa_{manut_{t}_i}^t$ :	fator de manutenção (em p.u.) de cada unidade geradora térmica $i$ no período $t$ ;
$\kappa_{manut_{T}_i}^t$ :	fator de manutenção (em p.u.) de cada usina térmica $i$ , no período $t$ ;
$\kappa_{MSR}_i^j$ :	fator da defluência da usina hidrelétrica imediatamente à montante $j$ na vazão da seção de rio $i$ ;
$k_{perdas}_i$ :	perdas na altura de queda da usina hidrelétrica $i$ , quando dada por um fator, em p.u., da altura de queda bruta;
$\kappa_{RE,H}_i^j$ :	coeficiente associado à usina hidrelétrica $j$ na restrição elétrica $i$ ;
$\kappa_{RE,T}_i^j$ :	coeficiente associado à usina térmica $j$ na restrição elétrica $i$ ;
$\kappa_{RE,I}_i^j$ :	coeficiente associado ao intercâmbio $j$ na restrição elétrica $i$ ;
$\kappa_{RE,CI}_i^j$ :	coeficiente associado ao contrato de importação $j$ na restrição elétrica $i$ ;
$\kappa_{RE,CE}_i^j$ :	coeficiente associado ao contrato de exportação $j$ na restrição elétrica $i$ ;
$\kappa_{RE,EO}_i^j$ :	coeficiente associado à usina eólica $j$ na restrição elétrica $i$ ;
$\kappa_{RE,SO}_i^j$ :	coeficiente associado à usina solar $j$ na restrição elétrica $i$ ;
$\kappa_{RHQP_{Afl}_{i,j}}$ :	coeficiente associado à $j$ -ésima usina hidrelétrica cuja afluência participa da restrição hidrelétrica de vazão instantânea $i$ , para o período $t$ ;

- $\kappa_{RHQP_{b_i,j}}$ : coeficiente associado à  $j$ -ésima usina hidrelétrica cujo bombeamento participa da restrição hidrelétrica de vazão instantânea  $i$ , para o período  $t$ ;
- $\kappa_{RHQP_{Def_{i,j}}}$ : coeficiente associado à  $j$ -ésima usina hidrelétrica cuja defluência participa da restrição hidrelétrica de vazão instantânea  $i$ , para o período  $t$ ;
- $\kappa_{RHQP_{Dv_{i,j}}}$ : coeficiente associado à  $j$ -ésima usina hidrelétrica cujo desvio participa da restrição hidrelétrica de vazão instantânea  $i$ , para o período  $t$ ;
- $\kappa_{RHQP_{Q_{i,j}}}$ : coeficiente associado à  $j$ -ésima usina hidrelétrica cuja vazão turbinada participa da restrição hidrelétrica de vazão instantânea  $i$ , para o período  $t$ ;
- $\kappa_{RHQP_{S_{i,j}}}$ : coeficiente associado à  $j$ -ésima usina hidrelétrica cujo vertimento participa da restrição hidrelétrica de vazão instantânea  $i$ , para o período  $t$ ;
- $\kappa_{RHVP_{i,j}}$ : coeficiente associado à  $j$ -ésima usina hidrelétrica participante da restrição hidrelétrica de volume instantânea  $i$ , para o período  $t$ ;
- $\kappa_{SCB_i}^b$ : coeficiente associado à barra  $b$  na restrição de segurança  $i$ ;
- $\kappa_{SCL_i}^l$ : coeficiente associado à linha  $l$  na restrição de segurança  $i$ ;
- $\kappa_{SCLPP_0_i}^k$ : termo independente do  $k$ -ésimo corte da restrição de segurança linear por partes  $i$ ;
- $\kappa_{SCLPP_P_i}^k$ : termo associado ao parâmetro controlador do  $k$ -ésimo corte da restrição de segurança linear por partes  $i$ ;
- $M_{EB_i}$ : índice da usina hidrelétrica à montante da estação elevatória  $i$ ;
- $META_{T_i}$ : meta semanal de geração média definida para a usina térmica  $i$ ;
- $META_{S_i}$ : meta semanal de recebimento definida para o submercado  $i$ ;
- $ndc_i^t$ : número de segmentos da curva linear por partes de custo de déficit para o submercado  $i$  e período  $t$ ;
- $NDn_i$ : número de passos da trajetória de desligamento da unidade térmica  $i$ ;
- $NUp_i$ : número de passos da trajetória de acionamento da unidade térmica  $i$ ;
- $\overline{q_{ij}}$ : turbinamento máximo da  $j$ -ésima unidade geradora da usina hidrelétrica  $i$ ;
- $\overline{Q_i}$ : turbinamento máximo da usina hidrelétrica  $i$ , calculado em função do turbinamento máximo de suas unidades geradoras;

---

$\overline{Q}_{b_i}$ :	vazão máxima que pode ser bombeada pela estação de bombeamento $i$ ;
$RAC_i^t$ :	reserva de potência para a área de controle $i$ , no período $t$ ;
$RDN_i$ :	rampa máxima para decréscimo de geração da unidade geradora térmica $i$ ;
$\underline{RE}_k^t$ :	limite inferior da restrição elétrica $k$ , no período $t$ ;
$\overline{RE}_k^t$ :	limite superior da restrição elétrica $k$ , no período $t$ ;
$RH_i^t$ :	reserva de potência para a usina hidrelétrica $i$ , no período $t$ ;
$RHG_{P_{min}_i}^t$ :	limite inferior da restrição de geração instantânea $i$ , para o período $t$ ;
$RHG_{P_{max}_i}^t$ :	limite superior da restrição de geração instantânea $i$ , para o período $t$ ;
$RHN_{P_{min}_i}^t$ :	limite inferior da restrição operativa hidráulica de nível instantânea $i$ , para o período $t$ ;
$RHN_{P_{max}_i}^t$ :	limite superior da restrição operativa hidráulica de nível instantânea $i$ , para o período $t$ ;
$RHQ_{P_{min}_i}^t$ :	limite inferior da restrição operativa hidráulica de vazão instantânea $i$ , para o período $t$ ;
$RHQ_{P_{max}_i}^t$ :	limite superior da restrição operativa hidráulica de vazão instantânea $i$ , para o período $t$ ;
$RHV_{P_{min}_i}^t$ :	limite inferior da restrição operativa hidráulica de volume instantânea $i$ , para o período $t$ ;
$RHV_{P_{max}_i}^t$ :	limite superior da restrição operativa hidráulica de volume instantânea $i$ , para o período $t$ ;
$RPE_i^t$ :	reserva de potência elétrica estabelecida para a restrição de segurança $i$ , no período $t$ ;
$RT_i^t$ :	reserva de potência para a usina térmica $i$ , no período $t$ ;
$RTrans_i$ :	rampa de transição entre quaisquer unidades equivalentes da usina térmica a ciclo combinado $i$ ;
$RU_{p_i}$ :	rampa máxima para acréscimo de geração da unidade geradora térmica $i$ ;
$\underline{SC}_i^t$ :	limite inferior da restrição de segurança $i$ , no período $t$ ;
$\overline{SC}_i^t$ :	limite superior da restrição de segurança $i$ , no período $t$ ;
$sfr(i)$ :	subsistema de origem do intercâmbio $i$ ;

---

$sto(i)$ :	subsistema de destino do intercâmbio $i$ ;
$to_i$ :	índice da barra de destino da linha $i$ ;
$\tau_{ij}$ :	tempo de viagem da usina $i$ até a usina $j$ imediatamente à jusante;
$\tau_{ij_{min}}$ :	tempo de viagem mínimo entre as usinas $i$ e $j$ , na modelagem de tempo de viagem por curva de propagação;
$\tau_{ij_{max}}$ :	tempo de viagem máximo entre as usinas $i$ e $j$ , na modelagem de tempo de viagem por curva de propagação;
$Toff_i$ :	tempo mínimo que a unidade geradora térmica $i$ deve permanecer inativa, sempre que for desligada;
$Ton_i$ :	tempo mínimo que a unidade geradora térmica $i$ deve permanecer ligada, sempre que for acionada;
$TrDn_i^k$ :	valor de geração no $k$ -ésimo passo da trajetória de desligamento da unidade geradora térmica $i$ ;
$TrUp_i^k$ :	valor de geração no $k$ -ésimo passo da trajetória de acionamento da unidade geradora térmica $i$ ;
$\underline{V}_i$ :	volume mínimo da usina hidrelétrica $i$ ;
$\overline{V}_i$ :	volume máximo da usina hidrelétrica $i$ ;
$Vsol_{dv_i}$ :	volume associado à soleira de desvio da usina hidrelétrica $i$ (quando aplicável);
$Vsol_{vt_i}$ :	volume associado à soleira do vertedouro da usina hidrelétrica $i$ ;
$V_{VE_i}^t$ :	volume de espera para o reservatório da usina hidrelétrica $i$ , no período $t$ ;
$x_i$ :	reatância da linha $i$ .

#### **Funções e parâmetros calculados pelo modelo**

$A_{rv}$ :	área do espelho d'água de um reservatório;
$f_{evap_i}(\cdot)$ :	evaporação da usina hidrelétrica $j$ , calculada para o mês associado ao período em questão;
$\gamma_0^k$ :	termo independente para o $k$ -ésimo corte da função de produção hidrelétrica aproximada (FPHA) da usina $i$ ;

---

$\gamma_{V_i}^k$ :	termo referente ao volume armazenado $V$ para o $k$ -ésimo corte da função de produção hidrelétrica aproximada (FPHA) da usina $i$ ;
$\gamma_{Q_i}^k$ :	termo referente ao turbinamento $Q$ para o $k$ -ésimo corte da função de produção hidrelétrica aproximada (FPHA) da usina $i$ ;
$\gamma_{S_i}^k$ :	termo referente ao turbinamento $Q$ para o $k$ -ésimo corte da função de produção hidrelétrica aproximada (FPHA) da usina $i$ ;
$h_{mon}$ :	cota de montante da usina hidrelétrica;
$h_{jus}$ :	cota de jusante da usina hidrelétrica;
$\kappa_{B_i}^j$ :	fator de participação da barra $i$ no fluxo da linha $j$ ;
$k_{evap_i}$ :	coeficiente do modelo linear para evaporação da usina $i$ ;
$\kappa_{SR0_i}^h$ :	termo independente da regressão que relaciona a vazão na seção de rio $i$ com a variação máxima de vazão nessa seção de forma a não ultrapassar a variação máxima de nível horária $\overline{\Delta h_{SR_i}^h}$ ;
$\kappa_{SR1_i}^h$ :	termo linear da regressão que relaciona a vazão na seção de rio $i$ com a variação máxima de vazão nessa seção de forma a não ultrapassar a variação máxima de nível horária $\overline{\Delta h_{SR_i}^h}$ ;
$\kappa_{SR0_i}^d$ :	termo independente da regressão que relaciona a vazão na seção de rio $i$ com a variação máxima de vazão nessa seção de forma a não ultrapassar a variação máxima de nível horária $\overline{\Delta h_{SR_i}^d}$ ;
$\kappa_{SR1_i}^d$ :	termo linear da regressão que relaciona a vazão na seção de rio $i$ com a variação máxima de vazão na seção de forma a não ultrapassar a variação máxima de nível horária $\overline{\Delta h_{SR_i}^d}$ ;
$\kappa_{tv_j}^\tau$ :	parcela (em p.u.) da vazão defluída da usina de $i$ no período $t$ que chega na usina $j$ no período $t + \tau$ ;
$NCUT_{FCF}$ :	número de cortes da função de custo futuro;
$NFP_i$ :	número de cortes para a função de produção da usina hidrelétrica $i$ ;
$\pi_{FCF,0}^k$ :	termo independente do $k$ -ésimo corte da função de custo futuro fornecida pelo modelo DECOMP;

- $\pi_{FCF, V_i^k}$ : termo referente ao volume armazenado da usina hidrelétrica  $i$ , para o  $k$  –ésimo corte da função de custo futuro fornecida pelo modelo DECOMP;
- $\overline{Q_{chij}(\dots)}$ : função, dada por uma tabela, que relaciona a vazão máxima permitida para o canal que une os reservatórios  $i$  e  $j$ , em função de seus volumes  $V_i^t$  e  $V_j^t$ ;
- $V_{ref, ev_i}$ : vazão de referência para usina  $i$ , para fins de cálculo da evaporação;
- $V_{util}$ : volume útil do reservatório;
- $\zeta^t$ : fator de conversão de vazão ( $m^3/s$ ) para volume ( $hm^3$ ) para o período  $t$  ( $= 0,0036 \times \Delta_t$ ).

### **Variáveis de decisão e resultados do modelo**

- $\alpha_{FCF}$ : valor esperado do custo futuro (após o período  $T$ ), em função do vetor  $\{V_i^T, i = 1, \dots, NH\}$  de armazenamentos nos reservatórios ao final do horizonte de estudo;
- $CMB_i^t$ : custo marginal da barra  $i$ , no período  $t$ ;
- $cst_i^t$ : custo de mudança de estado (ligar ou desligar) da unidade térmica  $i$ , no período de tempo  $t$ ;
- $Defc_{i,k}^t$ : déficit de energia no segmento  $k$  da curva de déficit, para o submercado  $i$  e período  $t$ ;
- $\Delta META_{S, inf_i}$ : desvio para baixo no atendimento à meta de recebimento semanal de energia para o submercado  $i$ ;
- $\Delta META_{S, sup_i}$ : desvio para cima no atendimento à meta de recebimento semanal de energia para o submercado  $i$ ;
- $\Delta META_{T, inf_i}$ : desvio para baixo no atendimento à meta de geração média semanal para a usina térmica  $i$ ;
- $\Delta META_{T, sup_i}$ : desvio para cima no atendimento à meta de geração média semanal para a usina térmica  $i$ ;
- $Eb_i^t$ : energia consumida pela  $i$  –ésima estação de bombeamento, no período  $t$ ;
- $Ece_i^t$ : energia vendida no contrato de exportação  $i$ , no período  $t$ ;
- $G_{sol_i}^t$ : Geração da fonte solar  $i$ , no período  $t$ ;
- $Eci_i^t$ : energia comprada no contrato de importação  $i$ , no período  $t$ ;
- $f_i^t$ : fluxo de potência na linha  $i$ , no período  $t$ ;

---

$g_{bus_i}^t$ :	geração total da barra $i$ , no período $t$ ;
$gh_i^t$ :	geração da unidade hidrelétrica $i$ , no período $t$ ;
$gt_i^t$ :	geração da unidade térmica $i$ , no período $t$ ;
$GH_i^t$ :	geração da usina hidrelétrica $i$ , no período $t$ ;
$Int_{ij}^t$ :	intercâmbio entre os submercados $i$ e $j$ , no período $t$ ;
$l_i^t$ :	perdas de fluxo na linha $i$ , no período $t$ ;
$Q_i^t$ :	turbinamento da usina hidrelétrica $i$ , no período $t$ ;
$Qb_i^t$ :	vazão bombeada pela $i$ -ésima estação de bombeamento, no período $t$ ;
$Qch_{ij}^t$ :	vazão no canal da usina hidrelétrica $i$ para a usina hidrelétrica $j$ , no período $t$ (valores negativos indicam fluxo no sentido oposto);
$Qdv_i^t$ :	vazão desviada pela $i$ -ésima estação de bombeamento, no período $t$ ;
$Q_{SR_i}^t$ :	vazão na seção de rio $i$ , no período $t$ ;
$Q_{ev_i}^t$ :	vazão evaporada na usina hidrelétrica $i$ , no período $t$ ;
$\pi_D^t$ :	variável dual associada à equação de atendimento à demanda do submercado $i$ , no período $t$ ;
$\pi_{SC_i}^t$ :	variável dual associada à restrição de segurança $i$ , no período $t$ ;
$\theta_i^t$ :	ângulo de tensão da barra $i$ , no período $t$ ;
$R_i^T$ :	água retida na calha do rio imediatamente à montante da usina hidrelétrica $i$ , ao final do horizonte de estudo;
$SC_i^t$ :	valor obtido para a restrição de segurança linear por partes $i$ , no período $t$ ;
$\overline{SC_{LPP_i}^t}$	limite da restrição de segurança linear por partes $i$ , no período $t$ , obtido com base no valor do parâmetro $VP_{SCLPP_i}^t$ ;
$S_i^t$ :	vertimento da usina hidrelétrica $i$ , no período $t$ ;
$u_i^t$ :	status (0: desligada; 1: ligada) para a unidade térmica $i$ , no período $t$ ;
$V_i^t$ :	volume armazenado da usina hidrelétrica $i$ , ao final do período $t$ ;

- 
- $VP_{SCLPP_i}^t$ : valor do parâmetro controlador da restrição de segurança linear por partes  $i$ , no período  $t$ ;
- $\hat{y}_i^t$ : variável contínua de mudança de estado, indicativa de acionamento;
- $\check{y}_i^t$ : variável contínua de mudança de estado, indicativa de desligamento;
- $Z$ : função objetivo do problema de otimização da programação diária da operação.

## PARTE I – INTRODUÇÃO

## 1 O MODELO DESSEM

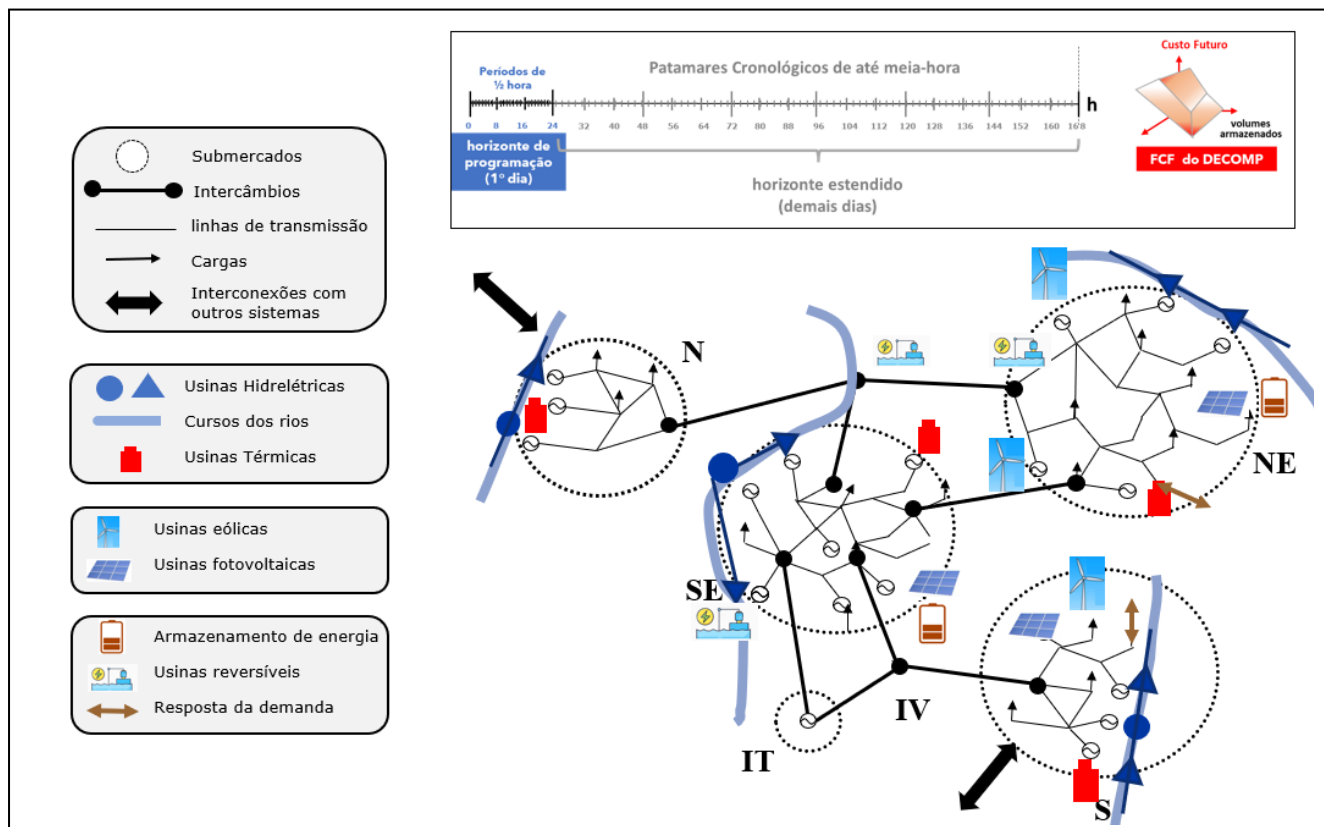
O programa DESSEM é um modelo de otimização utilizado oficialmente pelo Operador Nacional do Sistema (ONS) desde Janeiro/2020 para a programação diária da operação do sistema brasileiro, e desde Janeiro/2021 pela Câmara de Comercialização de Energia Elétrica (CCEE) para a determinação do preço de energia horário para o dia seguinte [1]. Ele é desenvolvido pelo CEPEL (Centro de Pesquisas de Energia Elétrica) desde 1998 [2], tendo sido continuamente aprimorado ao longo do tempo. Seu principal objetivo é determinar a programação diária da operação e formação de preço para sistemas hidrotermo-eólicos, como tem sido chamados os sistemas compostos de usinas hidrelétricas, térmicas e as novas fontes renováveis de energia, como as usinas eólicas e fotovoltaicas. O horizonte de programação do modelo é de algumas semanas, com discretização de até meia-hora e representação detalhada das características e restrições operativas das usinas hidrelétricas, unidades geradoras termoelétricas e rede elétrica, além da consideração de usinas eólicas, solares, mini e micro geração distribuída (MMGD) e dispositivos de armazenamento de energia, como baterias e usinas reversíveis.

De forma a promover o planejamento e a programação da operação observando a otimização dos custos e a consideração adequada da aversão a risco em um horizonte mais longo, o modelo DESSEM atua de forma coordenada com os modelos DECOMP [3] e NEWAVE [4], [5], já utilizados desde 2000 para o planejamento da operação e estabelecimento do preço semanal, em três ou mais patamares de carga [6]. Mais especificamente, o DESSEM se acopla, ao final do horizonte de estudo, com a função de custo futuro fornecida pelo DECOMP, que por sua vez se acopla à função de custo futuro fornecida pelo NEWAVE. Para estudos de planejamento da operação e expansão, o modelo DESSEM pode se acoplar com o modelo NEWAVE [7] e com o modelo de expansão, MELP [8].

As usinas podem ser representadas ao nível de unidade geradora e considera-se a rede elétrica por meio de uma modelagem DC com ou sem perdas [9], [10], incluindo-se restrições de segurança [11]. Representam-se também as restrições de unit commitment das unidades geradoras térmicas, incluindo a operação das usinas térmicas a ciclo combinado [12], além de restrições de unit commitment hidráulico [13], [14]. A variação da produtividade das usinas hidrelétricas em função da altura de queda é modelada com detalhes através de uma Função de Produção Hidrelétrica [15], [16], que pode considerar também as perdas-hidráulicas-variáveis com a vazão turbinada e a eficiência variável do conjunto turbina-gerador [17]. Representa-se de forma acurada o balanço de água nos reservatórios e o fluxo de água ao longo dos rios, por meio de tempos de viagem fixos ou curvas de propagação [18], e modelam-se também canais entre reservatórios. A Figura 1-1 ilustra a representação dos diversos componentes do sistema no modelo DESSEM.

O modelo possui uma vasta gama de restrições e funcionalidades, incluindo-se: restrições sistêmicas (balanço de demanda, reserva de potência por área de controle), restrições da rede elétrica (limites individuais de fluxo nas linhas, limites de somatório de fluxo (inequações) em um conjunto de linhas, além de restrições adicionais de segurança fornecidas por meio de tabela ou modelos lineares por parte) [11], restrições para as usinas hidrelétricas (vazões mínimas, volumes de espera, limites inferior e superior para vazão turbinada, vertida, armazenada, geração, além de limites de rampa de variação horária para todas essas variáveis), restrições para as usinas térmicas (tempos mínimos ligada e desligada, restrições de rampa, custos de partida e parada), além de todas as restrições já representadas pelo modelo DECOMP, adaptadas para a discretização horária. Finalmente, além do

acoplamento por meio de uma função de custo futuro, podem ser estabelecidas também metas semanais de intercâmbio ou geração térmica, de acordo com o despacho sinalizado pelo DECOMP [19].



**Figura 1-1 – Representação conjunta da rede elétrica, usinas geradoras (hidrelétricas, termelétricas, fontes intermitentes), e trechos de rio no modelo DESSEM.**

O problema de despacho é formulado por meio de programação linear/inteira, utilizando-se modelos lineares por parte estáticos/dinâmicos e um processo iterativo exato para a representação de funções não lineares e as restrições da rede elétrica [9], [10], [20]. Caso não sejam consideradas pelo usuário restrições de unit commitment Térmico, o problema pode ser resolvido também por meio de decomposição de Benders multi-estágio [21] [22]. Pelo fato de resolver um problema de otimização inteiro-misto, essa versão requer uma licença de uso do pacote de otimização CPLEX, que deve ser adquirida diretamente por um representante da IBM, fabricante do *software*.

Os principais resultados do modelo DESSEM são:

- o despacho de cada unidade geradora por meia-hora no dia seguinte, com ou sem rede elétrica;
- os custos marginais de energia em base de meia hora, por barra ou submercado, que são utilizados como base para formação do preço horário;
- a operação horária dos reservatórios, com destaque para os de regularização diária;
- os fluxos nas linhas e injeções nas barras da rede elétrica, e status das restrições de segurança.

Além do modelo DESSEM, o CEPEL também desenvolve um programa de conversão de dados (DECODESS) [23] entre os modelos DECOMP e DESSEM.

A documentação do modelo DESSEM consiste, além desse Manual de Metodologia, dos seguintes documentos que constam da pasta “documentos” do pacote de instalação do modelo:

- manual de metodologia do Modelo
- tutorial para execução do modelo (disponibilizado em versão Linux) em uma máquina virtual Linux em ambiente Windows
- tutorial para instalação do pacote CPLEX

Para questões mais específicas, entre em contato com a Equipe DESSEM pelo endereço [dessem@cepel.br](mailto:dessem@cepel.br) e, para informações de caráter mais geral sobre os modelos energéticos do CEPEL, pelo endereço [dse@cepel.br](mailto:dse@cepel.br).

Os manuais e relatórios do modelo DESSEM e de outros modelos da cadeia de otimização energética desenvolvidos pelo CEPEL podem ser acessados pelo endereço: [RelatoriosModelos\\_SiteCEPEL](#). Além disso, uma descrição das modelagens e metodologias disponíveis nos modelos de otimização energética do CEPEL pode ser consultada no endereço: [DocumentacaoModelos-Web-LIBS](#)

## **1.1 Objetivo e Aplicações do DESSEM**

O modelo DESSEM foi concebido com o objetivo principal **determinar um despacho hidrotérmico de mínimo custo operativo** para o sistema para um período de até 2 semanas e discretizado de meia em meia hora, podendo-se, entretanto, adotar patamares cronológicos com maior duração.

Além desse objetivo, o DESSEM pode ser utilizado com as seguintes finalidades:

- **Cálculo do despacho ótimo a partir das condições finais dos reservatórios:** a função de custo futuro (FCF), fornecida pelo modelo DECOMP e utilizada pelo DESSEM, visa impedir que o modelo atenda à demanda unicamente com geração hidrelétrica, já que o custo explícito da água nos reservatórios é nulo. Uma alternativa para operar o sistema com o DESSEM sem a necessidade de uma FCF é definindo faixas de volume-meta para os reservatórios ao final do período de estudo, o que é possível através da imposição de restrições hidráulicas de limite de volume.
- **avaliação da operação horária de planos de expansão e planejamento,** ao se realizar a integração direta do DESSEM com o modelo NEWAVE [7], [8].
- **Simulação do balanço hidráulico no sistema:** o modelo DESSEM também pode ser utilizado para calcular a operação hidráulica dos reservatórios do sistema, a partir de um despacho pré-fixado. Isso é possível através da imposição de restrições de ponto fixo de operação para as usinas hidrelétricas do sistema.

- **Simulação do fluxo de potência no sistema:** o modelo DESSEM fornece também o fluxo de potência DC na rede elétrica, para todos os períodos de tempo da programação, para a operação calculada pelo modelo, ou para uma operação pré-fixada para as usinas hidrelétricas, termoeletricas e fontes renováveis intermitentes, que também pode ser fornecida ao modelo.
- **Avaliação dos custos marginais de geração de curtíssimo prazo:** ao realizar o despacho das usinas, o modelo calcula automaticamente os custos marginais de operação do sistema em cada período de tempo da programação. Estes custos marginais podem ser utilizados como referência para o preço de energia no mercado *spot*.
- **Análise de sensibilidade em relação às restrições do sistema:** a flexibilidade do modelo em considerar ou não a inclusão de uma série de restrições permite ao usuário avaliar os impactos causados pelas restrições do sistema - em termos de custo operativo, geração das usinas ou operação dos reservatórios. Essa análise pode ser útil para alimentar estudos de custo-benefício de medidas corretivas para eliminar algumas dessas restrições.
- **Análise de sensibilidade em relação a fatores externos:** pode-se avaliar o impacto - de curtíssimo prazo - na variação de alguns fatores externos como as demandas nas barras ou as afluências às usinas hidrelétricas.

O modelo DESSEM foi concebido para fornecer ao usuário a estratégia ótima de operação do sistema face às funções de custo, configuração, restrições e condições do sistema para o caso em estudo. Mesmo nos casos em que não exista solução viável para o problema de Unit Commitment Térmico em função do conjunto de restrições inseridas no problema, o modelo DESSEM fornecerá uma operação que resulte em um menor custo total, contabilizando também os custos aplicados às violações às restrições do problema (inviabilidades). No entanto, como a violação de qualquer restrição é severamente penalizada na função objetivo (penalização *hard*), em uma ordem de grandeza muito maior do que os custos de operação (geração termoeletrica, contratos de importação/exportação, déficit de energia, etc) o modelo só irá violar as restrições caso não exista uma solução viável.

## **1.2 Formulação e Resolução do Problema**

O problema de despacho é formulado por meio de programação linear/inteira, utilizando-se modelos lineares por parte estáticos/dinâmicos e um processo iterativo exato para a representação de funções não lineares e as restrições da rede elétrica [9], [10], [20]. Caso não sejam consideradas pelo usuário restrições de unit commitment Térmico, o problema pode ser resolvido também por meio de decomposição de Benders multi-estágio [21], [22] e, mesmo sendo o problema determinístico e com estrutura sequencial de encadeamento, já foram desenvolvidas pesquisas pelo CEPEL para aplicação de processamento paralelo [18].

A estratégia de solução adotada oficialmente, por meio de resolução de forma direta de problema linear inteiro-misto, requer uma licença de uso do pacote de otimização CPLEX, que deve ser adquirida diretamente por um representante da IBM, fabricante do software.

### **1.3 Funcionalidades**

O modelo possui uma vasta gama de restrições e funcionalidades, incluindo-se:

- restrições sistêmicas (balanço de demanda, reserva de potência por área de controle, restrições elétricas especiais);
- restrições da rede elétrica (limites individuais de fluxo nas linhas, limites de somatório de fluxo (inequações) em um conjunto de linhas, além de restrições adicionais de segurança fornecidas por meio de tabela ou modelos lineares por parte);
- restrições para as usinas hidrelétricas, tais como: vazões mínimas, volumes de espera, limites inferior e superior para vazão turbinada, vertida, armazenada, geração, além de limites de rampa de variação horária para todas essas variáveis);
- restrições de unit commitment térmico, como tempos mínimos ligada e desligada, restrições de rampa, custos de partida e parada e operação de usinas a ciclo combinado;
- restrições de unit commitment hidráulico, como vazão turbinada e geração mínima, tempo mínimo ligada/desligada, operação em síncrono e em vazio;
- finalmente, representam-se praticamente todas as restrições e variáveis já representadas pelo modelo DECOMP, adaptadas para a discretização horária.

Finalmente, além do acoplamento por meio de uma função de custo futuro, podem ser estabelecidas também metas semanais de intercâmbio ou geração térmica, de acordo com o despacho sinalizado pelo DECOMP.

### **1.4 Principais Resultados**

Os principais resultados do modelo DESSEM são:

- despacho de cada unidade geradora por meia-hora no dia seguinte, com ou sem rede elétrica;
- custos marginais de energia em base de meia hora, por barra ou submercado, que são utilizados como base para formação do preço horário;
- operação horária dos reservatórios, com destaque para os de regularização diária;
- fluxos nas linhas e injeções nas barras da rede elétrica, e status das restrições de segurança.

Além do modelo DESSEM, o CEPEL também desenvolve, dentro do projeto de mesmo nome, um modelo de Simulação Hidráulica (SIMHIDR), que pode ser utilizado pelo próprio DESSEM para os dias que antecedem o período de estudo [24] [25] e um programa de conversão de dados (DECODESS) entre os modelos DECOMP e DESSEM [23].

## 1.5 Documentação

A documentação do modelo DESSEM consiste, além desse Manual de Metodologia, dos seguintes documentos que constam da pasta “documentos” do pacote de instalação do modelo:

- Manual do Usuário do Modelo
- Tutorial para execução do modelo (disponibilizado em versão Linux) em uma máquina virtual Linux em ambiente Windows
- Tutorial para instalação do pacote CPLEX

O arquivo pdf deste manual de metodologia do DESSEM está disponível para download pelo endereço: <https://www.cepel.br/produtos/documentacao-tecnica/>.

O CEPEL vem trabalhando em um manual de metodologia único para todos os modelos desenvolvidos pelo Centro e que são utilizados no planejamento, despacho da operação e formação de preço do sistema brasileiro. Este manual, que é atualizado de forma contínua, está disponível no endereço <https://see.cepel.br/manual/libs>. Muitas das seções descritas neste manual de metodologia possuem uma descrição mais atualizada e detalhada nessa página, portanto recomendamos que ela seja sempre consultada. As seções deste manual que ainda não estão na referida página serão incluídas posteriormente e, no futuro, pretende-se descontinuar o manual de metodologia do DESSEM.

Para mais informações sobre o modelo DESSEM, estamos disponíveis pelo endereço [dessem@cepel.br](mailto:dessem@cepel.br).

## 2 PROBLEMA DE PROGRAMAÇÃO DIÁRIA DA OPERAÇÃO

O problema de programação diária da operação está fortemente relacionado a dois problemas clássicos da literatura: o de despacho econômico e o de *Unit Commitment Térmico*. Descrições conceituais desses tipos de problemas podem ser encontradas em [26] [27] [28] e revisões bibliográficas sobre trabalhos relacionados ao assunto são apresentadas em [29], [30], [31], [32], [33], [34] [35]. Para um sistema hidrotermo-eólico, em particular, o problema de PDO consiste em determinar o despacho horário de geração das usinas hidrelétricas, termoelétricas e outras fontes de energia para o dia seguinte, atendendo à demanda de energia elétrica ao longo do dia, às restrições operativas das usinas e às restrições elétricas do sistema. A Figura 2-1 ilustra o problema de PDO.

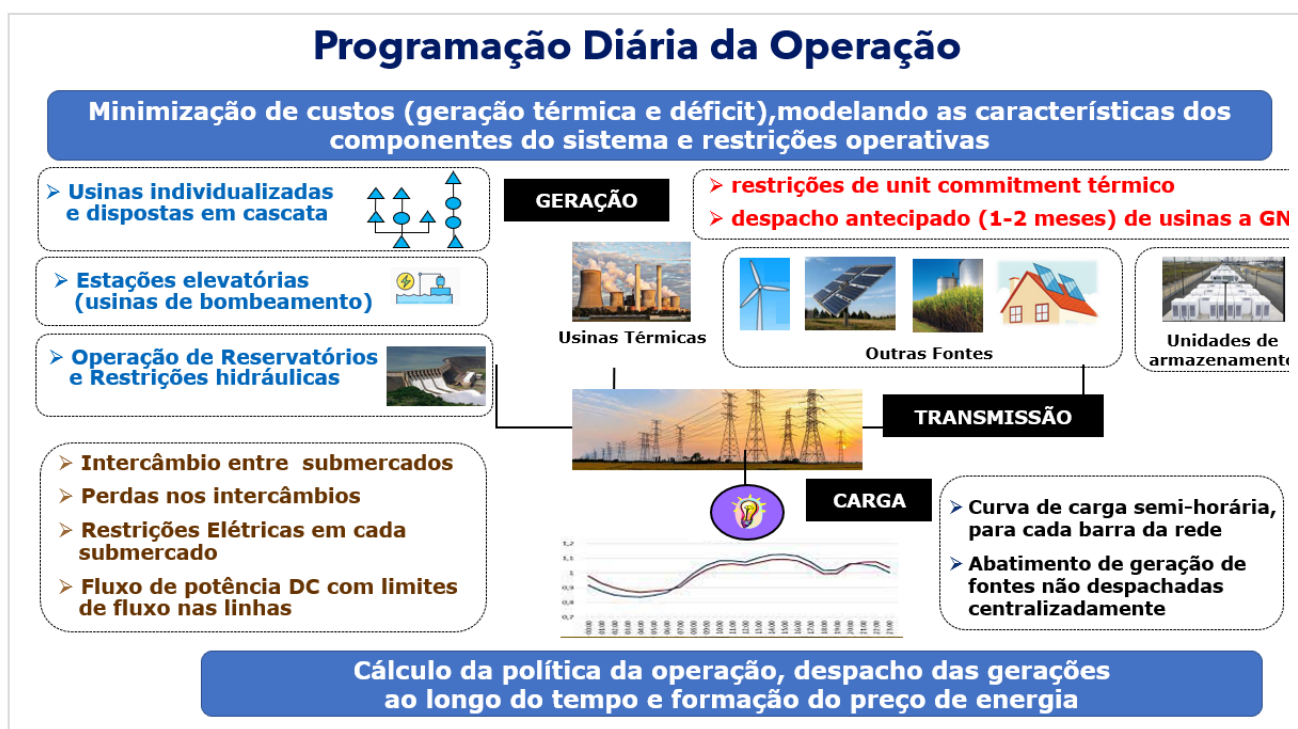


Figura 2-1 - Representação esquemática do problema de programação diária da operação (PDO).

A geração horária das usinas deve ser determinada de forma coordenada, pelos seguintes aspectos:

- existência de interligação elétrica entre as diferentes fontes de geração;
- presença de diversas usinas hidrelétricas dispostas em “cascata” ao longo de um mesmo rio;
- dependência entre as decisões de operação atual e futura, devido ao balanço de água dos reservatórios ao longo do tempo, especialmente quando se considera o tempo de viagem, e restrições temporais no *Unit Commitment Térmico* das unidades termoelétricas

Estes aspectos introduzem no problema de PDO acoplamentos chamados “espaciais” e “temporais”. Pode haver ainda um grande número de restrições operativas para os reservatórios, para as usinas hidrelétricas e para as usinas térmicas, algumas das quais requerem uma formulação não linear e com variáveis inteiras. Tudo isto torna a programação diária da operação uma tarefa complexa, principalmente em um sistema de grande porte como o brasileiro.

Um aspecto fundamental do problema de PDO refere-se à consideração detalhada da rede de transmissão, a fim de que se determine uma operação mais realista em relação à obtida quando se consideram apenas os intercâmbios entre as diferentes áreas do sistema. Em virtude da dificuldade de se considerar a modelagem AC em um problema que já inclui de forma detalhada múltiplas restrições operativas para as usinas hidrelétricas e térmicas, uma boa aproximação pode ser obtida utilizando-se uma modelagem linear da rede elétrica<sup>1</sup>, considerando os limites de fluxos nos circuitos e as perdas na transmissão [36].

Mais recentemente, o aumento na penetração de fontes intermitentes de energia, principalmente a geração eólica, trouxe um novo paradigma para o problema de PDO, visto que a incerteza na geração horária dessas fontes para os próximos dias é muito grande quando comparada a outros aspectos do problema, inclusive a afluência às usinas hidrelétricas. Desta forma, esse problema passa a ser essencialmente estocástico, porém com uma abordagem diferente à usualmente tratada no planejamento de médio e longo prazos, já que a alocação das unidades (Unit Commitment Térmico) deve ser decidida de forma a se adequar aos inúmeros cenários possíveis de geração dessas fontes. Isto tem motivado a aplicação, além de técnicas de otimização estocástica [37], também de técnicas de otimização robusta [38]. No caso do Brasil, a penetração da geração eólica em 2021 é um pouco maior do que 10%, o que ainda permite o uso de modelos determinísticos, porém com ajustes adequados nos dados das restrições de reserva de geração e limites de intercâmbio, para acomodar possíveis variações na geração dessas fontes, principalmente pelo fato de se concentrarem em um único submercado (Nordeste). É possível realizar simulações com o modelo DESSEM para determinado dia utilizando diversos cenários de previsão de geração eólica, que podem ser gerados, por exemplo, com o modelo VENTOS desenvolvido pelo CEPEL [39].

A fim de garantir as necessidades presentes e futuras de energia do sistema elétrico, a PDO deve estar associada ao planejamento de mais longo prazo da operação [40], compondo o que se chama na literatura de “problema de coordenação hidrotérmica”, descrito sucintamente a seguir

---

<sup>1</sup> Esta modelagem também é denominada neste texto e na literatura em geral como modelagem DC.

### 3 PLANEJAMENTO DA OPERAÇÃO HIDROTÉRMICA

O planejamento da operação hidrotérmica do Sistema Interligado Nacional (SIN) é conduzido pelo Operador Nacional do Sistema Elétrico (ONS), que planeja a operação mensal e semanal do sistema. O objetivo principal desse planejamento é determinar, a partir de dados conhecidos de expansão de geração e de crescimento da demanda, uma política ótima de operação, que consiste na valoração da água nos reservatórios e na determinação de metas de geração para cada usina hidrelétrica e termoeétrica ao longo do tempo, de forma a atender a carga segundo determinado critério.

Outro objetivo relacionado ao planejamento é fornecer preços para o mercado de curto prazo de energia, que estão relacionados aos custos marginais de operação [41]. Isto é realizado, na prática, pela Câmara de Comercialização de Energia Elétrica (CCEE), que utiliza em última instância o modelo DECOMP para obter o preço semanal de energia em cada submercado (vide seção 5.1), por patamar de carga, com decks de dados semelhantes aos utilizados pelo ONS, porém removendo algumas restrições internas às operações dos submercados.

O volume de água afluente aos reservatórios é desconhecido, pois depende basicamente das chuvas que irão ocorrer no futuro. Além disso, a disponibilidade de energia hidrelétrica é limitada pela capacidade de armazenamento nos reservatórios. Isto introduz uma relação entre uma decisão de operação em uma determinada etapa e as consequências futuras desta decisão. Por exemplo, se decidirmos utilizar as provisões de energia hidrelétrica para atender o mercado hoje e no futuro ocorrer uma seca, pode vir a ser necessário utilizar geração termoeétrica de custo elevado ou, mesmo, interromper o fornecimento de energia. Por outro lado, se optarmos por fazer uso mais intensivo de geração termoeétrica, conservando elevados os níveis dos reservatórios e ocorrerem vazões altas no futuro, poderá haver vertimento no sistema, o que representa um desperdício de energia e, em consequência, um aumento desnecessário no custo de operação. Essa situação está ilustrada na Figura 3-1, que expressa o clássico “dilema do decisor” na literatura de planejamento hidrotérmico.

Decisão atual	Afluências Futuras	Resultado
 Esvaziar os reservatórios (menor custo presente)	altas 	Operação econômica
	baixas 	Altos custos, Racionamento
 Usar geração térmica (maior custo presente)	altas 	Vertimento
	baixas 	Operação econômica

Figura 3-1 - “Dilema do decisor” para o problema de planejamento hidrotérmico.

A determinação da política ótima de operação de um sistema hidrotérmico é um problema complexo e de grande porte, pelas seguintes características, algumas comuns ao problema de PDO:

- **acoplamento espacial**, devido à existência de múltiplos reservatórios em cascata ao longo dos rios, e pelo fato das gerações hidrelétricas e termoelétricas serem coordenadas para atender a uma demanda comum;
- **acoplamento temporal**, requerendo uma otimização multiperíodo, pois a disponibilidade de água nos reservatórios no futuro depende do uso da água em períodos anteriores. Há ainda acoplamentos temporais adicionais no curto prazo devido ao tempo de viagem da água entre usinas consecutivas em uma cascata;
- **incerteza nos dados (estocasticidade)** do problema, devido principalmente à impossibilidade de se prever com exatidão as aflúncias futuras às usinas hidrelétricas;
- ser um problema **não linear**, devido por exemplo à variação da produtividade das usinas hidrelétricas com a altura de queda no reservatório;
- é um problema de **grande porte**: o sistema hidrotérmico brasileiro apresenta atualmente cerca de 160 usinas hidrelétricas e 140 usinas termoelétricas despachadas de forma centralizada<sup>2</sup> e interligadas tanto hidráulica como eletricamente. Além disso, a operação deve ser planejada considerando-se um horizonte temporal longo (10 anos), uma vez que muitos reservatórios são de regularização plurianual<sup>3</sup>. Finalmente, o número de restrições elétricas, hidrelétricas e térmicas que devem ser consideradas pode ser muito grande.

Portanto, o planejamento da operação hidrotérmica é uma tarefa muito complexa. Devido às dificuldades de se considerar de forma simultânea o planejamento e a programação da operação em um só problema<sup>4</sup>, decompõe-se o problema de planejamento nos níveis de longo, médio e curto prazos. Em cada etapa, são utilizados modelos com diferentes graus de detalhe para representação do sistema e consideração de incertezas, além de horizontes de estudo e discretizações temporais distintos, como será descrito no capítulo 5.

### **3.1 Critérios para o Planejamento**

Os objetivos de economia de operação e confiabilidade de atendimento são claramente antagônicos: a máxima utilização da energia hidrelétrica disponível a cada etapa é a política mais econômica, pois minimiza os custos de combustível. Entretanto, essa política é a menos confiável, pois resulta em maiores riscos de déficits futuros. Por sua vez, a máxima confiabilidade de fornecimento é obtida conservando o nível dos reservatórios o mais elevado possível. Entretanto, isto significa utilizar mais geração termoelétrica e, portanto, aumentar os custos de operação. No planejamento a médio e longo prazos, o equilíbrio entre os custos de operação e a confiabilidade é obtido através do custo do déficit, cuja determinação é muito complexa.

---

<sup>2</sup> Segundo dados do Programa Mensal da Operação, realizado pelo ONS em março de 2019.

<sup>3</sup> Um reservatório de regularização plurianual leva alguns anos para esvaziar ou encher completamente, como por exemplo a usina de Furnas, na bacia do Rio Grande.

<sup>4</sup> Modelos que consideram o planejamento e programação da operação em um só problema adotam várias aproximações em termos de modelagem, otimalidade e acurácia da solução, que não são adequadas para sistemas reais de grande porte como o brasileiro.

Uma série de critérios podem ser adotados no planejamento da operação. Até 2013, o critério para a otimização era a minimização do custo de operação, considerando como critério de segurança curvas de aversão a risco no modelo NEWAVE. A partir do segundo semestre de 2013 incorporou-se, nos modelos NEWAVE e DECOMP, uma medida de risco denominada *Conditional Value-at-Risk* (CVaR), que visa proteger o sistema dos cenários mais críticos e que passou a ser considerada em conjunto com o valor esperado do custo de operação como critério para otimização do sistema [42]. Ressalta-se que outros critérios podem estar presentes, como o ambiental ou de outros usos da água, que muitas vezes se torna prioritário pela adição, em todas as etapas do planejamento, de uma série de restrições operativas para os reservatórios e as usinas, como vazão mínima e retiradas compulsórias de água.

### **3.2 Custo de Operação**

O custo de operação é composto das seguintes parcelas: (i) custos variáveis de geração das usinas térmicas, conhecido como "CVU" (custo variável unitário), que depende de suas características operativas e do combustível utilizado; (ii) custos de corte de carga, que representa uma estimativa para as perdas econômicas causadas por um eventual decréscimo no suprimento de energia; (iii) e custo (receita) referente à importação (exportação) de energia de sistemas externos, em função do volume de energia comprado (vendido) e do preço de compra (venda) unitário de energia.

### **3.3 Valor da água**

A água utilizada pelos reservatórios tem em princípio custo zero, já que ela é provida naturalmente com as afluências pluviais. No entanto, não é possível atender continuamente os sistemas hidrotérmicos somente com geração hidrelétrica, pela sua forte dependência das condições hidrológicas (sujeitas a incertezas), e pela capacidade limitada de armazenamento dos reservatórios. Assim, as estratégias usualmente adotadas para realizar o planejamento levam ao estabelecimento do chamado **valor da água**, que quantifica o benefício incremental da água no sistema ou individualmente nos reservatórios, ao longo do tempo a fim de evitar déficits de energia futuros. Este valor da energia hidrelétrica é medido em termos da economia resultante nos custos de geração térmica ou déficits evitados e não diretamente como uma função apenas do estado da usina. Este valor se calcula como uma etapa do processo de determinação da política ótima.

Com esse conceito, pode-se entender uma usina hidrelétrica como sendo uma térmica cujo “custo marginal de geração” (CMG) é variável, em função do valor da água ( $\$/\text{hm}^3$ ), que depende do nível do reservatório, e da produtividade da usina ( $\text{hm}^3/\text{MWh}$ ), que depende do seu ponto de operação e também do nível do reservatório. O despacho do sistema é determinado comparando-se então os custos incrementais de geração nas usinas térmicas com os custos de deplecionamento dos reservatórios, devido às gerações nas usinas hidrelétricas. Entretanto, é importante observar que este valor não se mede de maneira isolada em cada usina, pois depende da operação conjunta do sistema.

## PARTE II - REPRESENTAÇÃO TEMPORAL

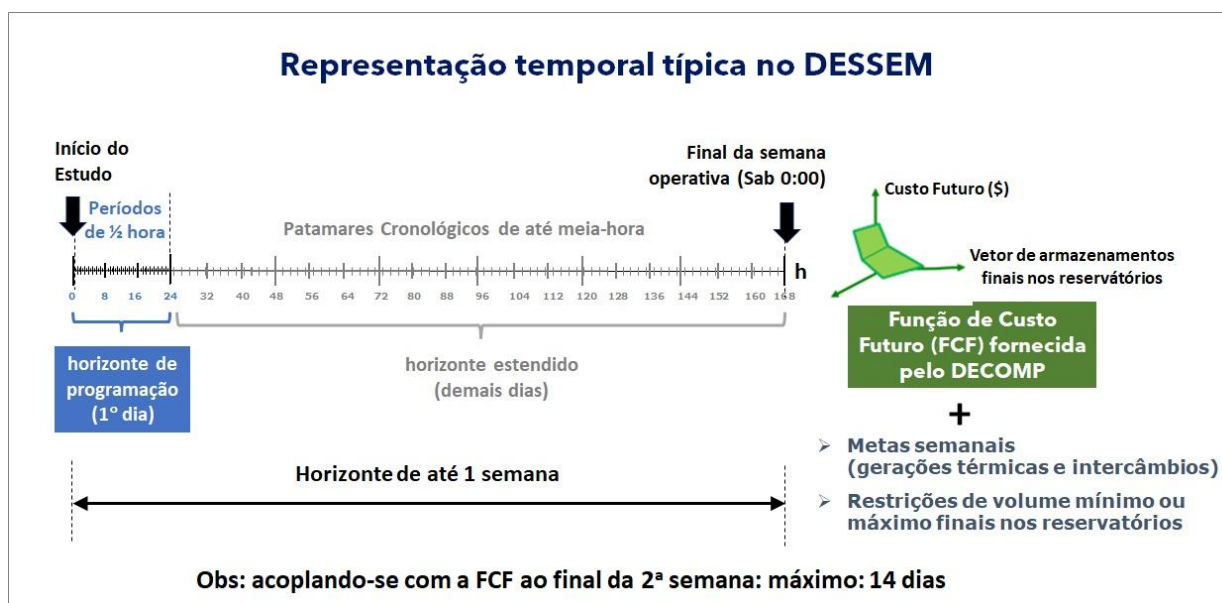
## 4 HORIZONTE DE ESTUDO E DISCRETIZAÇÃO TEMPORAL

A representação temporal consiste na definição do horizonte de tempo a ser considerado e na discretização temporal (duração dos períodos) para os quais estarão associadas as decisões a serem determinadas pelo modelo. Para o modelo, o horizonte de estudo é de até 14 dias, com possibilidades de discretização em intervalos de meia-hora, 1 hora ou em patamares cronológicos de duração variável. Cada intervalo (instante) de tempo na discretização será tratado neste documento pelo termo "período".

No uso prático para a programação da operação e formação de preços para o sistema brasileiro, ao executar o modelo DESSEM em um dia "D" do calendário civil, este horizonte de estudo é dividido tipicamente em duas partes:

- **horizonte de programação:** corresponde à programação da operação para o dia seguinte (D+1), onde se adota, tipicamente, uma discretização semi-horária, a fim de se ter um refinamento adequado na operação e na determinação do preço;
- um **horizonte estendido**, que corresponde aos demais dias da semana até se atingir o final de uma sexta feira, onde se obtém uma função de custo futuro (FCF) do modelo DECOMP. Neste horizonte, pode-se adotar períodos de tempo de maior duração, para diminuir o esforço computacional na resolução do problema.

A Figura 4-1 ilustra a representação temporal do modelo DESSEM e o acoplamento com o planejamento da operação ao final do seu horizonte de estudo, que será descrito com mais detalhes no capítulo 5.



**Figura 4-1 – Horizonte de estudo, discretização temporal e acoplamento do modelo DESSEM com o planejamento de curto prazo: FCF e metas semanais de geração térmica ou intercâmbio.**

Neste manual, o número de períodos no horizonte de estudo é denotado por  $T$ , e a duração de cada período  $t$  é denotado por  $\Delta_t$ . A definição das durações dos períodos ao longo do horizonte de estudo é totalmente flexível. Entretanto, nos estudos oficiais, representam-se períodos com discretização semi-horária no primeiro dia e em patamares cronológicos para os demais dias.

#### 4.1 Períodos semi-horários

A granularidade mínima permitida no DESSEM é de meia-hora, adotada no primeiro dia de estudo do DESSEM para as aplicações oficiais pelo ONS e CCE, onde, a partir da curva de carga horária contínua, são obtidos valores semi-horários de carga, fornecidas ao modelo DESSEM, como mostra a Figura 4-2.

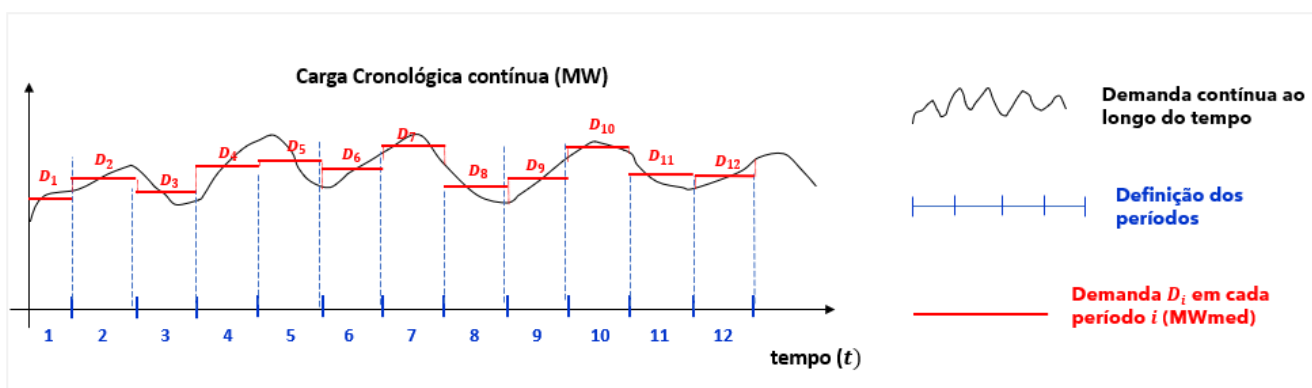


Figura 4-2 - Representação por períodos semi-horários no horizonte de programação do DESSEM.

#### 4.2 Patamares cronológicos

Os períodos que apresentam duração superior a meia ou 1 hora, situados em geral no horizonte estendido, são tipicamente denominados de "patamares cronológicos". Nestes períodos, os dados do sistema seriam constituídos por uma média dos valores fornecidos nos dados de entrada ao longo das horas que constituem o patamar. Para o caso da carga, por exemplo, seria feita uma agregação da curva de carga horária em intervalos cronológicos superiores a uma hora, como mostra a Figura 4-3.

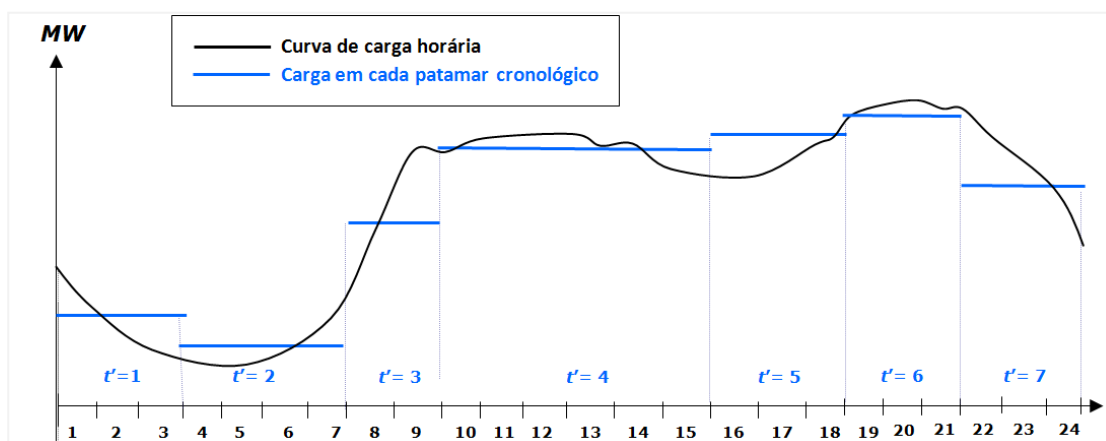


Figura 4-3 - Representação por patamares cronológicos no horizonte estendido do DESSEM.

Ressalta-se que o modelo não exige que os dados de entrada sejam informados na mesma escala temporal adotada para a representação de patamares cronológicos. Ou seja, pode-se informar, por exemplo, os dados em discretização horária ao longo de todo o horizonte de estudo, e o próprio modelo se encarrega de calcular os valores médios por período. Para maiores detalhes, consulte o Manual do Usuário do DESSEM. Já os resultados do modelo são publicados nos relatórios de saída sempre por período, portanto naturalmente já respeitarão a discretização temporal adotada.

É importante lembrar que, embora a definição dos patamares cronológicos seja fortemente guiada pela curva de carga, a utilização de patamares cronológicos no DESSEM não é equivalente, em termos de modelagem temporal, à representação de patamares de carga adotada nos modelos DECOMP e NEWAVE. A representação por patamares de carga nos modelos DECOMP/NEWAVE não possui sequência cronológica e pode incluir, em um mesmo patamar de carga, instantes de tempo que não estão temporalmente conectados. Para mais detalhes, consulte o Manual do modelo DECOMP.

### **4.3 Horário de verão**

Nos sistemas em que existe horário de verão, este aspecto, apesar de aparentemente ser um detalhe da operação do sistema, torna-se importante em um modelo de discretização horária como o DESSEM. Uma vez informado ao modelo a entrada ou saída do horário de verão para determinado dia do horizonte de estudo do DESSEM, o modelo automaticamente tratará a leitura dos dados de entrada e a resolução do problema considerando uma hora a menos ou a mais para esse dia, respectivamente. Detalhes devem ser consultados no Manual do Usuário do modelo.

### **4.4 Ano Bissexto**

A identificação de ano bissexto é feita automaticamente pelo modelo, em função da data de início do estudo informada pelo usuário, considerando desta forma o mês de fevereiro com 29 ou 28 dias, dependendo do caso. Não é necessário nenhum dado ou tratamento do usuário quanto a esse aspecto.

### **4.5 Representação de cenários**

Atualmente, o modelo DESSEM considera um problema de otimização determinístico, ou seja, a programação é determinada a partir do valor esperado (previsão) das variáveis aleatórias (incertezas) existentes no problema. Em particular, considera-se a previsão de vazões afluentes às usinas hidrelétricas para os próximos dias, que pode ser obtida com os modelos PREVIVAZ ou PREVIVAZH [43], [44], além de uma previsão da geração eólica, que pode ser obtida de forma probabilística com o modelo VENTOS desenvolvido pelo CEPEL [39]. Ressalta-se que, nos processos oficiais do ONS, têm sido utilizados para esses fins, além do modelo PREVIVAZ, modelos SMAP e de previsão eólica desenvolvidos pelo ONS.

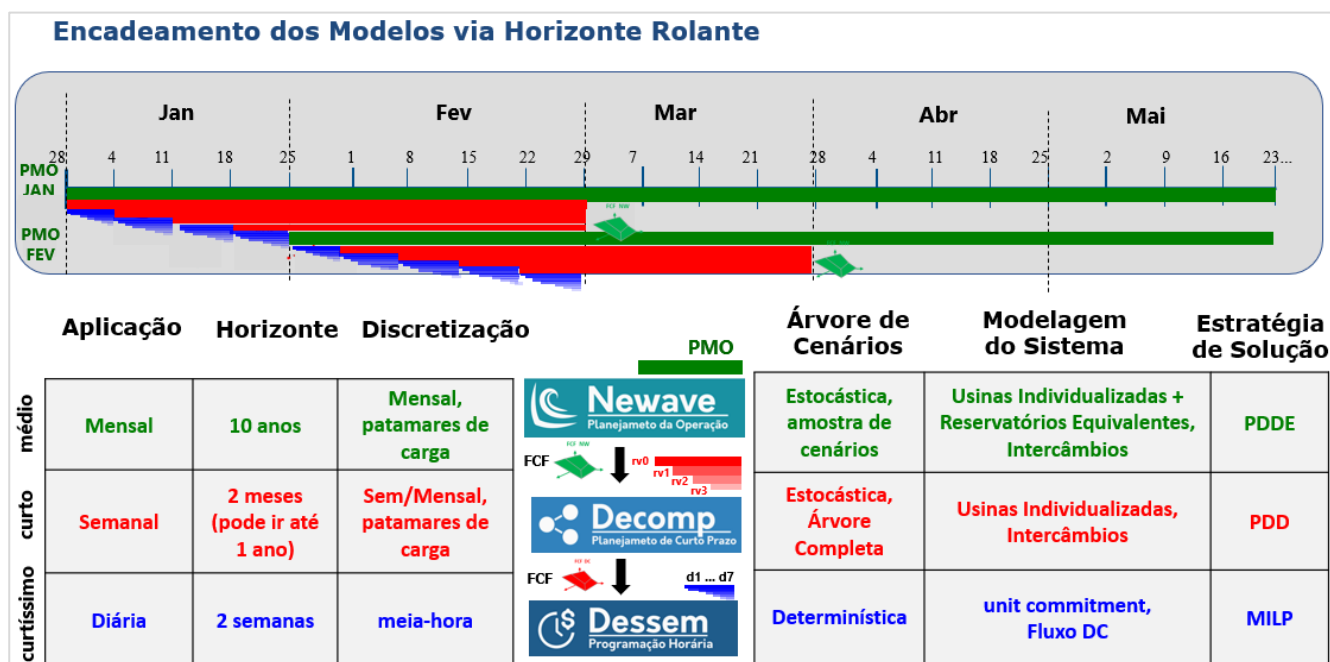
Ainda que o problema considerado seja determinístico, é possível fazer diversas simulações em série com o modelo DESSEM, para diversos cenários de vazões e geração eólica. As pesquisas para introdução da incerteza explicitamente no modelo DESSEM estão em curso no momento.

## 5 ACOPLAMENTO COM O PLANEJAMENTO A CURTO PRAZO (DECOMP)

Como o horizonte de estudo do DESSEM é muito curto, é necessário que o modelo se ajuste à maneira como é feito o planejamento de curto, médio e longo prazos, que em geral é feito em etapas, como descrito a seguir.

### 5.1 Etapas de planejamento da Operação no Brasil

No Brasil, a divisão do planejamento da operação em etapas tem sido realizada desde o início da década de 2000 com o auxílio de uma cadeia de modelos computacionais desenvolvida pelo CEPEL [6], que são resolvidos em sequência, de maneira integrada, como mostra a Figura 5-1, que indica as principais características de cada modelo. Ressalta-se que, a partir de 2003, o ONS denominou as etapas de longo, médio e curto prazo do planejamento da operação, respectivamente, de etapas de médio prazo, curto prazo e de programação diária. O termo “longo prazo” ficou reservado ao problema de expansão, com horizonte temporal igual ou superior a 10 anos.



**Figura 5-1 - Processo de planejamento da operação e estabelecimento do preço no mercado de curto prazo para o Sistema Interligado Nacional Brasileiro (SIN) utilizando os modelos desenvolvidos pelo CEPEL.**

Na etapa de médio prazo, o ONS utiliza o modelo NEWAVE, realizando estudos mensais com horizontes de até 5 anos, tendo como principal objetivo construir uma política de operação, traduzida por meio de funções de custo futuro (FCF) que valoram a água nos reservatórios e são utilizadas pelos demais modelos. No curto prazo, com o modelo DECOMP determinam-se, a cada semana, metas individuais de geração para as usinas térmicas e hidrelétricas, bem como os intercâmbios de energia entre

subsistemas, a partir da FCF do modelo NEWAVE. Finalmente, na programação diária da operação, com o modelo DESSEM, define-se uma programação de geração sujeita às condições operativas das usinas hidrelétricas, termoeletricas e da rede elétrica, a partir da FCF obtida pelo modelo DECOMP.

Ressalta-se que cada um destes modelos necessita, para sua utilização, de uma série de modelos auxiliares para fornecer os dados necessários para a determinação do planejamento, tais como previsão de carga, geração de cenários ou previsão de aflúncias, previsão/geração de cenários de produção eólica, restrições para controle de cheias, cronograma de manutenção, entre outros.

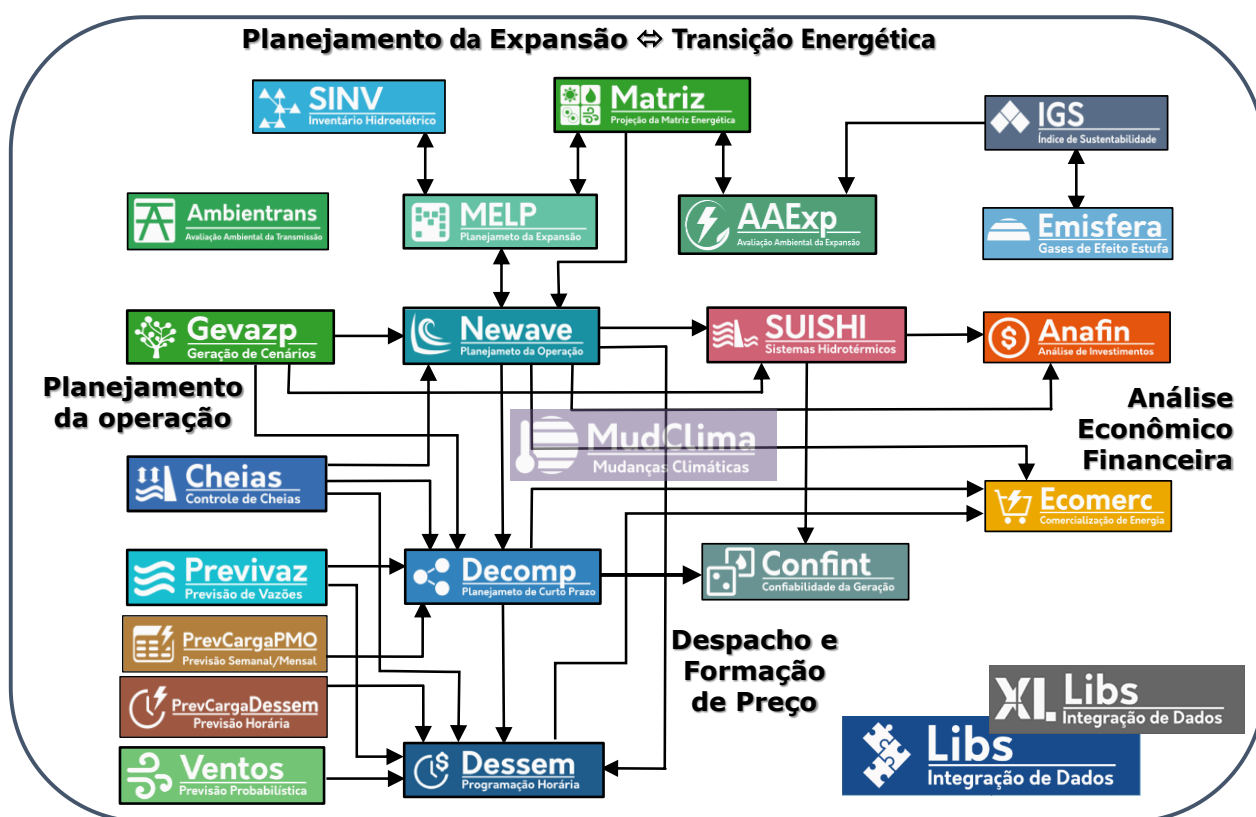


Figura 5-2 - Integração dos modelos NEWAVE, DECOMP e DESSEM com outros modelos desenvolvidos pelo CEPEL para o Planejamento da Operação hidrotérmica.

## 5.2 Integração do DESSEM com os modelos DECOMP e NEWAVE

Como já foi mencionado, a divisão do problema de planejamento da operação em etapas requer uma coordenação entre os modelos utilizados em cada uma delas, para que se consiga a otimização do problema como um todo. A ordem de execução dos modelos deve ser do longo prazo até o curto prazo, em uma estratégia de horizonte rolante: o modelo NEWAVE é executado uma vez por mês, o modelo DECOMP uma vez por semana e o modelo DESSEM diariamente, como ilustrado na Figura 5-1.

Descrevem-se a seguir as diferentes formas pelas quais o modelo DESSEM pode se acoplar com o modelo DECOMP..

### **5.2.1 Acoplamento via função de custo futuro do DECOMP**

Nesta forma encadeada de acoplamento, utilizada no processo de programação de despacho e formação do preço de liquidação de diferenças no Brasil (PLD), o acoplamento é feito com a função de custo futuro (FCF) do modelo DECOMP. Desta forma, obtêm-se os chamados “valores da água” para as diversas usinas hidrelétricas, os quais indicam os benefícios incrementais no futuro, medidos a valor presente, de se manter água armazenada nos reservatórios ao final do horizonte de curto prazo. Utiliza-se, na cadeia de modelos para planejamento do SIN, uma abordagem sofisticada que consiste em se construir uma função de custo futuro (FCF) multivariada para o sistema, que relaciona o custo esperado de operação no futuro com o vetor de volumes armazenados em todos os reservatórios ao final do horizonte de curto prazo.

Desta forma, o problema de PDO incorpora, a priori, a função de custo futuro (FCF) construída pelo modelo DECOMP ao final do horizonte de estudo. Ao valorar economicamente a água dos reservatórios, esta função permite que o modelo DESSEM calcule, de forma implícita, custos incrementais de geração hidrelétrica variáveis com os níveis dos reservatórios e o ponto de operação da usina, que podem ser comparados com os custos de geração termoelétrica.

Apesar de não incorporar explicitamente nenhuma medida de risco (por se tratar de um problema determinístico), a medida CvaR considerada nos modelos NEWAVE e DECOMP está embutida na função de custo futuro fornecida pelo DECOMP.

## **5.3 Acoplamento por metas operativas**

Além da informação dos valores da água nos reservatórios, por meio da FCF, o acoplamento do modelo DESSEM com o planejamento a curto prazo pode ser realizado através do estabelecimento de metas operativas para o horizonte de estudo do DESSEM. Assim, independentemente do valor da água no futuro, a operação ao longo do horizonte do DESSEM deve ser realizada objetivando atingir essas metas.

As metas que podem ser consideradas para o DESSEM são descritas a seguir. Recomenda-se o uso destas metas de forma **complementar** ao acoplamento via função de custo futuro, visto que, caso estas metas sejam atendidas com “folga”, o modelo pode realizar operação indesejáveis devido à ausência de informações sobre as vantagens, para o futuro, de armazenamento da água nos reservatórios ao final do horizonte de estudo.

### **5.3.1 Acoplamento por metas semanais de geração térmica ou intercâmbios**

Uma alternativa de acoplamento, consiste em se definir para a PDO metas de geração semanal para cada usina térmica, ou metas de recebimento semanal de energia para cada submercado, como ilustrado na Figura 5-3.

A formulação matemática dessas restrições é apresentada na seção 21.3. Uma descrição mais detalhada dessa modelagem e os efeitos de seu uso no modelo DESSEM são descritos em [19].

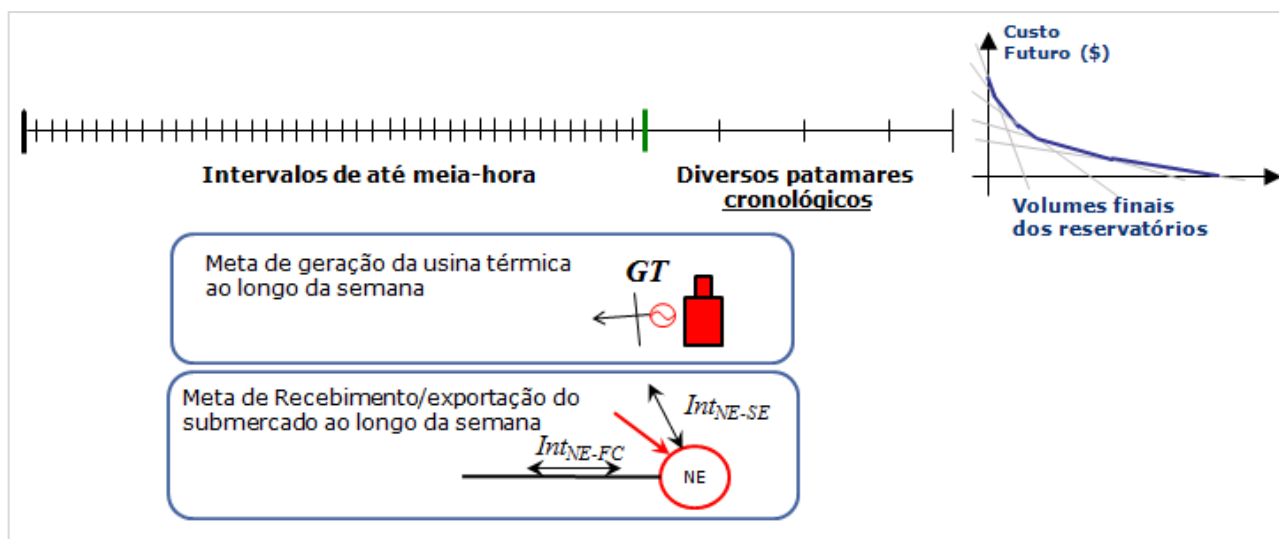


Figura 5-3 - Acoplamento do modelo DESSEM com o DECOMP, por meio de uma função de custo futuro e/ou pelo estabelecimento de metas semanais de geração térmica e intercâmbios entre submercados.

### 5.3.2 Acoplamento por metas de armazenamento mínimo no final do horizonte de estudo

Finalmente, para evitar um deplecionamento arbitrário dos reservatórios durante o horizonte de estudo do DESSEM, devido à inexistência de custo presente de geração hidráulica, podem ser inseridas restrições de volume mínimo para os reservatórios ao final do horizonte de estudo.

A formulação matemática dessas restrições é descrita na seção 23.7.2.

## 6 ACOPLAMENTO COM O PLANEJAMENTO A MÉDIO PRAZO (NEWAVE)

A partir de 2023 o modelo DESSEM passou a permitir um acoplamento direto com uma função de custo futuro (FCF) fornecida pelo modelo NEWAVE. Esta funcionalidade permite que se possa fazer uma avaliação, do ponto de vista horário, da política operativa fornecida pelo NEWAVE, para dias/semanas típicos no futuro. Isto torna-se importante com o aumento na penetração das fontes renováveis intermitentes, ou seja, que possuem grande incerteza e variabilidade no perfil horário de geração. Da mesma forma que na integração do DECOMP com o DESSEM, pode-se utilizar uma ferramenta de integração entre o modelo NEWAVE e DESSEM, denominada NW2DS, que é capaz de gerar decks do DESSEM correspondentes a diversos períodos e séries do NEWAVE, considerando perfis diários/semanais típicos para as cargas e as gerações das fontes intermitentes.

Portanto, o acoplamento do DESSEM com o modelo NEWAVE é composto de dois processos importantes, que é descrito de forma mais ampla em [7], [45].

### 6.1 Conversão dos dados do NEWAVE para o DESSEM

A partir do subproblema para uma série  $s$  e período  $t$ , do NEWAVE, constrói-se um subproblema com discretização horária e horizonte diário ou semanal, a partir da desagregação dos armazenamentos nos reservatórios equivalentes (caso seja um período a reservatórios equivalentes de energia no NEWAVE (REE)) em volume individualizados para as usinas. Pode-se perfilar também, ao longo das horas do dia e da semana, os valores médios mensais da carga e gerações das fontes intermitentes e pequenas com base em perfis típicos e/ou fatores horários. Este processo é ilustrado na Figura 6-1.

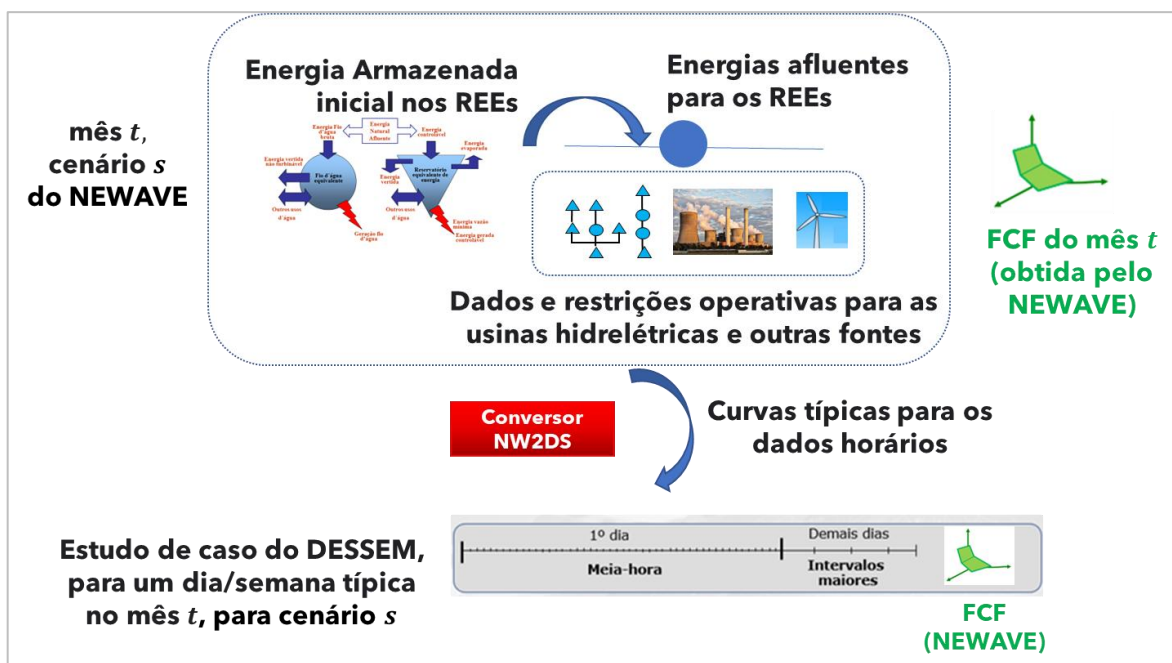


Figura 6-1 – Esquema ilustrativo da geração de um caso de DESSEM a partir de um subproblema do NEWAVE.

## 6.2 Realização de simulações horárias com o DESSEM para várias séries / períodos

O processo descrito na seção anterior pode ser reproduzido para um conjunto grande de séries do NEWAVE (históricas ou sintéticas) e para os subproblemas de diversos períodos ao longo do horizonte de planejamento do NEWAVE. Com isso, pode-se realizar simulações horárias (cronológicas ou para um dia/semana típico por mês) de forma a avaliar o comportamento, em base horária, da política de operação calculada pelo NEWAVE. O processo geral é ilustrado na Figura 6-2, e o procedimento específico para cada período e série na Figura 6-3.

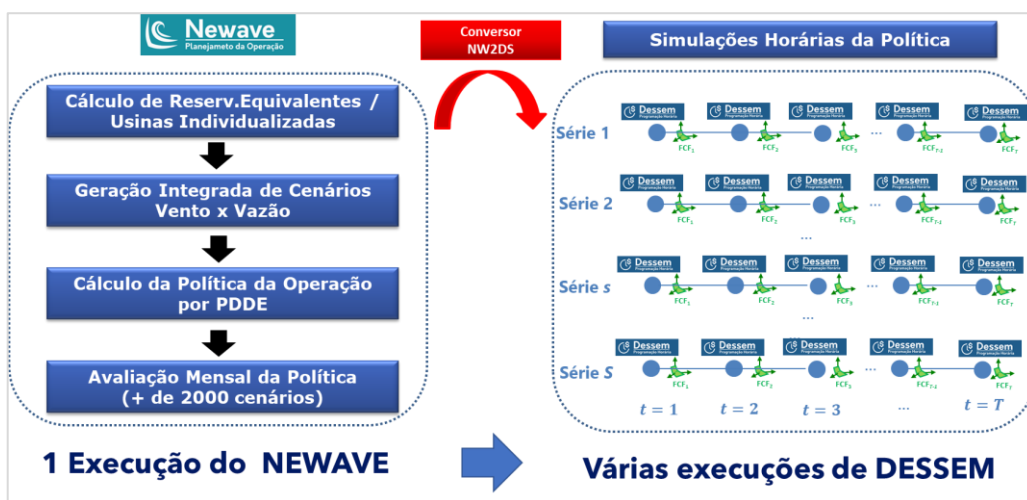


Figura 6-2 – Processo de simulação horária, com o DESSEM, da política operativa obtida pelo NEWAVE.

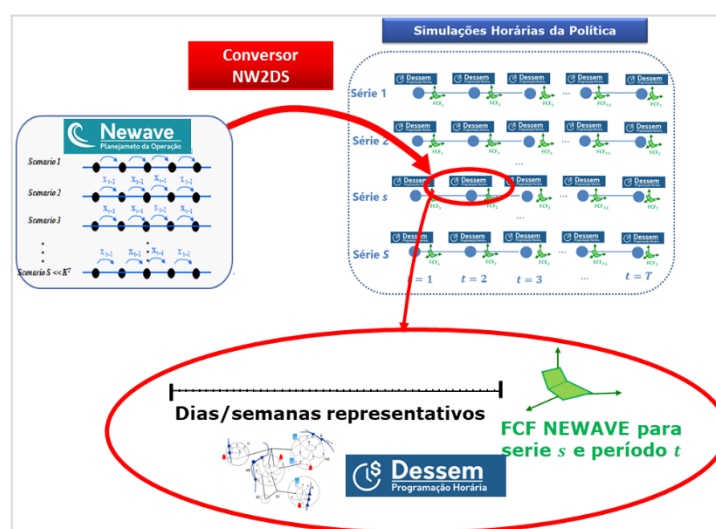


Figura 6-3 – Processo específico de conversão/execução de cada caso do DESSEM;

**PARTE III – COMPONENTES DO SISTEMA:  
CARACTERÍSTICAS E RESTRIÇÕES FÍSICAS**

## 7 SUBMERCADOS

O modelo DESSEM considera um sistema elétrico contendo um parque gerador composto de usinas hidrelétricas, usinas elevatórias (ou de bombeamento), usinas termoeletricas, usinas eólicas e solares (cujo despacho pode ser reduzido para fins de viabilidade ou redução de custo), assim como fontes adicionais de geração, como pequenas centrais hidroelétricas, usinas a biomassa, geração distribuída e outras fontes de energia, que são representadas como “pequenas usinas” cujo despacho não é otimizado pelo modelo. Para representar a rede de transmissão, os geradores são dispostos em submercados (subsistemas) interconectados por meio de grandes troncos de interligação. Pode-se representar ainda a compra/venda de energia com sistemas externos, assim como o caso particular de interconexão com o Paraguai, por meio da usina de Itaipu. As usinas hidrelétricas são representadas de forma individualizada, dispostas em cascata ao longo das bacias. Para fins de relatórios, o modelo DESSEM recebe a informação da composição dos reservatórios equivalentes de energia que foram considerados no modelo NEWAVE. Independente de se considerar ou não a rede elétrica no problema, cada usina está localizada em determinado submercado, e cada submercado contém um conjunto de usinas hidrelétricas e termoeletricas, além da localização de outras fontes de energia.

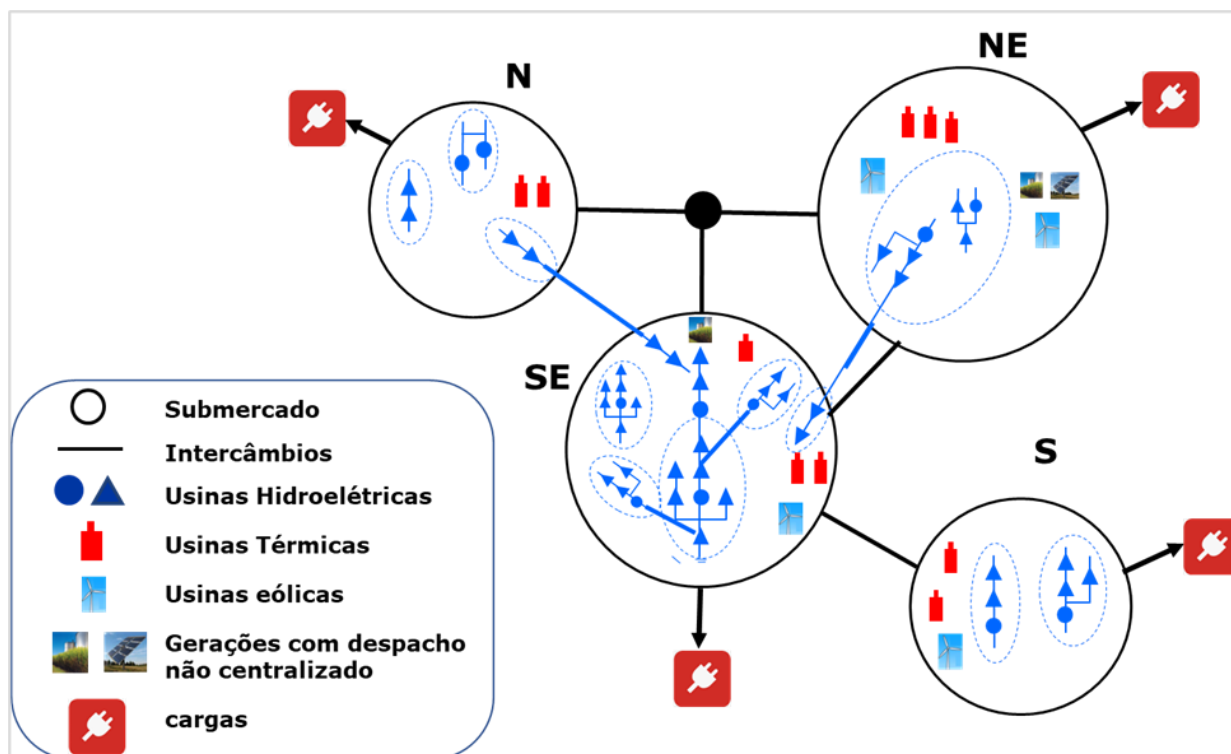


Figura 7-1 - Representação esquemática da disposição das usinas e intercâmbios energéticos entre submercados.

## 7.1 Submercados / Subsistemas

Um submercado é definido como uma região onde, em estudos sem rede elétrica, não há restrições internas de intercâmbio, ou seja, todas as cargas das barras nela localizadas podem ser agregadas e consideradas por um valor único, referente a esse submercado. Por esse motivo, o custo marginal de operação (CMO) é definido por submercado, e este é composto por um conjunto de usinas hidrelétricas, usinas elevatórias, usinas termoelétricas e outras fontes de geração/consumo de carga. Em algumas situações, torna-se necessário definir submercados fictícios, que não possuem geração ou carga, com o intuito de representar nós do sistema de interligação entre os submercados. Cada componente do sistema descrito neste manual pertence a um determinado submercado.

Neste documento, os termos "submercado" e "subsistema" são utilizados de forma indistinta, embora se adote preferencialmente o termo submercado para reforçar o fato de que estão relacionados a preços diferentes para o mercado de energia, caso a opção de regionalização do preço seja por subsistema. O número de submercados é denotado por *NS*.

### 7.1.1 Submercados (nós) fictícios

A existência de nós (bifurcações / ramificações) no sistema de transmissão pode ser modelada no DESSEM definindo-se submercados fictícios, que não possuem geração nem carga. Podem ser utilizados para modelar a restrição de intercâmbio (vide a seguir) entre as gerações 50Hz e 60Hz de Itaipu e os submercados SU/SE (nó de Ivaiporã). Nos estudos com o sistema brasileiro, isto ocorre no nó fictício de Imperatriz (FC) e o nó Ivaipora (IV).

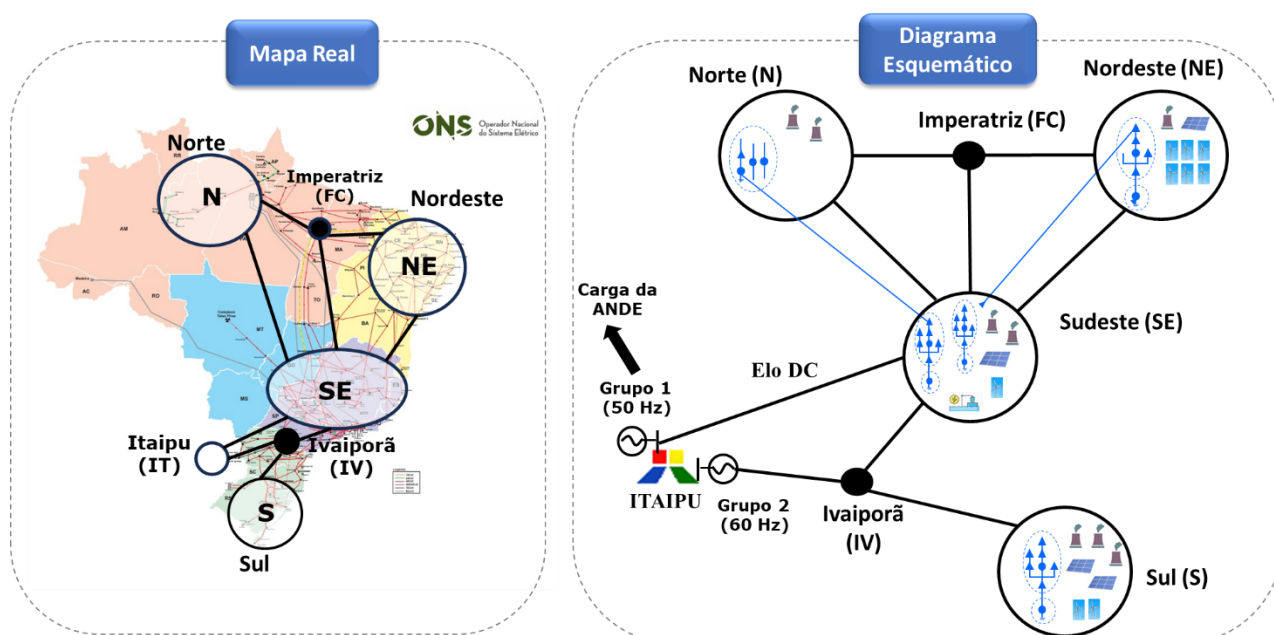


Figura 7-2 – Representação dos nós fictícios de Imperatriz (FC) e Ivaiporã (FC) no modelo DESSEM.

## 7.2 Intercâmbios

São os troncos para representar a interligação energética entre submercados, com capacidade limitada de transferência de energia. Estes intercâmbios têm o objetivo de definir os grandes troncos de interligação do sistema

Representam-se, no problema, intercâmbios entre os diversos submercados. O intercâmbio de energia  $Int_{ij}^t$  entre dois submercados  $i$  e  $j$  em cada período  $t$  é limitado em ambos os sentidos pelas capacidades de intercâmbio  $\overline{Int}_{ij}^t$  e  $\overline{Int}_{ij}^t$ , que podem ser variáveis por período. A expressão (7.1) representa os limites de intercâmbio, que se aplica a todos os submercados que se interconectam com o submercado  $i$ , identificados pelo conjunto  $\Omega_{Si}$ .

$$Int_{sfr(i),st(i)}^t \leq \overline{Int}_{sfr(i),st(i)}^t, \quad Int_{st(i),sfr(i)}^t \leq \overline{Int}_{st(i),sfr(i)}^t, \quad i = 1, \dots, NINT. \quad (7.1)$$

Nos estudos com rede, embora esta representação seja desnecessária (pois os próprios circuitos que compõem a interligação serão considerados na rede elétrica), em alguns casos é interessante se manter um limite para os intercâmbios entre os subsistemas. O número total de intercâmbios é  $NINT$  e  $sfr(i)$ ,  $sto(i)$  definem os submercados de origem e destino de cada intercâmbio  $i$ .

## 7.3 Atendimento à demanda por submercado

Considera-se uma restrição de atendimento à demanda por submercado, para cada intervalo de tempo, não só para os períodos sem rede elétrica, mas também para os períodos com rede elétrica, onde já se tem as equações de atendimento à demanda por barra (vide seção 15.4). No segundo caso, a vantagem dessas restrições é já obter um ponto de operação razoável, em relação à distribuição das gerações ao longo do sistema, nas primeiras iterações do processo iterativo de consideração das restrições de rede, descritas na seção 26.

Para os trechos do horizonte de estudos em que se adotam patamares cronológicos (vide seção 4.2), esta curva é agregada nos intervalos de tempo correspondentes aos patamares cronológicos, assim como todos os demais dados que são informados em escala mais refinada do que o intervalo de duração do período de tempo na discretização temporal adotada.

O atendimento à demanda por submercado é expressa pela seguinte restrição:

$$\begin{aligned} & \sum_{i \in \Omega_{SHk}} GH_i^t + \sum_{i \in \Omega_{STk}} gt_i^t - \sum_{i \in \Omega_{SEBk}} Cons_{EB_i} Eb_i^t + \sum_{i \in \Omega_{SPQk}} G_{PQ_i}^t + \sum_{i \in \Omega_{SCIk}} Eci_i^t \\ & - \sum_{i \in \Omega_{SCEk}} Ece_i^t + \sum_{i \in \Omega_{SEOLk}} G_{eol_i}^t + \sum_{i \in \Omega_{SSOLk}} G_{solar_i}^t \\ & + \sum_{i \in \Omega_{SIk}} (Int_{ik}^t - Int_{kj}^t) - \sum_{i \in \Omega_{SBat_k}} \eta_{bat_i} \Delta Earm_{bat_i}^t + \sum_{i=1,ndc_k^t} Defc_{i,k}^t \\ & = D_k^t \end{aligned} \quad (7.2)$$

onde

$$D_k^t = \sum_{i \in \Omega_{SB_k}} d_i^t, \quad (7.3)$$

sendo  $D_k^t$  a demanda do submercado  $k$ , no período  $t$ , composto pela soma das cargas  $d_i^t$  de todas as barras  $i$  no conjunto  $\Omega_{SB_k}$  de barras que pertencem ao submercado  $k$ . Os conjuntos  $\Omega_{SH_k}$ ,  $\Omega_{ST_k}$ ,  $\Omega_{SEB_k}$ ,  $\Omega_{SPQ_k}$ ,  $\Omega_{SCI_k}$ ,  $\Omega_{SCE_k}$ ,  $\Omega_{SEOL_k}$ ,  $\Omega_{SSOL_k}$ ,  $\Omega_{SBAT_k}$  correspondem ao conjunto de usinas hidrelétricas, unidades térmicas, estações de bombeamento, pequenas usinas, contratos de importação e contratos de exportação, usinas eólicas, usinas solares e baterias associados ao submercado  $k$ , respectivamente, e o conjunto  $\Omega_{SI_k}$  indica o conjunto de submercados que estão diretamente associados ao submercado  $k$ .

## 7.4 Restrição de transporte entre Itaipu 50 e 60 Hz e os submercados SU/SE

A representação da capacidade de transporte de energia entre Itaipu e os subsistemas Sul e Sudeste é realizada pela incorporação opcional de um conjunto de restrições específico para este fim, que incluem a incorporação do nó de Ivaiporã ao sistema. A Figura 5.2 ilustra a representação da interligação de Itaipu com a inclusão desse nó. Ressalta-se que a usina está situada na região Sudeste, mas a sua geração total é repartida, por meio de restrições, entre as linhas de transmissão de 50Hz e 60Hz. A carga da ANDE está incorporada à geração 50Hz.

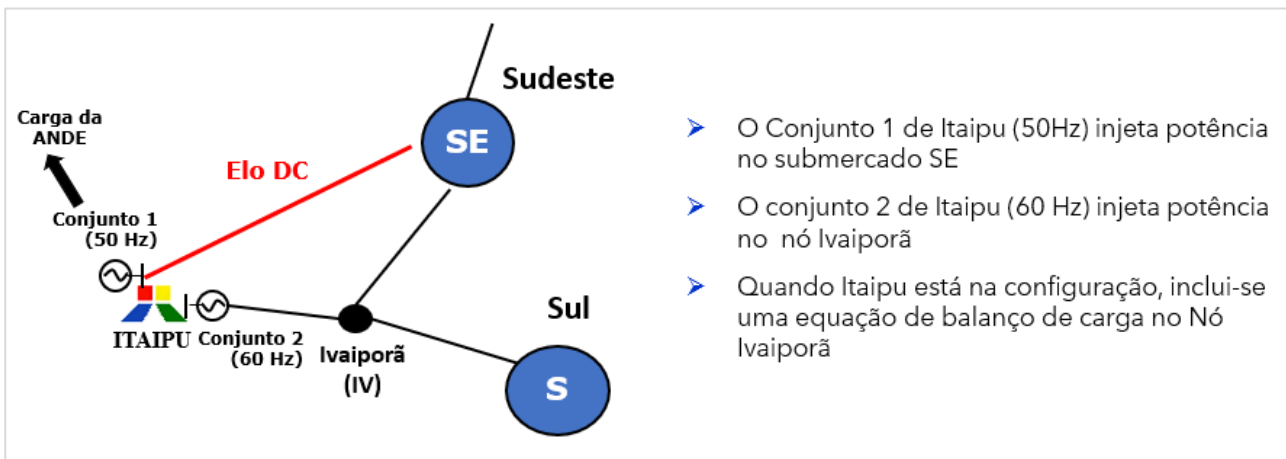


Figura 5.2 – Representação das gerações 50Hz e 60Hz de Itaipu.

## 7.5 Modelagem de Elos HVDC (Corrente contínua)

A representação dos elos HVDC, que transmitem energia a corrente contínua, pode ser feita através da representação de contratos de importação e exportação de energia (vide seção 7.5) “espelhados”, nos pontos de origem e destino do elo, impondo-se restrições elétricas especiais (vide seção 21.1.4) associadas a estes contratos, para igualar os valores de exportação de energia (na origem) com os de importação de energia (destino). A Figura 7-3 ilustra a modelagem desse elo.

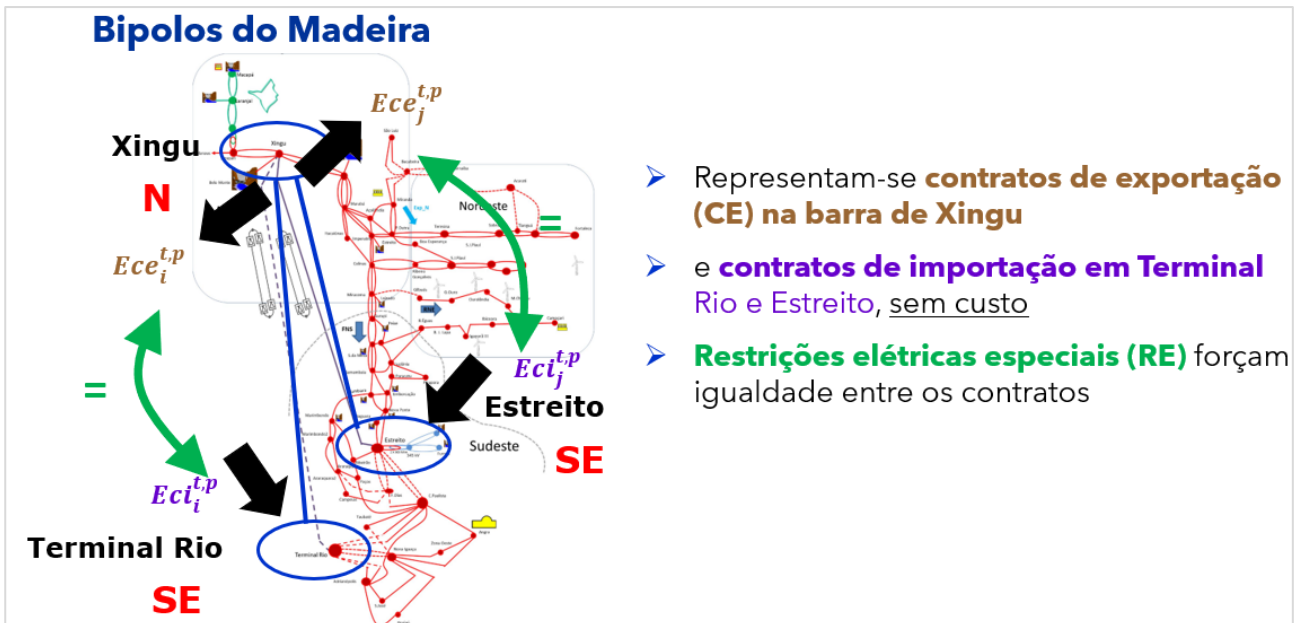


Figura 7-3 – Exemplo de modelagem de elos de corrente contínua no modelo DESSEM.

## 8 CONTRATOS DE IMPORTAÇÃO/EXPORTAÇÃO (COMERCIALIZAÇÃO) DE ENERGIA COM OUTROS SISTEMAS

Os contratos de importação e/ou exportação de energia representam a compra e/ou venda de energia com **subsistemas externos** (ex. Argentina). Define-se, para cada contrato, o seu tipo (importação/exportação), e os valores de limite inferior/superior de energia contratada, além do custo para a energia comprada (em caso de importação) ou vendida (em caso de exportação), que podem ser variáveis para cada período. As expressões (8.1) e (8.2), representam os limites mínimos  $\underline{Eci}_i^t$ ,  $\underline{Ece}_i^t$  e máximos  $\overline{Eci}_i^t$ ,  $\overline{Ece}_i^t$  para a energia importada ( $Eci_i^t$ ) e exportada ( $Ece_i^t$ ), respectivamente, para cada um dos contratos de importação e exportação, cujas quantidades são denotadas por  $NCI$  e  $NCE$ , respectivamente. A modelagem destes contratos é mostrada na Figura 8-1

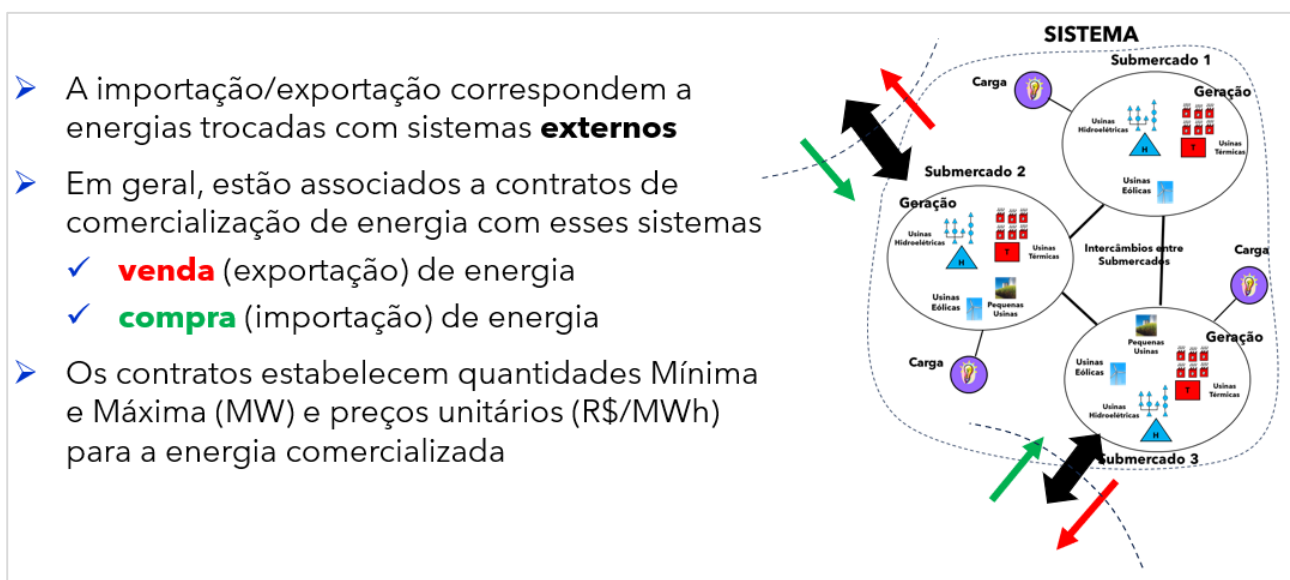


Figura 8-1 – Modelagem da importação e exportação de energia com sistemas externos.

As expressões matemáticas para os limites destes contratos são apresentadas abaixo.

$$\underline{Eci}_i^t \leq Eci_i^t \leq \overline{Eci}_i^t ; \quad i = 1, \dots, NCI \quad (8.1)$$

$$\underline{Ece}_i^t \leq Ece_i^t \leq \overline{Ece}_i^t ; \quad i = 1, \dots, NCE. \quad (8.2)$$

Ressalta-se que, para contratos de importação, a representação é semelhante ao de uma usina térmica. Já contratos de exportação podem ser usados para representar, além da venda de energia propriamente dita, consumidores que respondam à demanda, de uma forma simplificada. Ou seja, dado um preço que se aceite pagar pela energia (preço de energia importada), o consumidor será atendido apenas se o custo marginal de operação do submercado em questão for inferior a esse preço. A modelagem do preço da energia importada (exportada) é apresentada na seção 16.3.

## 9 USINAS HIDRELÉTRICAS

Nesta seção descreve-se a modelagem das usinas hidrelétricas no modelo DESSEM.

As usinas hidrelétricas geram energia utilizando a água presente nos rios, convertendo energia potencial em energia mecânica nas turbinas e, na sequência, em energia elétrica no gerador. A instalação de uma usina hidrelétrica possui os seguintes componentes:

- uma **barragem**, que divide a instalação em duas regiões: uma a montante da barragem e uma a jusante da barragem, conforme se situa antes ou depois da barragem, respectivamente, seguindo o curso de água nos rios
- um **reservatório** de acumulação de água, que se encontra à montante da barragem;
- uma **casa de força**, que se encontra junto à barragem, por onde passa a vazão turbinada para geração de energia
- um **vertedouro**, também situado junto à barragem, por onde passa a vazão vertida (que não é aproveitada para geração)
- um **canal de fuga**, que corresponde à continuação do curso do rio, após a barragem

A Figura 9-1 ilustra um esquema de uma usina hidrelétrica e as principais variáveis associadas à sua operação, que serão descritas ao longo deste documento.

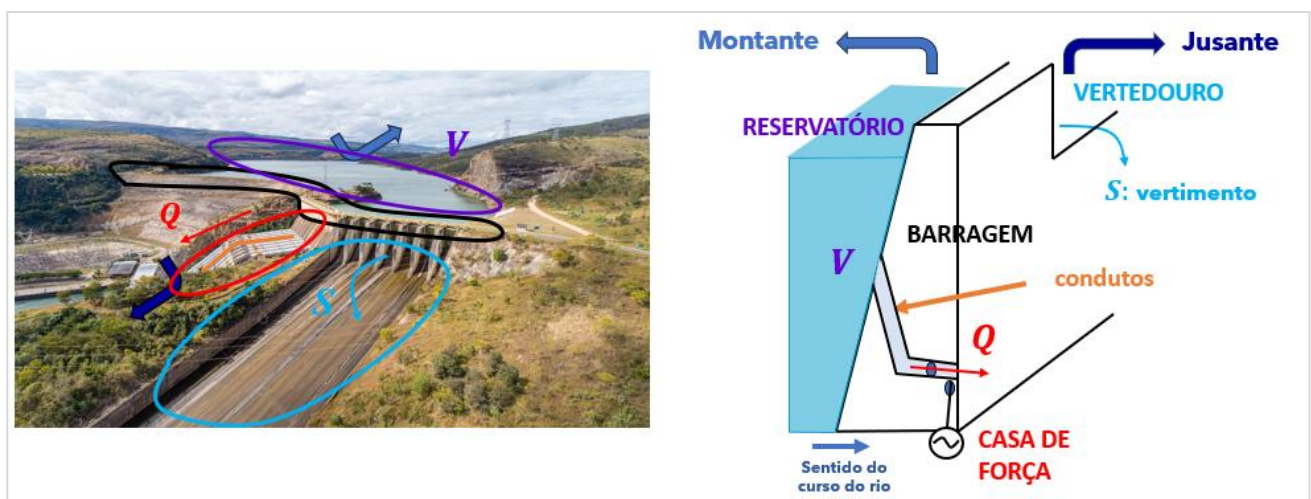


Figura 9-1—Desenho de uma usina hidrelétrica (Furnas) e representação esquemática de seus componentes e principais variáveis operativas (Fonte: <https://www.designi.com.br/4f67ee1663005283>)

## 9.1 Dados de Cadastro

Para a programação diária da operação eletroenergética, além das informações sobre a topologia das usinas – montantes, jusantes, desvios e estações de bombeamento – são necessários dados cadastrais das usinas hidrelétricas. A seguir relacionam-se os dados de cada usina  $i$  que são utilizados na modelagem das usinas hidrelétricas, que será descrita ao longo deste capítulo.

### Para a topologia dos reservatórios

- usina de jusante
- usina de desvio (se houver);

### Para o reservatório:

- volumes mínimo ( $\underline{V}_i$ ) e máximo ( $\overline{V}_i$ );
- coeficientes  $\{a_{cv_i}, i = 0, \dots, 4\}$  do polinômio cota  $\times$  volume do reservatório;
- coeficientes  $\{a_{ac_i}, i = 0, \dots, 4\}$  do polinômio área  $\times$  cota do reservatório;
- coeficientes  $\{a_{cf_i}, i = 0, \dots, 4\}$  do polinômio cota  $\times$  vazão, que define a cota do canal de fuga em função da vazão defluente;
- *flag* que indica se o vertimento da usina impacta a cota do canal de fuga, para fins de aplicação do polinômio cota  $\times$  vazão;
- coeficientes médios  $\{c_{ev_{i,j}}, i = 1, \dots, 12\}$  de evaporação (*mm/mês*) para cada mês  $j$ ;
- volume  $V_{sol_{vt_i}}$  associado à soleira do vertedouro da usina hidrelétrica  $i$ ;
- volume  $V_{sol_{dv_i}}$  associado à soleira de desvio (quando aplicável) da usina hidrelétrica  $i$ .

### Para a casa de força:

Cada usina hidrelétrica pode possuir uma série de unidades geradoras (ou máquinas), distribuídas em um ou mais conjuntos de máquinas. Considera-se que as características físicas das unidades pertencentes ao mesmo conjunto são idênticas.

- número de conjuntos de máquinas  $ncj_i$  da usina;
- $nmq_{i,j}$ : número de máquinas em cada conjunto;
- potência máxima  $\overline{gh}_{i,j}$  e turbinamento máximo nominal  $\overline{q}_{i,j}$  de cada unidade  $j$  da usina, definida de acordo com o conjunto de máquinas ao qual pertence;

- produtividade específica  $\rho_{esp_i}$ , que define a geração média por unidade de vazão e unidade de altura de queda ( $MW/(m^3/s)$ );
- perdas na tomada de água e adução até as turbinas, que podem ser dadas por um valor  $h_{perdas}$  constante, em metros, ou por um fator  $k_{perdas}$ , em p.u. da altura de queda bruta.

Essas informações são disponibilizadas pelo ONS em um cadastro de usinas hidrelétricas, denominado "hidr.dat", que é atualizado periodicamente. Esses dados podem ser alterados individualmente pelo usuário, em registros específicos de alteração de cadastro.

## 9.2 Usinas a fio d'água e reservatórios de regularização

As usinas hidrelétricas podem ser classificadas de acordo com o tipo de regularização, que está associado à forma como a água nos reservatórios é operada.

- **usina de regularização**, se o armazenamento  $V_i^t$  da usina  $i$  ao final de cada período  $t$  pode oscilar entre seus volumes mínimo  $\underline{V}_i$  e máximo  $\overline{V}_i$  definidos em cadastro;
- **usina a fio d'água**, se o seu armazenamento é sempre constante e, portanto,  $V_i^t = \underline{V}_i = \overline{V}_i$ .

## 9.3 Topologia hidráulica

Topologicamente, as usinas hidrelétricas estão dispostas em cascata ao longo dos rios. Uma usina que se encontra acima de outra usina é denominada *usina de montante*, sendo a usina abaixo na cascata denominada *usina de jusante*. Cada usina possui apenas uma usina de jusante, porém pode haver várias usinas à montante, devido à junção de rios. Além disso, em virtude da possibilidade de desvio de água, uma usina pode possuir uma usina hidrelétrica de jusante para fins de desvio<sup>5</sup>. A Figura 9-2 ilustra uma cascata de usinas hidrelétricas contendo usinas de jusante, usinas de desvio e usina de jusante com tempo de viagem da água.

Quando duas usinas consecutivas na cascata estão muito distantes entre si, pode ocorrer o que se chama de tempo de viagem da água, ou seja, o tempo que a água defluída pela usina de montante leva para chegar à usina de jusante é significativo, em relação à discretização temporal utilizada no modelo. Isto é ilustrado entre as usinas G e H da Figura 9-2.

As informações sobre as usinas de jusante e de desvio de cada usina constam do cadastro de usinas hidrelétricas. Para expressar a topologia das usinas hidrelétricas na formulação do problema, definem-se os conjuntos  $M_i$ ,  $M_{tv_i}$  e  $M_{dv_i}$  que indicam, respectivamente, o conjunto de usinas à montante da usina  $i$ , à montante da usina  $i$  com tempo de viagem da água até  $i$ , e que desviam água para a usina  $i$ . A definição de outros termos serão necessários, como descrito ao longo deste capítulo.

---

<sup>5</sup> Ressalta-se que a grande maioria das usinas não apresenta desvio de água.

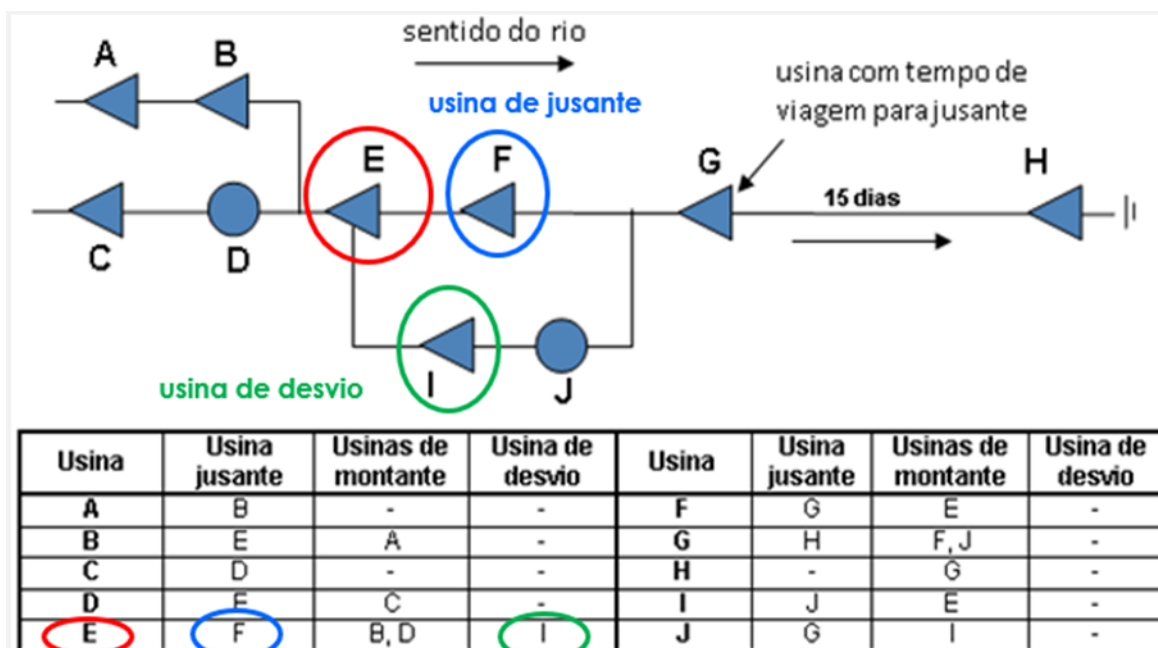


Figura 9-2 - Exemplo ilustrativo de uma cascata de usinas hidrelétricas contendo usinas de jusante, usinas de desvio e usina de jusante com tempo de viagem da água.

## 9.4 Reservatórios

As seguintes variáveis estão associadas ao volume de água armazenado (ou simplesmente “armazenamento”) de um reservatório  $i$ :

- **Volume total ( $\bar{V}_i$ ):** é o volume máximo armazenável no reservatório, incluindo o volume morto;
- **Volume mínimo ( $V_i$ ):** corresponde ao volume morto total da usina, ou seja, é o volume mínimo operativo do reservatório da usina;
- **Volume armazenado ( $V_i^t$ ):** corresponde ao volume em que se encontra o reservatório da usina em determinado instante;
- **Volume útil:** uma vez em operação, a usina sempre irá operar com um armazenamento superior ao volume mínimo. Portanto, nos modelos de planejamento e operação, é conveniente definir o volume útil da usina como a diferença entre o volume armazenado e o volume mínimo operativo, e muitas vezes é medido em termos percentuais.

A Figura 9-3 ilustra a relação entre todas as variáveis associadas ao armazenamento dos reservatórios. A partir dos dados cadastrais, é possível realizar diversos cálculos que serão utilizados na modelagem dos reservatórios nos problemas de coordenação hidrotérmica, como descrito a seguir.

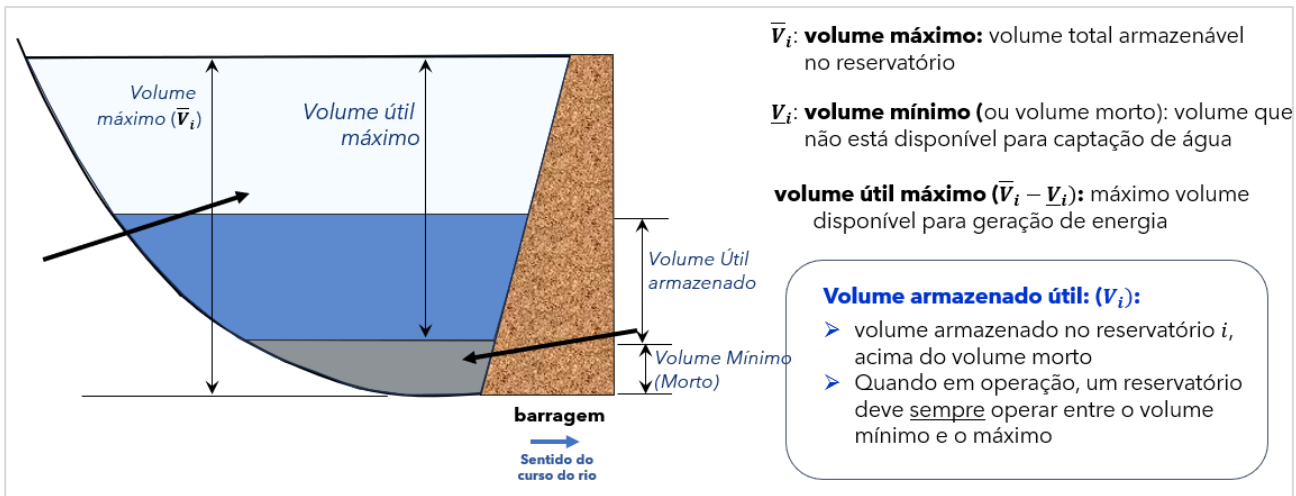


Figura 9-3 - Esquema ilustrativo de um reservatório.

### 9.4.1 Cálculo da cota de montante do reservatório

A relação entre a cota do reservatório da usina ( $h_{mon}$ ) e o seu volume armazenado ( $V$ ) é dada pelo “polinômio cota-volume” da usina (ou polinômio de montante), que corresponde a um polinômio de grau 4, como mostrado a seguir:

$$h_{mon}(V) = a_{cv_0} + a_{cv_1} V + a_{cv_2} V^2 + a_{cv_3} V^3 + a_{cv_4} V^4 \quad (9.1)$$

onde  $a_{cv_i}$  corresponde ao termo de ordem  $i$  no polinômio cota-volume. Cada usina hidrelétrica possui o seu próprio polinômio, que consta no arquivo de cadastro das usinas hidrelétricas. A Figura 9-4 exemplifica esse polinômio, para a usina de Tucuruí.

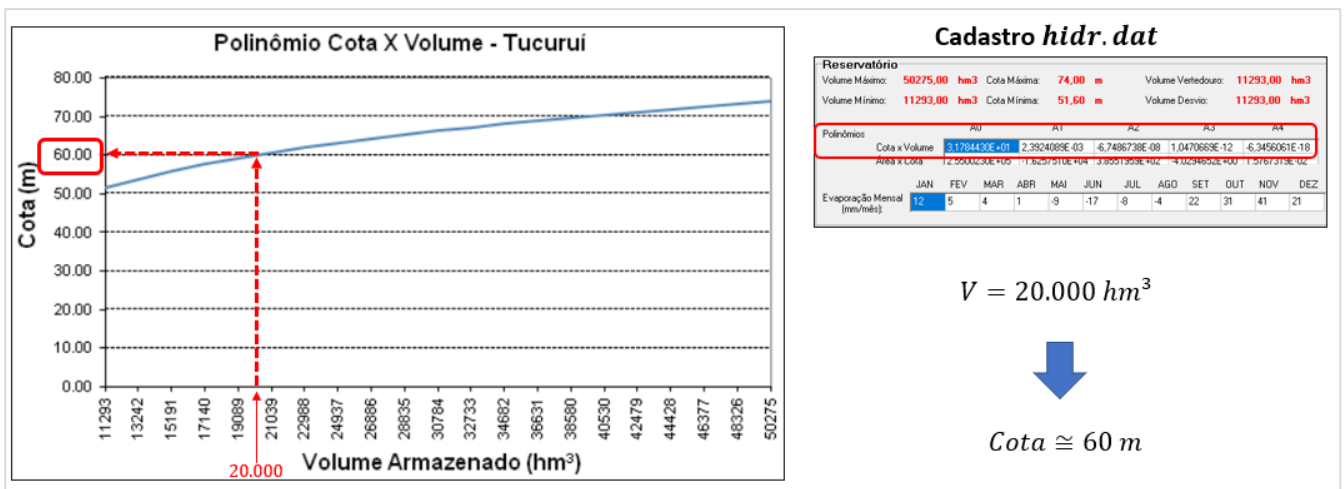


Figura 9-4 - Exemplo do polinômio cota-volume da usina de Tucuruí, cujos dados são extraídos do cadastro de usinas hidrelétricas.

É importante ressaltar que o argumento do polinômio é o **volume total** da usina. Portanto, se o valor conhecido for o volume útil ( $V_{util}$ ) da usina (em  $hm^3$  ou %), deve-se fazer a conversão apropriada para o volume total ( $V$ ) antes de se utilizar o polinômio:

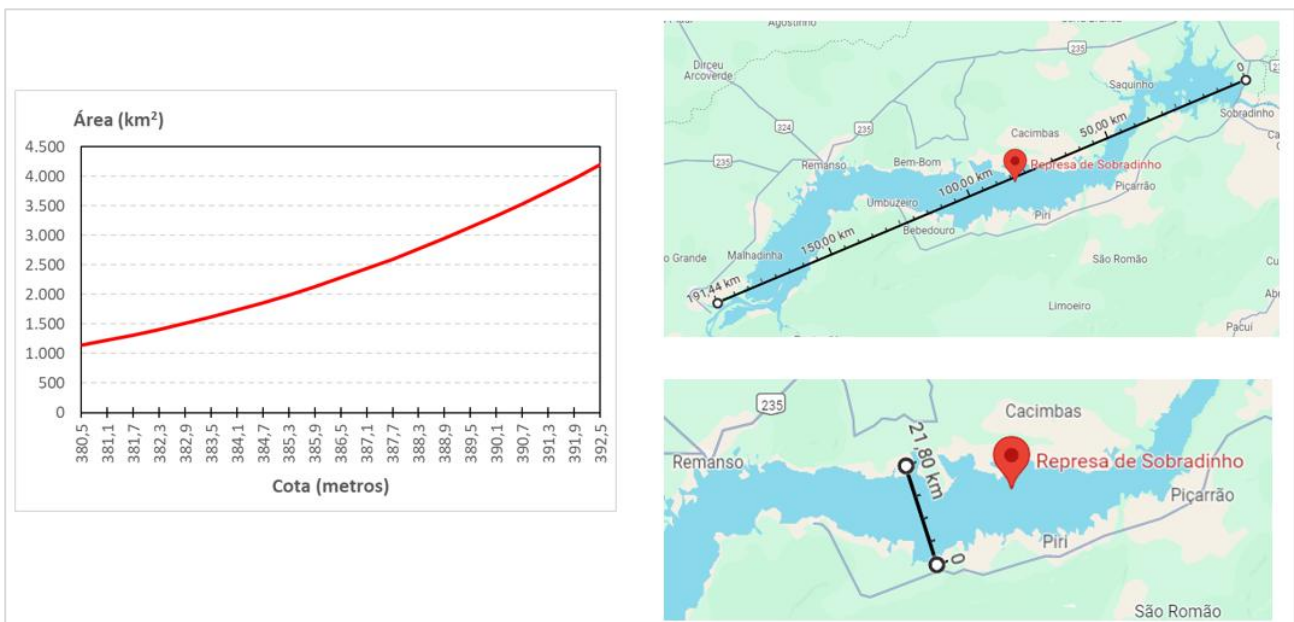
$$V(hm^3) = \underline{V} + V_{util}(hm^3), \text{ ou } V(hm^3) = \underline{V} + \frac{V_{util}(\%)}{100} (\bar{V} - \underline{V}), \quad (9.2)$$

### 9.4.2 Cálculo da área do espelho d'água

A área do espelho d'água é uma informação importante para o cálculo da vazão evaporada nos reservatórios. Essa área é sempre crescente com a cota do reservatório e, para cada valor de cota de montante  $h_{mon}$ , haverá somente uma área para o espelho d'água, que será denotada por  $A_{rv}$ . A função que fornece o valor de  $A_{rv}$  em função de  $h_{mon}$  é o chamado polinômio "área-cota", também de quarto grau, como segue:

$$A_{rv_i}(h_{mon}(V)) = a_{ac_0} + a_{ac_1} h_{mon} + a_{ac_2} h_{mon}^2 + a_{ac_3} h_{mon}^3 + a_{ac_4} h_{mon}^4 \quad (9.3)$$

onde  $h_{mon}$  é dado em  $m$  e  $A_{rv}$  em  $km^2$ . Os dados desses polinômios também constam do cadastro de usinas hidrelétricas, e um exemplo dessa função para a usina de Sobradinho é mostrada na Figura 9-5



**Figura 9-5 - Exemplo do polinômio cota-área da usina de Sobradinho (à esquerda, e visão geral da área ocupada pelo reservatório (fonte: Google Maps).**

## 9.5 Vertedouros

Como mencionado anteriormente, um reservatório só pode verter quando a cota de seu volume armazenado ultrapassa a cota  $hsol_{vt_i}$  referente à soleira do vertedouro. O volume armazenado correspondente a essa cota é denominado de  $Vsol_{vt_i}$ , conforme ilustrado na Figura 9-6.

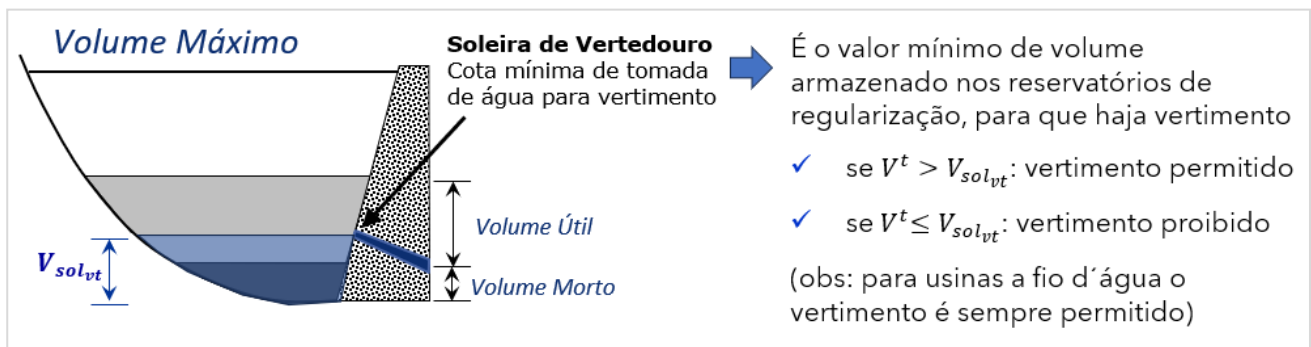


Figura 9-6 - Modelagem da soleira de vertedouro de uma usina hidrelétrica.

Para uma usina a fio d'água, que não possui capacidade de regularização, em todo instante tem-se  $V_i^t = V_i = \bar{V}_i$  e, portanto,  $V_{util_i} = 0$ . Para tais usinas, é sempre possível verter. Por outro lado, para as usinas com reservatório de regularização, o vertimento só pode ocorrer quando  $V_i^t > Vsol_{vt_i}$ , e a quantidade máxima de água que pode ser vertida depende da diferença entre esses valores.

## 9.6 Desvios de água

Em alguns pontos pode haver os chamados *desvios de água*, que são canais artificiais que realizam uma "bifurcação" da água a partir de determinada usina. A usina para a qual a água foi desviada é denominada *usina de desvio*, e vazão desviada pela usina  $i$  e período  $t$ , que é variável de decisão do modelo, é denotada por  $Q_{dv_i}^t$ . O desvio de água a partir de uma usina A está ilustrada na Figura 9-7.

Desta forma, uma usina hidrelétrica com desvio pode defluir água de três formas:

- através de turbinamento ( $Q$ ), gerando energia elétrica e defluindo água pela turbina para a usina de jusante;
- através de vertimento ( $S$ ), sem gerar energia elétrica e defluindo água pelo vertedouro para a usina de jusante;
- através de desvio de água ( $Q_{dv}$ ), sem gerar energia elétrica e defluindo água pelo canal de desvio para a usina de jusante para desvio

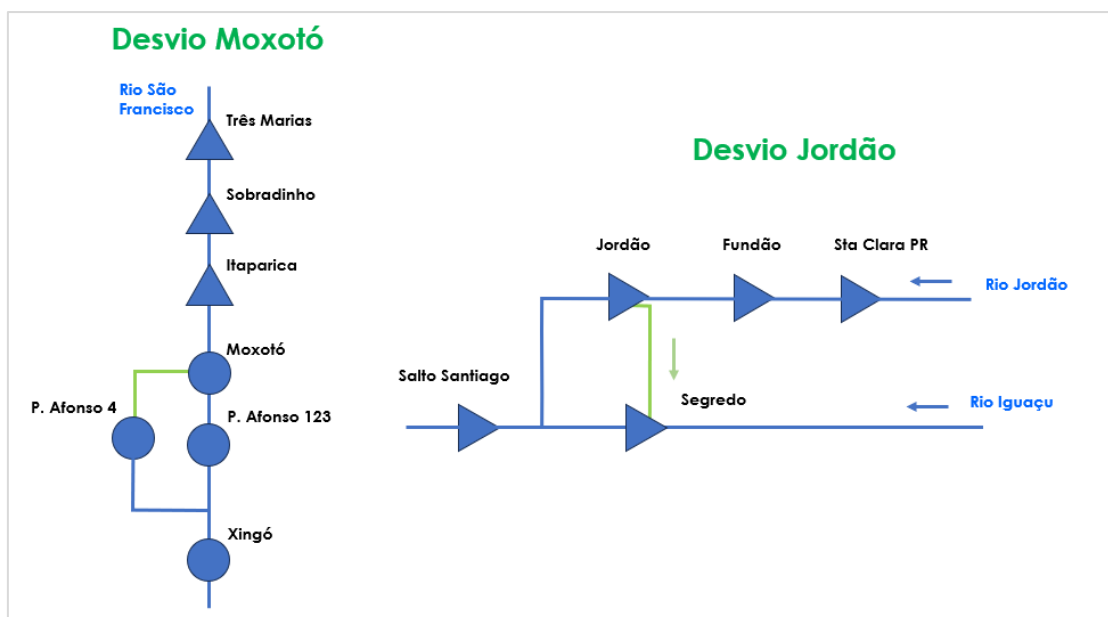


Figura 9-7 – Diagramas de dois desvios existentes no sistema brasileiro: Moxotó e Jordão.

O turbinamento de uma usina pode ocorrer sempre que a usina tiver disponibilidade de geração, e seu valor está limitado ao engolimento máximo da turbina (que depende da altura de queda) ou o seu turbinamento máximo nominal (vide seção 9.16). O vertimento e desvio podem ocorrer sempre que a cota do reservatório da usina estiver acima das respectivas cotas das soleiras de vertimento e desvio.

Para expressar o desvio de água nas equações de balanço hídrico (9.13), define-se o conjunto  $M_{dvi}$  das usinas que desviam água para a usina  $i$ .

### 9.6.1 Soleira para desvio

Para a vazão desviada, ocorre exatamente o mesmo tipo de situação, só que em relação ao volume referente à soleira de desvio  $Vsol_{dvi}$ . Este volume corresponde ao armazenamento mínimo no reservatório para que possa haver desvio de água, o qual está associado à cota mínima do canal de desvio. Portanto, uma usina com reservatório de regularização e desvio de água só pode apresentar desvio quando  $V_i^t > Vsol_{dvi}$ .

Uma descrição mais detalhada da modelagem dos vertedouros é apresentada em [46].

## 9.7 Casa de Força

A casa de força é composta por uma ou mais unidades geradoras, para fins de geração de energia elétrica. Essas unidades estão distribuídas em um ou mais conjuntos, sendo consideradas idênticas as unidades dentro de um mesmo conjunto. Desta forma, os dados das unidades geradoras no cadastro são definidos por conjunto. A Figura 9-8 ilustra a modelagem de uma casa de força com dois conjuntos de máquinas.

Ressalta-se que, caso não sejam definidos conjuntos de máquinas para determinada usina hidrelétrica  $i$ , esta se comportará como um reservatório puro, podendo realizar apenas operações de vertimento ou desvio (vide seção 9.5).

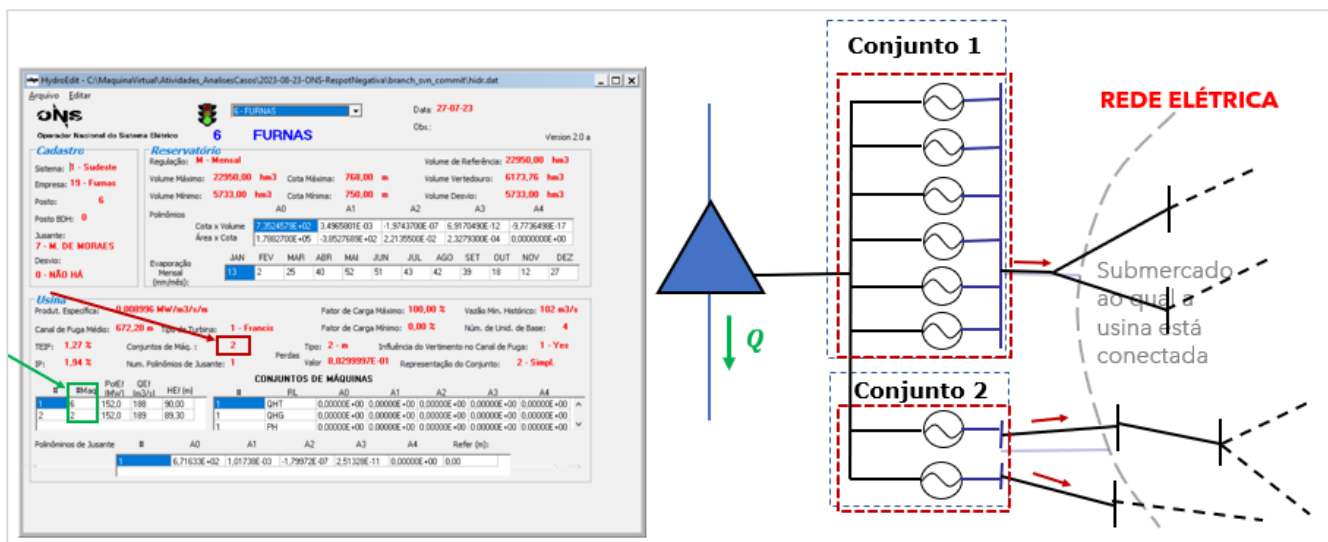


Figura 9-8 – Exemplo de casa de força com dois conjuntos de máquinas para a usina hidrelétrica de Furnas, e integração com a representação do reservatório e conexão à rede elétrica.

## 9.8 Usinas Elevatórias (estações de bombeamento)

Uma usina elevatória, também chamada de usina de estação de bombeamento, é capaz de bombear água de um reservatório a uma cota inferior (reservatório de jusante) para outro (reservatório de montante). A configuração de uma usina elevatória é ilustrada na Figura 9-9

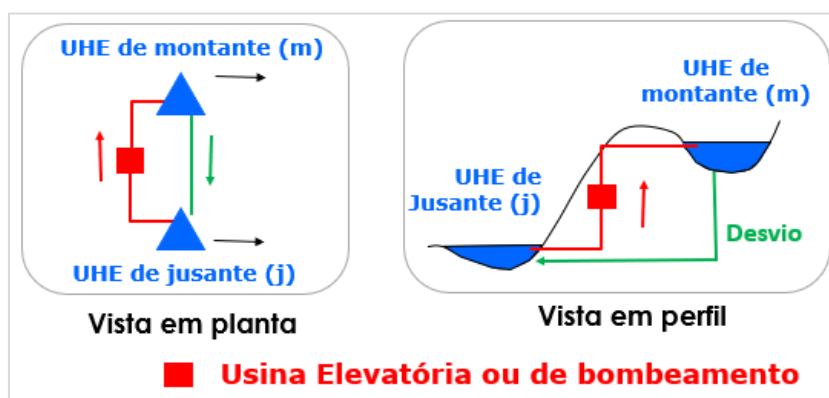


Figura 9-9 – Configuração de uma usina elevatória ou de bombeamento

Apesar de haver consumo de energia no bombeamento, os ganhos do emprego das usinas elevatórias estão associadas à transposição de água para cursos de rio com maior queda d'água, e/ou ao deslocamento da geração de períodos de carga e preços mais baixos para os períodos de maior carga, em que os preços estão mais elevados.

Para cada usina elevatória  $i$ , os seguintes dados devem ser informados pelo usuário:

- vazão máxima  $\overline{Q_{b_i}}$  que pode ser bombeada;
- consumo específico  $Cons_{EB_i}$  da estação de bombeamento (MW/(m<sup>3</sup>/s)), que é um valor constante que relaciona a potência consumida  $Eb_i^t$  com a vazão bombeada  $Qb_i^t$  em cada estação de bombeamento  $i$  e período  $t$ .

Estes parâmetros estabelecem as seguintes restrições e relações para o problema de PDO:

$$Q_{b_i}^t \leq \overline{Q_{b_i}} \quad (9.4)$$

$$Eb_i^t = Cons_{EB_i} Qb_i^t \quad (9.5)$$

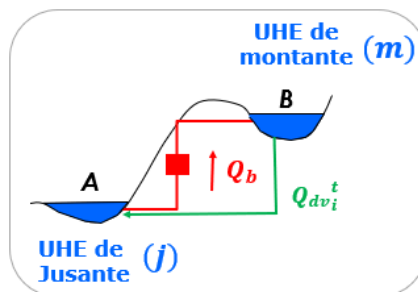
para  $i = 1, \dots, NEB, t = 1, \dots, T$ , onde  $NEB$  é o número de estações de bombeamento.

### Impacto na equação de balanço hídrico

Nas equações de balanço hídrico (seção 9.12), o volume bombeado em uma determinada estação de bombeamento no período  $t$  é acrescido ao volume afluente no mesmo período para a usina de montante, e deduzido do volume final para a usina de jusante. Em caso de existência de desvio simultaneamente ao bombeamento, a operação inversa, ou seja, do reservatório de montante para o de jusante, é representada. As equações (9.6) e (9.7) mostram o impacto do bombeamento nas equações de balanço hídrico, ilustrado na onde o termo  $\zeta^t$  é um fator de conversão de unidades.

$$V_m^t = V_m^{t-1} + \zeta^t (I_m^t - Q_m^t - S_m^t + Q_{b_i}^t - Q_{dv_i}^t) \quad (9.6)$$

$$V_j^t = V_j^{t-1} + \zeta^t (I_j^t - Q_j^t - S_j^t - Q_{b_i}^t + Q_{dv_i}^t). \quad (9.7)$$

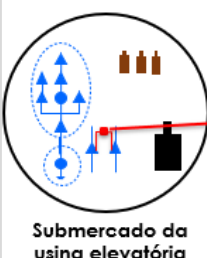


**Figura 9-10 – Variáveis associadas à usina elevatória presentes nas equações de balanço hídrico**

Para fins de representação na equação de balanço hídrico (9.13), define-se  $M_{eb_i}$  e  $J_{eb_i}$  como sendo o conjunto de estações elevatórias que possuem a usina  $i$  como montante e jusante, respectivamente.

### Impacto na equação de atendimento à demanda

Além do aspecto hidráulico, a operação da estação de bombeamento também impacta a equação de atendimento à demanda do subsistema  $j$  ao qual a usina pertence, como descrito na seção 7.3 e ilustrado na Figura 9-11.



$$\begin{aligned}
 & \sum_{j \in \Omega_{SB_i}^G} GH_j^t - \sum_{j \in \Omega_{SB_i}^{EB}} Eb_i^t + \sum_{j \in \Omega_{SB_i}^T} GT_j^t + \sum_{j \in \Omega_{SB_i}^C} Eci_j^t - \sum_{j \in \Omega_{SB_i}^E} Ece_j^t \\
 & + \sum_{j \in \Omega_{SB_i}^{Int}} (Int_{j \rightarrow i}^t - Int_{i \rightarrow j}^t) + \sum_{j=1}^{Ndefc_i^t} (Defc_{i,j}^t) = D_i^t - \sum_{j \in \Omega_{SB_i}^Q} GPQ_j^t
 \end{aligned}$$

Figura 9-11 – Impacto da usina elevatória nas equações de atendimento à demanda.

Dois tipos de estações de bombeamento podem ser considerados no modelo DESSEM: as que operam em ciclo aberto, transpondo água de um curso do rio para o outro, e as que operam em ciclo fechado, também conhecidas como usinas reversíveis. A seguir, descrevem-se ambas as configurações.

### 9.8.2 Usinas elevatórias entre dois rios diferentes (ciclo aberto)

Neste caso, a estação de bombeamento lança água para um reservatório localizado em um rio adjacente, em uma cota superior (reservatório de montante). Tal operação é vantajosa quando se obtém um ganho de produtividade, ao se desviar a água de um curso de rio para o outro, pois o gasto de energia para bombeamento é compensado pela maior altura de queda obtida no outro curso d'água. No sistema brasileiro, este tipo de usinas elevatórias é encontrado nas bacias do Paraíba do Sul (Figura 9-12) e Alto Tietê (Figura )

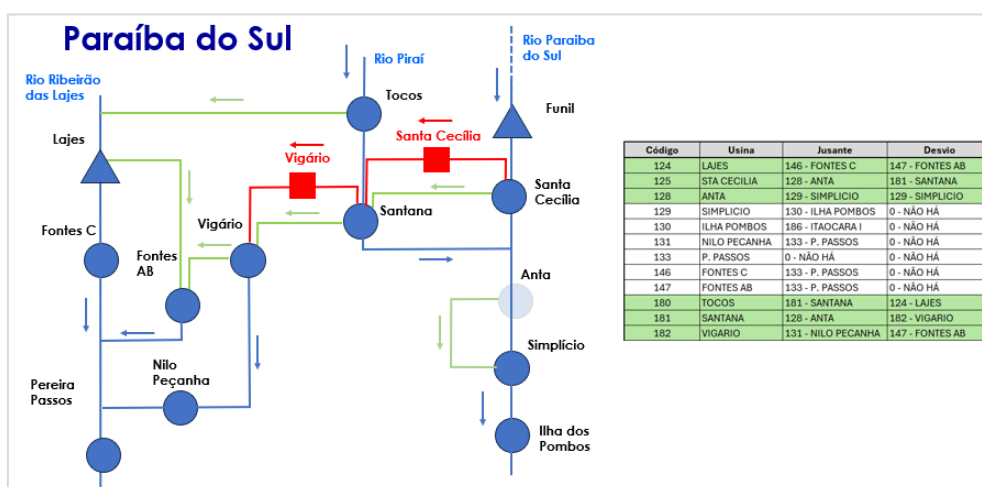


Figura 9-12 –Usinas elevatórias de Santa Cecília e Vigário, na bacia do Paraíba do Sul.

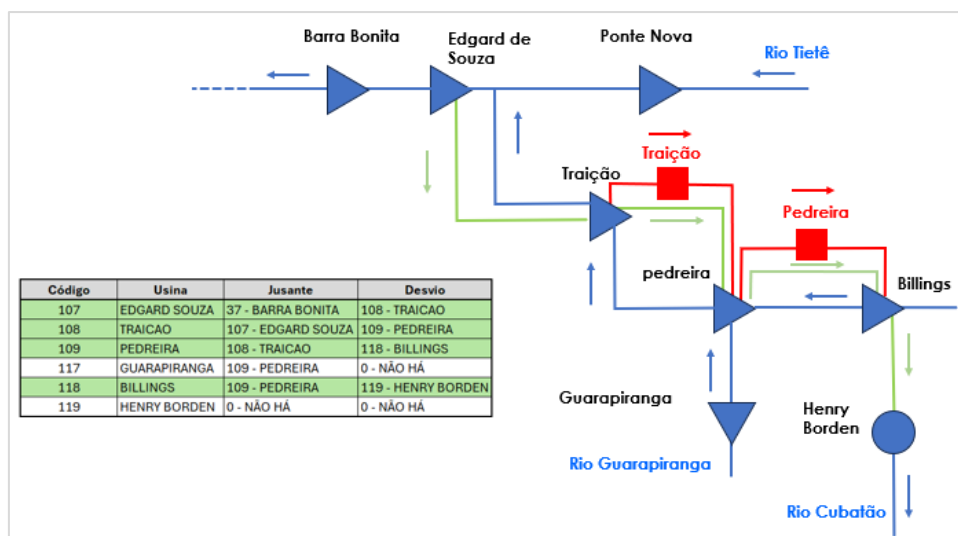


Figura 9-13 –Usinas elevatórias de Traição e Pedreira, na bacia do Alto Tietê

### 9.8.3 Usinas hidrelétricas reversíveis (ciclo fechado)

Usinas hidrelétricas reversíveis (UHR) correspondem a arranjos de dois reservatórios, onde uma mesma usina pode gerar energia ou bombear água de seu reservatório de jusante para o de montante, como ilustrado na Figura 9-14.

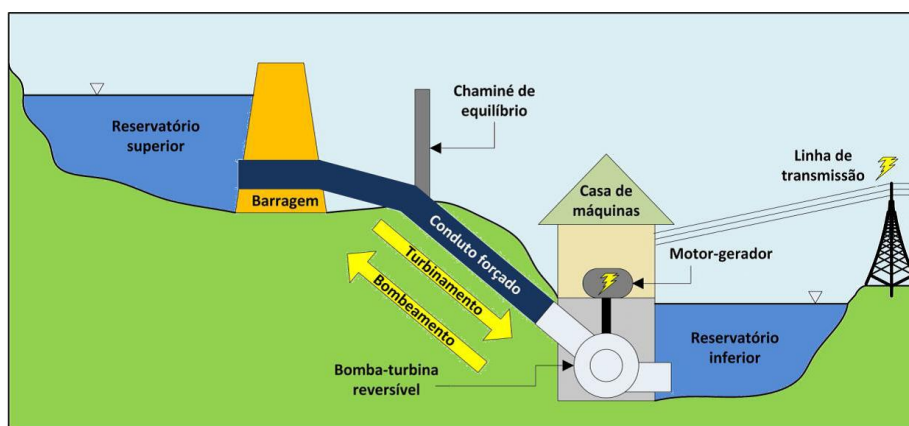


Figura 9-14 – Representação esquemática de uma usina reversível

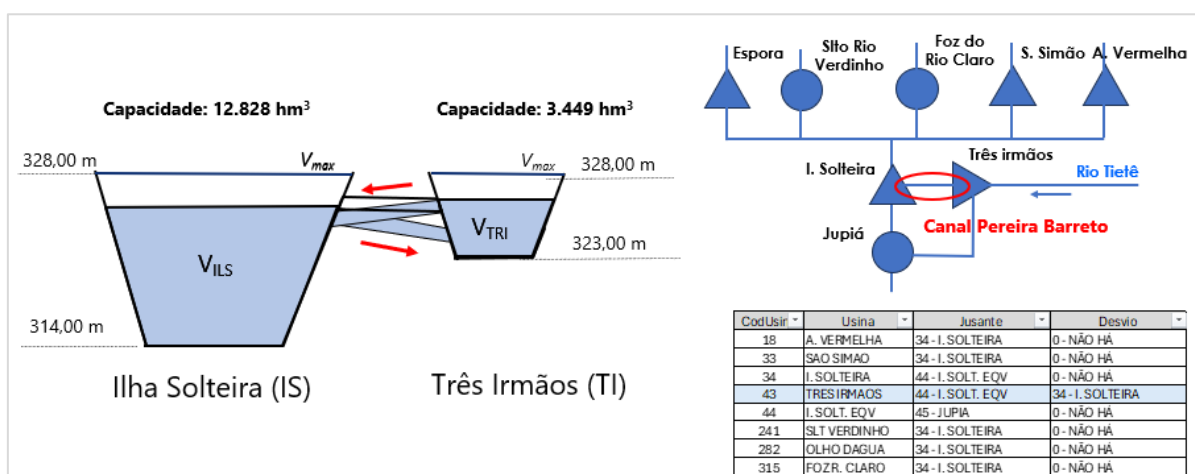
Apesar de o balanço de energia ser negativo neste processo (devido às perdas nas operações de bombeamento e geração), a vantagem econômica desse processo é o deslocamento da geração de períodos de carga e preços mais baixos para os períodos de maior carga, em que os preços estão mais elevados.

A representação de uma UHR no DESSEM que bombeia água do reservatório  $j$  para o reservatório  $m$ , e cuja geração em  $m$  resulta em afluência para a usina  $j$ , é feita através dos seguintes procedimentos:

- Incluir na configuração duas usinas hidrelétricas ( $m$  e  $j$ ) do arquivo “hydr.dat” que não estejam sendo utilizadas<sup>6</sup>. Estas usinas precisam ser “isoladas” hidráulicamente das demais;
- Indicar (se já não estiver indicado) a usina  $j$  como usina de jusante da  $m$ ;
- definir uma usina elevatória, cuja usina de jusante será a usina hidrelétrica  $j$  e cuja usina de montante será a usina hidrelétrica  $m$ ;
- definir a usina  $j$  como sendo puramente de reservatório (sem geração), que corresponderá ao armazenamento de jusante da usina reversível. O armazenamento máximo deste reservatório deverá ser a capacidade máxima de armazenamento a jusante da usina reversível;
- definir a usina hidrelétrica  $m$  com geração, que corresponderá ao armazenamento de montante da usina reversível. O armazenamento máximo deste reservatório deverá ser a capacidade máxima de armazenamento a montante da usina reversível;
- adequar os dados dos reservatórios das usinas  $m$  e  $j$  e dos conjuntos de máquinas da usina  $m$  para os dados da UHR;
- incluir eventuais restrições operativas (vide seção 23) para os reservatórios de montante da UHR, que serão consideradas normalmente pelo modelo.

## 9.9 Canais entre reservatórios

O modelo DESSEM também pode representar a operação de canais, que correspondem a uma comunicação bi-direcional entre dois reservatórios  $A$  e  $B$ , ou seja, estes reservatórios se encontram “em paralelo”, do ponto de vista topológico, e o fluxo de água entre eles pode ocorrer em ambos os sentidos. Um exemplo importante no sistema brasileiro é o canal Pereira Barreto, que se localiza entre as usinas hidrelétricas de Ilha Solteira (ILS) e Três Irmãos (TRI), ilustrado na Figura 9-15.



**Figura 9-15 - Esquema ilustrativo de um Canal entre usinas hidrelétricas.**

<sup>6</sup> O cadastro de usinas hidrelétricas possui várias usinas que não estão presentes na configuração corrente do SIN.

O fluxo no canal não pode ser decidido pelo modelo, e ocorre no sentido do reservatório com cota mais elevada para o de menor cota. Em geral, são obtidas curvas de velocidade da água e vazão no canal, em função do desnível entre os dois reservatórios. Exemplos destas curvas no caso do Canal Pereira Barreto são mostradas na Figura 9-16.

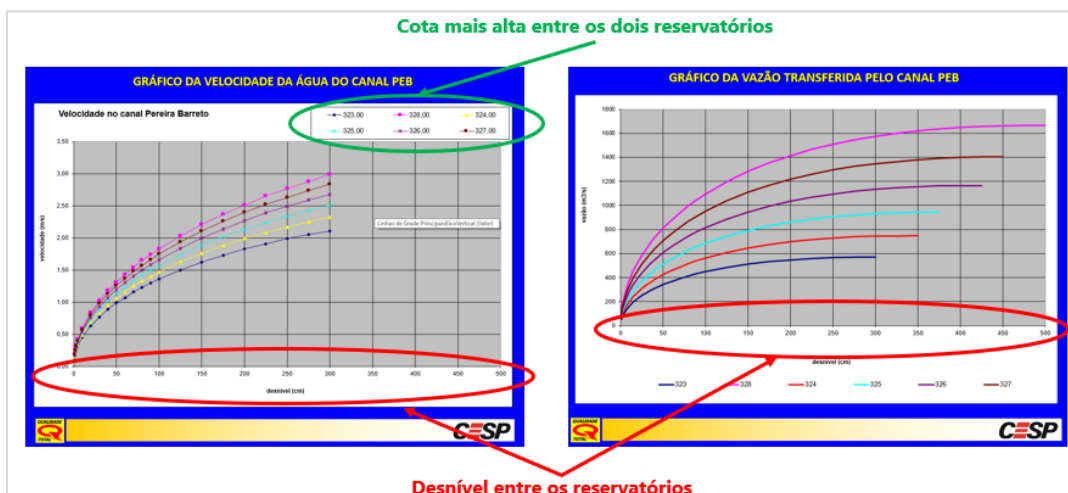


Figura 9-16 – Curvas de velocidade e vazão em função do desnível entre os reservatórios do Canal Pereira Barreto.

Existe uma tabela, elaborada pela CESP<sup>7</sup>, que fornece valores de vazão no canal em função do desnível entre as cotas dos dois reservatórios e do valor da maior cota entre eles, conforme mostrado na Figura 9-17. Esta tabela é a considerada pelo DESSEM na modelagem do canal.

Desnível entre os reservatórios

Cota mais alta entre os dois reservatórios

**TABELA DA VAZÃO TRANSFERIDA PELO CANAL PEB**

VAZÕES TRANSFERIDAS NO CANAL PEREIRA BARRETO (m³/s)

Nível do Reservatório que estiver mais alto (m) - (LS - 110)

Cota (m)	323,00	323,50	324,00	324,50	325,00	325,50	326,00	326,50	327,00	327,50	328,00	328,50
1	52	58	64	70	77	83	90	97	105	112	120	127
2	73	82	90	99	108	118	127	137	148	158	169	180
3	89	99	110	121	132	144	156	168	181	194	207	220
4	115	128	142	156	170	185	201	217	233	250	266	284
5	161	180	199	219	240	261	283	305	328	351	375	400
10	225	251	278	306	335	365	396	427	459	492	526	560
20	272	304	337	371	406	442	480	518	557	597	639	680
30	319	346	384	423	464	505	548	592	637	684	731	779
40	341	382	424	468	513	559	607	656	706	757	810	864
50	369	413	459	506	555	606	658	711	766	822	879	938
60	393	440	489	540	593	647	703	761	819	880	941	1.005
70	414	464	517	571	627	685	744	805	868	932	997	1.064
80	433	486	541	598	657	718	781	845	911	979	1.048	1.119
90	450	505	563	623	685	749	815	882	951	1.023	1.095	1.170
100	485	546	610	676	744	814	887	962	1.040	1.121	1.207	1.279
110	512	578	646	718	791	868	946	1.027	1.110	1.195	1.282	1.371
125	532	603	676	751	830	911	995	1.081	1.169	1.260	1.353	1.448
140	548	622	700	778	861	947	1.035	1.126	1.219	1.315	1.413	1.514
155	559	636	716	800	886	976	1.068	1.163	1.261	1.362	1.465	1.570
170	566	646	729	816	906	999	1.095	1.194	1.296	1.401	1.508	1.618
185	570	653	739	828	921	1.017	1.117	1.219	1.325	1.433	1.544	1.658
200	572	656	744	836	932	1.031	1.134	1.239	1.348	1.460	1.575	1.691

Vazão Máxima no Canal

Figura 9-17 -Tabela com a vazão no canal Pereira Barreto em função das cotas dos reservatórios de Ilha Solteira e Três Irmãos.

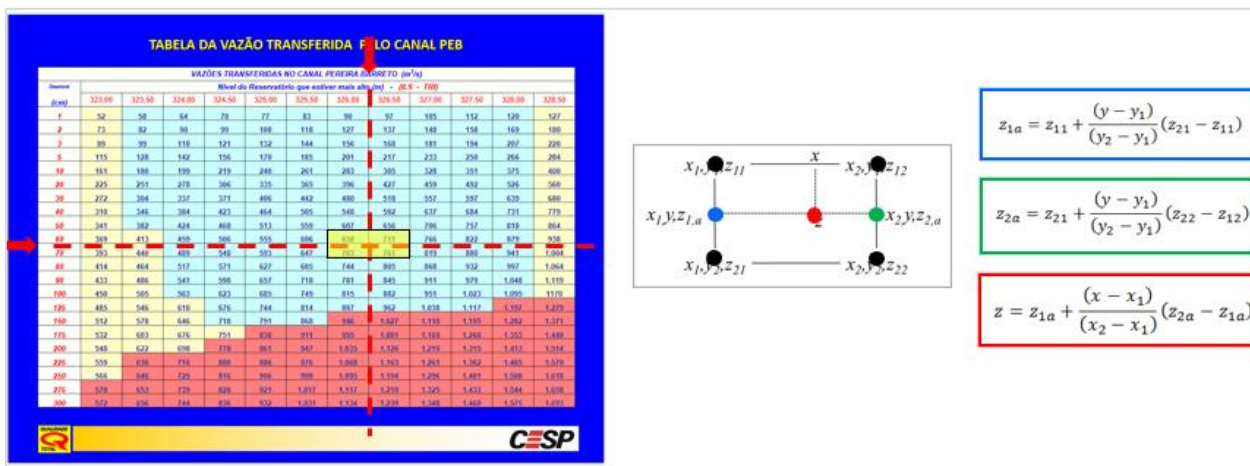
<sup>7</sup> Empresa que, no passado, era responsável pela operação do canal Pereira Barreto.

Deve-se manter uma diferença máxima de cota entre os reservatórios de Três Irmãos e Ilha Solteira, para permitir a navegabilidade no canal existente entre os dois reservatórios. Portanto, a tabela anterior apresenta uma região, em vermelho, cuja combinação de níveis nos reservatórios e vazão no canal resulta em velocidades proibitivas no canal, para a navegação.

### Modelagem dos canais no problema de otimização

No problema de PDO resolvido pelo DESSEM, o interesse maior é na modelagem da vazão no canal, que depende dos volumes nos dois reservatórios, sendo todas essas variáveis uma decisão do modelo de otimização, para cada período de tempo na discretização temporal do modelo. No entanto, as funções definidas pelos dados da tabela da Figura 9-17 definem funções de igualdade não lineares que, por construção, são não convexas. Como não existe um incentivo natural em manter a vazão do canal em um valor máximo no sentido ou no outro, não é possível a aplicação, de forma direta, de aproximações lineares por parte através de inequações, como é realizado com a função de produção não linear (vide seção 9.15). Portanto, a modelagem do canal é feita através dos seguintes procedimentos, ilustrado na :

- Obtêm-se, a partir dos dados de volume inicial de ILS e TRI, o “retângulo” em que o sistema se encontra na curva, através do cálculo das cotas de ILS e TRI e, posteriormente, verificação do valor da cota mais alta e o desnível entre elas;
- calcula-se, por interpolação, o valor de vazão no canal;
- considera-se a vazão calculada (no sentido do mais alto para o mais baixo) nas equações de balanço hídrico de ILS e TRI.



**Figura 9-18 – Ilustração do processo de interpolação para cálculo da vazão no canal Pereira Barreto, em função das cotas iniciais dos reservatórios de Ilha Solteira e Três Irmãos.**

Para se representar os canais na equação de balanço hídrico (9.13), define-se  $Ch_i$  como sendo o conjunto de reservatórios de usinas que se conectam à usina  $i$  por meio de um canal, e  $Q_{ch_{ij}}^t$  a vazão no canal da usina  $i$  para a usina  $j$  (valores negativos indicam vazão no sentido oposto).

## 9.10 Seções de Rio

A “seção de rio” é uma seção transversal em determinado ponto de um rio, que necessita de algum tipo de controle especial em relação à cota, velocidade ou vazão defluente. Um esquema ilustrativo deste tipo de componente é mostrado na Figura 9-19.



Figura 9-19 – Esquema ilustrativo de uma seção de rio.

Na cascata de usinas hidrelétricas, a seção de rio  $S$  é definida de acordo com sua posição em relação aos reservatórios. Devido à confluência de rios ao longo das bacias, para que essa localização possa ser feita de forma unívoca, deve-se informar quais são as usinas imediatamente à montante de  $S$ . A Figura 9-20 ilustra três seções de rio ( $S_1$ ,  $S_2$  e  $S_3$ ) localizadas em uma região na cascata entre duas usinas de montante  $B$  e  $C$  e uma usina de jusante  $A$ . O ponto de confluência entre os rios onde situam as usinas  $B$  e  $C$  é denotado por  $P$ . Indica-se também, na figura, as vazões controláveis (turbinamento e vertimento) que chegam a cada seção de rio.

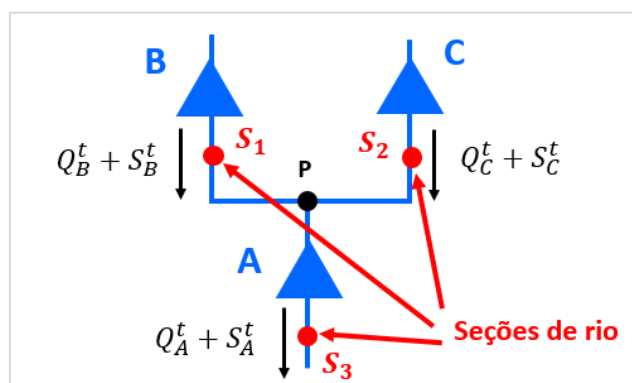


Figura 9-20 - Exemplo de três seções de rio  $S_1$ ,  $S_2$  e  $S_3$  em uma cascata.

Observa-se que há três trechos de rio na figura:  $BP$ ,  $CP$  e  $PA$ . A identificação correta do trecho onde se localiza cada seção é feita conforme mostra a Tabela 9.1 a seguir:

Tabela 9.1 - Definição das seções de rio mostradas na Figura 9-20.

Seção de rio	Trecho onde se situa a seção	Conjunto de usinas imediatamente à montante
$S_1$	BP	{B}
$S_2$	CP	{C}
$S_3$	PA	{B,C}

### 9.10.1 Polinômio cota X vazão (curva-chave) da seção

Cada seção de rio possui o que, em hidrologia, chama-se “curva-chave”, medida em campo, que estabelece o valor da cota na seção de rio em função de sua vazão, como ilustrado na Figura 9-21.

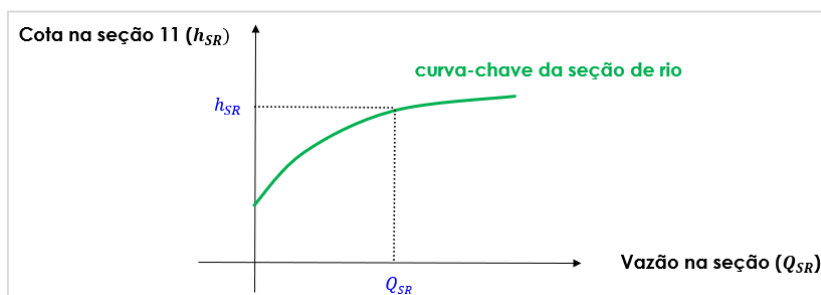


Figura 9-21 – Exemplo de curva-chave (polinômio cota X vazão) de uma seção de rio.

No DESSEM, essa curva é fornecida através de um polinômio de grau 4, como mostrado em (9.8).

$$h_{SR} = a_0 + a_1 Q_{SR} + a_2 Q_{SR}^2 + a_3 Q_{SR}^3 + a_4 Q_{SR}^4 + a_5 Q_{SR}^5 \quad (9.8)$$

### 9.10.2 Seção de rio da Régua 11

O posto de medição fluviométrica da Régua 11, ou simplesmente R-11, localiza-se no rio Paraná aproximadamente 20 km a jusante da Hidrelétrica de Itaipu, na fronteira entre Brasil, Argentina e Paraguai, na área de confluência dos rios Paraná, Iguazu, Acaray e Monday. A Figura 9-22 apresenta o esquema desta seção de rio, no entorno das usinas que são despachadas de forma centralizada.

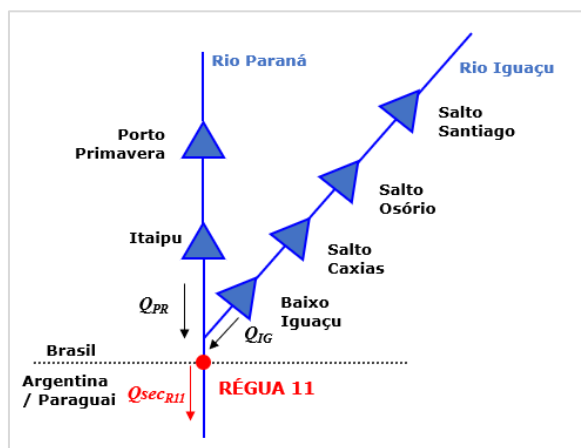


Figura 9-22 – Topologia associada à Régua 11 de Itaipu.

Como se pode ver na figura, a seção da Régua 11 é definida informando-se Itaipu e Baixo Iguazu como usinas de montante à seção. A motivação da representação dessa seção nos modelos é que está sujeita a restrições de variação horária e diária máxima de cota (vide modelagem na seção 23.3), que são estabelecidas pelo Acordo Tripartite entre Argentina, Paraguai e Uruguai. Há também restrições devido à ocupação desordenada nas margens do rio Paraná e da existência de uma usina hidrelétrica imediatamente a jusante de Itaipu.

### 9.11 Limites físicos para as variáveis das usinas

Os limites físicos das variáveis das usinas hidrelétricas são definidos nas expressões a seguir:

$$\underline{V}_i \leq V_i^t \leq \overline{V}_i \quad (9.9)$$

$$0 \leq Q_i^t \leq \overline{Q}_i = \sum_{j=1}^{nh_i} \overline{q}_{i,j} \quad (9.10)$$

$$0 \leq S_i^t \quad (9.11)$$

$$0 \leq GH_i^t \leq \overline{GH}_i = \sum_{j=1}^{nh_i} \overline{gh}_{i,j} \quad (9.12)$$

para  $i = 1, \dots, NH, t = 1, \dots, T$ , onde  $NH$  é o número de usinas hidrelétricas,  $\overline{Q}_i$  e  $\overline{GH}_i$  correspondem ao turbinamento máximo e geração máxima da usina  $i$ , calculados pelo modelo em função dos respectivos valores máximos de cadastro  $\overline{q}_{i,j}$  e  $\overline{gh}_{i,j}$  para o turbinamento máximo e geração máxima de cada unidade geradora  $j$  dentre as  $nh_i$  unidades geradoras da usina<sup>8</sup>. Não se considera um vertimento máximo físico para as usinas hidrelétricas, em virtude da ausência dessa informação.

### 9.12 Balanço hídrico nos reservatórios

A equação de balanço hídrico nos reservatórios é como um "balanço financeiro", mas para a água em um reservatório. Ela mostra como o volume de água armazenado nos reservatórios vai mudando ao longo do tempo, dependendo de quanto entra e quanto sai de água. Portanto, consistem em equações de conservação da água, que são aplicadas para cada usina hidrelétrica  $i$ , em cada período de tempo  $t$ . Essa restrição leva em consideração dados referentes a diversos aspectos de operação das usinas hidrelétricas, tais como: vazões afluentes, retiradas de água para outros usos, tempo de viagem, enchimento de volume morto, evaporação etc. A expressão geral dessa equação é:

$$V_i^t = V_i^{t-1} + \zeta^t \left[ \left( I_i^t + \sum_{j \in M_i} (Q_j^t + S_j^t) + \sum_{j \in M_{tv_i}} (Q_j^{t-\tau_{ji}} + S_j^{t-\tau_{ji}}) + \sum_{j \in M_{dv_i}} Q_{dv_j}^t + \sum_{j \in M_{eb_i}} Q_{bj}^t \right. \right. \\ \left. \left. + \sum_{j \in Ch_i} Q_{ch_{ji}}^t \right) - \left( Q_i^t + S_i^t + Q_{dv_i}^t + Q_{ev_i}^t + Q_{out_i}^t + \sum_{j \in J_{eb_i}} Q_{bj}^t \right) \right] \quad (9.13)$$

onde os termos  $V_i^t$ ,  $(Q_j^t + S_j^t)$  e  $Q_{dv_j}^t$  já foram definidos anteriormente, assim como os conjuntos  $M_i$ ,  $M_{tv_i}$  e  $M_{dv_i}$ ;  $I_i^t$  indica a vazão natural afluente incremental à usina  $i$ ,  $tv_j$  é o tempo de viagem da usina  $j$  até a próxima usina imediatamente à jusante, e  $\zeta^t$  é um fator de conversão de unidades de vazão ( $m^3/s$ ) para volume ( $hm^3$ ) considerando a duração do período  $t$ .

Os demais termos serão definidos nas seções seguintes, onde se descrevem outros aspectos da modelagem das usinas hidrelétricas.

<sup>8</sup> ressalta-se que os dados cadastrais das unidades geradoras são fornecidos no cadastro por conjunto de unidades..

### 9.13 Tempo de viagem da água

Para diversas usinas hidrelétricas, não se pode considerar que todo o volume defluente das usinas de montante, durante um intervalo de tempo, esteja disponível para a usina de jusante no mesmo intervalo. Neste caso, o volume afluente à usina de jusante pode ser obtido através da propagação das defluências de montante. Na ausência desses dados, uma maneira simplificada de realizar esta propagação consiste em considerar o tempo de viagem, isto é, o intervalo de tempo médio que as defluências consomem até alcançar a usina à jusante. Esses tempos de viagem são considerados nas restrições de balanço hídrico das usinas hidrelétricas.

Desta forma, dois tipos de modelagem de tempo de viagem podem ser considerados no modelo DESSEM, conforme descrito a seguir. Maiores detalhes podem ser consultados em [18] e no relatório técnico [47] sobre essa funcionalidade.

#### 9.13.1 Tempo de viagem da água por translação simples

Esta é a forma tradicional e mais simplificada de modelagem do tempo de viagem, na qual se considera que todo o volume de água defluído por uma usina de montante  $i$  em um determinado instante de tempo  $t$  chegará à usina de jusante  $j$  no instante de tempo  $(t + \tau_{ij})$ , onde  $\tau_{ij}$  é o tempo de viagem da água entre as duas usinas.

A seguir mostra um diagrama esquemático desta forma de consideração do tempo de viagem, para  $\tau_{ij} = 2$ , onde a replicação das usinas tem o objetivo de mostrar sua operação ao longo do tempo. A consideração do tempo de viagem da água nas equações de balanço hídrico está indicada na equação (9.13)

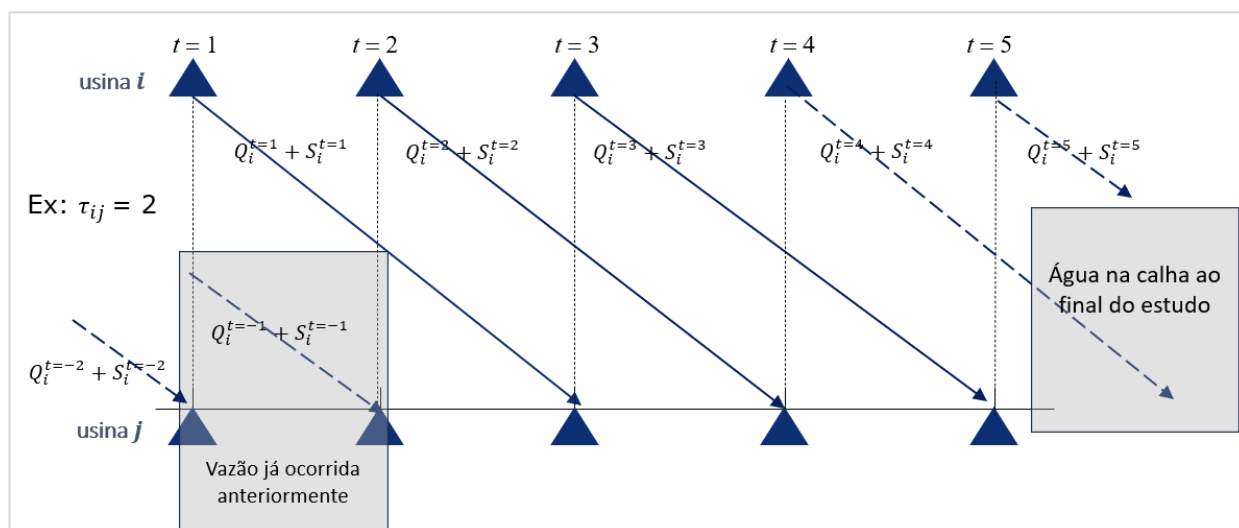


Figura 9-23 - Exemplo da modelagem por translação do tempo de viagem entre as usinas  $i$  e  $j$ , para um tempo de viagem de 2 horas.

### 9.13.2 Curva de propagação da água

Um aperfeiçoamento em relação à modelagem descrita no item anterior é considerar que a vazão defluída pela usina de montante  $i$  no instante  $t$  chega ao ponto de jusante  $j$  de forma parcelada, entre os instantes  $(t + \tau_{ij_{min}})$  até  $(t + \tau_{ij_{max}})$ . Os parâmetros  $\tau_{ij_{min}}$  e  $\tau_{ij_{max}}$  representam os tempos de viagem mínimo e máximo entre  $i$  e  $j$ , que se referem, respectivamente, a primeira e última parcelas da água defluída por  $i$  que chegam à usina  $j$ . Nessa forma de representação, devem ser fornecidos os percentuais da vazão defluída por  $i$  que chegam a cada instante de tempo entre  $\tau_{ij_{min}}$  e  $\tau_{ij_{max}}$ .

A curva que mostra esses percentuais de forma acumulada é denominada neste documento de **curva de propagação da água**, exemplificada na Figura 9-24 para um tempo de viagem máximo  $\tau_{ij_{max}}$  de 24h. Ressalta-se que os coeficientes da curva de propagação não variam com o valor da vazão defluída da usina de montante.

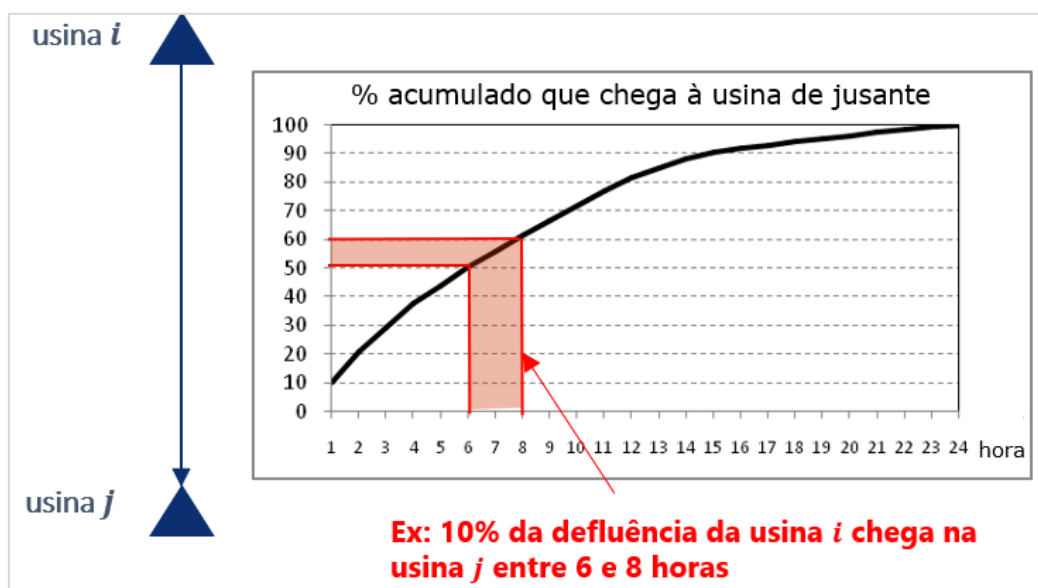


Figura 9-24 - Exemplo de uma curva de propagação de tempo de viagem da usina de montante  $i$  até a usina de jusante  $j$

A partir da curva exata de propagação, é possível calcular as parcelas do montante de água defluída pela usina de montante  $i$  que chegam a cada instante de tempo entre  $\tau_{ij_{min}}$  e  $\tau_{ij_{max}}$ . O esquema de saída da água de  $i$  e chegada em  $j$  é ilustrado na Figura 9-25, destacando-se a propagação das águas defluídas em  $t = 1$  (azul) e  $t = 2$  (vermelho). Neste exemplo,  $\tau_{ij_{min}} = 1$ ,  $\tau_{ij_{max}} = 5$  e os fatores de participação em cada instante de tempo são  $\{0,10; 0,20; 0,30; 0,25; 0,15\}$ .

Na modelagem matemática dessa funcionalidade, os termos referentes à defluência da usina de montante com tempo de viagem nas restrições de balanço hídrico podem ser adaptados para representar todas as parcelas da modelagem de tempo de viagem por propagação, como descrito na expressão (9.14), onde  $\kappa_{tv_{ji}}^{\tau}$  corresponde à parcela (em p.u.) da vazão defluída da usina de  $i$  que chega na usina  $j$  em  $\tau$  períodos de tempo.

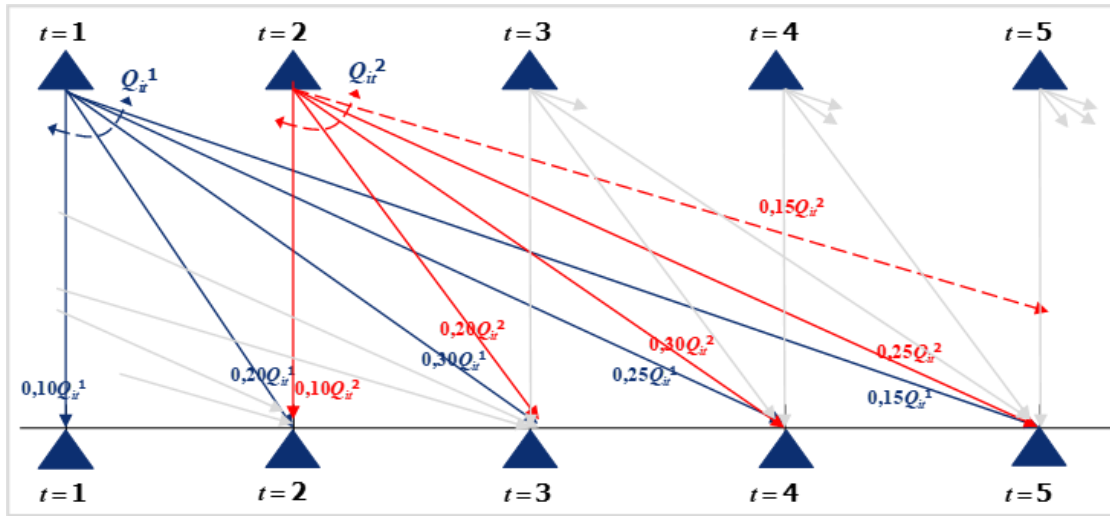


Figura 9-25 - Esquema de saída da usina de montante e chegada na usina de jusante para a modelagem de tempo de viagem por curva de propagação.

$$V_i^t = V_i^{t-1} + \zeta^t \left[ \left( I_i^t + \dots + \sum_{j \in M_{tv_i}} \sum_{\tau=\tau_{ij_{min}}}^{\tau_{ij_{max}}} \kappa_{tv_{ji}}^\tau (Q_j^{t-\tau} + S_j^{t-\tau}) \right) \right], \quad (9.14)$$

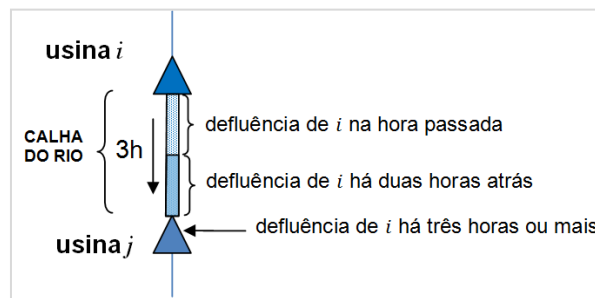
Ressalta-se que, mesmo na modelagem de tempo de viagem por translação, podem aparecer termos referentes às defluências da usina montante em vários períodos passados, quando se utiliza uma discretização temporal diferente da horária. Detalhes dos cálculos dos fatores de participação para uma discretização não uniforme, seja na modelagem por translação ou por fatores de participação, são detalhados em [18], [47].

### 9.13.3 Acoplamento com o final do horizonte de estudo

Próximo ao final do horizonte de estudo, as vazões defluentes da usina de montante  $i$  não chegam à usina hidrelétrica de jusante  $j$  antes do final do estudo, como indicado anteriormente na Figura 9-23. Isto causaria um problema na avaliação do valor da água, já que o modelo considera o aumento do custo de operação ao se "perder" água na usina de montante, mas não contabiliza o benefício no armazenamento dessa água na usina de jusante (vide esquema adiante na Figura 9-27), o que irá ocorrer no futuro bem próximo. Este volume de água perdido encontra-se na calha do rio entre as usinas  $i$  e  $j$ , conforme ilustrado na Figura 9-26, para um tempo de viagem de 3 horas.

Em virtude dessa perda de água, o modelo tenderia a evitar defluências das usinas de montante com tempo de viagem para jusante nos períodos posteriores a  $T - \tau_{ij_{max}}$  onde  $\tau_{ij_{max}}$  é o tempo de viagem entre as usinas e  $T$  é o índice do último período. Ressalta-se que, mesmo havendo benefício em turbinar a água em montante, devido à geração de energia, a ausência da parcela referente ao aumento do volume armazenado a jusante na função de custo futuro pode fazer com que o "custo" dessa vazão defluente se torne muito alto.

A fim de contornar esse problema, o modelo DESSEM adiciona esse volume de água que está na calha do rio ao volume armazenado da usina  $j$ , apenas para fins de acoplamento com a função de custo futuro do DECOMP. Ou seja, em todas as restrições operativas do instante  $T$  será considerado o volume real da usina de jusante, porém na composição do custo futuro o coeficiente referente ao armazenamento nesta usina multiplicará também o volume que se encontra na calha do rio. Caso a usina  $j$  seja a fio d'água, utiliza-se o multiplicador da vazão afluyente a essa usina, que também é impresso nos cortes do DECOMP.



**Figura 9-26 - Esquema da água retida na calha do rio para usinas com tempo de viagem da água**

A equação abaixo ilustra como fica a expressão de cada corte da FCF com este acoplamento:

$$\alpha^T \geq \pi_{FCF,0}^k + \sum_{i=1}^{NH} \pi_{FCF,V_i}^k (V_i^T + R_i^T), \quad (9.15)$$

onde  $\alpha^T$  é o custo futuro,  $\pi_{FCF,0}^k$  e  $\pi_{FCF,V_i}^k$  são o termo independente e o coeficiente da usina hidrelétrica  $i$  para o  $k$ -ésimo corte da função de custo futuro fornecida pelo DECOMP, respectivamente, e o termo  $R_i^T$  contabiliza a água na calha do rio a montante da usina  $i$  proveniente de defluências de usinas de montante, que se calcula como indicado em (9.16).

$$R_i^t = \sum_{j=1}^{M_{tvi}} \sum_{\tau=\tau_{ji_{min}}}^{\tau_{ji_{max}}} \sum_{k=0}^{\tau-1} \kappa_{tv_{ji}}^{\tau} (Q_j^{T-k} + S_j^{T-k}). \quad (9.16)$$

A Figura 9-27 ilustra esse procedimento, onde se ilustra, à direita, o fato de que a defluência de água da usina  $i$  a chegada de água à usina  $j$  aumentam e reduzem, respectivamente, o custo futuro. A diferença entre as inclinações da função de custo futuro na usina de montante ( $\pi_i$ ) e na usina de jusante ( $\pi_j$ ) reflete o “aumento líquido” no custo futuro resultante da defluência da usina  $i$ .

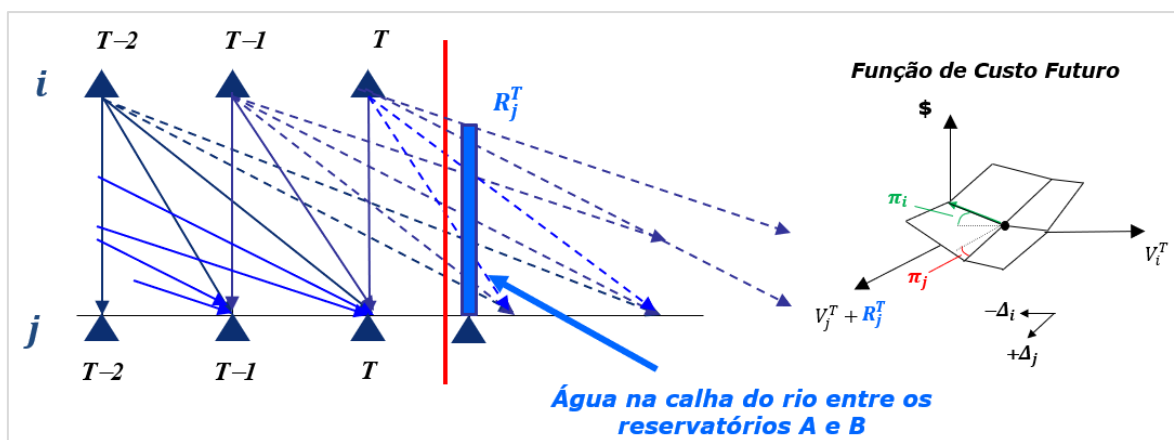


Figura 9-27 - Esquema ilustrativo do acoplamento, com a FCF, das defluências das usinas de montante que ficam na calha do rio ao final do horizonte de estudo.

O procedimento descrito anteriormente assume as hipóteses e aproximações descritas a seguir.

#### Instante de valoração da água

Considera-se que o valor da água no instante  $T$  é semelhante aos valores da água nos instantes  $T + 1$  até  $T + \tau_{ji_{max}}$ . Como o tempo de viagem na grande maioria das usinas é de algumas horas e o coeficiente da função de custo futuro expressa, conceitualmente, o valor da água para o futuro, considera-se que esta aproximação é aceitável.

#### Atingimento do armazenamento máximo no reservatório

Em princípio, a soma ( $V_i^t + R_i^t$ ) pode ultrapassar o valor de armazenamento máximo ( $\bar{V}_i$ ) na usina. Neste caso, fazem-se as seguintes considerações:

- factibilidade de utilização desta água: embora o reservatório de jusante não possa armazenar um valor superior a  $\bar{V}_i$ , observa-se que ele terá até o instante  $T + \tau_{ji_{max}}$  (no futuro) para utilizar esta água que chegará da calha para geração, e assim evitar vertimentos. Portanto, considera-se também razoável assumir que o valor da água determinado pela função é aplicável, ao invés de simplesmente assumir um valor nulo (como se água fosse ser necessariamente vertida);
- valor da água a ser considerado: nas situações em que  $V_i^t + R_i^t > \bar{V}_i$ , a consulta à função pode ser interpretada como uma “extrapolação” da FCF para valores de armazenamento superiores ao máximo, como ilustrado na Figura 9-28 Neste caso, como conceitualmente não haverá “pontos de quebra” da FCF para pontos superiores a  $\bar{V}_i$ <sup>9</sup>, a inclinação da FCF (que estabelece o valor da água) será a mesma correspondente à do armazenamento máximo<sup>10</sup>, o que é razoável.

<sup>9</sup> Como a FCF é construída pelo DECOMP para pontos visitados durante a estratégia de PDD, não serão construídos cortes para valores superiores ao armazenamento máximo da usina.

<sup>10</sup> Como a função é multivariada, a análise torna-se mais complexa no espaço multi-dimensional, mas o conceito apresentado permanece aplicável.

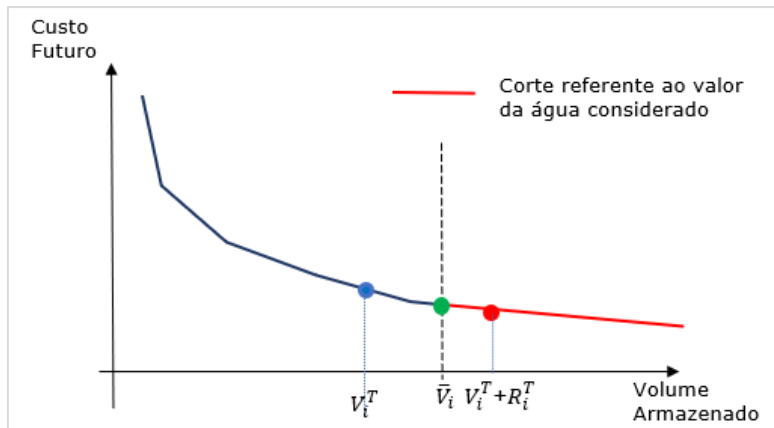


Figura 9-28 - Exemplo de consulta à FCF em um ponto superior ao armazenamento máximo, ao considerar o volume de água na calha do rio.

## 9.14 Evaporação

Devido aos elevados montantes de água evaporados em alguns reservatórios, não se pode desprezar esse aspecto na operação de sistemas hidrotérmicos. A seguir, descreve-se como é feito o cálculo exato da evaporação e, na sequência, como a evaporação é modelada no DESSEM.

### 9.14.1 Cálculo exato da evaporação

Para um dado valor de volume armazenado, a vazão evaporada é calculada pelo produto entre o coeficiente de evaporação mensal da usina (que também consta do cadastro de usinas hidrelétricas) e da área do espelho d'água ( $km^2$ ). Aplicando-se ainda um fator de conversão de unidades, a fim de expressar a evaporação em  $m^3/s$ , obtêm-se a seguinte expressão para a taxa média de evaporação exata  $Evap_i(\cdot)$ , em  $m^3/s$ , para a usina  $i$ , em função do seu volume armazenado  $V_i$ :

$$Evap_i(V_i) = \zeta_{evap} c_{ev,i,j} (A_{rv_i} (h_{mon_i}(V_i))) \quad (9.17)$$

onde  $NH_{mês}$  corresponde ao número de horas no mês em questão;  $c_{ev,i,j}$  é coeficiente de evaporação mensal da usina  $i$  no mês  $j$ , em  $mm/mês$ , que é um dado informado no cadastro de usinas;  $A_{rv_i}$  é o polinômio cota-área da usina  $i$  (vide seção 9.4.2) e  $h_{mon_i}$  é o polinômio cota-volume do reservatório (vide seção 9.4.1). O termo  $\zeta_{evap}$  é um fator de conversão de unidades, cuja expressão é dada por:

$$\zeta_{evap} = \frac{1}{3.6 \times NH_{mes_j}} = \left( \frac{1}{3.6 \times NH_{mes_j}} \right) \left( \frac{mês}{seg} \right) \times 10^6 \left( \frac{m^2}{km^2} \right) \times 10^6 \left( \frac{m}{mm} \right) \quad (9.18)$$

A Tabela 9.2 exemplifica o cálculo da vazão evaporada para diversas condições do reservatório de Sobradinho, em diferentes épocas do ano.

Tabela 9.2 - Exemplos de cálculos de vazão evaporada para a usina de Sobradinho, para diversas condições do reservatório e período do ano.

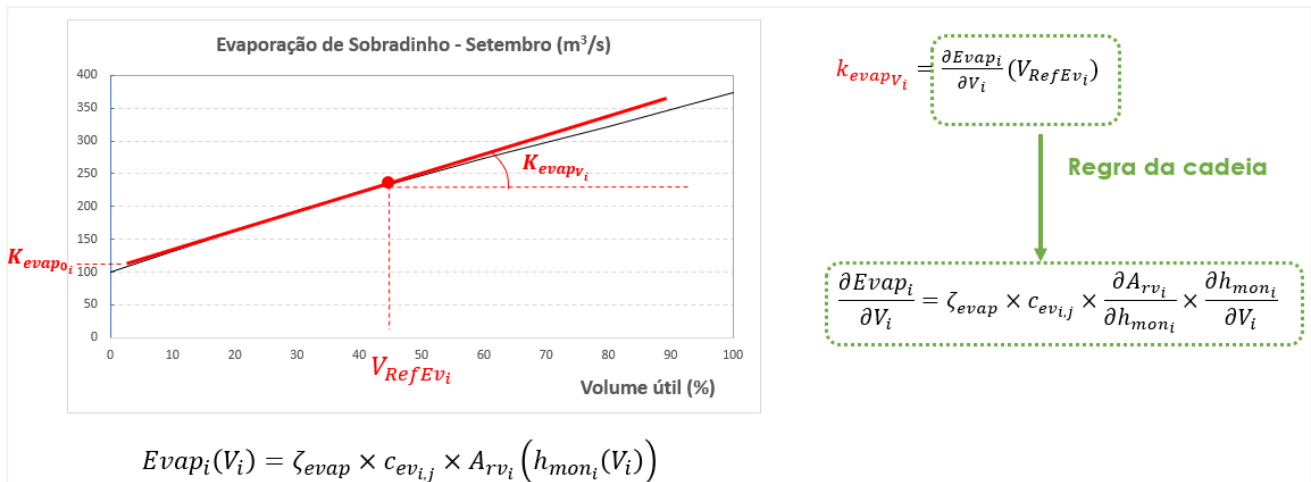
Mês	Volume (% v.útil)	Cota Montante (m)	Área espelho d'água $A_{rv_i}$ (km <sup>2</sup> )	$c_{ev,i,j}$ (mm/mês)	$Q_{ev_i}^t$ (m <sup>3</sup> /s)
Janeiro	80%	390,946	3621,586	171	231,22
Março	70%	390,132	3342,911	61	76,13
Junho	50%	388,353	2785,947	245	263,33
Agosto	30%	386,071	2174,342	165	133,95
Novembro	20%	384,572	1833,447	203	138,96

#### 9.14.2 Aproximação linear para a evaporação

A não linearidade na expressão exata de cálculo da evaporação não permite que ela seja inserida diretamente na formulação de um problema resolvido por programação linear ou programação linear inteira. Desta forma, o CEPEL desenvolveu um modelo linear para aproximação da evaporação no modelo DESSEM, que depois foi estendida para o DECOMP. Em resumo, esse modelo consiste em realizar uma aproximação linear para a vazão evaporada  $Q_{ev_i}^t$ , no reservatório  $i$  e no período  $t$ , em torno de um valor de referência  $V_{refEv_i}$ , como mostra a expressão (9.19)

$$\begin{aligned}
 Q_{ev_i}^t &= Evap_i(V_{RefEv_i}) + k_{evap_i}(V_i^t - V_{RefEv_i}) = \\
 &= [Evap_i(V_{RefEv_i}) - k_{evap_i}V_{RefEv_i}] + k_{evap_i}V_i^t = \\
 &= k_{evap_{0i}} + k_{evap_{Vi}}V_i^t
 \end{aligned} \tag{9.19}$$

onde o primeiro termo em colchetes na expressão final se torna um valor numérico (conhecido), e o coeficiente  $k_{evap_i}$  corresponde à derivada da função de evaporação  $f_{evap_i}$  no ponto  $V_{ref,ev_i}$ . A Figura 9-29 ilustra essa aproximação



**Figura 9-29 - Modelo linear para a evaporação, aplicado ao reservatório de Sobradinho**

Observações adicionais sobre a modelagem da evaporação:

- de forma a obter-se uma aproximação mais acurada, o modelo (9.19) é aplicado, para cada período  $t$ , ao volume médio no período, ou seja,  $(V_i^{t-1} + V_i^t)/2$ ;
- e evaporação é aplicada a todos os reservatórios do sistema, sejam de regularização ou a fio d'água;

Detalhes adicionais da modelagem podem ser consultados em [48].

### 9.14.3 Acurácia da aproximação para a evaporação

Os valores de evaporação obtidos na solução ótima fornecida pelo DESSEM consideram a aproximação linear, que pode ter desvios em relação à função exata, não linear. De forma a permitir que o usuário avalie a acurácia da aproximação, disponibiliza-se um arquivo de saída denominado "pdo\_oper\_evap", que compara, para cada usina hidrelétrica e período, os valores de evaporação obtidos na solução do PL com os valores calculados de forma exata através da função não linear, utilizando o volume médio da usina no período, na solução final do problema.

## 9.15 Função de produção hidrelétrica

A função de produção das usinas hidrelétricas consiste na conversão entre a vazão turbinada e a energia gerada, considerando a variação da produtividade da usina de forma não linear com a altura de queda e eventuais perdas que ocorrem nesse processo. Nas seções seguintes descrevem-se os principais aspectos que afetam a geração da usina e que são considerados nos modelos, apresentando a formulação matemática para cada um deles. Em seguida, apresenta-se a modelagem linear por partes multi-dimensional que é considerada no problema de otimização.

De forma a não carregar a notação, serão suprimidos os índices da usina hidrelétrica e do período a que se referem as variáveis operativas, devendo-se observar, entretanto, que as expressões apresentadas são aplicadas no modelo para todas as usinas e períodos.

### 9.15.1 Energia Potencial para geração hidrelétrica

A energia hidrelétrica provém da transformação da energia potencial da água armazenada em energia mecânica nas turbinas, e posteriormente em energia elétrica no gerador. A potência gerada em uma unidade geradora ( $gh$ ) depende de sua vazão turbinada ( $q$ ), da queda líquida à qual a unidade está submetida ( $h_{liq}$ ), e das características de projeto da unidade, representadas pelos fatores de eficiência da turbina ( $\eta_t$ ) e do gerador ( $\eta_g$ ), segundo a equação abaixo, onde se suprimiram os índices da unidade geradora e do período de tempo:

$$gh = 9,81 \times 10^{-3} \eta_t(h_{liq}, q) \eta_g(gh) q h_{liq} \quad (9.20)$$

onde o valor  $9,81 \times 10^{-3}$  leva em consideração a densidade da água, a aceleração da gravidade e um fator de conversão de unidades. Em princípio, o rendimento  $\eta_t$  da turbina é uma função não linear da altura de queda e da vazão turbinada, e o rendimento  $\eta_g$  do gerador depende da própria geração a ser determinada.

### 9.15.2 Cálculo da altura de queda bruta

A altura de queda bruta  $h_{bruta}$  é a diferença entre as cotas de montante e jusante do reservatório, conforme expressão a seguir:

$$h_{bruta} = h_{mon}(V) - h_{jus}(Q, S) \quad (9.21)$$

onde a cota de montante  $h_{mon}(V)$  é função não linear do armazenamento no reservatório:

$$h_{mon}(V) = a_{cv_0} + a_{cv_1} V + a_{cv_2} V^2 + a_{cv_3} V^3 + a_{cv_4} V^4 \quad (9.22)$$

e a cota de jusante  $h_{jus}(Q, S)$  é dada pela curva-chave do canal de fuga, a qual é função não linear da vazão turbinada total da usina  $Q$  e, dependendo da configuração, da usina, também da vazão vertida  $S$ . Esta função pode ser dada por um polinômio, conforme mostrado a seguir:

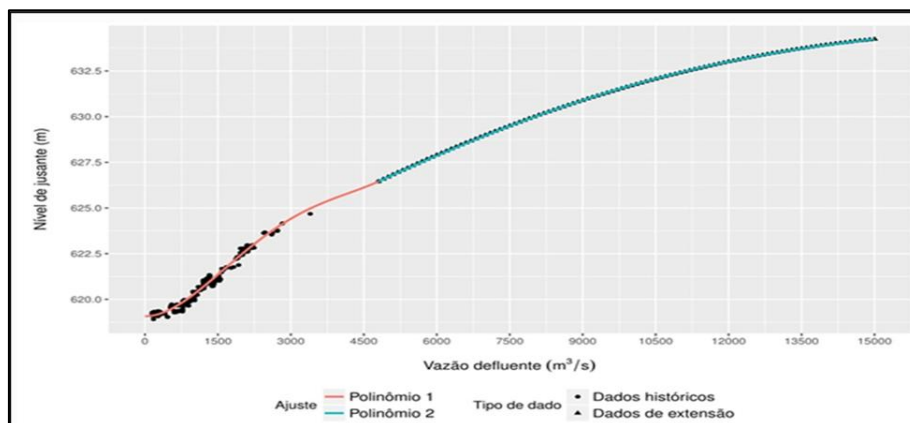
$$h_{jus}(V, Q) = a_{cf_0} + a_{cf_1} (Q + S) + a_{cf_2} (Q + S)^2 + a_{cf_3} (Q + S)^3 + a_{cf_4} (Q + S)^4 \quad (9.23)$$

onde os coeficientes  $a_{cv_j}$  e  $a_{cf_j}$  correspondem, respectivamente, aos termos de ordem  $j$  dos polinômios cota-volume e cota-vazão (canal de fuga) das usinas hidrelétricas.

### 9.15.3 Polinômio por partes para a cota do canal de fuga

Para algumas usinas hidrelétricas a cota do canal de fuga é representada de forma mais acurada, através de polinômios por partes, obtidos pelo Grupo de Trabalho para Avaliação dos Dados Cadastrais Utilizados para o Cálculo da Produtibilidade (GTDP), do ONS [49]. Neste tipo de representação, divide-se o domínio da vazão defluente em diferentes trechos, e ajusta-se um

polinômio para cada trecho, tomando-se o cuidado de manter a continuidade da função e, preferencialmente, também da sua derivada. A Figura 9.1 ilustra esse polinômio, cuja representação matemática é apresentada em (9.24).



**Figura 9.1 - Exemplo de um polinômio por partes para representação do canal de fuga de uma usina hidrelétrica (fonte: ONS).**

$$h_{jus}(V, Q) = a_{cf_0}^{(k)} + a_{cf_1}^{(k)} (Q + S) + a_{cf_2}^{(k)} (Q + S)^2 + a_{cf_3}^{(k)} (Q + S)^3 + a_{cf_4}^{(k)} (Q + S)^4 \quad (9.24)$$

onde  $k$  indica o trecho onde a vazão defluente está situada, ou seja,  $Q_{defmin(k)} \leq (Q + S) \leq Q_{defmax(k)}$ , sendo  $Q_{defmin(k)}$  e  $Q_{defmax(k)}$  os limites mínimo e máximo de cada trecho. Com isso, identifica-se o polinômio  $k$  que deve ser empregado, e que possui os coeficientes  $a_{cf_j}^{(k)}$ ,  $j = 0, \dots, 4$ .

A expressão (9.24) é generalizada, posteriormente, para considerar, na consulta do polinômio, a vazão  $Q_{jus}$  do canal de fuga (também chamada de vazão de jusante), de forma a considerar os efeitos das vazões laterais (vide seção 9.15.6)

#### 9.15.4 Influência do remanso na cota do canal de fuga

Em usinas hidrelétricas muito próximas na cascata, a cota de jusante de uma usina pode ser influenciada pelo nível de montante do reservatório de jusante, pois este altera o nível superficial de escoamento da água da usina de montante. Este efeito, conhecido como remanso, é ilustrado na – Efeito do remanso do canal de fuga da usina  $i$ , em função do volume armazenado da usina de jusante  $j$

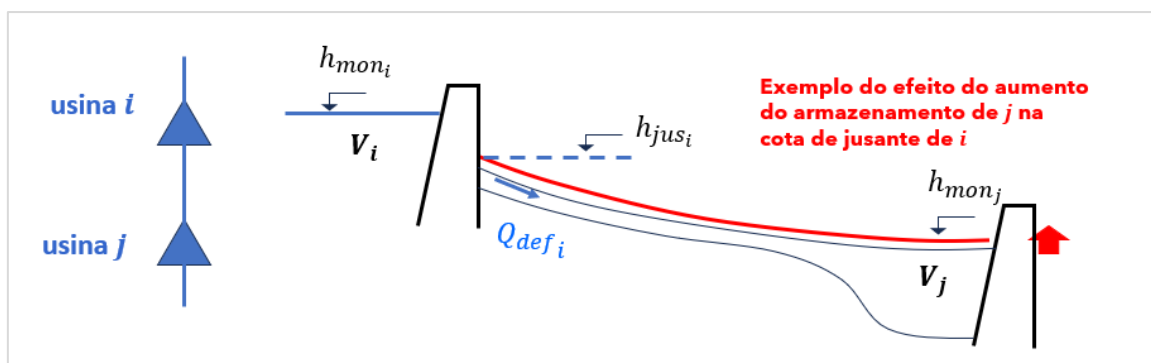


Figura 9-30 – Efeito do remanso do canal de fuga da usina  $i$ , em função do volume armazenado da usina de jusante  $j$ .

O efeito do remanso é considerado trocando o polinômio (polinômio por partes) de jusante da usina, dependendo da altura de montante da usina de jusante, da seguinte forma:

**Passo 1.** São informados ao modelo  $N$  polinômios para a cota do canal de fuga, cada um associado a determinada cota de montante do reservatório de jusante. Estes polinômios podem ser simples de dois tipos:

- Polinômios simples (arquivo hidr.dat), conforme ilustrado na Figura 9-31

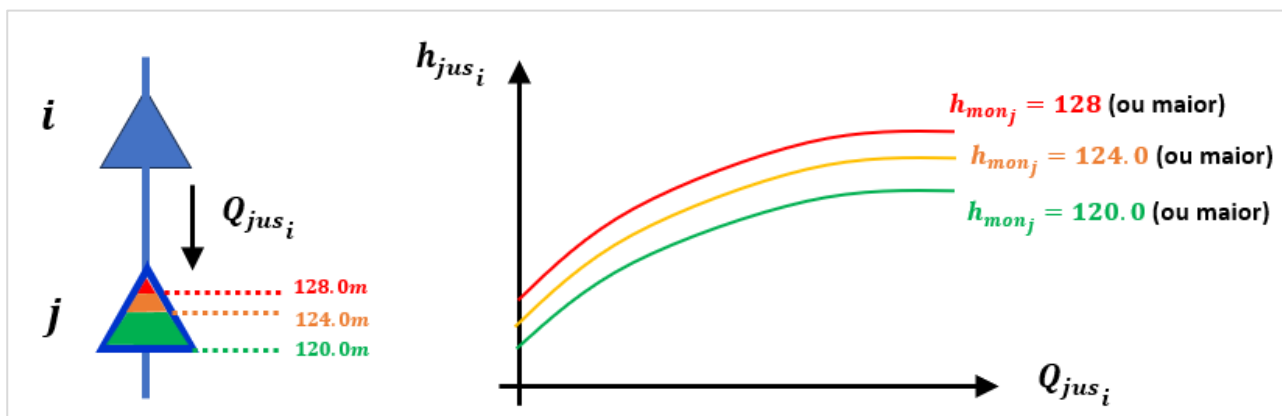
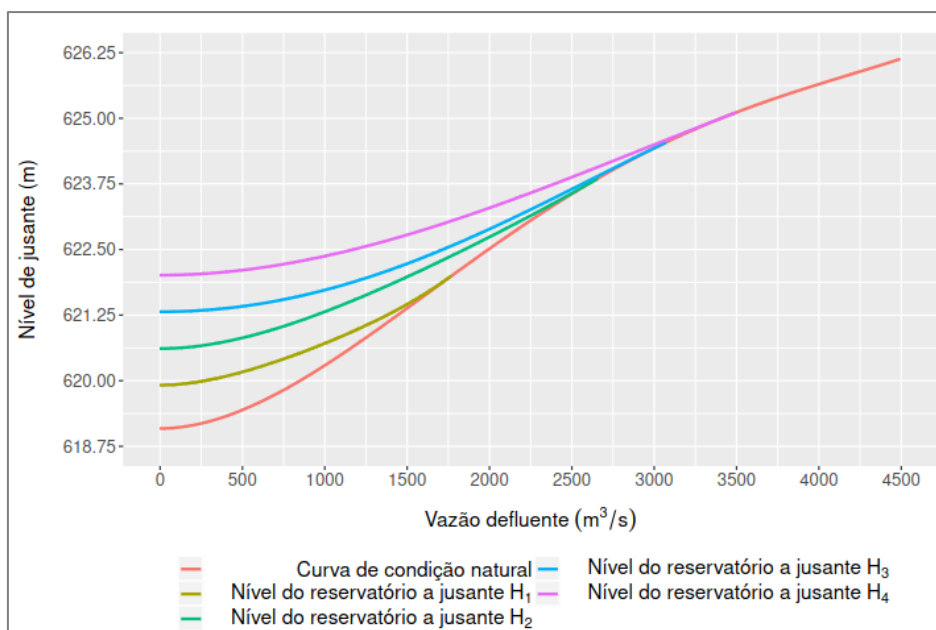


Figura 9-31 – Exemplo de três polinômios para a cota de jusante da usina  $i$ , em função da cota de montante de sua usina de jusante  $j$ ,

- Polinômios por partes (vide seção 9.15.3), ilustrados na Figura 9-32 e obtidos conforme metodologia descrita em [50].



**Figura 9-32 – Exemplos de polinômios por partes para o canal de fuga, para diferentes cotas de referência do nível do reservatório de jusante (Fonte: [50])**

**Passo 2.** Considera-se, para fins de cálculo da cota de jusante para a função de produção de uma usina  $i$ , os seguintes polinômios:

- caso sejam considerados os polinômios simples, utiliza-se o primeiro polinômio cuja cota de referência seja igual ou superior ao nível operativo  $h_{mon_j}(V_j)$  da usina de jusante  $j$ , associado a seu estado de armazenamento  $V_j$ , como ilustrado na Figura 9-31
- caso sejam considerados os novos polinômios lineares por partes, utiliza-se uma interpolação dos polinômios cujas cotas de referência sejam imediatamente inferior e superior ao nível operativo  $h_{mon_j}(V_j)$

**Passo 3.** Obtém-se a cota do canal de fuga consultando o(s) polinômio(s) definido(s) no passo anterior, para a vazão de jusante da usina, que pode levar em consideração também o impacto de vazões laterais, como descrito na seção 9.15.6.

### 9.15.5 Afogamento do canal de fuga

O afogamento do canal de fuga, ilustrado na Figura 9-33, acontece quando a altura de jusante calculada para a usina  $i$  fica menor que a altura de montante da usina de jusante  $j$  (ou seja,  $h_{jus_i} < h_{mon_j}$ ). Como essa situação é impossível na prática, quando ela ocorre o modelo ignora a altura de jusante calculada a partir dos polinômios do canal de fuga ( $h_{jus_i}$ ) e utiliza, para a cota do canal de fuga, a própria altura de montante da usina a jusante ( $h_{mon_j}$ ).

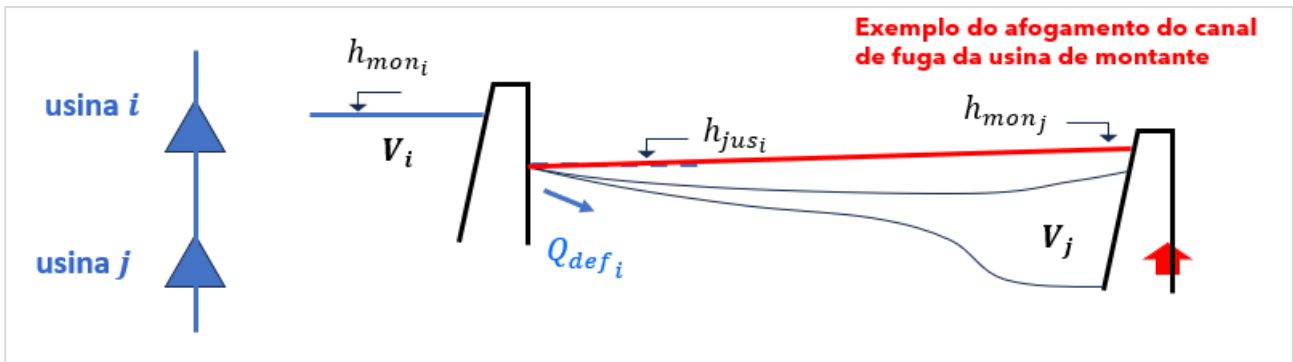


Figura 9-33 – Desenho ilustrativo do efeito de afogamento do canal de fuga.

Este tratamento é uma opção do usuário, não sendo habilitada quando são utilizados os polinômios por partes, vistos que, segundo informações do ONS, esses polinômios já são calibrados de forma a evitar o efeito de afogamento do canal de fuga.

#### 9.15.6 Influência de vazões laterais na cota do canal de fuga

Algumas usinas têm a sua cota do canal de fuga afetada pelo que chamamos de “vazões laterais”, que estão à jusante da usina porém muito próximas de seu canal de fuga, a ponto de afetar sua cota. Estas vazões podem ser provenientes de afluências naturais a postos de vazão ou defluências de outras usinas hidrelétricas na configuração.

Para fins de modelagem da função de produção, torna-se interessante diferenciar as vazões que impactam a cota do canal de fuga em dois conjuntos:

- **Turbinamento:** é a variável que de fato proporciona geração à usina
- **Vazão lateral:** é a vazão relacionada às demais variáveis que não proporcionam geração e, pelo contrário, podem prejudicá-la, pelo aumento na cota do canal de fuga: **vertimento, afluências em postos e defluências de outras usinas**

Todos os componentes acima podem influenciar de forma diferente a vazão na cota do canal de fuga, por meio de fatores de participação para cada componente, que podem ser definidos pelo usuário. A aplicação de todos esses fatores leva à definição da vazão de jusante  $Q_{jus_i}$  de uma usina:

$$Q_{jus_i} = k_{jus_i}^Q Q_i + k_{jus_i}^S S_i + \sum_{j \in \Omega_{jus_i}^{qa}} k_{jus_i,j}^{qa} Q_{a_j} + \sum_{j \in \Omega_{jus_i}^{qd}} k_{jus_i,j}^{qd} Q_{def_j} \quad (9.25)$$

onde  $k_{jus_i}^Q$  e  $k_{jus_i}^S$  são os fatores referentes ao turbinamento e vertimento da própria usina  $i$ , e  $k_{jus_i,j}^{qa}$  e  $k_{jus_i,j}^{qd}$ , correspondem, respectivamente, aos fatores referentes ao  $j$  –ésimo posto ou  $j$  –ésima usina hidrelétrica pertencentes aos conjuntos  $\Omega_{jus_i}^{qa}$  e  $\Omega_{jus_i}^{qd}$  de postos e usinas hidrelétricas que influenciam o canal de fuga da usina  $i$ .

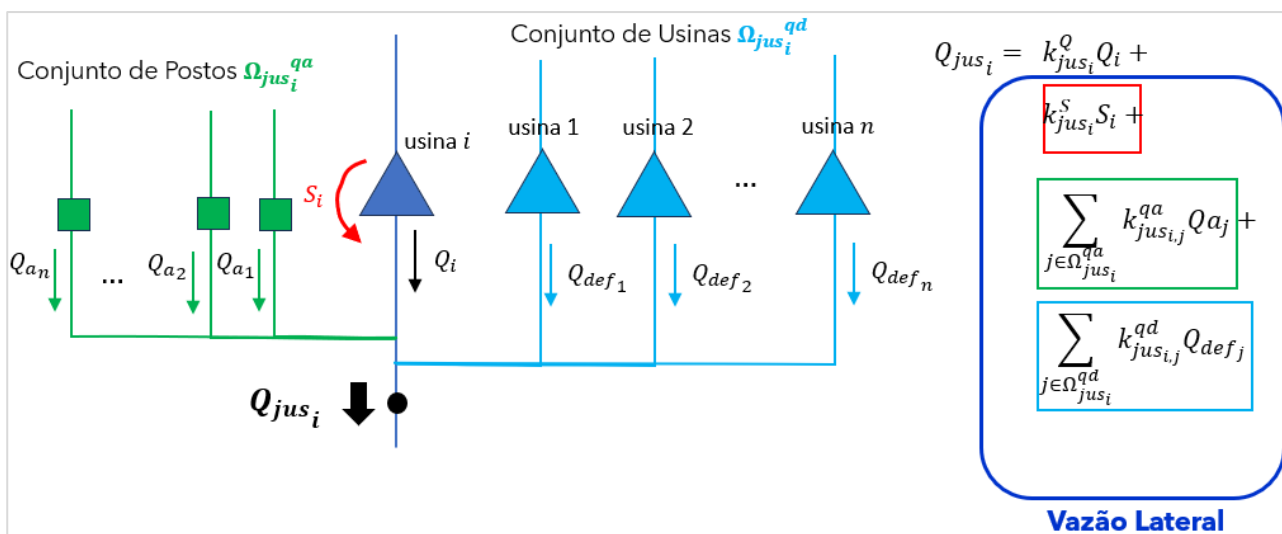


Figura 9-34 – Forma geral do cálculo da vazão de jusante de uma usina, em função de turbinamento e vertimento da própria usina, vazões em postos e defluências de outras usinas

No sistema brasileiro, exemplos de vazões laterais são encontradas, por exemplo:

- para a usina Belo Monte, cuja vazão de jusante é impactada pela defluência da usina hidrelétrica de Pimental e do posto de Bacajá, como mostrado na Figura 9-35, e cuja modelagem da função de produção é descrita em [51];

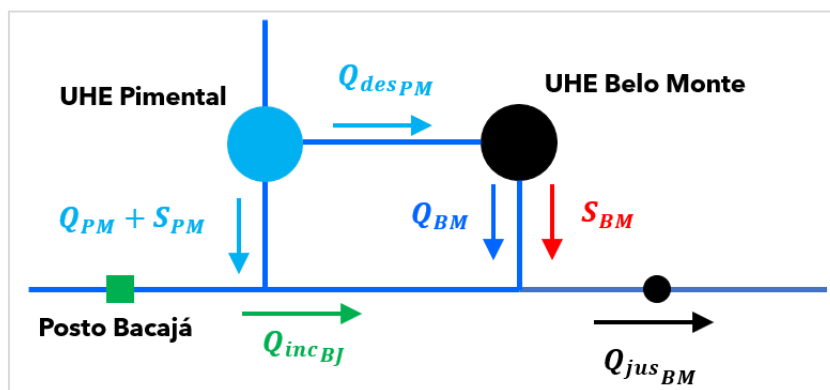


Figura 9-35 – Vazões laterais que impactam a vazão de jusante da usina de Belo Monte: vertimento e desvio da usina de Pimental e vazão incremental do posto de Bacajá.

- para a usina de Itaipu, cuja vazão de jusante é impactada pela vazão do Rio Iguaçu, conforme mostrado na Figura 9-36, e cuja modelagem é descrita em [52]

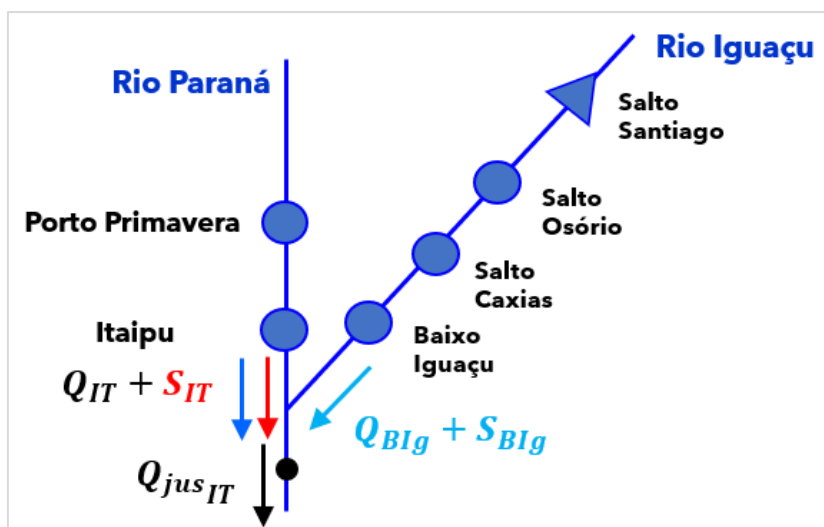


Figura 9-36 – Vazões laterais que impactam a vazão de jusante de Itaipu: defluência de Baixo Iguaçu e vertimento da própria usina

### 9.15.7 Produtibilidade Específica

Além da variação da produtividade das usinas com a altura de queda, a partir de funções não lineares para as cotas de montante e de jusante do reservatório, os modelos de otimização energética do CEPEL consideram a eficiência do conjunto turbina-gerador das usinas hidrelétricas das formas descritas a seguir, a partir dos dados que se encontram disponíveis para as usinas hidrelétricas do sistema brasileiro.

#### 9.15.7.1 Produtibilidade específica das usinas por meio de fator constante

Esta alternativa de modelagem consiste em considerar o dado de produtividade específica por unidade de queda e vazão que se encontra no cadastro de usinas hidrelétricas (hidr.dat), medido em  $[(MW / ((m^3/s) \cdot m)]$ . Este valor é uma composição da eficiência das turbinas multiplicado pela gravidade e a densidade específica da água, além de um fator de conversão de unidades.

A Figura 9-37 mostra o conjunto de valores de produtividade específica para todas as usinas do cadastro de usinas hidrelétricas, no ano de 2024, indicando aquelas que possuem o menor e maior valor de produtividade, e destacando as produtibilidades específicas de algumas usinas do sistema.

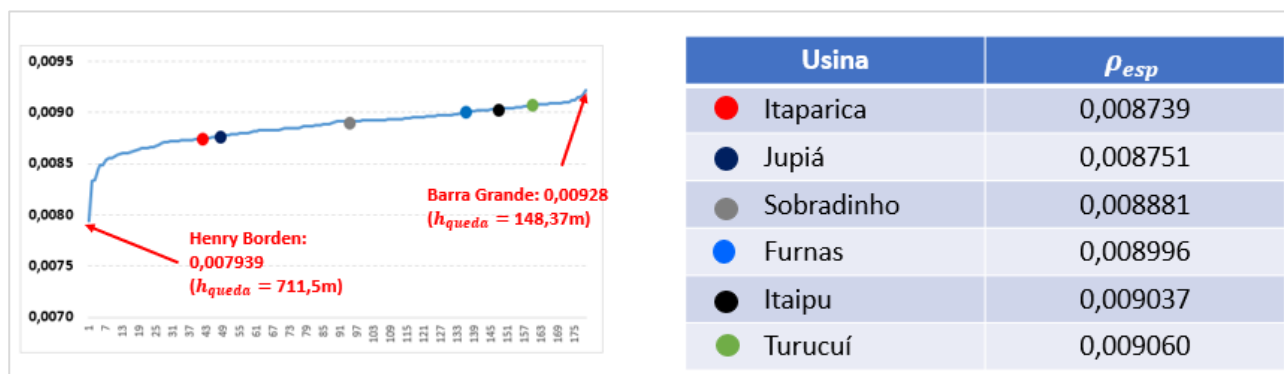


Figura 9-37 - Conjunto de valores de produtividade específica para todas as usinas do cadastro.

#### 9.15.7.2 Produtibilidade específica variável com a vazão e a altura de queda

Uma modelagem mais sofisticada é considerar a produtividade específica como uma função não linear da vazão turbinada e altura de queda, calculadas a partir de dados brutos horários obtidos pelo Grupo de Trabalho para Avaliação dos Dados Cadastrais Utilizados para o Cálculo da Produtibilidade (GTDP) do ONS, a partir do histórico de operação das usinas [53]. A metodologia consiste na modelagem de curvas não lineares através de um modelo aditivo generalizado (GAM), descrito em [17] e detalhado em [54]. A entrada de dados dessas curvas nos modelos também é feita a partir de uma grade de pontos, porém para pares de vazão turbinada X altura de queda.

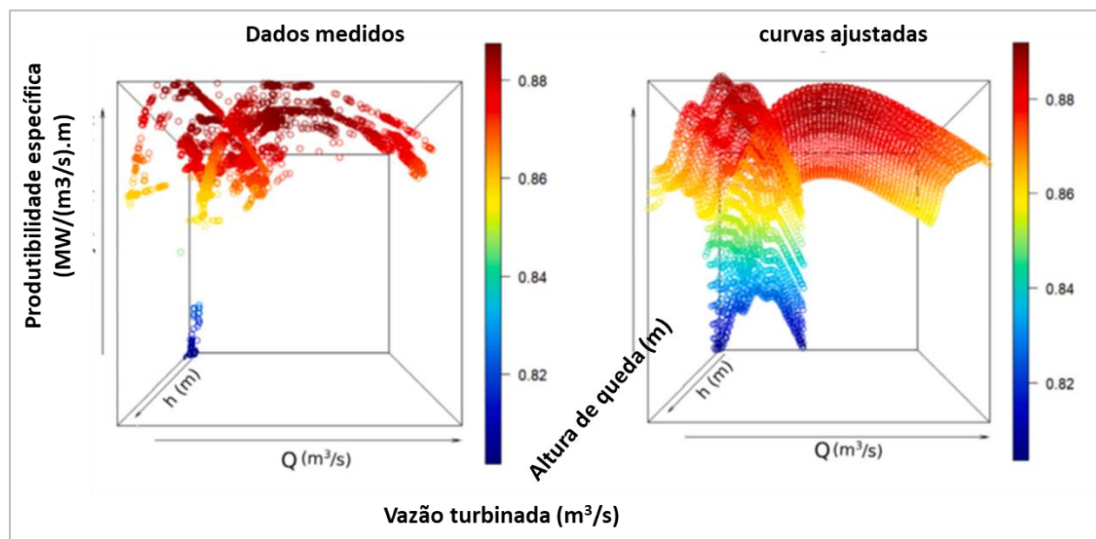


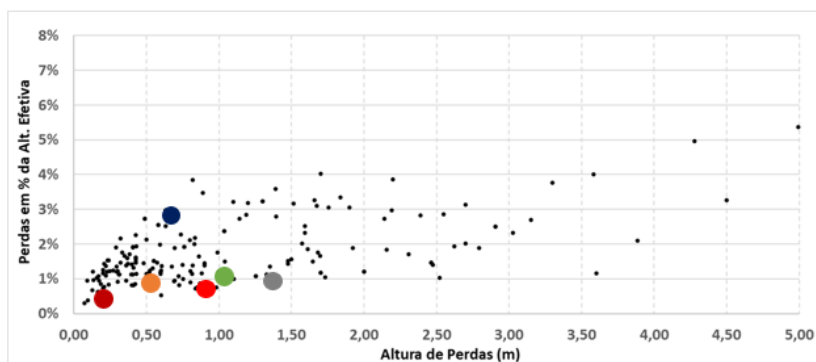
Figura 9-38 – Dados medidos e curva ajustada para a produtividade específica das usinas variável com a altura de queda e a vazão.

#### 9.15.8 Perdas hidráulicas nos condutos

As perdas hidráulicas  $h_{perdas}$  correspondem às perdas de carga na tomada e adução de água, que pode ser considerada de diferentes formas.

##### 9.15.8.1 Perdas hidráulicas por meio de fatores

No cadastro de usinas hidrelétricas constam fatores constantes que, para algumas usinas, são expressos com um fator constante em metros (m) e, para outras por um fator  $k_{perdas}$ , que é dado em p.u. em relação à altura de queda bruta. Estes dados, que constam do cadastro de usinas hidrelétricas, são mostrados na Figura 9-39, que destaca os valores específicos para algumas usinas do sistema.



Usina	Perdas (m)	Perdas (%hef)
Itaparica	0,80	0,89%
Jupia	0,63	2,98%
Sobradinho	1,33	1,13%
Furnas	0,17	0,62%
Itaipu	0,50	0,99%
Turucuí	0,90	1,38%

Figura 9-39 - Valores de perdas nos condutos para todas as usinas do cadastro.

### 9.15.8.2 Perdas hidráulicas em função da vazão turbinada

Uma forma mais acurada de calcular as perdas hidráulicas nos condutos é considerá-la como uma função não linear  $f_{perdasH}$  da vazão turbinada:

$$Perd_{cond} = f_{perdasH}(Q) \quad (9.21)$$

onde  $Q$  é a vazão turbinada da usina. A modelagem utilizada para estimar essa curva a partir de um modelo aditivo generalizado (GAM), mostrada na Figura 9-40 é descrita em [17] e mais bem detalhada em [54].

A entrada de dados dessa curva é a partir de uma grade de pontos para a vazão turbinada, em formato csv, indicado no lado esquerdo da Figura 9-41. Na mesma figura, representa-se a curva de perdas nos condutos em função da vazão turbinada total da usina para a usina de Itutinga, que possui 4 conjuntos de máquinas. Percebe-se que, à medida que vai aumentando a vazão turbinada da usina, troca-se o número de máquinas acionadas, causando inflexões na curva de perdas dos condutos.

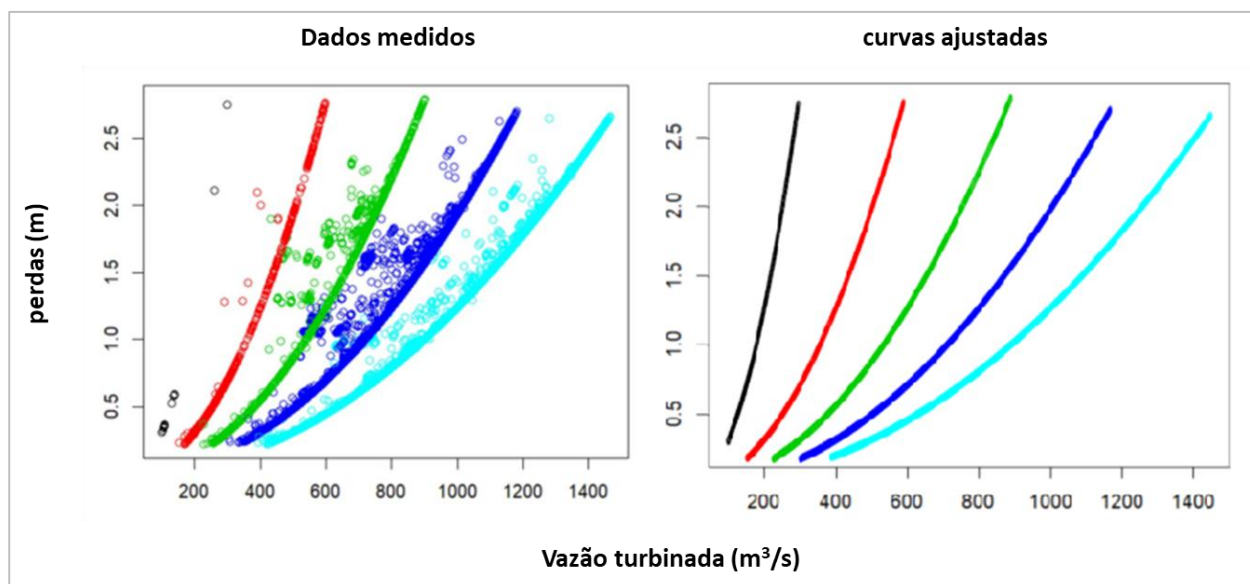


Figura 9-40 – Dados medidos e curva ajustada para as perdas nos conjuntos em função da vazão turbinada da usina.

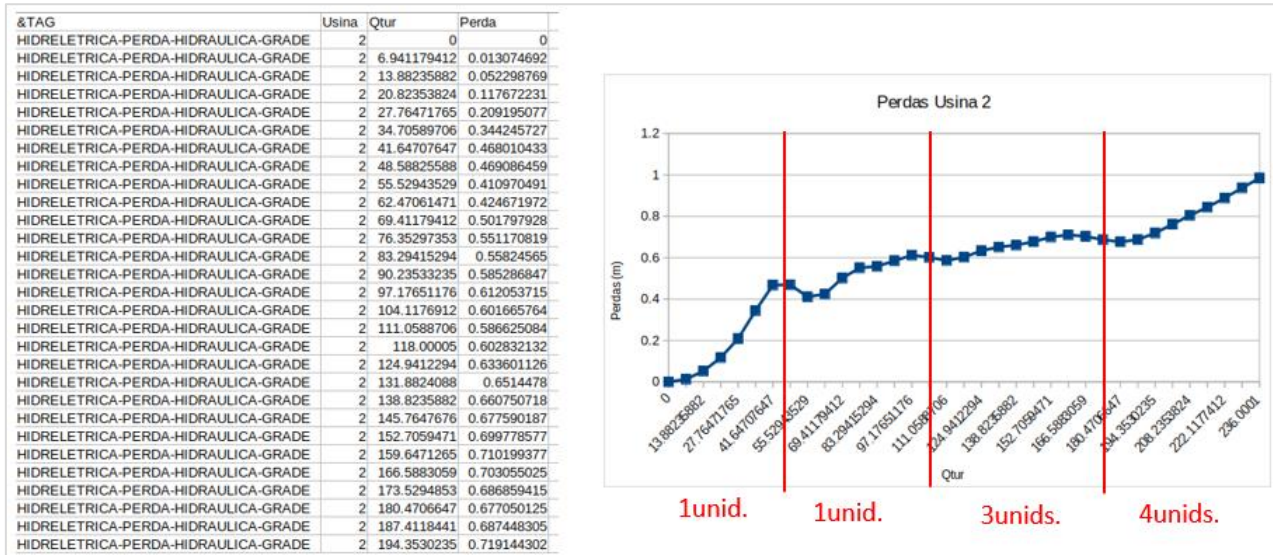


Figura 9-41 – Exemplo da curva de perda dos condutos para a usina de Itutinga.

### 9.15.9 Cálculo da altura de queda líquida

A altura de queda líquida será calculada de acordo com o tipo de perdas considerado na modelagem da função, conforme descrito nas seções 9.15.8.2 e 9.15.9. Portanto, assumirá uma das seguintes formas:

Cálculo da altura líquida com perdas por meio de um valor constante em metros:

$$h_{liq} = h_{mon}(V) - h_{jus}(Q, S) - h_{perdas} \quad (9.27)$$

Cálculo da altura líquida com perdas por meio de um fator em p.u.:

$$h_{liq} = [h_{mon}(V) - h_{jus}(Q, S)] \times k_{perdas} \quad (9.28)$$

Cálculo da altura líquida com perdas por meio de perdas quadráticas em função da vazão turbinada:

$$h_{liq} = h_{mon}(V) - h_{jus}(Q, S) - f_{perdasH}(Q) \quad (9.29)$$

O cálculo da altura de queda líquida é resumido na Figura 9-42.

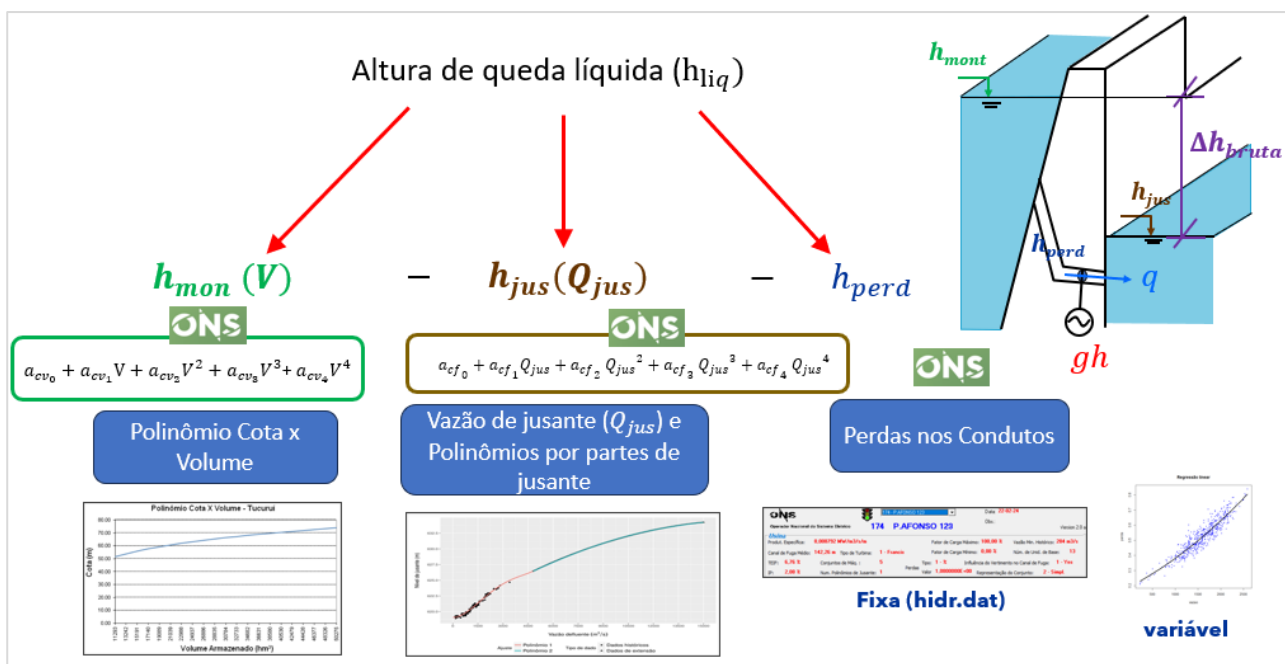


Figura 9-42 – Resumo esquemático do cálculo da altura de queda líquida das usinas hidrelétricas, para fins de cálculo da função de produção.

### 9.15.10 Expressão exata da função de produção (FPH)

As restrições de unit commitment hidráulico (UCH), detalhadas na seção 9.17, representam o status (ligada/desligada) das unidades geradoras, assim como diversas restrições que devem ser atendidas na sua operação. No entanto, uma vez definidos os limites (implícitos) de geração da usina em função dos valores de potência mínima e máxima das unidades acionadas (seção 9.17.7), é possível representar uma **função de produção hidrelétrica exata (FPH)** única para a usina, que fornece a soma  $GH_i$  das gerações de suas  $nh_i$  unidades, já que a produtividade específica fornecida pelo ONS é única para a usina como um todo (vide seção 9.15.7). Assim, não é necessário detalhar a geração individual de cada unidade hidrelétrica<sup>11</sup>.

A FPH da usina passa a ser dada pela expressão a seguir, em função do volume  $V$ , vazão turbinada  $Q$  e vazão de jusante  $Q_{jus}$ , que leva em consideração o efeito da vazão vertida  $S$  da usina, além de eventuais contribuições de vazões laterais  $Q_{lat}$  (vide seção 9.15.6).

$$\begin{aligned}
 FPH_i(V, Q, S) &= \sum_{j=1}^{nh_i} gh_j(q_j, V, Q, S, Q_{lat}) \\
 &= \sum_{j=1}^{nh_i} \rho_i \cdot q_j \left[ h_{mon_i}(V) - h_{jus_i}(Q_{jus}) - h_{perdas_i} \right] =
 \end{aligned}
 \tag{9.30}$$

<sup>11</sup> Exceto quando as unidades geradoras estão em barras diferentes. Neste caso, o modelo irá distribuir a geração entre elas observando o impacto na rede e, se for considerado o UCH, os limites de geração das unidades acionadas.

$$= \rho_i Q \left[ h_{mon_i}(V) - h_{jus_i}(Q_{jus}) - h_{perdas_i} \right],$$

onde  $q_j$  é o turbinamento de cada uma das  $nh_i$  unidades da usina (ou seja,  $Q = \sum_{j=1}^{nh_i} q_j$ ) e  $Q_{jus}$  é dado em função  $S$  e  $Q_{lat}$  por (9.25). Caso as perdas de altura de queda sejam dadas sob a forma de um fator, temos que:

$$FPH_i(V, Q, S) = \rho_i Q \left[ h_{mon_i}(V) - h_{jus_i}(Q, S) \right] k_{perdas_i}, \quad (9.31)$$

Por fins de simplicidade, consideraram-se valores fixos de produtividade específica  $\rho_i$  e perdas nos condutos  $h_{perdas_i}$ . Em sua forma mais complexa, considera-se a variação desses valores em função do ponto de operação da usina, como descrito nas seções 9.15.7.2 e 9.15.8.2.

O cálculo da função de produção exata FPH das usinas hidrelétricas é resumido na Figura 9-43.

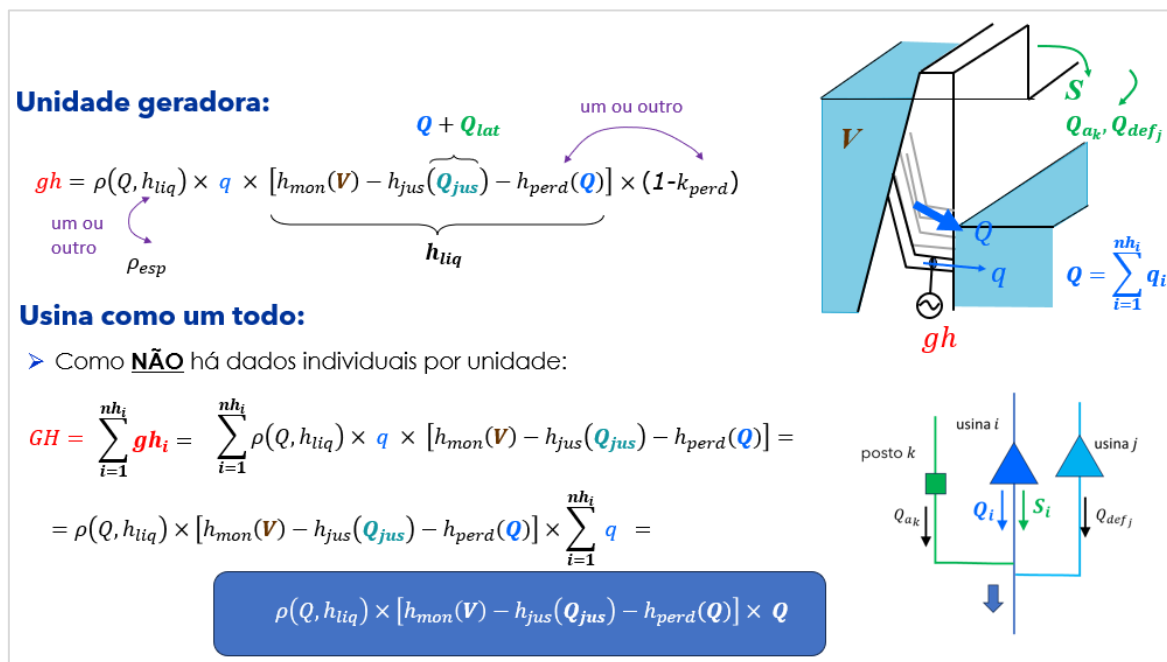
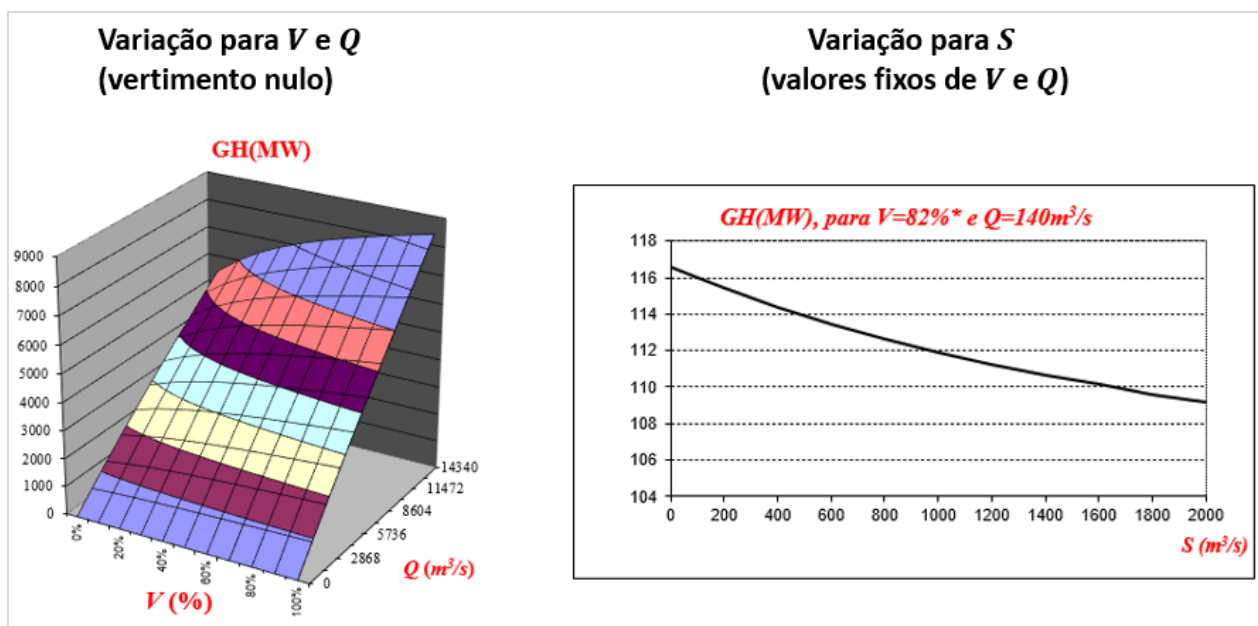


Figura 9-43 - Resumo do cálculo da função de produção exata (FPH) de uma usina hidrelétrica.

A Figura 9-44 mostra o gráfico da função de produção exata de duas usinas reais do sistema brasileiro. À esquerda, mostra-se o comportamento da curva de geração de Tucuruí, quando a usina não apresenta vertimento e, à direita, o impacto do vertimento na geração da usina de Jacuí, fixados os valores de turbinamento e volume armazenado indicados na figura. Uma descrição detalhada da função de produção hidrelétrica é apresentada em [16].



**Figura 9-44 – Função de produção hidrelétrica exata das usinas de Tucuruí (esquerda), em função do turbinamento e volume, e de Jacuí (à direita), em função do vertimento.**

Como a expressão da  $FPH_i$  é não linear, faz-se necessário um tratamento que permita a aplicação em um problema de programação linear, e que ao mesmo tempo preserve uma representação acurada da não linearidade da função, o que é descrito na próxima seção.

### 9.15.11 Modelagem linear por partes multidimensional da função de produção hidrelétrica aproximada (FPHA)

Observando-se o gráfico à esquerda na Figura 9-44, verifica-se que a função de produção exata  $FPH_i$  é razoavelmente côncava, o que sugere uma aproximação linear por partes superior dessa curva. A fim de evitar o uso de variáveis inteiras, pode-se considerar como região viável para o problema de otimização toda a região abaixo da curva. Isto é possível porque a solução ótima do problema de despacho levará sempre o modelo a "encostar" na curva, evitando operar em pontos estritamente abaixo dela. De qualquer forma, antes de aplicar essa linearização por partes, deve-se convexificar a região abaixo da curva, aplicando algum algoritmo de envoltória convexa.

A seguir, descrevem-se os passos para construção da função de produção aproximada (FPHA) das usinas hidrelétricas. Os procedimentos são os mesmos, independentemente da forma de consideração da produtividade específica (fixa ou variável com a altura de queda e vazão) e das perdas dos condutos (fixa ou variável com a vazão), pois altera-se apenas a expressão utilizada para cálculo da função exata.

#### Passo 1. Determinação da grade de discretização

Define-se uma grade de pontos no plano  $V \times Q$ , a partir das informações do número de pontos para se tomar em ambas as dimensões ( $NPTV$  e  $NPTQ$ , respectivamente) e da janela de discretização a ser adotada para o volume, que corresponde a um intervalo  $(V_0 - \Delta V_{FPHA}, V_0 + \Delta V_{FPHA})$  em torno

do volume inicial  $V_0$ , como ilustrado na Figura 9-45 a seguir. A largura da janela para o volume depende do tamanho do reservatório e deve ser ampla o suficiente para cobrir razoavelmente o espectro de operação da usina ao longo do horizonte de estudo do modelo. Já para o turbinamento, a princípio deve-se considerar todo o domínio da variável, já que não é possível prever, a priori, a faixa operativa da usina<sup>12</sup>.

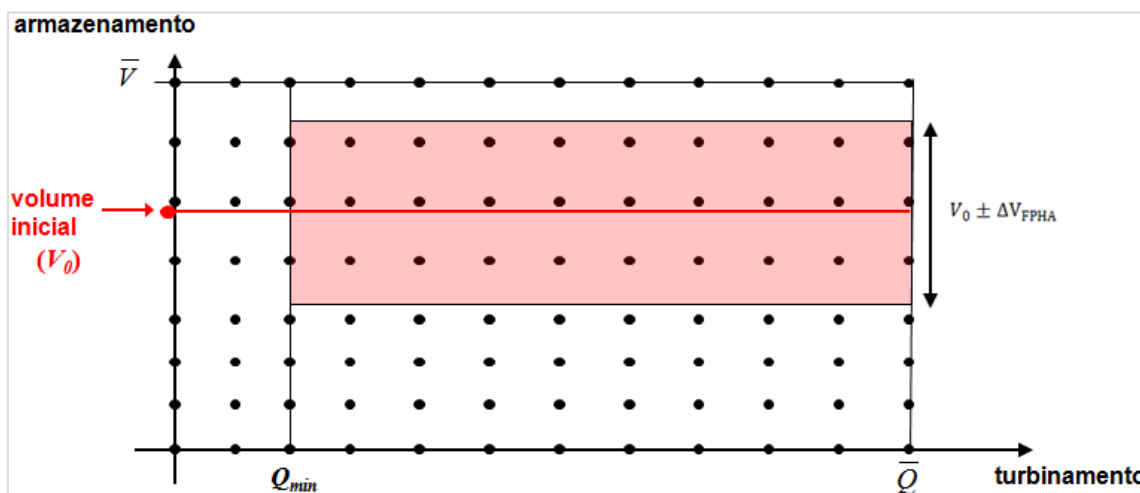


Figura 9-45 - Exemplo de janela de discretização para modelagem da FPHA.

O valor default do número de pontos do volume de usinas com armazenamento são 5, sendo a janela dependendo da característica do reservatório, ou seja, se possui regularização diária, semanal ou mensal. Dessa forma, o limite inferior da janela das usinas com reservatório com regularização diária, semanal e mensal será o menor valor entre 0 e a diferença entre o volume útil inicial e 100%, 20% e 10% do volume útil total, respectivamente. De forma similar, o limite superior da janela das usinas com reservatório com regularização diária, semanal e mensal será o menor valor entre o volume útil total e a soma entre o volume útil inicial e 100%, 20% e 10% do volume útil total, respectivamente. Já para as usinas sem armazenamento são 2 pontos, sendo a janela considerada 1% do volume útil total.

O valor default do número de pontos do turbinamento são 5 e quando for identificado que o polinômio cota jusante é constante, então será considerado apenas 1 ponto, com janela variando de zero até turbinamento máximo.

A Figura 9-46 a seguir resume as possibilidades existentes na definição de pontos e das janelas de turbinamento e volume de acordo com sua regularização.

<sup>12</sup> No entanto, caso sejam impostas algumas restrições operativas (como é o caso de  $Q_{min}$  na figura), essas podem ser consideradas para restringir a janela de discretização da função.

Classificação do Reservatório	Janela do Volume Limite Inferior	Janela do Volume Limite Superior	Número de Pontos de Volume*1
Com regularização Diária	Vmin	Vmax	5
Com regularização Semanal	max(Vmin ; V <sub>inic</sub> - 20% Vutil)	min(Vmax ; V <sub>inic</sub> + 20% Vutil)	5
Com regularização Mensal	max(Vmin ; V <sub>inic</sub> - 10% Vutil)	min(Vmax ; V <sub>inic</sub> + 10% Vutil)	5
Sem regularização	max(Vmin ; V <sub>ini</sub> - 1% Vutil)	min(Vmax ; V <sub>ini</sub> + 1% Vutil)	2

\*1 se o polinômio cota jusante é constante, então será considerado apenas 1 ponto

Classificação do Reservatório	Janela do Turbinamento Limite Inferior	Janela do Turbinamento Limite Superior	Número de Pontos de Turbinamento
Qualquer	0	Qmax	5

Figura 9-46 – Definição da quantidade de pontos para volume e turbinamento, em função do tipo de regularização do reservatório da usina.

Vale ratificar que o modelo permite alterar o número de pontos de volume e turbinamento via mnemônico FP, conforme apresentado no manual do usuário do modelo.

## Passo 2. Cálculo da geração exata em cada ponto

Para cada ponto  $\{(\tilde{V}_i, \tilde{Q}_j), i = 1, \dots, NPTV, j = 1, \dots, NPTQ\}$  discretizado na etapa anterior, calcula-se a função  $FPH_i(\tilde{V}_i, \tilde{Q}_j, S = 0)$  aplicando a expressão (9.30). Obtém-se assim uma nuvem de pontos no espaço tridimensional, como ilustrado na Figura 9-47.

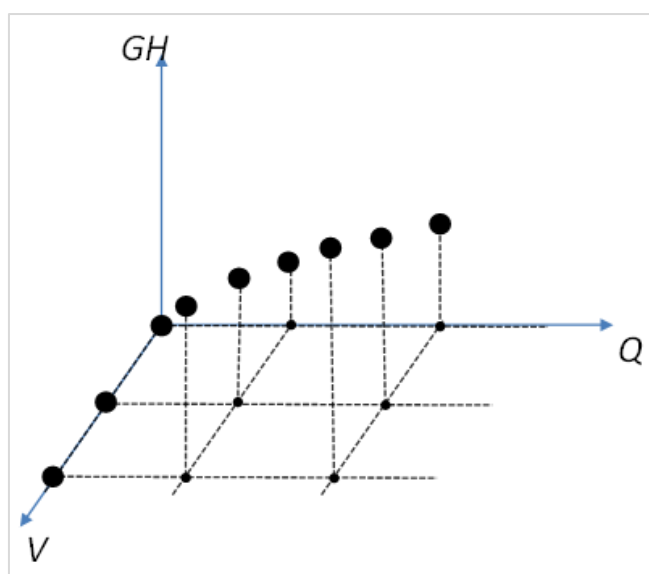
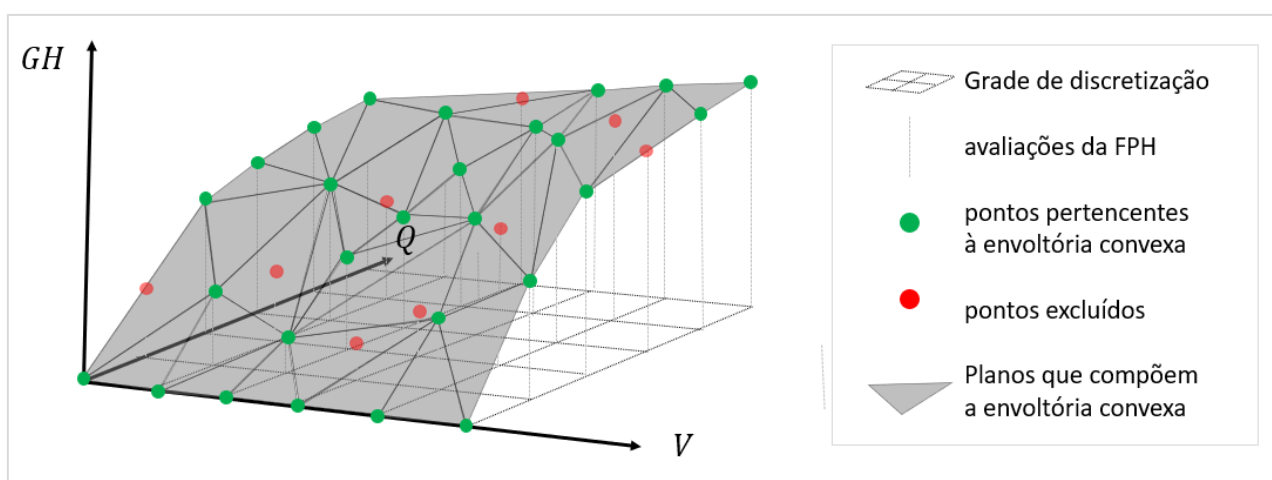


Figura 9-47 – Obtenção de uma nuvem de pontos da geração exata da usina, em função do volume armazenado e do turbinamento

### Passo 3. Construção da envoltória convexa

Calcula-se a envoltória convexa da região abaixo da curva  $FPH_i(V, Q, S = 0)$ , aplicando-se um algoritmo *ad hoc* desenvolvido pelo CEPEL e que leva em consideração o conhecimento específico que se tem sobre a forma da função. Como resultado, obtêm-se um conjunto de planos no espaço tridimensional, a partir dos quais obtêm-se os planos que definem um modelo inicial para a função de produção, denotado por  $FPHA_0$ . A Figura 9-48 a seguir ilustra uma região hipotética definida por essa envoltória convexa, denotada por  $C$ . Os pontos verdes pertencem à envoltória convexa da função, enquanto os pontos vermelhos são os pontos eliminados no cálculo da envoltória convexa, indicando as regiões onde essa função não é côncava. Cada um dos triângulos corresponde a um plano da aproximação linear por partes da função.



**Figura 9-48 - Envoltória convexa da função  $FPH(V, Q)$ , para uma janela e grade de discretização definida para as variáveis  $V$  e  $Q$**

### Passo 4. Regressão para minimização das diferenças entre a FPH e FPHA

O modelo inicial  $FPHA_0$  será, por construção, otimista nas regiões onde a  $FPH$  original for não côncava, e pessimista nas regiões onde ela for côncava, conforme mostrado na Figura 9-49, para o caso de uma usina a fio d'água. De forma a evitar um viés otimista ou pessimista para a função, faz-se uma regressão para multiplicar a função por um fator  $\alpha_{FPHA}$ , de forma a minimizar o erro quadrático médio (EQM) entre a  $FPHA$  e a  $FPH$ . Este procedimento é ilustrado na Figura 9-49 e formulado na expressão (9.32).

$$FPHA(V, Q) = \alpha_{FPHA} FPHA_0(V, Q) \quad (9.32)$$

O valor default do número de pontos para fazer o cálculo do alfa são 30, ou seja, dado a curva da FPHA e FPE, são definidos 30 pontos onde se calcula a diferença entre o valor exato e o aproximado e assim encontra-se o valor do alfa que minimize o desvio quadrático.

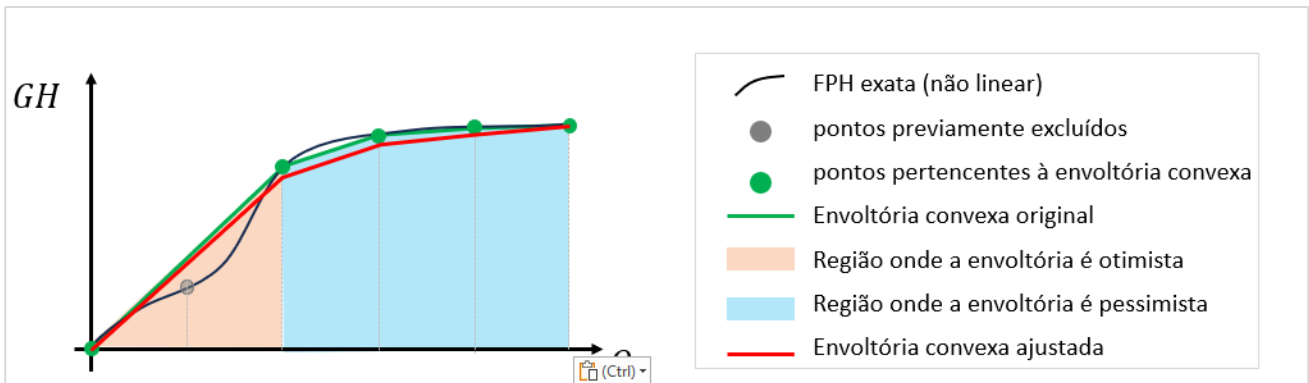


Figura 9-49 - Esquema ilustrativo da regressão feita para minimizar os desvios entre a FPH e a FPFA, após construção da envoltória convexa no plano  $(V, Q)$ .

### Passo 5. Aproximação secante na dimensão do vertimento

O último passo para construção da função, ilustrado na Figura 9-50, é aplicar uma aproximação secante para cada plano obtido, na dimensão do eixo da vazão lateral  $Q_{lat}$ , que pode compreender o vertimento, afluências a postos e defluências de usinas vizinhas, conforme descrito na seção 9.15.6. Ressalta-se que parte da vazão lateral pode ser devida a vazão incremental em postos, que é um valor conhecido, impondo uma vazão lateral mínima  $\hat{Q}_{lat}$ . Desta forma, a aproximação secante é calculada também minimizando o EQM entre as duas funções, no domínio entre  $\hat{Q}_{lat}$  e  $Q_{lat_{max}}$ , onde  $Q_{lat_{max}}$  é considerado como sendo duas vezes a vazão longa de médio termo (MLT) da usina, ou o valor máximo de vazão lateral que faz com que a função exata continue decrescente com o aumento de seu valor.

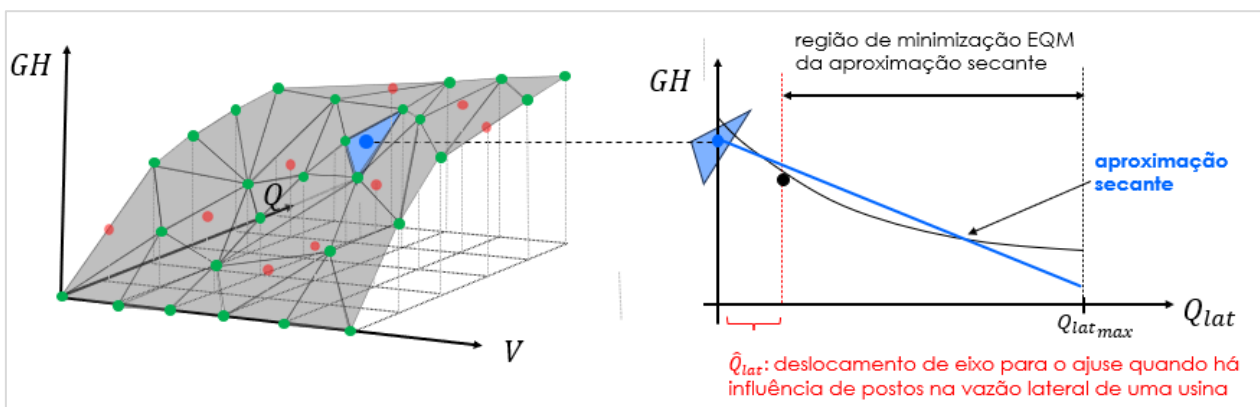


Figura 9-50 - Esquema ilustrativo da regressão feita para minimizar os desvios entre a FPH e a FPFA, após construção da envoltória convexa no plano  $(V, Q)$ .

A expressão final da função de produção hidrelétrica aproximada da usina  $i$ , denotada por  $FPFA_i(\cdot)$  é dada por:

$$(FPFA_i) \quad \begin{cases} GH_i^t \leq \gamma_{0_i}^k + \gamma_{V_i}^k V_i^t + \gamma_{Q_i}^k Q_i^t + \gamma_{Q_{lat_i}}^k Q_{lat_i}^t, \\ t = 1, \dots, T, k = 1, \dots, NPF_i \end{cases}, \quad (9.33)$$

onde  $\gamma_{0_i}^k$ ,  $\gamma_{V_i}^k$ ,  $\gamma_{Q_i}^k$  e  $\gamma_{Q_{lat_i}}^k$  correspondem, respectivamente, ao termo independente e aos coeficientes relacionados às variáveis  $V$ ,  $Q$  e  $Q_{lat}$  na função para cada corte  $k$ , e  $NPF_i$  é o número de pontos da função de produção para a usina  $i$ . Observa-se que, na modelagem da FPHA no problema de otimização, o termo  $Q_{lat_i}^t$  é substituído pelos termos que compõem essa expressão, como descrito em 9.15.6. Uma descrição mais detalhada dessa função é encontrada em [15] [16].

### 9.15.12 Acurácia da aproximação para a função de produção

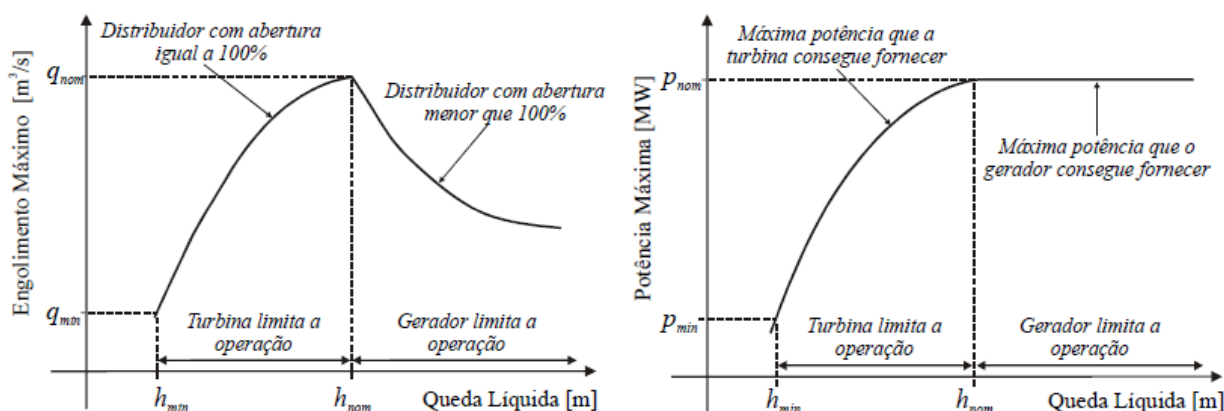
Os valores de geração hidrelétrica da solução ótima fornecida pelo DESSEM consideram a aproximação linear por partes descrita anteriormente, que pode ter desvios em relação à função exata, não linear. De forma a permitir que o usuário avalie a acurácia da aproximação, disponibiliza-se um arquivo de saída denominado “avl\_desvfpha”, que compara, para cada usina hidrelétrica e período, os valores de geração obtidos na solução do PL com os calculados de forma exata através da função não linear, utilizando como dados de entrada para a função o ponto de operação da usina no resultado do DESSEM: volume médio, turbinamento e vertimento da usina no período, além dos valores de volume armazenado da usina de jusante (para cálculo de remanso) e valores associados à vazão lateral, que podem afetar a geração da usina.

### 9.16 Engolimento máximo das turbinas

Um aspecto relevante para ser considerado no despacho das usinas hidrelétricas é o engolimento máximo de suas turbinas, que corresponde à vazão máxima que pode ser absorvida pelas unidades geradoras. Este engolimento pode ser limitado de duas formas:

- pela capacidade de **engolimento d’água pela própria turbina**, em função de alturas de queda líquida muito baixas do reservatório. Nesta situação, o gerador está “folgado”, mas não há “pressão” suficiente para atingir a capacidade de vazão da turbina, e diz-se que houve limitação de geração da usina devido à capacidade de engolimento da turbina (ou seja, a turbina limita a operação);
- pela capacidade de **potência que pode ser entregue pelo gerador**, que ocorre em alturas de queda muito elevadas. Nesta situação, o máximo de vazão que a turbina pode engolir levaria a uma potência gerada superior à capacidade do próprio gerador, e diz-se que houve limitação de geração da usina devido à capacidade de “engolimento” do gerador (ou seja, o gerador limita a operação).

Essa questão é ilustrada pela Figura 9-51, que mostra à esquerda e direita, respectivamente, o engolimento máximo da turbina e a potência máxima do gerador em função da altura de queda da usina. Ambos os valores são crescentes até o ponto em que se atinge a potência nominal ( $h_{nom}$ ) do gerador, sendo a geração da usina nesse intervalo limitada pela capacidade da turbina. A limitação pelo gerador ocorre apenas acima desse valor  $h_{nom}$ , quando é necessário reduzir o turbinamento da unidade geradora, pois a geração que seria obtida com o engolimento máximo da turbina seria maior que a capacidade do gerador.



**Figura 9-51 - Engolimento máximo e potência máxima de um conjunto turbina/gerador em função da altura de queda líquida.**

O engolimento máximo total  $Q_{max_{Eng}}$  do conjunto de turbinas da usina, para determinada vazão defluente  $Q_{def}$ , pode ser obtido pela seguinte expressão, que é a efetivamente empregada no DESSEM:

$$Q_{max_{Eng}} = \left( \frac{h_l(Q_{def})}{h_{ef}} \right)^\alpha \cdot Q_{ef} \quad (9.34)$$

onde:

$h_l$ : altura de queda líquida da usina, calculada conforme descrito na seção 9.15.9;

$h_{ef}$ : altura de queda efetiva da usina, dada pela média das alturas efetivas (de cadastro) dos conjuntos de unidades geradoras da usina, ponderadas pelo número de unidades em cada conjunto;

$Q_{ef}$ : vazão efetiva da usina, dada pela soma das vazões efetivas de cadastro das unidades geradoras. Esta vazão consta do cadastro das usinas hidrelétricas e é considerada como sendo a vazão “nominal” da usina;

$\alpha$ : fator que depende do tipo das turbinas da usina: para as turbinas Francis e Peltron adota-se o fator 0,5 e para as turbinas Kaplan adota-se o fator 0,2.

A Figura 9-52 mostra a curva de engolimento máximo, em função da altura de queda, obtida com dados reais de cadastro de algumas usinas do sistema brasileiro, considerando ambas as limitações da turbina (curva verde) e do gerador (curva vermelha).

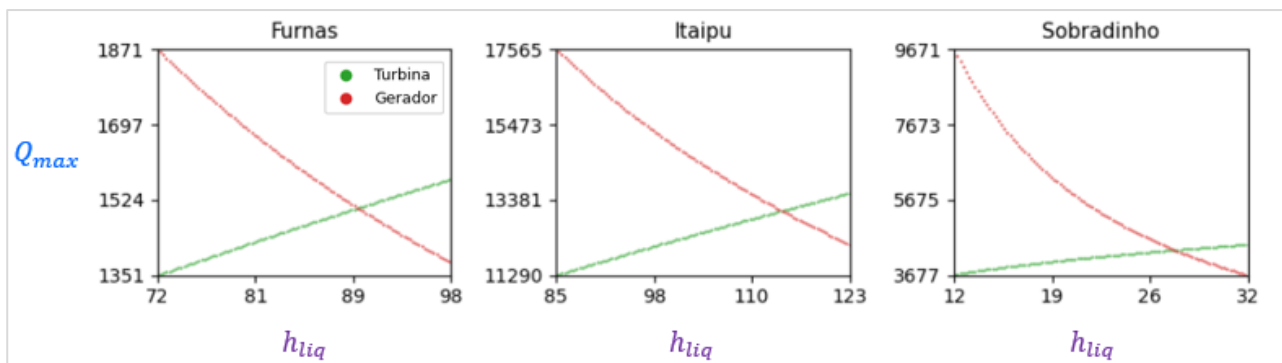


Figura 9-52 – Engolimento máximo para algumas usinas do SIN, em função da queda líquida.

Como se observa em (9.34), para a determinação de  $q_{max_T}$  é necessário conhecer o valor de altura de queda líquida, que por sua vez depende do volume do reservatório e da vazão defluente, que são variáveis de decisão do problema DESSEM. Entretanto, o cálculo desse turbinamento máximo é realizado *a priori*, antes de se resolver o problema de otimização do modelo DESSEM<sup>13</sup>. Para contornar este problema, são realizados os procedimentos descritos a seguir, tanto para resolução do problema de otimização como para cálculo da função de produção hidrelétrica.

### 9.16.1 Cálculo do engolimento máximo para construção da FPHA

Uma das etapas de cálculo da função de produção hidrelétrica aproximada (FPHA) é a definição da grade de discretização nas variáveis de volume e turbinamento (vide seção 9.15.11). No caso do volume turbinado, essa discretização é feita no intervalo entre zero e o valor de engolimento máximo calculado pelo modelo, utilizando como referência, no cálculo, valores nulos de vertimento e vazões laterais, exceto para o caso de vazões em postos, e desconsiderando eventuais manutenções de unidades geradoras.

### 9.16.2 Cálculo do engolimento máximo para limite de variável no PL/MILP

O cálculo do engolimento máximo é parte do processo iterativo do modelo DESSEM para resolver o problema como um todo, que é descrito na seção 26. A Figura 9.2 ilustra de forma resumida como a atualização iterativa do engolimento máximo das usinas se integra com a resolução de cada problema de programação linear (PL) ou de programação linear inteira mista (MILP) do DESSEM.

<sup>13</sup> Está em desenvolvimento, pelo CEPEL, uma metodologia que visa determinar o engolimento máximo de forma implícita, como restrições adicionais embutidas no problema de otimização.

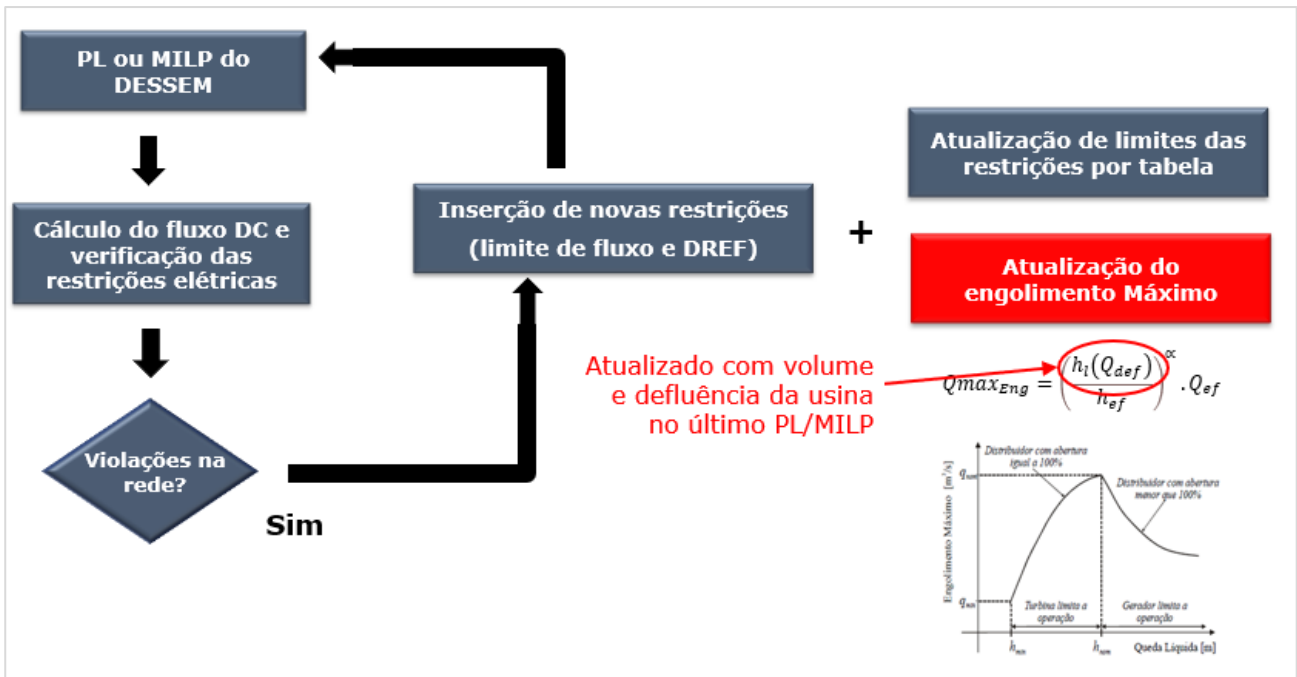


Figura 9.2 - Processo iterativo de cálculo do engolimento máximo, a cada recursão de resolução do PL ou MILP do modelo DESSEM

A Figura 9-53 detalha como é o procedimento em si de cálculo do engolimento máximo para as variáveis dos PLs/MILPs, onde se leva em consideração eventuais manutenções de unidades geradoras. Observa-se que, como o engolimento máximo de uma usina pode ser influenciada por outras usinas (devido ao efeito da vazão natural), o processo é realizado em duas etapas: na primeira, inicializam-se os valores de turbinamento ( $Q$ ) e vertimento ( $S$ ) para todas as usinas, de forma diferenciada conforme o cálculo esteja sendo feito antes da resolução do primeiro PL/MILP ou durante as iterações de resolução do problema; na segunda, calculam-se os engolimentos máximos para todas as usinas, utilizando os valores de  $Q$  e  $S$  definidos na etapa anterior.

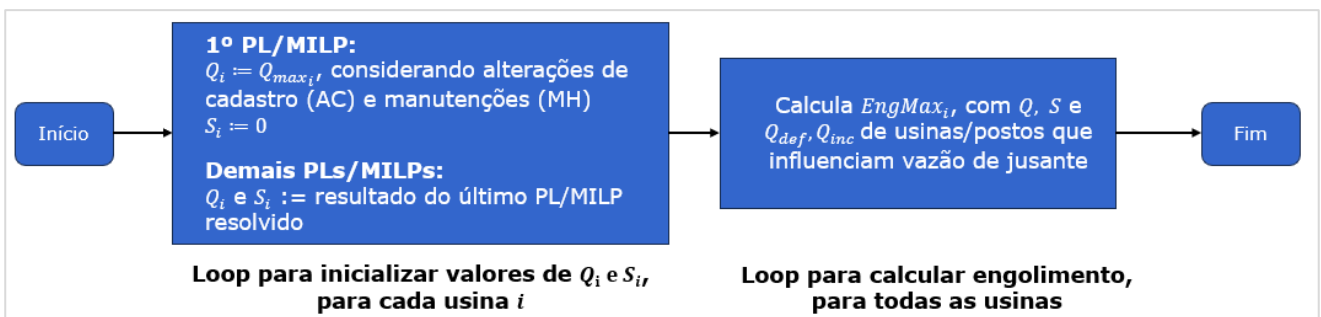


Figura 9-53 - Detalhamento do processo de cálculo do engolimento máximo.

## 9.17 Unit Commitment Hidráulico

o unit commitment hidráulico (UCH) consiste na representação do acionamento e desligamento das unidades geradoras hidrelétricas individualmente, e todas as restrições relacionadas ao status

"ligado" e "desligado" das unidades. A modelagem matemática do UCH foi desenvolvida incorporando, atualmente, variáveis binárias de status ligado ou desligado, e variáveis binárias para operar em vazio, para cada unidade geradora das usinas hidrelétricas e em cada período do horizonte de estudo. Além disso, foram introduzidas as restrições, para cada unidade, de zona proibida para geração e turbinamento mínimo e máximo, tempo mínimo de permanência da unidade ligada ou desligada, custo de partida para acionar ou operar em vazio, consumo de água operando em vazio e número máximo de mudanças de estado para operar em vazio. Nos capítulos seguintes cada item da modelagem será detalhada.

### **9.17.1 Status das unidades geradoras hidrelétricas ligada ou desligada**

Cada unidade geradora  $j$  da usina hidrelétrica  $i$  poderá estar ligada, desligada ou operando em vazio. Define-se como status desligado a unidade que se encontra sem geração e sem estar sincronizada com a rede elétrica. Assim, para cada unidade de cada usina e em cada período, haverá uma variável binária para representar o status ligada ou desligada.

$$u_{H_{i,j}}^t \in \{0,1\} \quad (9.35)$$

onde:

- $u_{H_{i,j}}^t$ : variável binária que assume o valor 1 se a unidade  $j$  da usina hidrelétrica  $i$  estiver ligada (sincronizada) no período  $t$ , e 0, caso contrário.

### **9.17.2 Status das unidades geradores hidrelétricas em vazio**

Além do status ligada e desligada, há ainda a possibilidade de a unidade estar operando em vazio. Assim, a unidade não está gerando energia, mas está consumindo água e está apta a atender a reserva de potência positiva ou negativa, além de contribuir para o atendimento ao tempo mínimo da unidade ligada. A seguir, tem-se a representação da variável binária por unidade de cada usina e por período.

$$u_{HV_{i,j}}^t \in \{0,1\} \quad (9.36)$$

onde:

- $u_{HV_{i,j}}^t$ : variável binária que assume valor 1 se a unidade  $j$  da usina  $i$  estiver operando em vazio no período  $t$ , e 0, caso contrário;

### **9.17.3 Inequação de composição das unidades geradoras hidrelétricas**

Cada unidade de cada usina e em cada período só pode estar em uma única condição, ou seja, ou a unidade está ligada ou está desligada ou está operando em vazio. Dessa forma, há a necessidade de uma equação de composição das unidades geradoras hidrelétricas, como apresentado a seguir, para garantir que a unidade possa estar apenas com uma das variáveis ativas, ou seja, com valor unitário.

$$u_{Hi,j}^t + u_{HV,i,j}^t \leq 1 \quad (9.37)$$

#### 9.17.4 Turbinamento e geração das unidades geradoras hidrelétricas

Foram criadas variáveis de decisão para representar o turbinamento e a geração de cada unidade geradora, conforme apresentado a seguir, sendo pertencente ao universo de valores reais não negativos.

$$q_{i,j}^t \in \mathfrak{R}_+ \quad (9.38)$$

$$gh_{i,j}^t \in \mathfrak{R}_+ \quad (9.39)$$

onde:

- $q_{i,j}^t$ : turbinamento da unidade  $j$  de cada usina  $i$  de cada período  $t$
- $gh_{i,j}^t$ : turbinamento da unidade  $j$  de cada usina  $i$  de cada período  $t$

#### 9.17.5 Equação de composição de turbinamento e geração das unidades geradoras hidrelétricas

Faz-se necessário incluir uma equação de composição tanto de turbinamento, quanto de geração das  $nh_i$  unidades que cada usina possui. Dessa forma, nas equações a seguir, tem-se que o somatório do turbinamento e geração das unidades pertencentes a uma usina deve ser igual ao valor total da usina, respectivamente iguais a  $Q_i^t$  e  $GH_i^t$ .

$$Q_i^t = \sum_{j=1}^{nh_i} q_{i,j}^t \quad (9.40)$$

$$GH_i^t = \sum_{j=1}^{nh_i} gh_{i,j}^t \quad (9.41)$$

onde:

- $Q_i^t$ : turbinamento da usina  $i$  de cada período  $t$
- $GH_i^t$ : geração hidrelétrica da usina  $i$  de cada período  $t$

### 9.17.6 Turbinamento mínimo e máximo (enquanto ligadas) das unidades geradoras hidrelétricas

A consideração do turbinamento mínimo  $\underline{q}_{i,j}$  e máximo  $\overline{q}_{i,j}$  de cada unidade, enquanto acionada, para cada período  $t$ , é dada por:

$$\underline{q}_{i,j} \times u_{H_{i,j}}^t \leq q_{i,j}^t \leq \overline{q}_{i,j} \times u_{H_{i,j}}^t \quad (9.42)$$

Já se se a unidade estiver desligada ( $u_{H_{i,j}}^t=0$ ), a geração e turbinamento da unidade serão nulos.

### 9.17.7 Geração mínima e máxima (enquanto ligadas) das unidades geradoras hidrelétricas

De forma análoga ao turbinamento, essas restrições definem a geração mínima ( $\underline{gh}_{i,j}$ ) e máxima ( $\overline{gh}_{i,j}$ ) de cada unidade, enquanto acionada, para cada período  $t$ :

$$\underline{gh}_{i,j} \times u_{H_{i,j}}^t \leq gh_{i,j}^t \leq \overline{gh}_{i,j} \times u_{H_{i,j}}^t \quad (9.43)$$

### 9.17.8 Tempo mínimo ligada e desligada das Unidades Geradores Hidrelétricas

Quando uma unidade é acionada ou desligada, deve ficar nesse estado por um tempo mínimo de  $T_{on_{i,j}}^H$  e  $T_{off_{i,j}}^H$  horas, respectivamente. Considerando, para fins de simplicidade, uma discretização horária, esta restrição é definida como segue:

$$\sum_{k=t}^{t+T_{on_{i,j}}^H-1} (u_{H_{i,j}}^k + u_{HV_{i,j}}^k) \geq T_{on_{i,j}}^H \times \left[ (u_{H_{i,j}}^t + u_{HV_{i,j}}^t) - (u_{H_{i,j}}^{t-1} + u_{HV_{i,j}}^{t-1}) \right] \quad (9.44)$$

$$\sum_{k=t}^{t+T_{off_{i,j}}^H-1} (1 - u_{H_{i,j}}^k - u_{HV_{i,j}}^k) \geq T_{off_{i,j}}^H \times (u_{H_{i,j}}^{t-1} - u_{H_{i,j}}^t) \quad (9.45)$$

### 9.17.9 Custo de Partida

Custo de partida é o custo associado no acionamento de uma unidade geradora. De forma mais abrangente, o custo de partida é o custo em mudar uma unidade para a condição de ligada ou para operar em vazio. Esse custo entra na função objetivo aumentando seu valor e, portanto, o modelo tenderá a minimizar essas mudanças de estados para minimizar o custo total. Assim, para encontrar essa parcela a entrar na função objetivo, deve-se definir variáveis de mudanças de estado e então precificá-las.

Conforme consta nas inequações a seguir, o modelo terá incluso na sua formulação que, se decidir mudar a condição de desligado para ligado, ou seja, mudar a variável binária de valor nulo para valor

não nulo, obrigatoriamente a variável de mudança de estado será não nula e assim impactará a função objetivo. De forma análoga observa-se a condição de mudança de estado entre não estar operando em vazio e passar a operar em vazio.

$$sth_{i,j}^t \geq (u_{H_{i,j}}^t - u_{H_{i,j}}^{t-1}) \quad (9.46)$$

$$sthV_{i,j}^t \geq (u_{HV_{i,j}}^t - u_{HV_{i,j}}^{t-1}) \quad (9.47)$$

onde:

- $sth_{i,j}^t$ : variável contínua de mudança de estado de desligado para ligado da unidade  $j$  da usina hidráulica  $i$  no período  $t$
- $sthV_{i,j}^t$ : variável contínua de mudança de estado para operar em vazio da unidade  $j$  da usina hidráulica  $i$  no período  $t$

Essas variáveis de mudança de estado entram na função objetivo, como apresentado na equação a seguir nomeado como uma parcela  $CP_i$ , para garantir que o modelo possa saber se houve alguma mudança de estado, e que esta variação impactará em custo. Como o modelo resolve um problema de minimização, o modelo tomará a decisão de acionar essa unidade se e somente se for vantajoso e mesmo com esse custo de partida, o custo total associado a essa decisão terá um valor inferior.

$$Parcela_{CP_i}^t = \sum_{j=1}^{nh_i} (CP_{H_{i,j}} \times sth_{i,j}^t + CP_{HV_{i,j}} \times sthV_{i,j}^t) \quad (9.48)$$

onde:

- $Parcela_{CP_i}^t$ : parcela a ser incluída na função objetivo referente ao custo de partida da usina hidráulica  $i$  no período  $t$
- $CP_{H_{i,j}}$ : custo de partida da unidade  $j$  da usina hidráulica  $i$  no período  $t$  para mudar o status para ligada
- $CP_{HV_{i,j}}$ : custo de partida da unidade  $j$  da usina hidráulica  $i$  no período  $t$  para mudar o status para operar em vazio

#### **9.17.10 Número máximo de mudanças de estado para operando em vazio**

Para garantir uma quantidade de mudanças de estado das unidades para operando em vazio, foi inserido uma restrição adicional para cada unidade de cada usina como apresentado na inequação a seguir.

$$\sum_{t=1}^T sthV_{i,j}^t \leq NmeV_{i,j} \quad (9.49)$$

Onde,

- $NmeV_{i,j}$ : número máximo de mudanças de estado para operar em vazio ao longo do horizonte de estudo da unidade  $j$  da usina hidráulica  $i$

onde  $NmeV_{i,j}$  é um dado de entrada do modelo..

### 9.17.11 Consumo de água para operação em vazio

O modelo deverá considerar uma parcela adicional referente ao consumo de água durante a operação em vazio, na equação de balanço hídrico. A consideração desse consumo deve ser feita quando houver alguma mudança de estado da unidade para operar em vazio, ou seja, relacionada com a variável  $u_{HV_{i,j}}^t$  de operação em vazio. Na equação a seguir, apresenta-se a formulação dessa inclusão da parcela de consumo de água quando a unidade está operando em vazio, para então ser considerada no balanço hídrico da sua respectiva usina.

$$Parcela_{consPHV_i}^t = \sum_{j=1}^{nh_i} (consPHV_{i,j} \times u_{HV_{i,j}}^t) \quad (9.50)$$

onde:

- $Parcela_{consPHV_i}^t$ : parcela do consumo de água de partida da usina hidráulica  $i$
- $consPHV_{i,j}$ : consumo de água da unidade  $j$  da usina hidráulica  $i$

Assim, a incorporação da parcela de cada usina irá contribuir em uma redução do nível dos reservatórios.

## 10 USINAS TERMELÉTRICAS

O conceito de uma usina termoelétrica engloba plantas que geram energia a partir de combustíveis fósseis, como óleo e carvão, através de gás natural ou por fissão nuclear. O modelo DESSEM trata as usinas térmicas até o nível de unidade geradora, não só devido à necessidade de representar as restrições de *Unit Commitment Térmico*, mas também pela necessidade de conexão individual das unidades à rede elétrica.

O custo operativo das unidades térmicas compreende os custos incrementais de geração (CVU) e custos de acionamento/desligamento, que estão descritos na seção 16.1.

### 10.1 Unit Commitment das usinas e unidades termoelétricas convencionais

As usinas termoelétricas convencionais são aquelas que não possuem requisitos operativos específicos, além das características e restrições operativas típicas de *Unit Commitment Térmico* das unidades geradoras quando operadas individualmente, e que são descritas a seguir.

O *Unit Commitment Térmico* consiste na determinação da alocação ótima das unidades geradoras termoelétricas, considerando uma série de restrições para o acionamento e desligamento das unidades, assim como variação da sua geração ao longo do tempo. Nas expressões a seguir,  $nt$  refere-se ao número de unidades geradoras do sistema.

#### 10.1.1 Variáveis referentes ao status e geração das unidades geradoras

O status ligada/desligada das usinas térmicas em determinado período  $t$  será identificado, daqui em diante, pela variável binária de decisão  $u_i^t$ , para cada unidade geradora  $i$ :

$$u_i^t \in \{0,1\}, i = 1, \dots, T, t = 1, \dots, nt \quad (10.1)$$

#### 10.1.2 Geração térmica mínima das unidades geradoras

Quando uma unidade térmica é acionada, sua geração deve se igual ou inferior a um determinado valor mínimo, configurando o seguinte tipo de restrição:

$$u_i^t \underline{gt}_i^t \leq gt_i^t \leq u_i^t \overline{gt}_i^t, i = 1, \dots, T, t = 1, \dots, nt \quad 0$$

A Figura 10-1 ilustra o domínio descontínuo de valores causado pelas restrições de geração térmica mínima das unidades geradoras, enquanto acionadas.

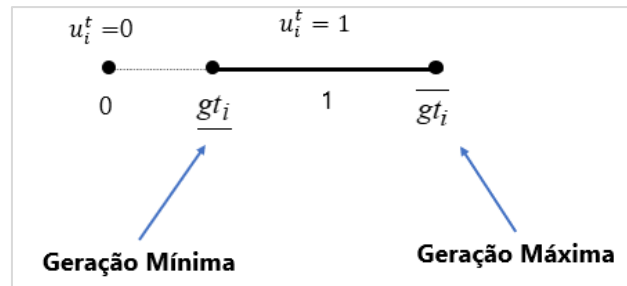


Figura 10-1 – Restrições de geração térmica mínima (quando acionadas) das unidades geradoras

### 10.1.3 Mínimo tempo ligada e desligada (*up/down times*)

Estas restrições estabelecem que, uma vez tendo sido acionada no período  $t$ , a unidade geradora térmica deve permanecer ligada por um determinado tempo mínimo  $Ton_i$ , contado a partir de  $t$ . O mesmo tipo de restrição se aplica quando a usina é desligada, forçando-a a permanecer desligada durante um determinado tempo mínimo  $Toff_i$  a partir do instante  $t$  em que ela é desligada.

Os parâmetros  $Ton_i$  e  $Toff_i$  são dados cadastrais, de cada unidade térmica, fornecidos em horas. No entanto, como os períodos podem possuir diferentes durações (meia-hora, uma hora ou patamares cronológicos), faz-se necessária a definição dos parâmetros  $\widetilde{Ton}_i^t$  e  $\widetilde{Toff}_i^t$  que estabelecem os períodos mínimos em que a unidade deve permanecer ligada/desligada a partir do período  $t$ , considerando as respectivas durações de cada período. A formulação matemática dessas restrições é apresentada em (10.3) e (10.4), onde o índice  $t$  se refere ao período (intervalo de tempo) no problema de otimização:

$$\sum_{k=t}^{t+\widetilde{Ton}_i^t-1} u_i^k \geq \widetilde{Ton}_i^t \cdot (u_i^t - u_i^{t-1}) \quad (10.3)$$

$$\sum_{k=t}^{t+\widetilde{Toff}_i^t-1} (1 - u_i^k) \geq \widetilde{Toff}_i^t \cdot (u_i^{t-1} - u_i^t) \quad (10.4)$$

A Figura 10-2 - Esquema ilustrativo do efeito das restrições de tempo mínimo ligada/desligada de uma unidade térmica. Figura 10-2 ilustra o efeito da aplicação de restrições de mínimo tempo ligada e desligada para uma unidade geradora térmica.

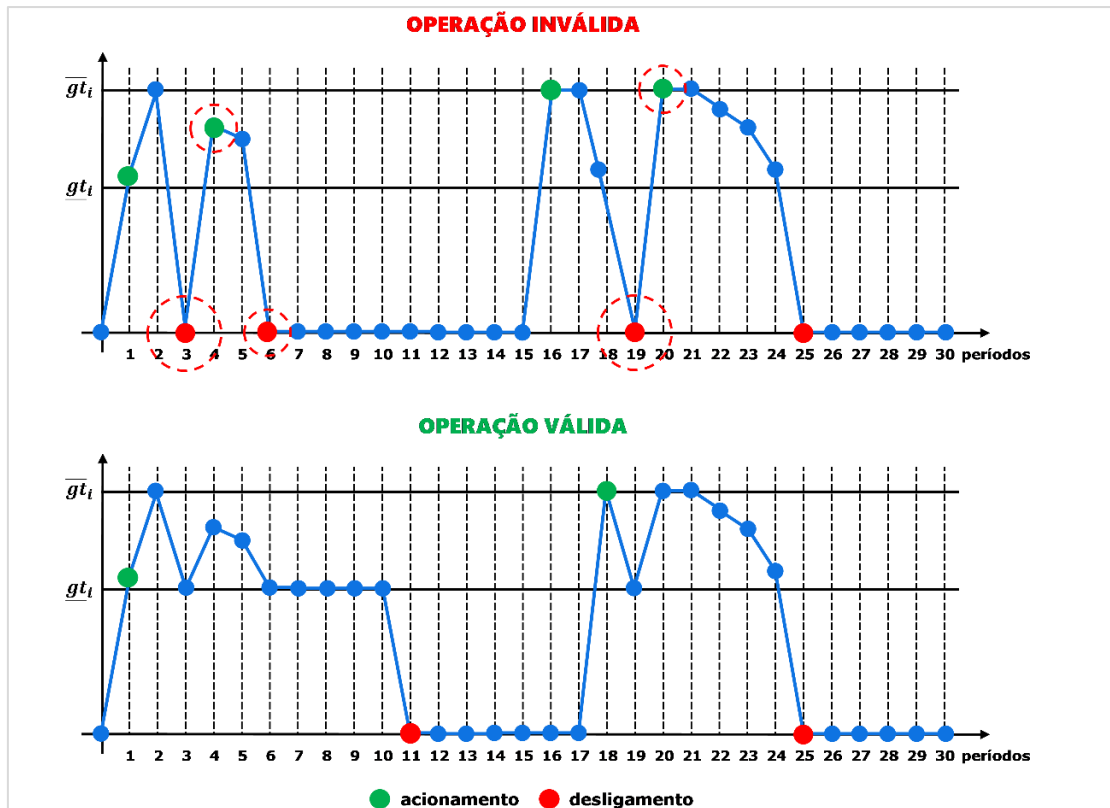


Figura 10-2 - Esquema ilustrativo do efeito das restrições de tempo mínimo ligada/desligada de uma unidade térmica.

#### 10.1.4 Trajetórias de acionamento e desligamento das unidades térmicas e Restrição de geração térmica entre a mínima e a máxima

Quando uma unidade térmica é acionada ou desligada, precisa seguir trajetórias específicas de acionamento ou desligamento, informadas pelo usuário, antes de atingir a potência mínima (quando do acionamento) ou a potência nula (quando do desligamento). Portanto, devem ser modeladas restrições para definição dos limites mínimos e máximo das unidades, considerando as diversas situações a seguir.

- se a unidade estiver desligada, seus limites operativos devem ser nulos;
- se a unidade esteja ligada ( $u_i^t = 1$ ) e em trajetória de acionamento, seus limites operativos devem ser iguais a um determinado parâmetro  $TrUp_i^k$  que corresponde ao valor exato da geração da unidade seguindo a trajetória de acionamento em determinado “passo”  $k$ ;
- se a unidade estiver ligada e em trajetória de desligamento, seus limites operativos devem ser iguais a um determinado parâmetro  $TrDn_i^k$  que corresponde ao valor exato da geração da unidade seguindo a trajetória de desligamento em determinado “passo”  $k$ ;

- se a unidade está ligada e não pertence a nenhum dos casos anteriores, ela deve satisfazer os limites mínimo ( $\underline{gt}_i$ ) e máximo ( $\overline{gt}_i$ ) cadastrais.

Para identificar se, em cada instante  $t$  em que esteja ligada, a unidade está cumprindo trajetória de acionamento, desligamento ou já está “livre” para operar em qualquer valor entre a geração mínima o máximo, é necessário utilizar variáveis indicativas de acionamento ( $y_i^t$ ) ou desligamento ( $w_i^t$ ) para cada unidade  $i$  e período  $t$ . Estas variáveis relacionam-se com as variáveis de status pelas seguintes expressões:

$$y_i^t = w_i^t + (u_i^t - u_i^{t-1}) \quad (10.5)$$

$$y_i^t + w_i^t \leq 1, \quad (10.6)$$

$$0 \leq y_i^t \leq 1; w_i^t \in \{0,1\}. \quad (10.7)$$

A primeira equação define, no período  $t$ , se a unidade foi acionada, desligada ou manteve seu status. A segunda equação define que a unidade não pode ser acionada e desligada em um mesmo período. Finalmente, a terceira restrição estabelece limites para as variáveis.

Os limites mínimo e máximo de geração de uma unidade  $i$  no período  $t$ , considerando os casos descritos anteriormente, são definidos pelo par de expressões a seguir:

$$gt_i^t \geq \underline{gt}_i \left( u_i^t - \sum_{k=1}^{NUp_i} y_i^{t-k+1} - \sum_{k=1}^{NDn_i} w_i^{t+k} \right) + \sum_{k=1}^{NUp_i} TrUp_i(k) \cdot y_i^{t-k+1} + \sum_{k=1}^{NDn_i} TrDn_i(NDn_i - k + 1) \cdot w_i^{t+k} \quad (10.8)$$

$$gt_i^t \leq \overline{gt}_i \left( u_i^t - \sum_{k=1}^{NUp_i} y_i^{t-k+1} - \sum_{k=1}^{NDn_i} w_i^{t+k} \right) + \sum_{k=1}^{NUp_i} TrUp_i(k) \cdot y_i^{t-k+1} + \sum_{k=1}^{NDn_i} TrDn_i(NDn_i - k + 1) \cdot w_i^{t+k} \quad (10.9)$$

em que:

- $NUp_i$  é o número de passos da trajetória de acionamento e a geração de cada passo é definida pelos parâmetros  $\{TrUp_i^k, k = 1, \dots, NUp_i\}$ , até alcançar sua geração mínima  $\underline{gt}_i$ .
- $NDn_i$  é o número de passos da trajetória de desligamento e a geração de cada passo é definida pelos parâmetros  $\{TrDn_i^k, k = 1, \dots, NDn_i\}$ , até anular a geração da unidade  $i$ .



### 10.1.5 Restrição de geração térmica fixa no mínimo ou no máximo, e número máximo de oscilações entre estes valores

Quando a funcionalidade de geração no máximo ou no mínimo é utilizada, são adicionadas as restrições (10.10) a(10.12) ao problema, com o uso de duas variáveis binárias adicionais,  $u_{inf_i}^t$  e  $u_{sup_i}^t$ :

$$gt_i^t \geq \underline{gt}_i \cdot u_{inf_i}^t + \overline{gt}_i \cdot u_{sup_i}^t \quad (10.10)$$

$$gt_i^t \leq \underline{gt}_i \cdot u_{inf_i}^t + \overline{gt}_i \cdot u_{sup_i}^t + \sum_{k=1}^{NUP_i} TrUP_i(k) \cdot \hat{y}_i^{t-k+1} + \sum_{k=1}^{NDn_i} TrDn_i(NDn_i - k + 1) \cdot \tilde{y}_i^{t+k-1} \quad (10.11)$$

$$u_i^t = u_{inf_i}^t + u_{sup_i}^t + \sum_{k=1}^{NUP_i} \hat{y}_i^{t-k+1} + \sum_{k=1}^{NDn_i} \tilde{y}_i^{t+k-1} \quad (10.12)$$

Quando a unidade está em trajetória, ambas as variáveis binárias adicionais são nulas devido a aplicação da terceira equação. Sendo assim, as duas primeiras inequações se tornam redundantes, prevalecendo as inequações de limites de geração das unidades térmicas. Por outro lado, quando a unidade não está em trajetória, a mesma necessariamente estará com sua geração fixa no máximo ou no mínimo, devido as duas primeiras equações.

Adicionalmente, quando se considera também o número máximo de oscilações entre a geração mínima e máxima ( $N_{oscil}$ ), são adicionadas as seguintes restrições ao problema, com o uso de duas variáveis contínuas adicionais,  $y_{inf_i}^t$  e  $y_{sup_i}^t$ :

$$y_{inf_i}^t \geq u_{inf_i}^{t-1} + u_{inf_i}^t \quad (10.13)$$

$$y_{sup_i}^t \geq u_{sup_i}^{t-1} + u_{sup_i}^t \quad (10.14)$$

$$\sum_{t=1}^N y_{inf_i}^t \leq N_{oscil} \quad (10.15)$$

$$\sum_{t=1}^N y_{sup_i}^t \leq N_{oscil} \quad (10.16)$$

As variáveis contínuas adicionais medem se houve variação da geração mínima para a máxima e vice-versa, e este número de variações está limitado ao número máximo de oscilações.

### 10.1.6 Rampa para tomada/alívio de carga

Consiste em valores máximos para o acréscimo/decrécimo horário da geração térmica, uma vez estando acionada. Estas restrições, definidas para todas as unidades térmicas e em todos os períodos, limitam a variação da geração térmica em  $RUp_i$  (para acréscimo) e  $RDn_i$  (para decréscimo) entre dois períodos consecutivos. Quando a unidade se encontra em trajetória de acionamento e desligamento (o que é indicado pelas variáveis  $y$  e  $w$ , vide seção 10.1.4), estas restrições ficam sem efeito.

As expressões (10.17) e (10.18) formulam matematicamente essas restrições:

$$gt_i^t - gt_i^{t-1} \leq RUp_i + (\overline{gt}_i - RUp_{Ti}) \cdot (\sum_{k=1}^{NUp_i} y_i^{t-k+1} + \sum_{k=1}^{NDn_i} w_i^{t+k}), \quad (10.17)$$

$$-gt_i^t + gt_i^{t-1} \leq RDn_i + (\overline{gt}_i - RDn_i) \cdot (\sum_{k=1}^{NUp_i} y_i^{t-k+1} + \sum_{k=1}^{NDn_i} w_i^{t+k}), \quad (10.18)$$

onde  $\overline{gt}_i$  é a geração máxima da unidade térmica  $i$ , que é um dado cadastral, e  $\hat{y}_i^t$  e  $\hat{y}_i^t$  são variáveis auxiliares, contínuas, indicativas de trajetória de acionamento e desligamento da unidade, respectivamente (vide seção 10.1.4). O impacto dessas restrições na operação de uma unidade térmica é ilustrado na Figura 10-4. O traço em vermelho ilustra a trajetória da unidade se a restrição de rampa não existisse, enquanto o traço em verde mostra a operação quando se impõem tais restrições. Note que, pela sua natureza de acoplamento temporal, tais restrições impactam não só a geração no período que violaria essa restrição, mas também nos períodos adjacentes.

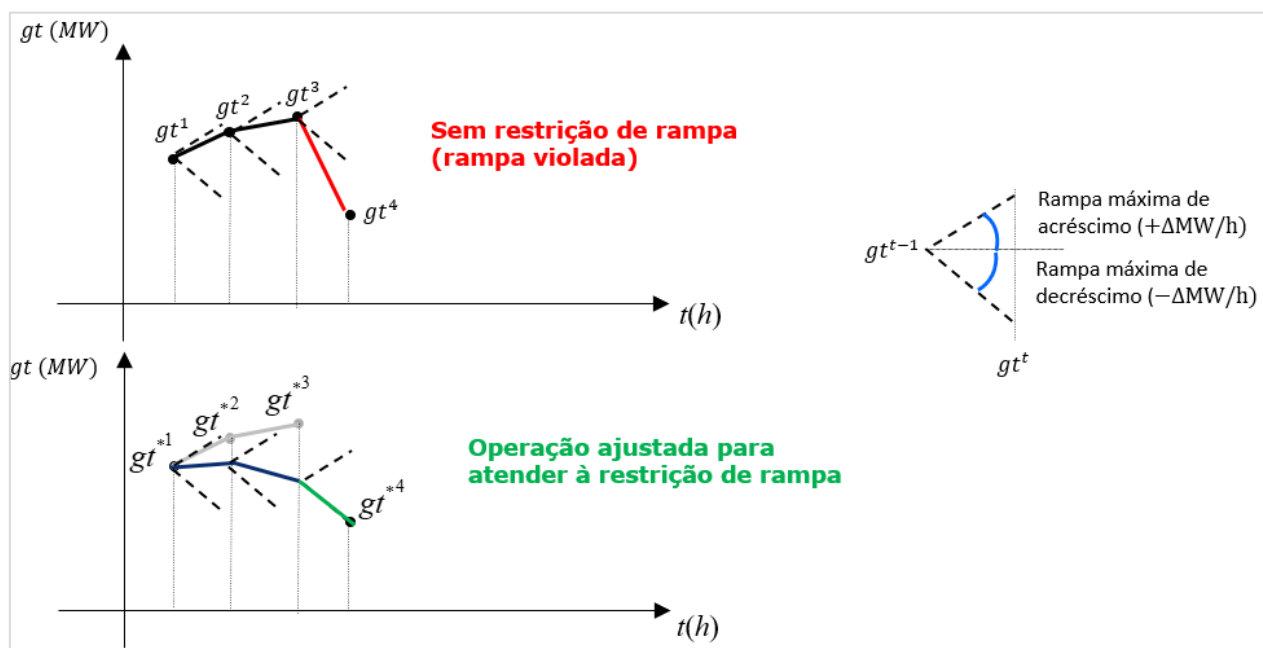


Figura 10-4 – Efeito das restrições de rampa de geração na geração de uma unidade térmica.

## 10.2 Operação de usinas térmicas a ciclo combinado (UTCC)

As usinas térmicas a ciclo combinado (UTCC) são compostas por unidades térmicas que utilizam um combustível que gera vapor (ex: gás) acopladas com unidades térmicas a vapor. A motivação para essa configuração é que, ao se utilizar uma unidade térmica para geração de energia, ao invés de liberar vapor a alta temperatura na atmosfera como resultado dessa geração, "captura-se" esse vapor para alimentar uma unidade adicional de geração de energia a partir de uma unidade térmica a vapor. Com isso, obtém-se uma maior eficiência e baixo consumo de gás para produção da mesma quantidade de energia, quando comparadas às usinas térmicas convencionais.

Uma das vantagens de uma UTCC é a sua flexibilidade, já que pode operar com diferentes combinações de turbinas a gás e a vapor acionadas. Por exemplo, a Figura 10-5 mostra uma configuração possível para uma usina a CC, composta por 2 turbinas a gás e 1 turbina a vapor. As características e custos operativos da planta diferem de acordo com cada configuração, o que torna possível otimizar a operação da planta como um todo em função das condições do sistema. Assim, pode-se buscar uma configuração, variável ao longo do tempo, que seja mais econômica para a usina ou para o sistema como um todo. Por outro lado, isso acarreta uma maior complexidade na modelagem dessas usinas e na resolução do problema de PDO em que estão inseridas.

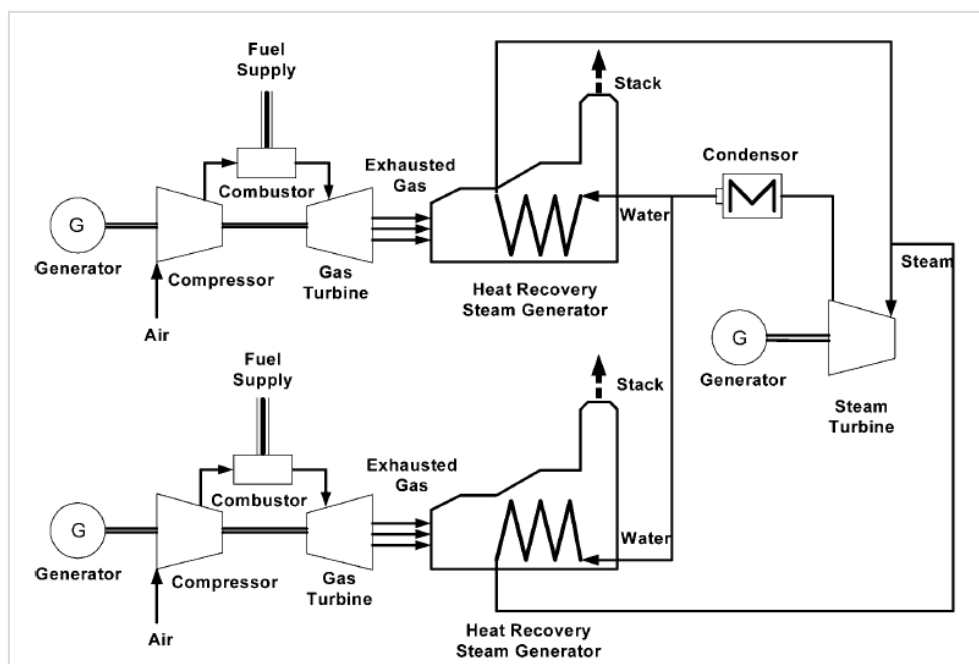
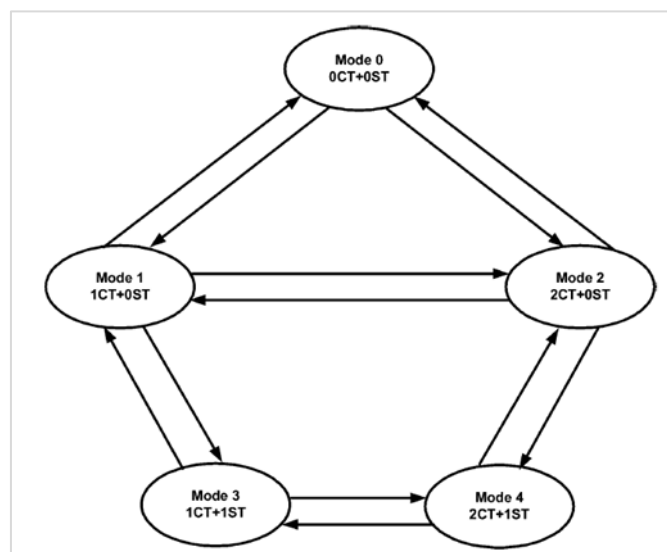


Figura 10-5 - Esquema de uma usina térmica a ciclo combinado com duas turbinas a gás e uma turbina a vapor (fonte: [55])

Ressalta-se que a existência de diferentes configurações pode ocorrer não somente para diferentes plantas, mas também em uma mesma planta, em função de unidades que estejam em manutenção ou desligadas. Ressalta-se que a turbina a gás (CT, do termo em inglês *combustion turbine*) pode operar sem a turbina a vapor (ST, do termo em inglês *steam turbine*), mas o contrário não é possível. Assim, uma usina térmica com 2 CT e 1 ST pode operar, em princípio com as seguintes configurações:

- uma unidade a gás (1CT)
- uma unidade a gás e uma unidade a vapor (1 CT + 1 ST)
- duas unidades a gás (2 CT)
- duas unidades a gás e uma unidade a vapor (2 CT + 1 ST)

As condições acima levam à representação de um "espaço de estados" para a representação da operação de uma UTCC, conforme ilustra a Figura 10-6.



**Figura 10-6 - Esquema ilustrativo das possíveis configurações operativas de uma usina térmica a ciclo combinado, e a transição entre elas (Fonte: [55]).**

Cada uma das configurações nas situações acima pode ser representada por uma "unidade equivalente", para os quais podem ser definidos os dados usuais de uma unidade térmica individual, como restrições de rampa, tempo mínimo ligada ou desligada, curva de custo incremental (no caso do Brasil, CVU), etc. Os custos de partida e parada são substituídos pelos custos de transição para outras configurações (estados), sendo que essas transições também podem contemplar o acionamento ou desligamento de unidades.

Em resumo, na modelagem concebida no DESSEM, a representação de uma UTCC é semelhante a uma UTE convencional, porém com restrições de acoplamento entre as unidades equivalentes, que correspondem às configurações. Em uma usina deste tipo apenas uma unidade equivalente poderá estar acionada, e já estando acionada, poderá transitar para outra unidade equivalente sem que seja necessário o cumprimento de outra trajetória de desligamento da primeira unidade e uma trajetória de acionamento da segunda.

Matematicamente, definimos, para cada usina a ciclo combinado  $j$ , o conjunto  $\Omega_{CC_j}$  de unidades térmicas equivalentes que pertencem à  $j$ . O número total de usinas a ciclo combinado é  $NTCC$ .

### 10.2.1 Restrição de unicidade de acionamento

Em uma usina térmica  $j$  a ciclo combinado com diferentes unidades equivalentes, pertencentes ao conjunto  $\Omega_{CCj}$  impõe-se a restrição de que uma única unidade poderá estar acionada em cada instante de tempo  $t$ :

$$\sum_{i \in \Omega_{CCj}} u_i^t \leq 1, \quad j = 1, \dots, NTCC. \quad (10.19)$$

### 10.2.2 Transição entre unidades equivalentes

Esta restrição impõe uma variação máxima de geração (rampa de transição)  $RTrans_j$  entre duas quaisquer configurações de uma usina térmica a ciclo combinado  $j$ , para os períodos de tempo  $t$  e  $t - 1$ , podendo estas duas configurações serem iguais.

$$\left| \sum_{i \in \Omega_{CCj}} gt_i^t - \sum_{i \in \Omega_{CCj}} gt_i^{t-1} \right| \leq RTrans_j, \quad j = 1, \dots, NTCC \quad (10.20)$$

## 10.3 Usinas térmicas a ciclo simples dependentes

Algumas usinas térmicas a ciclo simples possuem certa ordem pré-determinada para acionamento das unidades, ou seja: a primeira unidade a ser acionada deve ser a de índice "5", depois a de índice "2", em seguida a de índice "3", e assim por diante. Esta modelagem pode ser feita no modelo DESSEM emulando-se cada combinação de 1, 2, 3, etc. unidades acionadas como sendo uma unidade equivalente de uma usina a ciclo combinado, e indicando:

- nos dados de potência mínima e potência total de cada unidade equivalentes, a soma dos valores referentes às unidades que respeitam essa ordem de acionamento (vide registros CADUNIDT Manual do usuário do modelo DESSEM);
- a informação da quantidade de unidades reais que precisam estar disponíveis para cada unidade equivalente (vide registros CADMIN do Manual do usuário do DESSEM).

### 10.3.1 Manutenção de unidades "reais"

Como mencionado anteriormente, cada unidade equivalente de uma UTCC comporta-se como se fosse uma unidade térmica convencional, a menos das restrições de acoplamento (10.19) e (10.20) entre unidades de uma mesma UTCC. Entretanto, o modelo DESSEM necessita conhecer quais são as unidades reais associadas a cada unidade equivalente, pois se qualquer uma dessas unidades "reais" estiver em manutenção, a configuração não poderá operar. Portanto, tanto as informações sobre as unidades reais que compõem cada unidade equivalente quanto eventuais manutenções de

---

unidades reais são lidas pelo modelo, e o status  $u_i^t$  da unidade equivalente  $i$  é forçado a ser zero caso alguma unidade real que a compõe esteja em manutenção.

#### **10.4 Usinas termoelétricas a GNL**

O despacho de usinas à gás natural liquefeito (GNL) deve ser conhecido alguns meses antes de sua efetiva realização, por dois motivos: a impossibilidade de armazenamento do combustível junto às usinas e o tempo necessário para transportar o GNL desde suas fontes até os pontos onde se localizam as usinas. Desta forma, considera-se, no modelo DECOMP, uma modelagem para a decisão antecipada no despacho das usinas termoelétricas a GNL, na qual a decisão semanal 1 ou 2 meses à frente (conforme o caso) é decidida com base nas informações de custo futuro fornecidas pelo NEWAVE.

A modelagem das usinas GNL nos modelos NEWAVE e DECOMP é feita de acordo com a metodologia descrita em [56], [57]. Já no modelo DESSEM, como o horizonte de estudo é muito curto (até 14 dias), o despacho das unidades das usinas a GNL já é predefinido nos dados de entrada do modelo, conforme descrição dos registros PTOPER do Manual do Usuário do modelo.

## 11 USINAS EÓLICAS

É possível representar parques eólicos nos modelos do CEPEL em um nível mais agregado ou detalhado, de acordo com a conveniência do estudo, disponibilidade de dados ou tipo de modelo/aplicação (ex: com ou sem rede elétrica). Em uma representação mais detalhada desta fonte, como foi implementado recentemente no ambiente LIBS e já incorporado aos modelos NEWAVE e DECOMP, pode-se informar diversos conjuntos de aerogeradores para cada parque eólico, e cada conjunto pode conter diversos aerogeradores (de forma alternativa, pode-se definir apenas 1 conjunto contendo uma única máquina para determinado parque gerador, e este parque pode representar, por si só, uma agregação de usinas eólicas).

Como a inserção da modelagem das eólicas foi introduzida e validada no modelo DESSEM previamente à modelagem que foi introduzida das LIBS, os dados para esse modelo são informados em um formato específico, por usina eólica, cujo formato está descrito no manual do usuário do DESSEM. Entretanto, o mesmo tipo de representação que é feita nos modelos NEWAVE e DECOMP pode ser replicada ao modelo DESSEM, bastando fazer a correspondência de cada aerogerador (individual ou agregado) nos modelos NEWAVE e DECOMP a uma usina eólica no DESSEM.

### 11.1 Cenários/previsão de geração eólica

Com a introdução da modelagem de usinas eólicas explicitamente no modelo NEWAVE<sup>14</sup> a partir de Dezembro/2021, os cenários gerados pelo módulo GEVAZP embutido no NEWAVE passaram a modelar de forma conjunta a incerteza nas energias/vazões afluentes às usinas hidrelétricas e na velocidade de ventos parques eólicos, considerando a correlação espacial entre ambas as variáveis. O modelo estatístico de ventos construído para o GEVAZP, descrito em [58], baseia-se na distribuição Weibull ou log-normal (conforme característica de assimetria dos dados), e foi embutido na estratégia de geração de cenários dos modelos Par(p) e Par(p)-A. Para construção do modelo estatístico de ventos, o usuário deve informar um histórico de dados de velocidade de ventos para cada parque ao modelo NEWAVE.

Também em dezembro de 2021, o modelo DECOMP passou a considerar a incerteza da geração eólica a partir de cenários de geração informados pelo ambiente LIBS, para cada parque eólico. Ressalta-se que, nesta forma de geração, assume-se o mesmo número de cenários e respectivas probabilidades dos cenários de vazão afluente às usinas hidrelétricas, que já são fornecidas pelo modelo GEVAZP. Para o primeiro semestre de 2022, está prevista a disponibilização de versão do modelo GEVAZP já contemplando a geração de cenários conjuntos de geração eólica e afluência, e também considerando a correlação espacial entre essas grandezas<sup>15</sup>.

Finalmente no modelo DESSEM considera-se um valor determinístico de previsão de geração eólica, já em energia, que é fornecido externamente pelo usuário, em formato específico também para o modelo DESSEM (vide manual do usuário do DESSEM). Esta funcionalidade já foi validada pela CPAMP/FT-DESEM e é considerada oficialmente no processo de despacho e PLD horário.

<sup>14</sup> Esta funcionalidade ainda não foi objeto de validação pela CPAMP e FT-NEWAVE.

<sup>15</sup> Esta funcionalidade também ainda não foi objeto de validação pela CPAMP e FT-DECOMP.

## 11.2 Modelagem da geração eólica no problema de otimização

Por ser uma fonte sem custo, a usina eólica tende a aproveitar todo o recurso de vento disponível para geração. Entretanto, em situações em que há excesso de geração em determinado ponto do sistema, pode ser necessário dispensar (“cortar”) parte de sua geração, em um ou mais patamares de carga de determinado período (nos modelos NEWAVE e DECOMP), ou em alguma período horário ou patamar cronológico, como é o caso do DESSEM. Particularmente, no modelo DESSEM, se esta geração eólica não puder ser absorvida por unidades de armazenamento (vide seção 13), esse corte de geração pode ser necessário, devido a eventuais incompatibilidade entre as disponibilidades horárias de geração das usinas eólicas e o status de geração de outros geradores, cuja combinação pode comprometer os limites de fluxo em algumas linhas ou alguma restrição de segurança elétrica do sistema. Este corte na geração eólica pode até mesmo ser vantajoso por motivos econômicos, se aliviar o fluxo em algumas linhas da rede e, com isso viabilizar o acionamento de alguma unidade térmica mais barata em substituição a uma mais cara, que estivesse acionada devido às restrições de *Unit Commitment Térmico*. Estudos referentes a essas questões para o modelo DESSEM são mostrados em [59].

Pelos motivos apontados acima, a usina eólica é representada nos modelos com a possibilidade de ser uma fonte interruptível de energia (usinas eólicas “constrained-off”), de acordo com opção do usuário. Assim, o valor previsto de geração das *NEOL* usinas eólicas deve ser considerado explicitamente no problema de otimização como um limite superior para a geração dessas fontes, e o modelo pode decidir despachar qualquer valor entre zero e esse montante de geração, conforme mostra a expressão a seguir:

$$G_{eol_i}^t \leq \overline{G_{eol_i}^t}, \quad i = 1, \dots, NEOL, \quad t = 1, \dots, T, \quad (11.1)$$

sendo que, para os modelos DECOMP e NEWAVE, onde se representam patamares de carga, a restrição fica da forma:

$$G_{eol_i}^{t,p} \leq \overline{G_{eol_i}^{t,p}}, \quad i = 1, \dots, NEOL, \quad t = 1, \dots, T, \quad p = 1, \dots, NPAT_t \quad (11.2)$$

Ressalta-se novamente que, como o custo da geração eólica é nulo, o modelo irá procurar gerar o máximo possível desta fonte, que corresponde ao valor de geração disponível no respectivo período ou patamar de carga.

Finalmente, a geração desta fonte deve ser considerada no problema de otimização como uma injeção de potência no submercado (para os estudos/modelos onde a transmissão é representada apenas por intercâmbios) ou barra (para estudos/modelos com rede elétrica detalhada) onde a usina pertence. Estas injeções devem ser consideradas nos cálculos dos fluxos nas linhas da rede elétrica e nas expressões referentes às restrições elétricas especiais, já implementadas no modelo DESSEM (vide seção 21.1.4).

## 12 GERAÇÕES NÃO DESPACHADAS CENTRALIZADAMENTE

No modelo DESSEM, as pequenas usinas correspondem a qualquer fonte de geração cujo despacho não é decidido de forma centralizada. Desta forma, a geração dessas fontes deve ser informada pelo usuário e abatida pelo modelo da carga do submercado ao qual pertence, exceto em situações especiais que serão descritas mais à frente neste capítulo. As gerações deste tipo consideradas pelo modelo são descritas a seguir:

### 12.1 Pequenas usinas

Estas são as gerações fixas consideradas tradicionalmente nos modelos NEWAVE, DECOMP e DESSEM. Sua geração  $G_{PQ_i}^t$  é abatida diretamente da carga do submercado ao qual a usina pertence, e o número total de pequenas usinas é denotado por  $NPQ$ . Ressalta-se que cada usina possui um número identificador próprio nos registros PQ de entrada de dados. Assim, embora seja prática comum somar a geração de todas as pequenas usinas em um único registro PQ por submercado, recomenda-se que sejam fornecidos registros individuais por usina, quando isto for conveniente, para que os dados e resultados fiquem mais explícitos e intuitivos para o usuário.

### 12.2 Usinas fotovoltaicas

O modelo DESSEM considera também a geração das fontes de energia fotovoltaicas (vide Figura 12-1) no problema de programação diária da operação, com possibilidade de corte da energia disponível, da mesma forma como modelado para as usinas solares. A variável associada a essas usinas é a sua geração  $G_{solar_i}^t$ , para cada usina solar  $i$  e período de tempo  $t$ , sendo  $NSOLAR$  o número de usinas eólicas no sistema.



Fonte: <https://www.ecycle.com.br/component/content/article/8-tecnologia-a-favor/5444-com-muitas-baterias-tesla-consegue-armazenar-energia-solar-e-evitar-fontes-a-gas.html>

**Figura 12-1 – Exemplo de um componente de geração de energia fotovoltaica.**

## 13 ARMAZENAMENTO DE ENERGIA

O modelo DESSEM também permite a inclusão de unidades de armazenamento de energia (vide Figura 13-1) no problema de programação diária da operação, como baterias. Esses elementos se situam em determinado submercado (estudos ou períodos sem rede) ou em determinada barra do sistema, e são capazes de armazenar energia proveniente do sistema, como se fosse uma carga. Esta energia pode ser descarregada posteriormente, atuando como uma injeção de geração no sistema ou barra, conforme o caso.



**Figura 13-1 – Esquema ilustrativo de um sistema de armazenamento de energia por bateria**  
(Fonte: <https://www.ecycle.com.br/component/content/article/8-tecnologia-a-favor/5444-com-muitas-baterias-tesla-consegue-armazenar-energia-solar-e-evitar-fontes-a-gas.html>).

Desta forma, os consumos/injeções de potência nas baterias são considerados no balanço de carga do submercado, ilha elétrica ou barra da rede elétrica onde se situa o dispositivo (vide seções 7.3, 15.6 e 15.5, respectivamente), assim como em todas as restrições de fluxo de potência e limites na rede elétrica (vide seções 22.1 a 22.6), porém aplicando-se um fator de eficiência  $\eta_{bat_i}$  para obter a energia que é de fato injetada no sistema. As restrições específicas associadas a esses elementos são descritas a seguir.

### 13.1 Limites mínimo e máximo de armazenamento

Existem limites mínimo e máximo de armazenamento na bateria, em cada instante de tempo:

$$\underline{Earm}_{bat_i}^t \leq Earm_{bat_i}^t \leq \overline{Earm}_{bat_i}^t, \quad i = 1, \dots, NBAT, \quad t = 1, \dots, T \quad (13.1)$$

onde  $Earm_{bat_i}^t$  é a energia armazenada na bateria ao final do período  $t$  e  $\underline{Earm}_{bat_i}^t, \overline{Earm}_{bat_i}^t$  os limites mínimo e máximo de armazenamento, variáveis no tempo.

### 13.2 Limites para a carga/descarga da bateria

A variação de armazenamento  $\Delta Earm_{bat_i}^t$  na bateria (positiva ou negativa) em um intervalo de tempo  $t$  é limitado pelas potências máximas de carga ( $\overline{Pcarg_{bat_i}}$ ) e descarga ( $\overline{Pdescarg_{bat_i}}$ ) por unidade de tempo da bateria (MW), que é uma característica físicas do dispositivo. Matematicamente essa restrição é expressa por:

$$-\overline{Pdescarg_{bat_i}}\Delta_t \leq \Delta Earm_{bat_i}^t \leq \overline{Pcarg_{bat_i}} \times \Delta_t, \quad i = 1, \dots, NBAT, \quad t = 1, \dots, T \quad (13.2)$$

onde  $\Delta_t$  corresponde à duração do período

### 13.3 Balanço de carga da bateria, com perdas

Assim como as restrições de balanço hídrico representam a variação do volume de água nos reservatórios ao longo do tempo (vide seção 9.12), existem restrições que expressam a variação do armazenamento ao longo do tempo, considerando as perdas de energia ao longo dos processos de carga, armazenamento e descarga da bateria, as quais são contabilizadas quando da descarga da bateria:

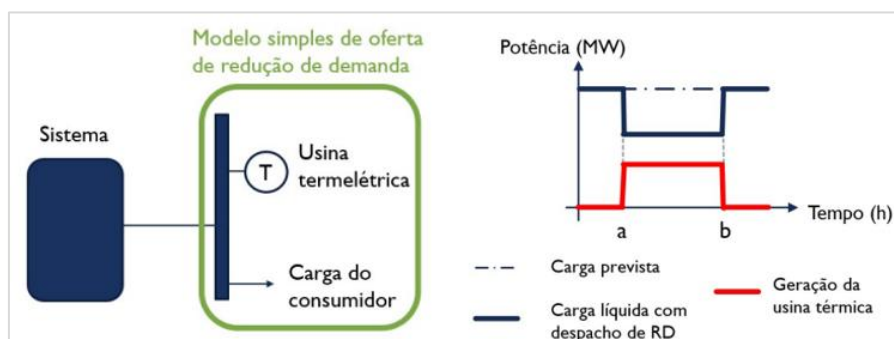
$$Earm_{bat_i}^t - \Delta Earm_{bat_i}^t - Earm_{bat_i}^{t-1} = 0. \quad (13.2)$$

## 14 RESPOSTA DA DEMANDA

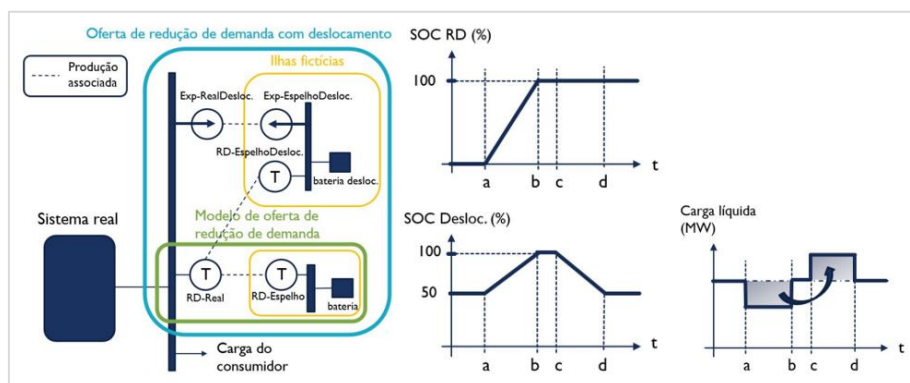
Embora não seja uma funcionalidade explícita no manual do usuário, a resposta da demanda também pode ser modelada do DESSEM, utilizando as seguintes funcionalidades:

- Inclusão de usinas térmicas com várias unidades geradoras, cada um com limites e custos unitários (CVUs) diferentes, para emular a oferta de corte de carga. Cada unidade corresponde aos diferentes tramos de uma curva de oferta de RD, onde cada tramo se refere a um nível de corte de carga e um preço de remuneração de referência;
- Inclusão de baterias, conjugadas com contratos de importação / exportação de energia, para representar ofertas de deslocamento de carga;
- Inclusão de restrições elétricas envolvendo diversas usinas térmicas, de forma a representar agregadores de carga.

A Figura 14-1 ilustra a modelagem considerando somente corte de carga, e a Figura 14-2 considerando também deslocamento de carga. Aplicações com sucesso da modelagem da resposta da demanda no DESSEM, em estudos de caso reais com o sistema brasileiro, são apresentadas em [60] e [61]



**Figura 14-1 – Modelagem de resposta da demanda no DESSEM através de usinas térmicas fictícias, considerando apenas corte de carga (extraído de [61])**



**Figura 14-2 - Modelagem de resposta da demanda no DESSEM através de usinas térmicas fictícias, considerando corte e deslocamento de carga (extraído de [61])**

## 15 REDE ELÉTRICA

Nesta seção descreve-se a representação da rede elétrica.

### 15.1 Área de Controle

São definidas nos arquivos da rede elétrica diversas áreas de controle, para as quais podem ser definidas restrições específicas de reserva de potência, ou definir tolerâncias diferentes para eventuais violações nos limites de fluxo da rede, de acordo com o nível de tensão.

### 15.2 Componentes da rede

A topologia da rede elétrica compreende uma série de componentes, descritos a seguir cujos dados são fornecidos nos arquivos de rede elétrica no DESSEM (vide manual do usuário do modelo):

- **Barras:** consistem nos nós da rede, que correspondem fisicamente às subestações da rede elétrica, cujos dados são fornecidos nos registros **DBAR**;
- **Linhas de transmissão e transformadores:** consistem nos arcos da rede, que correspondem fisicamente às linhas de transmissão e aos transformadores da rede elétrica, respectivamente, e cujos dados são fornecidos nos registros **DUSI**. Compensadores síncronos
- **Transformadores defasadores:** considera-se também a existência de transformadores defasadores no sistema, cuja modelagem é distinta dos transformadores tradicionais.

### 15.3 Conexão das injeções na rede

Todos os elementos de geração, seja os despachados de forma centralizada (usinas hidrelétricas, termelétricas, eólicas) como os que possuem sua geração pré-determinada pelo usuário (usinas eólicas sem constrained off, usinas solares e gerações de pequenas usinas) possuem um ponto de conexão na rede elétrica, que consiste em uma barra do sistema. Os pontos de conexão para os contratos de importação/exportação de energia também precisam ser informados, assim como os de todas as cargas da rede, incluindo as provenientes das usinas elevatórias. De posse dessa informação, o modelo DESSEM é capaz de considerar o fluxo de potência DC na determinação do despacho energético (vide seção 15.4), considerando todas as restrições da seção 22.

### 15.4 Ilhas Elétricas

Do ponto de vista de topologia da rede elétrica, denomina-se “ilha elétrica” ao subconjunto de barras/linhas da rede, de qualquer tamanho, que está completamente desconectado de outras partes do sistema. Em geral, as ilhas se formam quando há desligamento em uma ou mais linhas do sistema completo, formando regiões desconectadas eletricamente. Algumas ilhas elétricas são compostas por um conjunto muito pequeno de barras que se “descolam” do restante do sistema. As ilhas elétricas são identificadas para cada um dos casos bases da rede elétrica e para cada

período, visto que as eliminações de barras e circuitos podem criar topologias diferentes da rede para cada caso-base e período, onde cada ilha pode ter um conjunto distinto de barras e linhas.

#### 15.4.1 Identificação das ilhas

As numerações das ilhas em cada caso-base ou período **são independentes entre si**, ou seja:

- uma ilha de número “i” para determinado período  $t$  não corresponde, necessariamente, à mesma configuração de barras e linhas da ilha de mesmo número em outro período, ou até mesmo no caso base ao qual o período  $t$  está associado;
- ilhas de mesmo número podem se referir a trechos de rede distintos, visto que a numeração das ilhas é feita de forma sequencial e independente em cada período, sendo até provável que isso ocorra quando os períodos tiverem uma quantidade diferente de ilhas.

Ressalta-se que a identificação das ilhas só é realizada após a realização de todos os eventuais desligamentos de barras ou linhas que possam existir no caso em estudo, conforme descrito no algoritmo mostrado mais a frente na Figura 15.2.

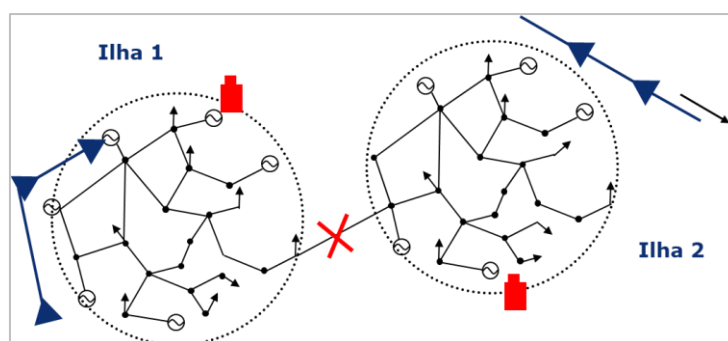
Com o objetivo de facilitar a análise do caso pelo usuário, o DESSEM realiza algumas verificações e emite mensagem ou relatórios específicos que auxiliam o tratamento da verificação do motivo de ocorrência das ilhas, e que são descritos conceitualmente na seção 15.4.1. Além disso, é possível que algumas cargas ou gerações fixas nas barras da ilha possam causar inviabilidades no fechamento da carga nesta ilha, o que motiva um tratamento específico em relação às ilhas elétricas, tanto de ponto de vista de verificação de dados (vide seção 15.4.2) como de representação no problema de otimização (vide seção 15.4.3), para facilitar a identificação de tais inviabilidades.

#### 15.4.1 Identificação dos desligamentos que provocam ilhas

As ilhas podem ser provocadas por desligamentos de linhas ou barras. O DESSEM aplica dois algoritmos para identificar os desligamentos que provocam ilhas, descritos a seguir.

##### 15.4.1.1 Desligamentos de linhas que provocam a ocorrência de ilhas

A ocorrência de ilhas devido ao desligamento de ilhas é ilustrada na Figura 15.1.



**Figura 15.1 - Exemplo da formação de ilhas elétricas após desligamento de um circuito.**

Para identificar esse tipo de ocorrência, aplica-se o algoritmo descrito na Figura 15.2.

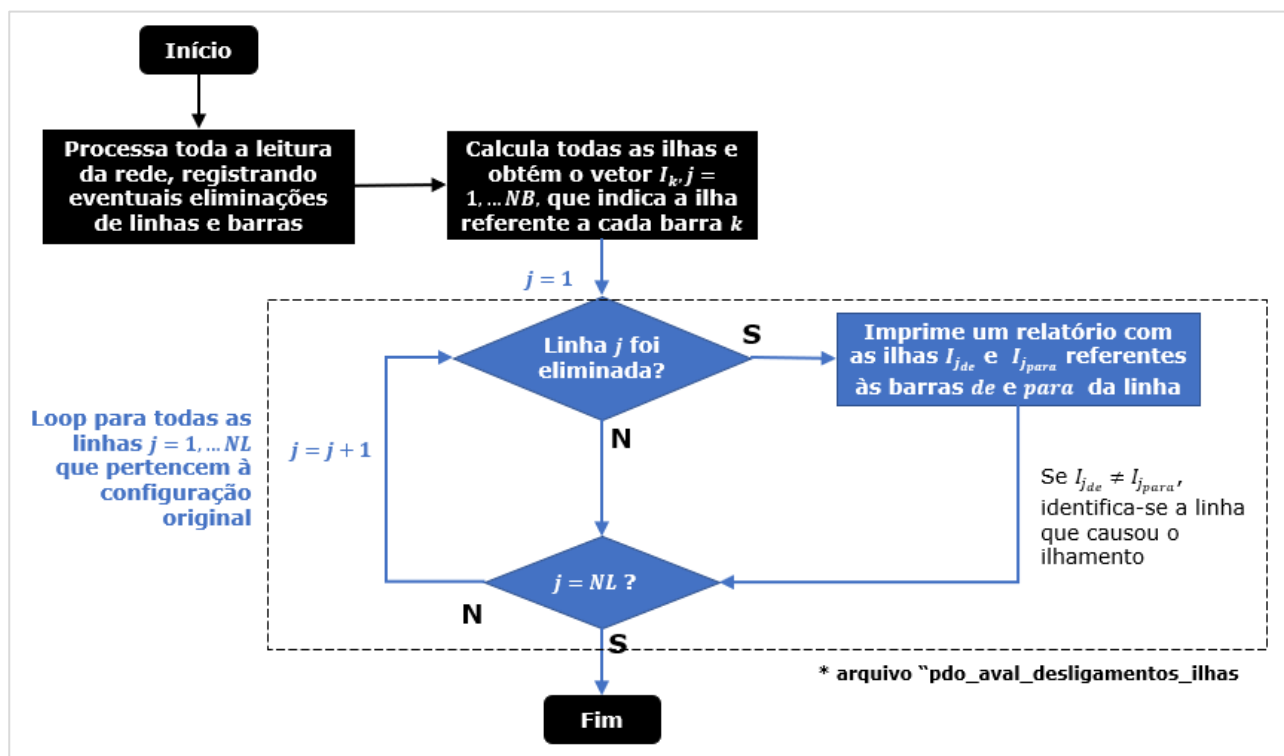


Figura 15.2 - Algoritmo para identificação das ilhas associadas ao desligamento de ilhas.

Como indicado no fluxograma, a identificação dos desligamentos de linhas que provocam a ocorrência de ilhas é feita sempre que as ilhas das barras extremas da ilha sejam distintas. Ressalte-se, entretanto, que uma (ou as duas) barras que se conectam à linha também podem ter sido eliminada(s) explicitamente nos dados de entrada da rede. Nesta situação, não haverá uma ilha associada a essa barra (visto que ela não se encontra mais na configuração) e o modelo irá reportar a ilha associada a essa barra com o índice "0". Como consequência, deve-se consultar a possível ocorrência de ilhas provocada pelo desligamento de barras, como explicado no item a seguir.

#### 15.4.1.2 Desligamentos de barras que provocam a ocorrência de ilhas

A Figura 15.3 ilustra a formação de uma ilha devido ao desligamento de uma barra, já que todas as linhas que se conectam a essa barra também são automaticamente eliminadas pelo DESSEM. Nesta situação, aplica-se algoritmo similar ao anterior, porém para todas as linhas que foram eliminadas em decorrência da eliminação da barra, conforme mostrado na Figura 15.4. Desta forma, a identificação dos desligamentos de barras que causam a formação da ilha  $k$  é feita da seguinte forma:

- detecção, no arquivo "pdo\_avl\_desligamento\_ilhas", da barra  $i$ , cujo desligamento provoca a eliminação de uma linha  $j$  tendo a ilha  $k$  em uma de suas barras extremas;

- como pode haver duas barras desligadas que se conectam diretamente na configuração original da rede, deve-se verificar também, no arquivo “pdo\_avl\_desligamento\_ilhas”, todas as outras barras  $i'$  que se conectam à barra  $i$ .

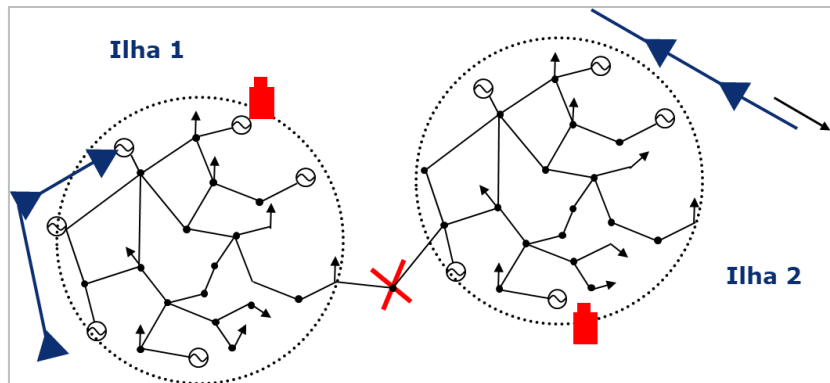


Figura 15.3 - Exemplo da formação de ilhas elétricas após desligamento de uma barra.

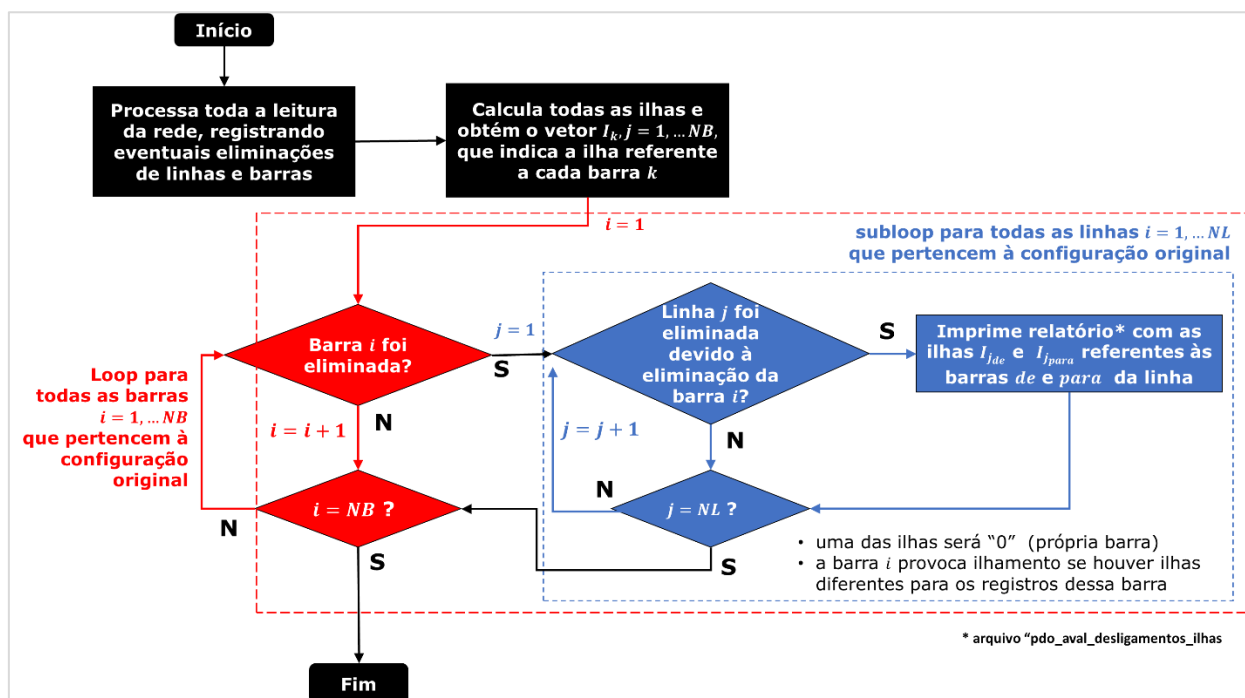


Figura 15.4 - Algoritmo para identificação das ilhas associadas ao desligamento de barras.

### 15.4.2 Verificação do balanço de carga na ilha previamente ao problema de otimização

Com base nos dados de topologia da rede elétrica e dos geradores e cargas que injetam/consomem em cada barra, é possível fazer uma validação prévia para detectar inviabilidades no balanço de carga total em cada ilha, que em geral ocorrem em função dos dados de entrada do programa.

O conjunto de verificações é descrito com mais detalhes a seguir. Caso alguma dessas verificações não seja atendida, o modelo irá interromper a execução após a leitura de dados, informando uma

mensagem contendo o período, ilha e tipo de condição que não foi atendida, e informando os termos à esquerda e direita das condições a serem verificadas.

#### 15.4.2.1 Verificação do excesso de geração obrigatória em relação à carga na ilha

Consiste em verificar se quantidade mínimas de potência a ser injetada  $G_{ilh_{min}_i}^t$  na ilha  $i$  no período  $t$  ultrapassa a carga total  $D_{ilh_i}^t$  da ilha neste período:

$$G_{ilh_{min}_i}^t \geq D_{ilh_i}^t \quad (15.1)$$

onde a geração mínima em cada ilha é dada pela soma das gerações mínimas ou fixas de todos os componentes de geração que se encontram na ilha:

$$G_{ilh_{min}_i}^t = \sum_{j \in \Omega_{ilh_{Eol}_{fx}_i}} G_{eol_j}^t + \sum_{j \in \Omega_{ilh_{sol}_{fx}_i}} G_{sol_j}^t + \sum_{j \in \Omega_{ilh_{PQ}_i}} G_{PQ_j}^t + \sum_{j \in \Omega_{ilh_{gfix}_i}} g_{fix_j}^t \quad (15.2)$$

onde os termos à direita correspondem às gerações eólicas e solares fixas<sup>16</sup> (arquivo “renováveis.dat”), gerações de pequenas usinas (registros PQ) e gerações fixas nas barras (registros DBAR) presentes na ilha.

Caso esta condição não seja atendida para determinada ilha, o modelo irá interromper a execução, emitindo mensagem de erro no arquivo “des\_log\_relato”.

#### 15.4.2.2 Verificação da insuficiência da capacidade de geração em relação à carga na ilha

Consiste em verificar se a geração máxima  $G_{ilh_{max}_i}^t$  na ilha  $i$ , no período  $t$ , é inferior à carga total  $D_{ilh_i}^t$  da ilha:

$$G_{ilh_{max}_i}^t \leq D_{ilh_i}^t \quad (15.3)$$

onde a geração máxima na ilha é dada pela soma das capacidades de geração de todos os componentes de geração que se encontram na ilha:

<sup>16</sup> Ou seja, que não podem ter sua geração cortada.

$$\begin{aligned}
 G_{ilhmax_i}^t = & \sum_{j \in \Omega_{ilh_{Eolfx_i}}} G_{eol_j}^t + \sum_{j \in \Omega_{ilh_{Solfx_i}}} G_{sol_j}^t + \sum_{j \in \Omega_{ilh_{PQ_i}}} G_{PQ_j}^t \\
 & + \sum_{j \in \Omega_{ilh_{t_i}}} \kappa_{manut_t_j}^t \overline{gt_j^t} + \sum_{j \in \Omega_{ilh_{h_i}}} \kappa_{manut_h_j}^t \overline{gh_j^t} \\
 & + \sum_{j \in \Omega_{ilh_{CE_i}}} \overline{Ecl_i^t} + \sum_{j \in \Omega_{ilh_{gfix_i}}} g_{fix_j}^t
 \end{aligned} \tag{15.4}$$

sendo os termos da direita referentes, respectivamente, às gerações eólicas fixas, solares fixas, de pequenas usinas, capacidades máximas das unidades geradoras térmicas e hidrelétricas (com os correspondentes fatores de manutenção), energia importada máxima e geração fixa da ilha.

Caso esta condição não seja atendida para determinada ilha, o modelo poderá realizar uma das duas opções seguintes, a partir do flag “TRATA\_INVIAB\_ILHA” a ser informado no arquivo de opções “dessopc” do modelo<sup>17</sup> interromper a execução, emitindo mensagem de erro no arquivo “des\_log\_relato”:

- se o flag estiver ativo: trata as inviabilidades nas ilhas, cortando as cargas nas ilhas de forma proporcional, de forma que se tenha  $G_{ilhmax_i}^t = D_{ilh_i}^t$ , e emitindo mensagem para o usuário;
- se o flag não estiver ativo: não trata as inviabilidades nas ilhas, interrompendo a execução do programa e emitindo mensagem para o usuário sobre o erro.

A figura a seguir ilustra essa verificação.

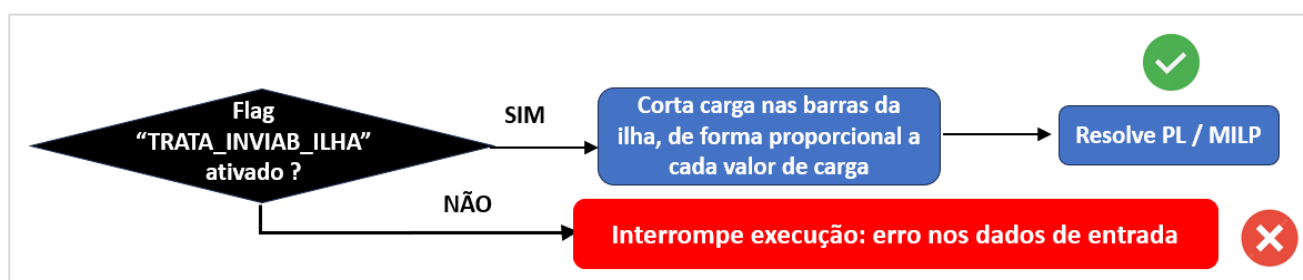


Figura 15.5 - Opção de tratamento de incapacidade de geração em uma ilha elétrica previamente ao problema de otimização, por meio do flag “TRATA\_INVIAB”.

### 15.4.3 Tratamento no problema de Otimização

O tratamento no problema de otimização é descrito na seção 15.6.

<sup>17</sup> Temporariamente, este flag poderá ser lido também no arquivo “operut.dat”

## 15.5 Atendimento à demanda por barra

Ao representar a rede elétrica, cada nó do sistema corresponde à determinada barra da rede. Portanto, ao invés de se ter apenas uma equação de demanda por submercado (vide seção 7.3), em princípio se teria uma equação para cada barra do sistema, de acordo com o sistema abaixo<sup>18</sup>:

$$\begin{bmatrix} p \end{bmatrix} = \begin{bmatrix} B \end{bmatrix} \begin{bmatrix} \theta \end{bmatrix} \quad (15.5)$$

onde  $p$  e  $\theta$  são vetores de dimensão  $NB$  com a injeção líquida (geração subtraída da carga) e os ângulos em todas as barras, respectivamente, e  $B$  é a matriz de susceptâncias da rede, que possui dimensão  $NB \times NB$ .

Entretanto, para não onerar muito computacionalmente a resolução do problema pelo DESSEM, já que deveriam ser incluídas  $NB \times T$  restrições e variáveis adicionais ao problema, são adotados os procedimentos resumidos a seguir, descritos com mais detalhes em [9], [10], na modelagem do problema com rede elétrica, que é resolvido de forma iterativa como mostrado na seção 26:

- mantêm-se as equações de atendimento à demanda (7.2) por submercado, o que garante o balanceamento da carga (i.e., a soma de todos os componentes do vetor  $p$  será nula);
- conhecidos os valores do vetor  $p$  ao resolver o problema (inicialmente, sem rede), calculam-se os ângulos nas barras resolvendo-se o sistema (15.5) “por fora” do PL ou MILP;
- a partir dos ângulos das barras, calculam-se os fluxos em cada linha, utilizando-se os fatores de participação descritos mais adiante na seção 22.1;
- incluem-se restrições de limite de fluxo para as linhas cujo limite tenha sido violado, no sentido adequado, como também descrito na seção 22.1, e resolve-se novamente o PL ou MILP correspondente.

<sup>18</sup> Como o sistema é linearmente dependente, na prática define-se como nulo o ângulo da barra de referência e elimina-se a linha e coluna referente a esta barra do sistema.

## 15.6 Atendimento à demanda por ilha elétrica

Quando ocorrem desligamentos de alguns circuitos na rede elétrica, pode ocorrer uma situação topológica da rede elétrica onde um ou mais subconjuntos de barras ficam “isoladas” do restante do sistema, configurando o que se costuma chamar de “ilha elétrica”. Nesta situação, torna-se necessário incluir, além da restrição de atendimento à demanda por submercado, uma equação de atendimento à demanda por ilha elétrica, como mostrado a seguir.

$$\begin{aligned}
 & \sum_{i \in \Omega_{IlhHk}} GH_i^t + \sum_{i \in \Omega_{IlhTk}} gt_i^t - \sum_{i \in \Omega_{IlhEb_k}} Cons_{EB_i} Eb_i^t + \sum_{i \in \Omega_{IlhPQ_k}} G_{PQ_i}^t + \sum_{i \in \Omega_{IlhCE_k}} Eci_i^t \\
 & - \sum_{i \in \Omega_{IlhCE_k}} Ece_i^t + \sum_{i \in \Omega_{IlhEolfx_k}} G_{eol_i}^t + \sum_{i \in \Omega_{IlhSolfx_k}} G_{sol_i}^t \\
 & + \sum_{i \in \Omega_{Ilhgfx_i}} g_{fix_i}^t - \sum_{i \in \Omega_{Ilhbat_i}} \eta_{bat_i} \Delta Earm_{bat_i}^t + F_{ilh_i}^+{}^t - F_{ilh_i}^-{}^t \\
 & = D_{ilh_k}^t,
 \end{aligned} \tag{15.6}$$

onde

$$D_{I_k}^t = \sum_{i \in \Omega_{IB_k}} d_i^t, \tag{15.7}$$

sendo  $D_{I_k}^t$  a demanda da ilha  $k$ , no período  $t$ , composto pela soma das cargas  $d_i^t$  de todas as barras  $i$  no conjunto  $\Omega_{IB_k}$  de barras que pertencem à ilha  $k$ . Os conjuntos  $\Omega_{IlhHk}$ ,  $\Omega_{IlhTk}$ ,  $\Omega_{IlhEb_k}$ ,  $\Omega_{IlhPQ_k}$ ,  $\Omega_{IlhCE_k}$ ,  $\Omega_{IlhEol_k}$ ,  $\Omega_{IlhSol_k}$ ,  $\Omega_{IlhBat_k}$  correspondem ao conjunto de usinas hidrelétricas, unidades térmicas, estações de bombeamento, pequenas usinas, contratos de importação e contratos de exportação, usinas eólicas, usinas solares e baterias associados à ilha  $k$ .

As variáveis  $F_{ilh_i}^+{}^t$  e  $F_{ilh_i}^-{}^t$  são folgas inseridas para tratar a insuficiência ou excesso de geração, respectivamente, cujos custos seriam, a princípio, os mesmos aplicados às violações das restrições em energia no modelo.

Quando a folga referente à insuficiência de geração estiver ativa, o modelo DESSEM realiza um corte automático de cargas nas barras, proporcionalmente ao valor de carga em cada barra, de acordo com o processo mostrado a seguir.

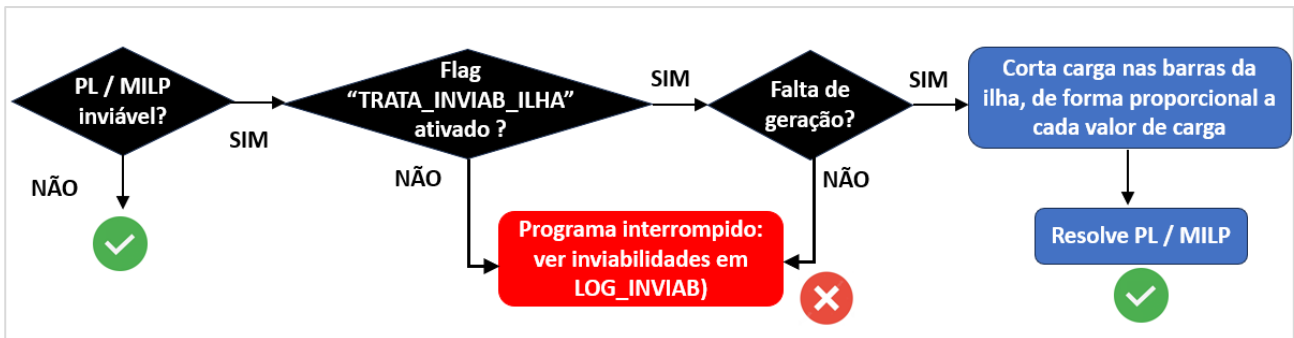


Figura 15.6 - Opção de tratamento de incapacidade de geração em uma ilha elétrica no problema de otimização, por meio do flag “TRATA\_INVIAB”.

Observa-se que, caso haja conflito entre a restrição de atendimento à demanda ilha e alguma restrição operativa e o modelo opte por violar a restrição operativa, a variável de folga de atendimento à demanda será nulo. Nesta situação, o modelo não irá cortar a carga da ilha e irá reportar um problema inviável, listando a inviabilidade no arquivo “LOG\_INVIAB”.

## 15.7 Fluxo de potência DC

O modelo linearizado em potência ativa, ou fluxo DC, é uma aproximação do fluxo de potência ativa no sistema, no qual se despreza o efeito da tensão/potência reativa. O fluxo DC é baseado no forte acoplamento entre a potência ativa e o ângulo das tensões e apresenta resultados tanto melhores quanto maior for o nível de tensão do sistema representado. Este modelo aproximado permite o cálculo dos fluxos ativos com razoável precisão e com baixo custo computacional.

O modelo DC é obtido através da linearização das equações de fluxo de potência ativa na rede. Desprezando-se as perdas, a equação de fluxo de potência ativa  $f_i$  em um circuito  $i$  entre duas barras  $k$  e  $m$  é dada por:

$$f_i = -v_k v_m b_i \text{sen} \theta_{km}, \quad (15.8)$$

onde  $v_k$  e  $v_m$  representam as tensões das barras  $k$  e  $m$ ,  $b_i$  é a susceptância do circuito  $i$  e  $\theta_{km}$  a diferença angular  $(\theta_k - \theta_m)$  entre as barras  $k$  e  $m$ , sendo  $\theta_i$  o ângulo de tensão na barra  $i$ .

Considerando as aproximações  $v_k \cong v_m \cong 1$  p.u.,  $\text{sen} \theta_{km} \cong \theta_{km}$  e  $b_i \cong -1/x_i$ , obtém-se:

$$f_i = -b_i (\theta_{fr(i)} - \theta_{to(i)}) = \frac{\theta_{to(i)} - \theta_{fr(i)}}{x_i} \quad (15.9)$$

onde  $x_i$  é a reatância do circuito  $l$ . Pelas definições  $fr(i)/to(i)$  para as barras de origem/destino da linha  $i$ , tem-se que, quando o ângulo da barra de destino é superior ao da barra de origem, o fluxo é positivo, ou seja, no sentido  $fr(i) \rightarrow to(i)$ . Valores negativos indicam fluxo no sentido contrário.

Como a injeção de potência ativa em cada barra é igual à soma dos fluxos que saem da barra, chega-se a uma formulação matricial do tipo:

$$p = B\theta \quad (15.10)$$

onde  $p$  é o vetor de injeções de potência ativa (geração menos carga) por barra,  $q$  é o vetor de ângulos das tensões nodais e  $B$  a matriz de susceptâncias da rede.

Conhecendo  $p$  e  $B$  pode-se calcular, definida uma barra de referência para o sistema, os ângulos de tensão  $q$  nas barras. Posteriormente, avaliam-se os fluxos nos circuitos pela equação do limite de fluxo (descrita na seção 22.1). A modelagem do fluxo DC no modelo DESSEM é descrita em [9], [10].

Ressalta-se que, em caso de existência de ilhas elétricas na configuração da rede do problema (vide seção 15.4), o cálculo do fluxo de potência DC é feito individualmente, para cada ilha.

## 15.8 Modelagem das perdas nas linhas

A consideração das perdas pode ser feita de diversas formas pelo usuário no modelo DESSEM. A estratégia mais simples é incorporar, nos dados de carga das barras, as perdas estimadas na rede, porém essas perdas não ficam em função do despacho que de fato é decidido pelo modelo, pois essa informação não é conhecida *a priori*. Desta forma, o DESSEM oferece a possibilidade de representar as perdas na rede segundo a modelagem DC, que é descrita nas seções seguintes.

### 15.8.1 Expressão teórica

Segundo a modelagem AC da rede elétrica, o fluxo de potência ativa  $f_l$  em uma linha que conecta as barras  $k$  e  $m$  é dado por:

$$f_i^{k \rightarrow m} = -v_k^2 g_i - v_k v_m g_i \cos \theta_{km} - v_k v_m b_i \sin \theta_{km} \quad (15.11)$$

onde  $g_i$  é a condutância série do circuito  $i$ . De maneira análoga tem-se:

$$f_i^{m \rightarrow k} = -v_m^2 g_i - v_m v_k g_i \cos \theta_{mk} - v_m v_k b_i \sin \theta_{mk} \quad (15.12)$$

Sabendo-se que  $\cos \theta_{mk} = \cos \theta_{km}$  e  $\sin \theta_{mk} = -\sin \theta_{km}$  as perdas de transmissão  $l_i$  na linha  $i$  serão dadas por:

$$l_i = f_i^{k \rightarrow m} + f_i^{m \rightarrow k} = g_i (v_m^2 + v_k^2 - 2v_m v_k \cos \theta_{km}) \quad (15.13)$$

Além das aproximações já mencionadas anteriormente para os valores de  $v$  e  $v$ , introduz-se também a seguinte aproximação:

$$\cos\theta_{km} \cong \frac{1-\theta_{km}^2}{2}, \quad (15.14)$$

obtendo-se então a seguinte expressão para as perdas no circuito i:

$$l_i = g_i(\Delta\theta_i)^2, \quad (15.15)$$

onde  $\Delta\theta_i$  é a diferença angular na barra i, que equivale a  $\theta_{km}$  na notação adotada anteriormente. O gráfico da função de perdas é mostrado na Figura 15-1.

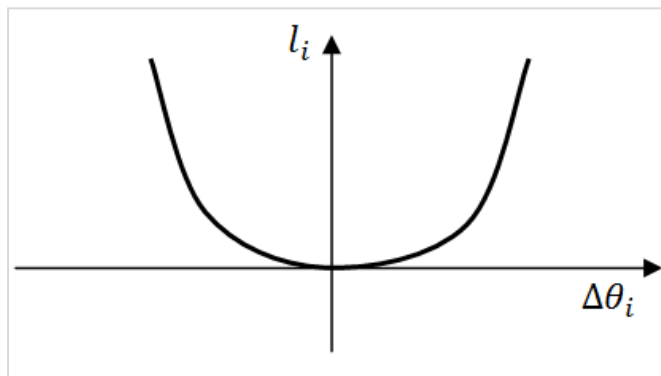


Figura 15-1 - Perdas em um circuito como função quadrática da diferença angular entre suas barras extremas, segundo a modelagem DC com perdas

### 15.8.2 Aproximação linear por partes para as perdas

A incorporação das perdas pode ser feita substituindo-se a equação não linear por um modelo linear por partes, cujos cortes tangenciam a função por baixo, conforme mostra a Figura 15-2.

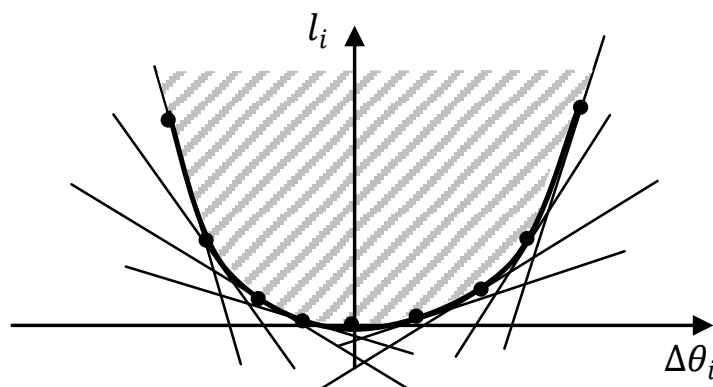


Figura 15-2 - Exemplo de uma aproximação linear por partes para as perdas de transmissão em uma linha i.

---

Os cortes correspondem a inequações no problema de programação linear, as quais definem como região viável para o problema todos os pontos situados acima da curva de perdas, representados pela região hachurada na Figura 15-2. Nesta aproximação, supõe-se que o modelo irá sempre preferir se situar exatamente sobre a curva linear por partes, já que os pontos acima dessa curva levariam a perdas maiores para o sistema e, em consequência, a um maior custo de operação.

Entretanto, não é razoável incluir, no problema de otimização, todos os cortes do modelo linear por partes para as perdas em todas as linhas da rede elétrica, por dois motivos:

o número de restrições para o problema de programação linear (PPL) ou inteira (MILP) pode se tornar muito grande, uma vez que se deve inserir várias inequações para cada linha;

o método SIMPLEX, utilizado para resolver o problema de otimização, tende a encontrar como solução ótima um dos vértices do poliedro que define a região viável do problema. Desta forma, o estabelecimento *a priori* de um modelo linear por partes para as perdas pode levar a uma discretização dos valores “candidatos” para as diferenças angulares e, conseqüentemente, para os fluxos nas linhas.

De forma a contornar os inconvenientes apontados acima, desenvolveu-se um modelo linear por partes dinâmico para aproximar a expressão quadrática de perdas nos circuitos da rede elétrica, conforme descrito na referência [10], [20].

## PARTE IV – FUNÇÕES DE CUSTO

## 16 CUSTOS DE OPERAÇÃO

O objetivo principal do problema de programação da operação é a minimização do custo de operação, tendo como prioridade o atendimento de todas as restrições operativas energéticas e elétricas. O custo de operação é composto pelas parcelas descritas a seguir.

### 16.1 Custo de geração termoelétrica

O custo de geração termoelétrica é considerado por uma função linear. Funções lineares por partes<sup>19</sup> podem ser representadas através de ajustes apropriados nos dados de entrada, dividindo-se a capacidade da usina em vários segmentos, cada um com determinado limite e custo de operação. Com isso, pode-se representar CVUs variáveis com a disponibilidade da usina. O custo incremental (linear) para cada unidade geradora  $i$  e período  $t$  é denotado por  $ct_i^t$ , e a função objetivo  $Z$  do problema de otimização recebe a seguinte parcela:

$$Z = \dots + \sum_{t=1}^T \sum_{i=1}^{nt} ct_i^t gt_i^t + \dots \quad (16.1)$$

### 16.2 Custos de partida/parada de unidades térmicas

O custo de partida/parada das unidades geradoras termoelétricas é importante para a modelagem do *Unit Commitment Térmico*. Podem ser considerados dois tipos de custo para a partida das unidades: custo constante, por partida, ou um custo variável, de acordo com o tempo em que a unidade estava desligada, pois unidades que já estão desligadas há mais tempo estão mais “frias” e, portanto, exigem maior calor (e, conseqüentemente custo) para acionamento. Já para o custo de desligamento, considera-se um valor constante, como é usual na literatura.

Atualmente, no uso oficial do modelo DESSEM, considera-se sempre um custo constante de acionamento. Estas restrições, definidas para todas as unidades térmicas e em todos os períodos de tempo, impõem um custo  $C_i^{cold}$  de ligar uma unidade  $i$ , no período  $t$ , dado que a mesma unidade estava desligada no período anterior ( $t - 1$ ), como mostra a expressão (16.2)

$$cst_i^t \geq C_i^{cold} \cdot (u_i^t - u_i^{t-1}), \quad (16.2)$$

onde  $cst_i^t$  é uma variável de decisão que indica o custo de mudança de status da unidade térmica  $i$  no período  $t$ , seja por acionamento ou desligamento. Já o custo de parada é definido pelas restrições, para todas as unidades e períodos de decisão, que computam o custo de desligar uma unidade  $i$ , no período  $t$ , dado que a mesma unidade estava ligada no período anterior ( $t - 1$ ):

<sup>19</sup> Esse tipo de modelagem também pode ser adotado para aproximar funções quadráticas.

$$cst_i^t \geq C_i^{shut} \cdot (u_i^{t-1} - u_i^t) \quad (16.3)$$

onde  $C_i^{shut}$  é o custo fixo de desligamento da unidade geradora  $i$ .

Com esses termos, a função objetivo  $Z$  do problema de otimização recebe a seguinte parcela:

$$Z = \dots + \sum_{t=1}^T \sum_{i=1}^{nt} cst_i^t + \dots \quad (16.4)$$

### 16.3 Custo de energia importada/exportada

O pagamento (remuneração) referente à energia importada (exportada) é representada através de um preço linear, denotado por  $ci_i^t$  e  $ce_i^t$ , respectivamente para cada contrato de importação (exportação)  $i$  e período  $t$ . Uma modelagem linear por partes pode ser utilizada definindo-se vários contratos associados à mesma fonte, com preços e limites de importação/exportação diferentes.

Este custo contribui com as seguintes parcelas na função objetivo do problema:

$$Z = \dots + \sum_{t=1}^T \sum_{i=1}^{NCI} ci_i^t Eci_i^t - \sum_{t=1}^T \sum_{i=1}^{NCE} ce_i^t Ece_i^t + \dots \quad (16.5)$$

## 17 CUSTO DE DÉFICIT

O Custo de déficit corresponde ao custo do corte de carga de energia, ou seja, é um valor a ser “pago” pelo modelo por não atender determinada parcela da carga do sistema. Este custo é unitário, ou seja, aplicado a cada nova unidade de carga cortada, e seu valor pode ser constante (toda a carga cortada possui o mesmo custo) ou crescente com o montante de carga cortada. Neste segundo caso, as primeiras unidades de carga cortadas são mais “baratas” e, a medida em que o corte de carga aumenta, os próximos cortes tornam-se mais caros, conforme definido por uma função linear por partes, descrita a seguir.

### 17.1 Função linear por partes do custo de déficit

De forma a onerar cortes de carga com muita profundidade, considera-se uma curva linear por partes para a função de custo de não atendimento à carga (déficit de energia). A Figura 17-1 mostra um exemplo dessa curva com 3 níveis ou patamares de déficit, com profundidades de 20, 30, e 50%, respectivamente, e custos unitários de R\$800,00/MW, R\$1200,00/MW e R\$1700,00/MW.

Como pode ser aplicada uma curva diferente para cada submercado e intervalo de tempo, o custo de déficit é denotado por  $cdefc_{i,k}^t$ , para o submercado  $i$ , segmento  $k$  e período  $t$ , sendo  $ndc_i^t$  o número de segmentos da curva para o submercado  $i$  e período  $t$ .

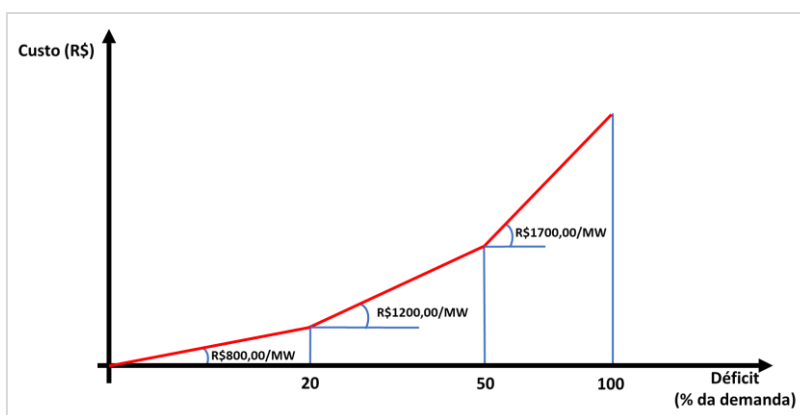


Figura 17-1 - Exemplo de uma curva linear por partes para o custo de déficit de energia.

Esta função de custo de déficit é fornecida por meio dos registros CD, descritos no manual do usuário do DESSEM.

### 17.2 Modelagem do custo de déficit no problema de otimização

A influência do custo de déficit na função objetivo é representada pela seguinte parcela na função objetivo do problema:

$$Z = \dots + \sum_{t=1}^T \sum_{i=1}^{NS} \sum_{k=1}^{ndc_i^t} cdefc_{i,k}^t Defc_{i,k}^t + \dots \quad (17.1)$$

---

onde  $Defc_{i,k}^t$  é o déficit efetivamente incorrido no submercado  $i$ , segmento  $k$  e período  $t$ . Nota-se que, pela natureza crescente dos custos incrementais de déficit para cada segmento, um segmento só será ativado se o anterior tiver sido plenamente utilizado. A participação do déficit na equação de atendimento à demanda do submercado correspondente é descrita na seção 7.3.

Finalmente, esclarece-se que, para os períodos com rede elétrica, o modelo não permite corte de carga, pois teria que ser necessária a definição, pelo usuário, dos critérios para corte de carga entre as diferentes barras de um mesmo submercado.

### **17.3 Corte de carga na presença de restrições da rede elétrica**

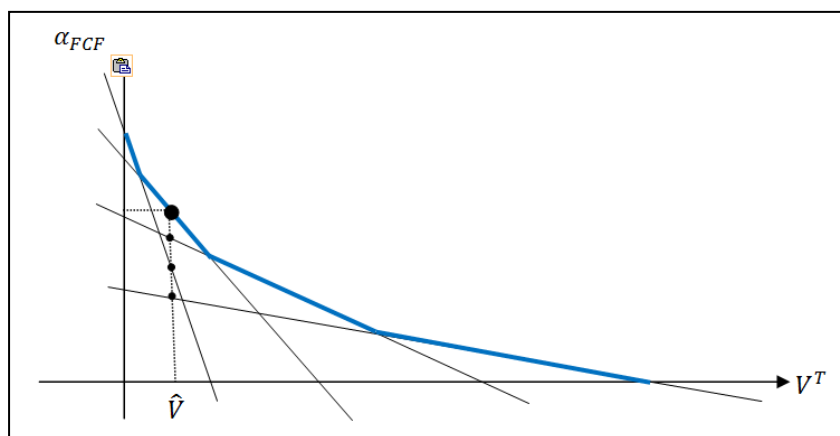
Quando se representa a rede elétrica no problema, há uma opção para considerar ou não as restrições de limite de fluxo e somatório de fluxo na rede elétrica (vide seções 22.1 e 22.2). Neste caso, despreza-se a função de custo linear por parte de déficit, e considera-se o corte de carga como um custo de violação, conforme descrito na seção 19.6.2

## 18 CUSTO FUTURO

O acoplamento tradicional do modelo DESSEM, adotado nos processos de programa mensal da operação (PMO) e preço horário (PLD), é com a função de custo futuro do modelo DECOMP que, por sua vez, é construída utilizando, no final de seu respectivo horizonte de estudo, a função de custo futuro do NEWAVE. Este acoplamento é descrito na seção 18.1. Uma forma alternativa de acoplamento, que pode ser bastante útil para estudos de planejamento, é o acoplamento direto com o modelo NEWAVE, descrito na seção.

### 18.1 Acoplamento com a Função de Custo Futuro do DECOMP

O custo futuro corresponde ao valor esperado (valor médio) do custo de operação após o horizonte de estudo do modelo DESSEM, sendo obtido a partir da chamada Função de Custo Futuro (FCF) fornecida pelo modelo DECOMP (vide seção 5.1). Essa função, que é um dado de entrada para o modelo, relaciona o custo futuro com o estado do sistema, dado pelo vetor  $V^T$  de volumes armazenados nos reservatórios no final do horizonte de estudo do DESSEM. Como há um grande número de reservatórios, essa FCF é multidimensional. A Figura 18-1 mostra um esboço do comportamento de seu gráfico, analisando-se a dimensão para um reservatório específico  $i$ .



**Figura 18-1 - Exemplo ilustrativo da função de custo futuro. A abscissa representa o vetor de armazenamentos  $V^T$  nos reservatórios ao final do período de estudo, considerando fixos os armazenamentos dos outros reservatórios.**

Como a FCF é linear por partes, na formulação matemática deve-se representar todos os cortes que a definem e, para um dado vetor de armazenamentos  $\hat{V}^T$ , o valor da função deve corresponder ao menor valor que seja igual ou superior ao valor que todos os segmentos<sup>20</sup> que compõem a função assumem ao cruzar o ponto  $\hat{V}^T$ . A contribuição da função de custo futuro na formulação do problema é expressa por:

<sup>20</sup> Para o desenho mostrado, cada segmento é uma reta. No entanto, na formulação geral da função para  $NH$  reservatórios, cada segmento é um hiperplano definido no espaço  $\mathfrak{R}^{NH+1}$ .

$$Z = \dots + \frac{\alpha_{FCF}}{(1+\beta_{tdesc})} \quad (18.1)$$

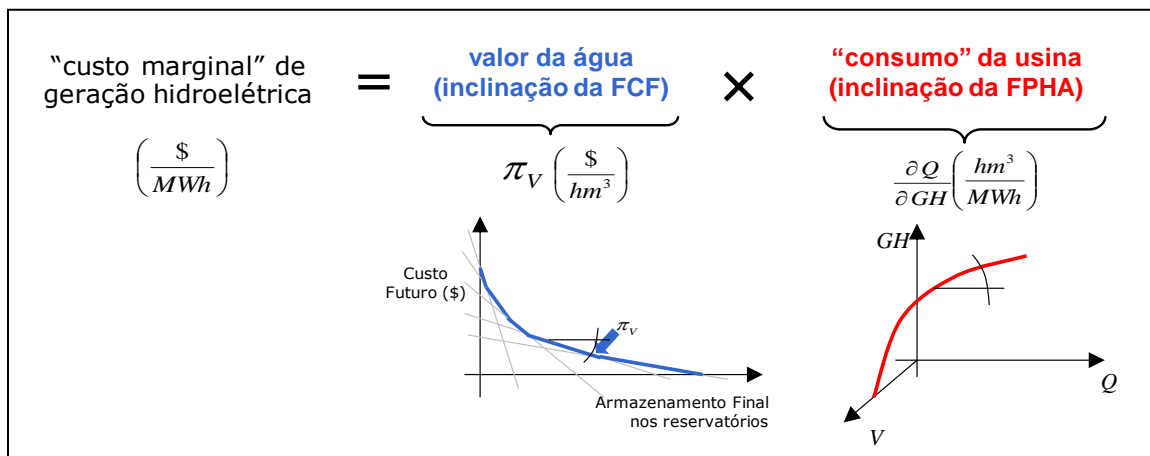
e o valor máximo de todos os cortes, para cada ponto de volume, é obtido introduzindo-se as seguintes inequações nas restrições do problema:

$$\alpha_{FCF} \geq \pi_{FCF_0}^k + \sum_{i=1}^{NH} \pi_{FCF,V_i^k} \cdot V_i^T, \quad k = 1, NCUT_{FCF}, \quad (18.2)$$

onde  $NCUT_{FCF}$  é o número de cortes da função de custo futuro e, para cada corte  $k$ ,  $\pi_{FCF_0}^k$  é o termo independente e cada termo  $\pi_{FCF,V_i^k}$  é o coeficiente associado a determinada usina hidrelétrica  $i$ . O termo  $\beta_{tdesc}$  corresponde à taxa de desconto, fornecida pelo usuário. Devido ao curto intervalo de tempo entre os períodos do DESSEM, essa taxa é aplicada apenas na função de custo, de forma a trazer o custo futuro a valor presente.

Observa-se que, em condições normais, a função é sempre decrescente com o aumento de  $V$ , indicando que deixar um montante maior de água armazenado no sistema ao final do estudo leva a uma redução no valor esperado do custo futuro de operação. Já a inclinação da função (coeficiente de cada usina nos cortes) mostra a magnitude do aumento do custo futuro com o decréscimo de armazenamento, permitindo obter-se uma relação entre o custo de operação (neste caso, o custo futuro) e o turbinamento da usina, pois cada unidade de água turbinada corresponde a um decréscimo de uma unidade no volume de água do reservatório ao final do horizonte. Este custo encontra-se em R\$/hm<sup>3</sup>, e, para transformá-lo em um custo comparável ao das térmicas (cuja unidade está em R\$/MWh), o modelo implicitamente o multiplica pelo inverso da produtividade da usina hidrelétrica, expressa em (MWh/hm<sup>3</sup>), e que corresponde ao montante de energia que se consegue gerar com cada unidade de água turbinada pela usina. Essa produtividade também é obtida de forma implícita pelo modelo, consultando-se a função de produção de cada usina (vide seção 9.15.11).

Em resumo, implicitamente o modelo de coordenação hidrotérmica realiza, para cada usina hidrelétrica, o cálculo de seu "custo marginal" de geração, mostrado na Figura 18-2, comparando com os custos unitários de geração térmica (dado do problema) para decidir em quais usinas se deve gerar. A produtividade de cada usina é calculada em função das características da usina (dado de entrada do modelo) e do volume armazenado (estado do sistema).



**Figura 18-2 - Cálculo implícito do "custo marginal" de geração hidrelétrica, que é realizado implicitamente pelo modelo de coordenação hidrotérmica.**

A diferença fundamental entre o custo de uma usina térmica e o de uma usina hidrelétrica é que o custo unitário de uma termoelétrica é fixo, independente do montante gerado. Já para as usinas hidrelétricas, como podem variar tanto as inclinações da FCF (em função dos volumes armazenados nos reservatórios do sistema), como a produtividade da usina (em função de seu turbinamento e seu próprio armazenamento), o custo unitário de geração é variável, aumentando na medida em que se aumenta a vazão turbinada da usina e se diminui o armazenamento do reservatório.

Ressalta-se que o termo "valor da água" de uma usina neste documento refere-se ao inverso do valor do coeficiente da usina no corte. Ou seja, os coeficientes são em geral negativos (visto que um aumento de armazenamento promove redução de custo), porém o valor da água é comumente referenciado como o inverso desse valor, que em geral é positivo

### 18.1.2 Ajuste nos valores da água nos cortes da FCF do DECOMP

A FCF do modelo DECOMP pode conter alguns valores da água pouco intuitivos, como por exemplo valores da água negativos (ou seja, coeficientes positivos na FCF) ou Valor da água de uma usina a montante menores do que o valor da água de uma usina de jusante. Estas situações podem ocorrer devido a penalidades de vertimento inseridas no modelo DECOMP, conjugadas com valores da água nulos e reservatórios cheios, onde o modelo DECOMP identifica que seria prejudicial ter uma unidade de água a mais no reservatório, já que um vertimento implicaria em custo. Para contornar estes valores da água que podem provocar uma operação pouco intuitiva pelo DESSEM em algumas situações, aplica-se um procedimento de ajuste dos valores da água nos cortes da FCF do DECOMP (vide Figura 18-3 a seguir), cujas regras são ativadas de forma individual, pelo flag "AJUSTEFCF", como descrito a seguir.

- **Regra 1:** Se uma usina tiver valor da água não negativo em algum corte do DECOMP, porém em um montante inferior, em módulo, a 1R\$/hm<sup>3</sup>:

- 
- ✓ considera-se um valor negativo para o valor da água, igual a 1.
  - **Regra 2:** Se uma usina de montante tiver um valor da água numericamente superior ao da usina imediatamente de jusante (ou seja, menos negativo ou mais positivo) e essa diferença for inferior a 1R\$/hm<sup>3</sup>:
    - ✓ o valor da água da usina de montante passará a ser numericamente menor (ou seja, mais negativo ou menos positivo) do que o da usina de jusante, em um valor de 1R\$/hm<sup>3</sup>.
  - **Regra 3:** Se uma usina de regularização diária (portanto, fio d'água no DECOMP), for a última usina na cascata e tiver um valor da água não negativo:
    - ✓ se estiver sozinha na cascata, a usina receberá um valor da água igual a 0,1R\$/hm<sup>3</sup>, em módulo
    - ✓ se existir pelo menos uma usina imediatamente a montante, a usina receberá o menor valor da água, em módulo, dentre essas usinas.

O motivo dos procedimentos 1 e 2 acima é fazer com que, em caso de indiferença entre manter a água ou verter, o modelo prefira armazenar água na usina ao invés de verter. Valores muito elevados de diferenças entre os coeficientes (superiores a 1R\$/hm<sup>3</sup>) não são modificados porque podem indicar alguma necessidade de não encher o reservatório, sinalizada por restrições em períodos futuros no DECOMP, através dos coeficientes da FCF.

A situação do item 3 visa ajustar valores da água que tenham ficado positivos pelo fato de a usina ser a fio d'água no DECOMP, possivelmente em virtude de ter estado vertendo no DECOMP.

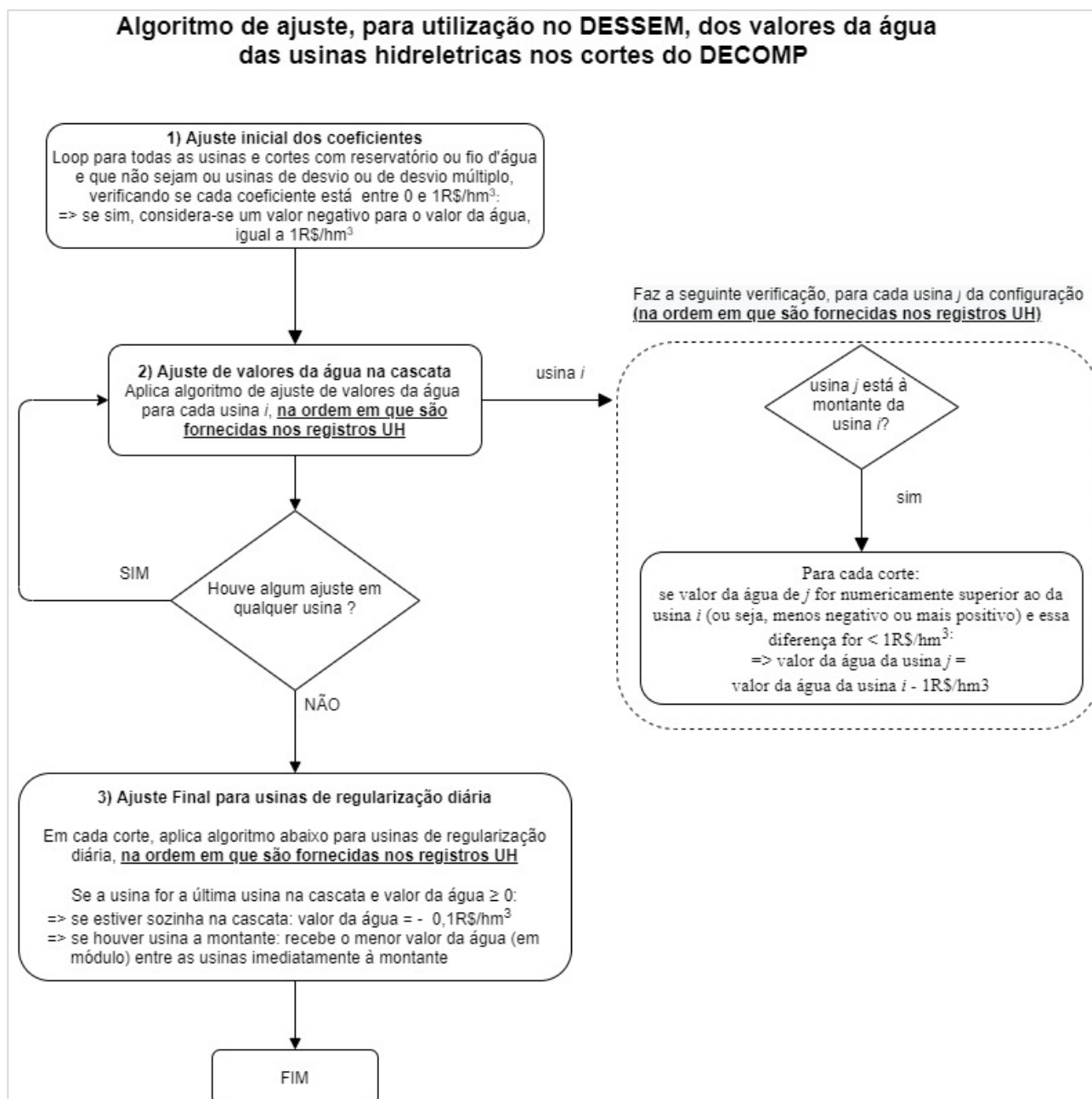


Figura 18-3 - Fluxograma de ajuste nos cortes da FCF do modelo DECOMP, quando se aplica o flag AJUSTEFCF.

## 19 PENALIDADES ELEVADAS DE VIOLAÇÕES DE RESTRIÇÕES

Estas penalidades correspondem a um custo bastante elevado de não atendimento (violação) às restrições físicas ou operativas dos componentes do sistema, cujo valor deve ser ordens de magnitude superior aos custos reais do problema, de forma a forçar com que o modelo encontre, sempre que possível, uma operação ótima que atenda a essas restrições. Em outras palavras, se houver solução viável que respeite todas as restrições do problema, a solução ótima deverá ser uma solução viável, que também respeite a essas restrições.

Caso as restrições impostas pelo usuário sejam impossíveis de serem atendidas na sua totalidade, o modelo naturalmente tenderá a encontrar uma solução onde a ocorrência de inviabilidades seja reduzida. Havendo conflito entre restrições, o que levaria de qualquer forma a um custo de violação, o modelo irá priorizar o atendimento às restrições que menos impactam o problema em termos de custo de operação, que é a função objetivo do problema. Ressalta-se que, no processo oficial de elaboração do PMO e estabelecimento do PLD, realizado atualmente pelo ONS e pela CCEE, os casos são ajustados de forma a não resultar em inviabilidades na operação final.

O modelo DESSEM aplica folgas para todas as restrições do problema<sup>21</sup>, de forma a torná-lo sempre “matematicamente viável” e permitir que se obtenha um resultado de operação que possa ser impresso ao usuário, mesmo que viole algumas restrições. Neste resultado, caso alguma variável de folga para violação de restrições seja ativada, o caso é considerado como “inviável” e as restrições não atendidas devido à ativação dessas folgas são listadas no arquivo ‘log\_inviab.xxx’.

### 19.1 Formulação matemática das variáveis de folga nas restrições

Denotaremos a seguir a expressão de uma restrição pela notação  $g(x)$ , onde  $x$  indica um conjunto de variáveis de decisão do problema e  $g(\cdot)$  é uma função que, no caso do modelo DESSEM, é sempre expressa de forma linear<sup>22</sup>. Denotaremos por  $l^{inf}$  e  $l^{sup}$ , respectivamente, os limites inferior e superior estabelecidos para essa restrição. Por exemplo, uma restrição de defluência mínima para uma usina hidrelétrica  $i$  aplicada no instante  $t$ , que envolve as variáveis de turbinamento ( $Q$ ) e vertimento ( $S$ ), é escrita da forma abaixo:

$$Q_i^t + S_i^t \geq Defmin_i^t \quad (19.1)$$

ou seja:

$$g(x) \geq l^{inf} \quad (19.2)$$

<sup>21</sup> Exceto restrições de *unit commitment* térmico, pois a ativação de custos elevados de variáveis em um problema linear inteiro-misto introduz dificuldades adicionais, numéricas e de tempo, para a resolução do problema.

<sup>22</sup> Ressalta-se que é possível aproximar restrições não lineares por meio de um conjunto de expressões (inequações) lineares, caso essas restrições definam uma região convexa.

onde o vetor  $x$  envolve as variáveis  $\{Q_i^t, S_i^t\}$  e o valor de defluência mínima  $Defmin_i^t$  corresponde ao limite  $l^{inf}$ .

Do ponto de vista matemático, a aplicação das folgas para violação de restrições é feita aplicando variáveis de folga  $f^{inf}$  e  $f^{sup}$  para permitir violações dos limites inferior e superior da restrição, quando necessário, da seguinte forma:

Restrições de limite inferior

$$g(x) + f^{inf} \geq l^{inf} \quad (19.3)$$

Restrições de limite superior

$$g(x) - f^{sup} \leq l^{sup} \quad (19.4)$$

Restrições de igualdade, onde o valor da expressão deve ser igual a  $l^{eq}$ :

$$g(x) + f^{inf} - f^{sup} = l^{eq} . \quad (19.5)$$

Deve-se impor também restrições de não negatividade para as variáveis artificiais de folga que foram criadas:

$$\begin{cases} f^{sup} \geq 0 \\ f^{inf} \geq 0 \end{cases} \quad (19.6)$$

e aplicar, na função objetivo do problema, um custo muito elevado  $C^{viol}$  para cada uma dessas variáveis:

$$\min(\dots) + C^{viol} f^{sup} + C^{viol} f^{inf} + (\dots). \quad (19.7)$$

Observe que a “ativação” (ou seja, um valor maior do que zero) da folga  $f^{inf}$  permite que a expressão  $g(x)$  assuma um valor menor do que  $l^{inf}$  (até o valor estabelecido para a folga). Da mesma forma, quando se ativa a variável de folga  $f^{sup}$ , permite-se que a expressão  $g(x)$  assuma um valor maior do que  $l^{sup}$ , também até o valor estabelecido para a folga.

Voltando ao exemplo anterior: supondo que o valor  $Defmin_i^t$  para a restrição de defluência mínima em (19.8) seja igual a 600 m<sup>3</sup>/s, a restrição passa a ser formulada no problema de otimização como:

$$Q_i^t + S_i^t + f^{inf} \geq 600 \quad (19.8)$$

e, assim, permite-se que a expressão  $(Q_i^t + S_i^t)$  assumam um valor maior do que 600 (por exemplo, 800m<sup>3</sup>/s), bastando que o valor da folga  $f^{inf}$  seja maior do que zero (neste caso, seria 200m<sup>3</sup>/s). No entanto, devido ao elevado custo na função objetivo para ativação desta folga ( $C^{viol} \times 200$ ), idealmente o modelo só violará a restrição se não for possível atendê-la de fato. Para tal, deve-se utilizar um valor suficientemente alto para  $C^{viol}$ .

## **19.2 Tipos de restrições quanto à factibilidade de violação na prática**

As restrições são tratadas de forma diferenciada pelo modelo, por meio da atribuição de diferentes valores de custo para as variáveis de folga. A magnitude desses custos é definida em virtude da possibilidade ou não de determinada restrição ser violada ou flexibilizada na prática, como descrito a seguir.

### **19.2.1 Restrições físicas**

Correspondem a restrições associadas à modelagem dos componentes do sistema, descritas ao longo dos capítulos 7 a 15, tais como:

- balanço hídrico nos reservatórios, incluindo operação de usinas que enchem volume morto;
- função de produção para as usinas hidrelétricas;
- evaporação nos reservatórios;
- atendimento à demanda nas ilhas elétricas;
- perdas da rede elétrica.

Estas restrições correspondem a aspectos físicos do sistema, que não podem ser violados na prática. Por exemplo, na vida real não é possível violar a lei de conservação da água nos reservatórios (expressa pela restrição de balanço hídrico), ou fazer a usina gerar mais do que é possível fisicamente, para determinado valor de turbinamento (o que é expresso pela função de produção). Assim, essas restrições físicas devem receber uma penalidade para violação mais elevada, para que o seu atendimento seja prioritário, do ponto de vista de modelagem do problema, em relação às restrições operativas.

Ressalta-se que a violação de uma restrição física do problema em geral está relacionada a alguma imprecisão na modelagem dessas restrições, ou a dados de entrada inconsistentes para as características físicas dos componentes associados a essas restrições.

### **19.2.2 Restrições operativas**

Correspondem às restrições operativas descritas nas seções 21 a 23, como por exemplo:

- Níveis mínimos operativos dos reservatórios;
- Demanda a ser atendida em cada submercado;

- Reserva de potência
- Limites de fluxos nos circuitos

Estas restrições são consideradas “operativas” porque sua violação é factível do ponto de vista físico, mesmo que acarrete consequências severas para a operação do sistema e de seus componentes. Por exemplo, uma usina hidrelétrica pode defluir menos do que o seu requisito de vazão mínima, e um reservatório pode ter seu nível reduzido abaixo de determinado nível de segurança, embora estas situações sejam indesejadas por levarem ao não atendimento de requisitos operativos para o sistema (por exemplo, manutenção de um nível mínimo no rio a jusante da usina ou um risco elevado de esvaziamento do reservatório no futuro). Até mesmo algumas restrições mais críticas, como por exemplo limites de fluxos nos circuitos, podem ser violadas na prática, desde que em um valor reduzido e por um curto período de tempo.

Devido a essa propriedade de poderem ser violadas fisicamente na prática, estas restrições operativas devem receber um custo de violação inferior ao das restrições físicas no problema de otimização. Ressalta-se porém, novamente, que este valor ainda tem que ser bem superior aos custos “reais” de operação do sistema, para evitar que o modelo viole a restrição de forma arbitrária.

### 19.3 Unidade de medida das restrições no problema

O valor numérico de penalização das variáveis de folga das restrições do problema deve ser estabelecido levando-se em consideração a unidade de medida referente a cada restrição. A tabela a seguir mostra dos diferentes tipos de restrições, em função da unidade pela qual é expressa na vida real:

**Tabela 19.1 - Tipos e unidades de medida para as restrições operativas.**

<b>Tipo de restrição</b>	<b>unidade</b>	<b>Exemplos</b>
Restrição energética (potência)	MW	Demanda dos submercados, geração térmica mínima, reserva de potência, restrição elétrica especial, fluxo em circuitos, etc.
Restrição em vazão	m <sup>3</sup> /s	Defluência de usinas hidrelétricas, vazões em canais, vazão bombeada em usinas elevatórias, etc.
Restrição em volume	hm <sup>3</sup>	Volume de espera em reservatórios, armazenamento mínimo em reservatórios, etc.
Restrição em cota	m	Cota mínima/máxima em reservatórios, níveis de seções de rios, etc.

É importante ressaltar que um mesmo valor numérico de violação para uma restrição pode resultar em montantes muito diferentes para determinada grandeza. Por exemplo, a violação de uma restrição de defluência mínima (m<sup>3</sup>/s) em 1 unidade, durante um período de tempo com duração

de meia hora, equivale a deixar de defluir  $0,018\text{hm}^3$ , que é muito inferior à violação de uma restrição de volume mínimo (que já é expressa em  $\text{hm}^3$ ) em 1 unidade.

Além disso, atenção especial deve ser dada à comparação entre violações de restrições que envolvem variáveis de naturezas diferentes, como “água” e “energia”. Por exemplo, a violação de uma restrição de geração hidráulica máxima em 1MW, durante um período com 1 hora de duração, resulta em um ganho de energia de 1MWh. Por outro lado, se o modelo violar uma restrição de volume mínimo em  $1\text{hm}^3$  e utilizar esse volume de água para turbinamento, a quantidade de energia que pode ser gerada é muito maior do que 1MWh, visto que  $1\text{hm}^3$  defluído durante 1 hora resulta em uma vazão de  $277,78\text{ m}^3/\text{s}$ . Assim, deve ser estabelecida uma relação entre os custos de folga para as restrições em energia ou em água, com base na produtividade das usinas, de forma a se ter um equilíbrio no benefício de violar uma ou outra restrição.

Pelos motivos mencionados acima, o valor matemático de custo das variáveis de folga para cada restrição no problema de otimização deve levar em consideração tanto a discretização temporal adotada como o tipo de unidade de medida envolvida na restrição, o que será detalhado na sequência.

## 19.4 Penalidade para violação das restrições operativas

Nesta seção detalham-se os procedimentos de cálculo do valor numérico da penalidade de violação das restrições adotado pelo DESSEM, tanto para as restrições físicas como operativas, e para as diferentes unidades de medida consideradas no problema. Este cálculo envolve as etapas descritas nas seções 19.4.1, 19.4.2, e 19.4.3, que são realizadas em sequência, e o valor resultante é aplicado às restrições, conforme descrito na seção 19.4.4.

### 19.4.1 Determinação de valores de referência para as penalidades

Inicialmente, determina-se um valor de referência para cálculo das penalidades de violações de restrições, tanto em energia (R\$/MWh) como em volume (R\$/ $\text{hm}^3$ ), da seguinte forma:

- **Valor de referência para restrições em energia (R\$/MWh) ( $ValRef_{PenMWh}$ )** corresponde ao segmento de curva de déficit (fornecido nos registros CD) de custo mais elevado ( $C_{max_{Defc}}$ ), dentre todos os submercados;
- **Valor de referência para restrições hidráulicas (R\$/ $\text{hm}^3$ ) ( $ValRef_{Penhm3}$ )** : calculado com base em  $C_{max_{Defc}}$  e a produtividade máxima acumulada ( $MW/((\text{m}^3/\text{s}))$ ) ao longo das cascatas, pelos seguintes passos:
  - ✓ cálculo de produtividade máxima  $\rho_{max_i}$  ( $MW/((\text{m}^3/\text{s}))$ ) de cada usina hidrelétrica  $i$ , pelo produto entre a sua altura de queda líquida máxima  $hliq_{max_i}$  (m) e a produtibilidade específica  $pdt_{esp_i}$  ( $(MW)/((\text{m}^3/\text{s}).\text{m})$ ) de cadastro da usina. O valor  $hliq_{max_i}$  é calculado pela diferença entre a cota do reservatório referente ao volume máximo e a cota média de jusante (de cadastro), subtraindo-se as perdas da usina (também fornecidas no cadastro);

- ✓ cálculo da produtividade acumulada  $pdt_{acum_i}$  ( $MW/((m^3/s))$ ) de cada usina, através da soma dos valores de  $\rho_{max_i}$  da própria usina e de todas as usinas a jusante, até o oceano;
- ✓ determinação do maior valor de  $pdt_{acum_i}$  dentre todas as usinas da configuração, denotado por  $pdt_{acum_{MAX}}$ ;
- ✓  $ValRef_{Penhm^3}$  (R\$/ $hm^3$ ) =  $ValRef_{PenMWh}$  (R\$/MWh)  $\times$   $pdt_{acum_{MAX}}$   $\times$  *fator*, onde o último termo é um fator de conversão de unidades.

#### 19.4.2 Valor inicial para as penalidades, com base nos valores de referência

Para evitar que o modelo “escolha” dar déficit para violar uma restrição, e considerando que este valor de déficit é razoável para estimar o máximo valor da água abaixo do qual não se admite violações de restrições, o modelo calcula um valor inicial para a penalidade de violação das restrições, através de um incremento ao valor de referência calculado na seção anterior, da seguinte forma:

- **Penalidade para restrições em energia (R\$/MWh)** ( $PenViol_{inic_{MWh}}$ ) =  $(ValRef_{PenMWh} + 1,00$  R\$/MWh)  $\times$  10;
- **Penalidade inicial para restrições hidráulicas (R\$/ $hm^3$ )** ( $PenViol_{inic_{hm^3}}$ ) =  $(ValRef_{Penhm^3} + 1000,00$  R\$/ $hm^3$ )

#### 19.4.3 Fator adicional aplicado à penalidade de violação das restrições

Em alguns casos, a função de custo futuro do modelo DECOMP pode conter valores da água muito elevados (negativos e positivos), devido a violações ocorridas ao longo das iterações do DECOMP, para situações em que há escassez ou excesso de água, respectivamente. Para prevenir tais situações, aplica-se um fator adicional (*FatPenal*) à penalidade de violação de restrições, cujo valor default é 100,00. Temporariamente, o modelo permite que este valor possa ser redefinido pelo usuário, através dos registros PE, para fins de “calibração” do valor mais adequado para essa restrição

Portanto, o valor final aplicado no problema de otimização para violação das restrições em energia (R\$/MWh) ou restrições hidráulicas (R\$/ $hm^3$ ) são, respectivamente:

- **Penalidade para restrições em energia (R\$/MWh)** ( $PenViol_{MWh}$ ) =  $FatPenal \times [(ValRef_{PenMWh} + 1,00$  R\$/MWh)  $\times$  10];
- **Penalidade inicial para restrições hidráulicas (R\$/ $hm^3$ )** ( $PenViol_{hm^3}$ ) =  $FatPenal \times (ValRef_{Penhm^3} + 1000,00$  R\$/ $hm^3$ ).

A partir da versão 19.0.39 do modelo DESSEM passou-se a utilizar um fator de 130 para a penalização de violação de restrições.

#### 19.4.4 Aplicação do valor de penalidade às restrições

Uma vez determinados os valores de penalidade em (R\$/MWh) e (R\$/hm<sup>3</sup>), a aplicação no problema de otimização, para cada unidade de restrição definida na seção 19.3, é feita da seguinte forma:

**Tabela 19.2 - Aplicação das penalidades para cada tipo de restrição.**

Tipo de restrição	unidade	Exemplos
Restrição energética (potência)	MW	O valor $PenViol_{MWh}$ é aplicado à quantidade de energia, em MWh, que corresponde ao possível montante de violação em MW, considerando a duração do período, em horas
Restrição em vazão	m <sup>3</sup> /s	O valor $PenViol_{hm^3}$ é aplicado à quantidade de água, em hm <sup>3</sup> , que corresponde ao possível montante de violação em (m <sup>3</sup> /s), considerando a duração do período
Restrição em volume	hm <sup>3</sup>	O valor $PenViol_{hm^3}$ é aplicado diretamente ao montante de violação da restrição, que já está em hm <sup>3</sup> no problema de otimização
Restrição em cota	m	O valor $PenViol_{hm^3}$ é aplicado à quantidade de água, em hm <sup>3</sup> , que corresponde ao montante de violação da restrição em m, onde a conversão de unidades é feita consultando-se o polinômio volume x cota da usina hidrelétrica.

#### 19.5 Penalidades para violação de restrições físicas

As restrições físicas devem ter uma prioridade no atendimento pelo modelo DESSEM em relação às restrições operativas já que, conforme explicado na seção 19.2.2, não podem ser flexibilizadas na prática. Portanto, os valores de penalidades para violação de restrições operativas, descritas na seção anterior, devem ser consideradas como um limite inferior para o valor a ser adotado para a penalidade de violação das restrições físicas. Como a violação de uma restrição física pode permitir, de forma simultânea, a violação de mais de uma restrição operativa, aplica-se um fator suficientemente alto para violação das restrições físicas, em relação às operativas, diferenciado por tipo de restrição, conforme mostrado na Tabela 19.3 a seguir.

**Tabela 19.3 - Valores de penalidade de violação para as restrições físicas.**

Restrição física	Penalidade para violação da restrição
Balanço Hídrico (\$/hm <sup>3</sup> )	$PenViol_{hm^3} \times 30$
Evaporação (\$/hm <sup>3</sup> )	$PenViol_{hm^3} \times 10$
Taxa de enchimento de volume morto (\$/hm <sup>3</sup> )	$PenViol_{hm^3} \times 10$
Função de Produção hidrelétrica (\$/MWh)	$PenViol_{MWh} \times 50$
Atendimento à demanda por ilha elétrica (\$/MWh)	$PenViol_{MWh} \times 50$

## **19.6 Restrições com tratamento especial para a penalidade de violação**

Algumas restrições operativas recebem um tratamento diferenciado para a penalidade de violação das restrições, conforme descrito nas seções a seguir.

### **19.6.1 Custo de violação de restrições de limites de fluxo na rede elétrica**

Ao longo do processo de validação do modelo DESSEM, ocorrido entre 2017 e 2020, definiu-se que o atendimento às restrições da rede deve ter uma prioridade inferior ao atendimento das restrições operativas “energéticas” do sistema. A motivação disso é que, muitas vezes, permite-se que o fluxo em uma linha ultrapasse o limite estabelecido nos arquivos, contanto que esta violação seja pequena e ocorra ao longo de um curto período de tempo. Portanto, quando há um conflito entre uma restrição operativa dos geradores e uma restrição da rede elétrica, prioriza-se o atendimento às restrições dos geradores, pois considera-se que o ONS analisaria o montante (e duração) das violações das restrições de rede nos resultados do modelo e, caso estes valores sejam aceitáveis, flexibilizaria os limites nos fluxos nas quantidades violadas. Portanto, o modelo DESSEM considera uma ordem de grandeza inferior para o custo de violação das restrições da rede elétrica, ou seja:

Penalidade para restrições da rede elétrica (R\$/MWh) =  $PenViol_{MWh}/10$ .

### **19.6.2 Custo de déficit em casos com rede**

Em casos com rede elétrica, as restrições de limite de fluxos, somatório de fluxos em circuitos, e restrições de segurança da rede elétrica (vide seções 22.1 a 22.4) impõem, muitas vezes, restrições severas à geração das usinas, que podem comprometer o atendimento à carga em algumas barras. Nestas situações, como o custo de déficit de energia em casos sem rede elétrica (fornecidas nos registros CD) é inferior ao custo de violações de restrições, o modelo optaria por cortar carga, o que, em princípio, contrasta com algumas questões que surgem na operação do sistema:

- na programação da operação dificilmente se irá recorrer ao corte de carga para atender a todos os limites de fluxo, especialmente porque muitas vezes a liberação ou flexibilização de limites nas linhas, ou flexibilização de algumas restrições operativas, poderia tornar o caso viável;
- permite-se na prática a violação de algumas restrições da rede, como explicado na seção 19.6. Entretanto, o modelo DESSEM não “conhece” esta prática operativa e, ao considerar custos elevados de violação para as restrições operativas, irá realizar um corte de carga antes de violar o fluxo em uma linha;
- finalmente, há diversas formas de se cortar a carga nas barras do sistema, de forma a viabilizar o caso, e algumas cargas não são interruptíveis. Portanto, seria necessário dotar o modelo de informações mais detalhadas sobre critérios a serem utilizados para o corte de carga.

Para contornar a questão mencionada acima, quando se habilita a aplicação de variáveis de folga para as restrições de limite de fluxo na rede elétrica (vide registros RD do Manual do Usuário do modelo), o modelo DESSEM desconsidera as curvas de custo de déficit fornecidas nos registros CD do DESSEM, aplicando o seguinte valor para o custo de déficit:

- Penalidade para déficit com presença de restrições de rede (R\$/MWh) =  $PenViol_{MWh} \times 200$

Ressalta-se que esse custo também é inferior ao custo de atendimento à demanda na ilha elétrica, o que é razoável, visto que se prefere que o modelo identifique eventuais desbalanços nas ilhas que causem essas inviabilidades (vide seção 15.4), ao invés de detectar um corte de carga.

### **19.6.3 Custo de violação das restrições de meta**

As restrições de meta de geração térmica ou recebimento de energia dos submercados ao longo do horizonte de estudo (registros “META”) podem ser tratadas como restrições “soft” (penalidade menor, definida pelo usuário) ou restrições “hard” (definidas pelo modelo). Na situação em que se consideram essas restrições como “hard”, seu atendimento tem prioridade maior em relação às restrições operativas. A partir de calibrações feitas quando essas restrições foram validadas e analisadas pelo ONS, definiu-se o seguinte valor para violação das restrições de meta:

- Penalidade para restrições de meta (R\$/MWh) =  $PenViol_{MWh}/2$ ;

## **20 PENALIZAÇÕES PEQUENAS DE “UTILIZAÇÃO” DE VARIÁVEIS**

Na modelagem do problema de otimização, introduzem-se penalidades pequenas para algumas variáveis do problema, de forma a induzir o modelo a, em caso de indiferença quanto ao custo total de operação, tomar decisões operativas que estejam mais alinhadas com a prática operativa. Ressalta-se que esses valores devem ser suficientemente pequenos para que não afetem as decisões econômicas relacionadas à ordem de despacho das usinas. Em outras palavras, estes custos devem ser muito inferiores aos custos incrementais de geração térmica, assim como os custos implícitos de geração hidrelétrica<sup>23</sup>.

### **20.1 Penalidade de vertimento**

Esta penalidade é aplicada para que, em caso de indiferença econômica entre defluir um volume de água ou mantê-la armazenada no reservatório (quando o valor da água é zero), o modelo decida manter a água no reservatório.

### **20.2 Penalidades de turbinamento**

Esta penalidade se deve a questões relacionadas à modelagem da função de produção das usinas hidrelétricas, descrita em [16]. Mais especificamente, adota-se um valor de penalidade de turbinamento maior do que o do vertimento, por meio de um fator, para fazer com que, caso a usina necessite defluir um montante adicional de água sem geração, o faça por vertimento (que seria a via utilizada na prática), e não por turbinamento. Caso não se aplicasse a penalidade para turbinamento (ou esta fosse inferior à penalidade de vertimento), o modelo poderia escolher turbinar essa defluência adicional, mesmo que isso não incorresse em geração.

### **20.3 Penalidades de intercâmbio**

Estas penalidades visam evitar que o modelo decida “ir e voltar” com a energia de um submercado para o outro. Além disso, pode evitar que, em estudos com perdas nas linhas de transmissão, o modelo utilize os intercâmbios apenas com o intuito de aumentar a perda de energia e, conseqüentemente, reduzir os vertimentos, que também são penalizados.

### **20.4 Relação entre as penalidades e valores *default* aplicados**

Na ausência de definição explícita das penalidades de vertimento e intercâmbio pelo usuário (vide especificação do registro “PE” e mnemônico “PENINT” do arquivo operut.dat), o modelo aplica os valores e relações entre as penalidades de ativação das variáveis mostrados na Tabela 20.1. Ressalta-se que estes valores foram sendo determinados de forma empírica, ao longo do tempo, em função de análise do comportamento do modelo ao utilizar diferentes valores de penalidade, e podem ser redefinidas com base em estudos futuros realizados com o modelo.

---

<sup>23</sup> estes custos são calculados pelo modelo com base nos valores da água e produtividade das usinas hidrelétricas.

**Tabela 20.1 - Valores de penalidades de ativação de variáveis adotadas no DESSEM.**

Penalidade	Valor default / forma de cálculo
Vertimento	$PenVert = 0,2 \text{ R\$/hm}^3$
Tubinação	$PenTurb = PenVert \times 1,5 \text{ R\$/hm}^3$
Intercâmbio	$PenInterc = k_{peninte} \times (PenVert/10 + 10^{-6}) \text{ R\$/MWh}$

O fator de penalidade de intercâmbio  $k_{peninte}$  tem valor default igual a 0.24, mas pode ser alterado pelos registros “PENINTE” do arquivo de opções do DESSEM (“dessopc”).

**PARTE V – RESTRIÇÕES OPERATIVAS**

## 21 RESTRIÇÕES OPERATIVAS SISTÊMICAS

As restrições sistêmicas correspondem àquelas que afetam, simultaneamente, mais de um tipo de entidade (usina hidrelétrica, termoelétrica, intercâmbio) do sistema.

### 21.1 Reserva de potência

A reserva de potência corresponde a uma "folga" que deve ser deixada entre as capacidades de geração de alguns componentes do sistema (usinas térmicas hidrelétricas) e o valor de geração que está sendo efetivamente realizado, de forma a acomodar eventuais necessidades de acréscimo de geração em tempo real. Tais acréscimos podem ocorrer devido a diversos fatores, como a saída inesperada de unidades geradoras, incrementos de carga significativos em relação aos valores previstos, variações grandes nas gerações previstas para as fontes intermitentes (como usinas eólicas), entre outros. A reserva operativa pode ser definida por área de controle ou individualmente para algumas usinas. Na definição da reserva por área, pode ser necessário incluir intercâmbios com submercados vizinhos.

Desta forma, as restrições de reserva operativa do sistema, que podem ser definidas de forma diferente em cada intervalo de tempo, podem ser especificadas das formas descritas a seguir.

#### 21.1.1 Reserva de potência individual, por usina hidrelétrica ou térmica;

Neste caso, para cada usina hidrelétrica (expressão (21.1)) ou usina termoelétrica (expressão (21.2))  $i$  selecionada, deve-se deixar uma folga  $RH_i^t$  (respectivamente,  $RT_i^t$ ) entre a geração máxima disponível no período  $\overline{GH}_i^t$  (respectivamente,  $\overline{GT}_i^t$ ) e a geração efetivamente realizada, para acomodar a necessidade de eventuais acréscimos de geração:

$$\overline{GH}_i^t - GH_i^t \geq RH_i^t, \quad i = 1, \dots, NH; t = 1, \dots, T \quad (21.1)$$

$$\overline{GT}_i^t - \sum_{j=1}^{nt_i} gt_{i,j}^t \geq RT_i^t, \quad i = 1, \dots, NT; t = 1, \dots, T \quad (21.2)$$

Na expressões acima, os valores de potência máxima hidrelétrica e termoelétrica não consideram eventuais unidades geradoras das usinas que estejam em manutenção durante o período  $t$ .

#### 21.1.2 Reserva de potência por área de controle

Neste caso a reserva  $RAC_k^t$  para cada área de controle  $k$  e período  $t$ , deve ser atendida conjuntamente pelas usinas hidrelétricas, termoelétricas e intercâmbios que contribuem para essa área, e que são identificadas pelos conjuntos  $ACH_k$ ,  $ACT_k$  e  $ACI_k$ , respectivamente. A expressão (21.3) formula matematicamente essa restrição:

$$\sum_{i \in ACH_k} (\overline{GH}_i^t - GH_i^t) + \sum_{i \in ACT_k} \left( \overline{GT}_i^t - \sum_{j=1}^{nt_i} gt_{i,j}^t \right) + \sum_{i \in ACI_k} (\overline{Int}_{i,j}^t - Int_{i,j}^t) \quad (21.3)$$

$$\geq RAC_k^t, \quad k = 1, \dots, NAC; t = 1, \dots, T,$$

onde  $NAC$  indica o número de áreas de controles para fins de definição da reserva de potência.

A seguir, discutem-se aspectos adicionais que são considerados no DESSEM, associados à restrição de reserva de potência.

### 21.1.3 Reserva disponível devido ao engolimento máximo e restrições elétricas

As restrições (21.1) e (21.2) levam em consideração, para fins da reserva de potência disponível da usina, apenas as limitações referentes à capacidade de geração. No entanto, outras restrições físicas e operativas, que também limitam a potência que pode ser gerada pela usina a cada instante de tempo, são consideradas no modelo DESSEM, como descrito a seguir.

#### Limitações adicionais para a reserva das usinas hidrelétricas

Para o cálculo da potência disponível das usinas hidrelétricas, são considerados os seguintes aspectos adicionais, além da potência máxima das unidades:

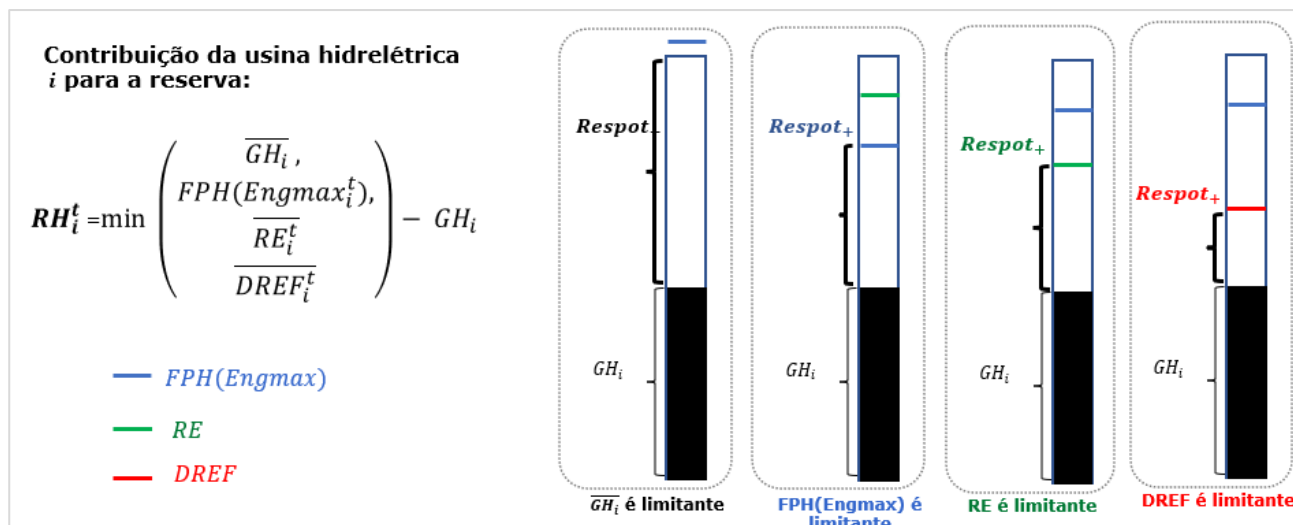
- a geração máxima que pode ser obtida com o engolimento máximo das turbinas, que é calculado conforme procedimento descrito na seção 9.16. Ressalta-se que, a atualização do engolimento máximo é feita entre resoluções sucessivas do problema, o valor de potência máxima para as usinas hidrelétricas para fins de reserva também é recalculado, antes da resolução de cada problema;
- a geração máxima que pode ser obtida devido a limitações de restrições elétricas especiais (RE, vide seção 21.1.4) que contemplem a usina de forma individual;
- a geração máxima que pode ser obtida devido a limitações de restrições de somatório de fluxos (DREF, vide seção 22.2) que incluam somente a geração da barra a que a usina esteja conectada;

A Figura 21-1 ilustra como esses aspectos podem limitar, de forma combinada, a reserva  $RH_i^t$  disponível para a usina hidrelétrica  $i$ , no período  $t$ .

#### Limitações adicionais para a reserva das usinas hidrelétricas

Para o cálculo da potência disponível das usinas térmica, são considerados os seguintes aspectos:

- restrições operativas de limite de geração térmica, descritas na seção 24.1;
- a geração máxima que pode ser obtida devido a limitações de restrições elétricas especiais (RE, vide seção 21.1.4) que contemplem a usina de forma individual;



**Figura 21-1 – Aspectos considerados quando da definição da reserva de potência disponível para uma usina hidrelétrica  $i$ , no período  $t$ .**

#### 21.1.4 Acurácia da aproximação para a restrição de reserva

Após a resolução do problema de otimização, o DESSEM imprime, no arquivo de saída “pdo\_reserva”, a reserva alocada a todas as usinas hidrelétricas e térmicas que participam das restrições de reserva, na solução ótima encontrada pelo modelo. Esta reserva é calculada pela seguinte expressão:

$$RH_i^{t*} = GH_{max} - GH_i^{t*} \quad i = 1, \dots, NH; t = 1, \dots, T \quad (21.1)$$

onde  $GH_{max}$  é a geração máxima possível para a usina, que considera os aspectos descritos na Figura 21-1. Como tais aspectos envolvem relações não lineares, como a função de produção hidrelétrica (seção 9.15.10) e o engolimento máximo (seção 9.16), pode haver discrepâncias entre a reserva alocada de fato e a reserva disponível devido a desvios entre a função de produção hidrelétrica linear por partes e a função exata, não linear (vide seção 9.15.12), como ilustrado na Figura 21-2. De forma a permitir que o usuário avalie a acurácia da modelagem, disponibiliza-se o arquivo de saída “pdo\_reserva”.

##### 21.1.4.1 Ocorrência de reserva negativa devido a desvios na função de produção

Nos casos em que uma usina hidrelétrica está incluída em uma restrição de reserva mas utiliza toda a sua disponibilidade de geração, que é o caso específico ilustrado na figura, a reserva alocada para essa usina é, em princípio, nula. Entretanto, se o desvio entre a função de produção aproximada (FPHA) e a exata (FPH) for positivo, que também é o caso mostrado na figura, haverá alocação negativa de reserva para a usina nos resultados do DESSEM. Entretanto, caso esta usina esteja em uma restrição de reserva de potência por área de controle (seção 21.1.2) e a mesma estiver sendo atendida no limite, outras usinas estarão “compensando” esta reserva negativa provida pela usina.

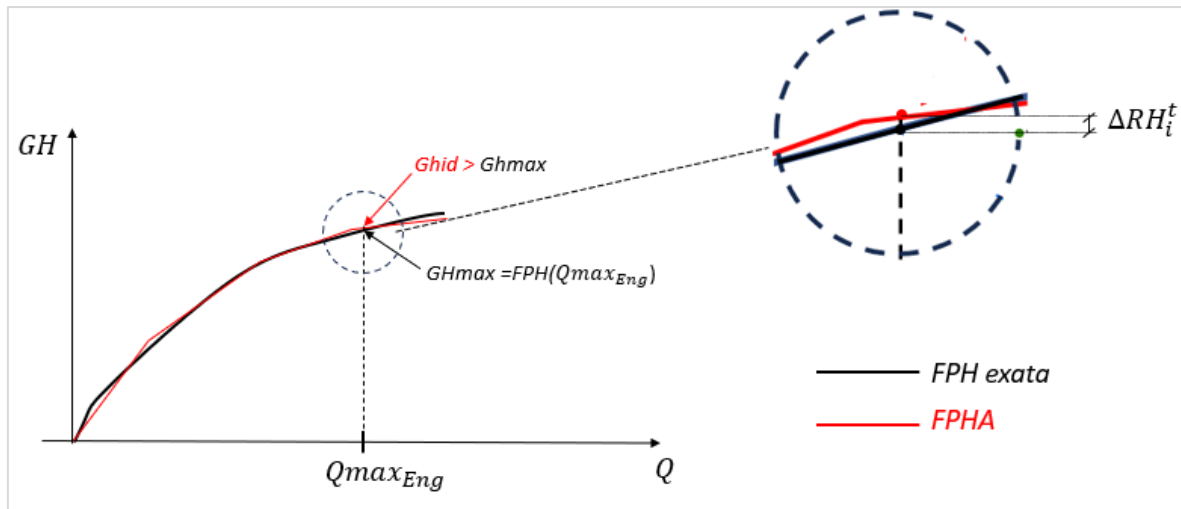


Figura 21-2 – Contribuição negativa para a reserva devido a desvio na função de produção.

Ressalta-se, porém, que a imprecisão no cálculo da reserva para essa usina não ocorrerá a mesma esteja submetida a uma restrição de alocação de reserva individual para a usina (seção 21.1.1). Isto se deve ao fato de que, como a restrição de reserva de potência no PL/MILP leva em consideração a limitação de geração pelo engolimento máximo, calculada a priori pela função de produção exata, a geração máxima ( $Ghmax$ ) da usina para fins de cálculo da reserva é limitada diretamente no PL pelo próprio valor de  $FPH(Qmax_{Eng})$ . Portanto, se hipoteticamente for definida uma restrição de reserva individual para a usina com limite nulo e a usina novamente gerar o máximo possível no PL, sua geração será igual a  $FPH(Qmax_{Eng})$  e, para que o problema não fique inviável, haverá uma redução no valor de turbinamento, como ilustrado na

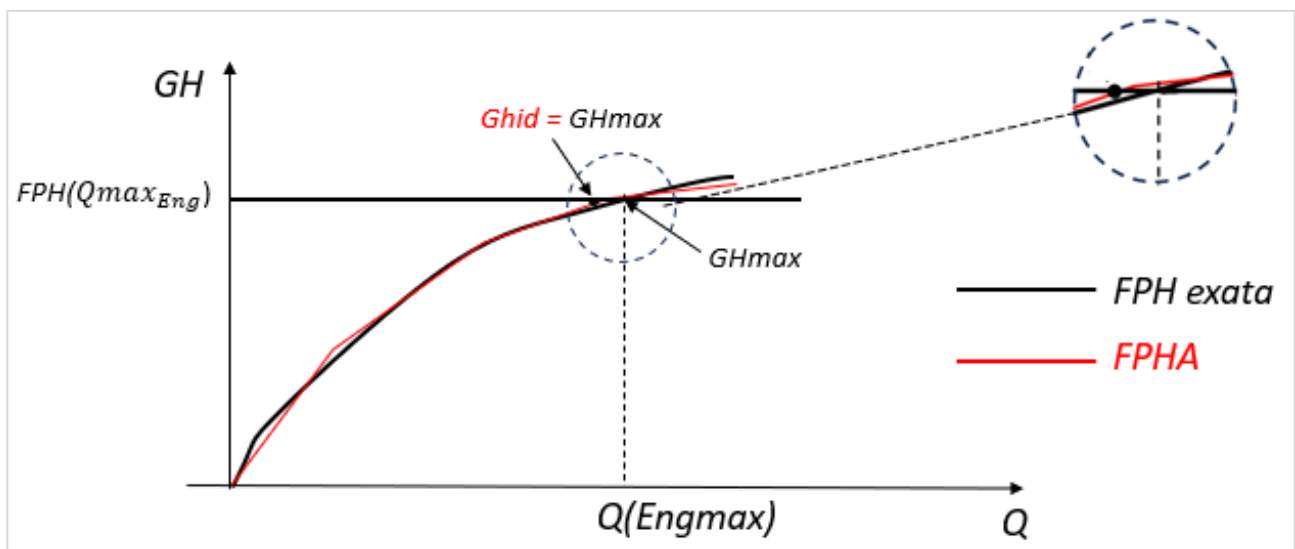


Figura 21-3 – Situação em que NÃO ocorre reserva negativa para a usina, em função de aplicação de restrição de reserva individual para a mesma.

#### 21.1.4.2 Ocorrência de reserva negativa devido a desvios de resultados entre a penúltima e a última resolução do problema

Conforme descrito na seção 26, a resolução do problema no DESSEM envolve uma sequência de PLs e MILPs, onde há atualização no cálculo do engolimento máximo entre duas resoluções sucessivas do problema (vide seção 9.16.2) e, conseqüentemente, também da potência disponível para fins de reserva, como descrito na seção 21.1.3. O resultado final impresso no arquivo “pdo\_reserva” é o obtido no último PL, denominado de “PL para cálculo do CMO”, cujos valores de engolimento máximo e de reserva disponível são os obtidos com os resultados do penúltimo PL ou MILP, conforme ilustrado na Figura 21-4.

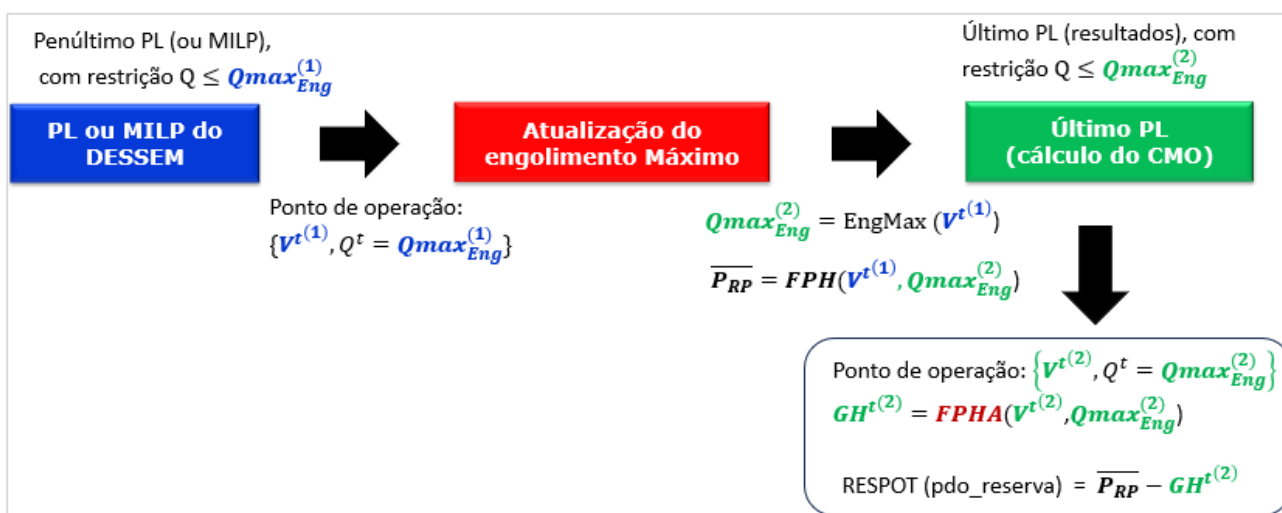


Figura 21-4 – Atualização do engolimento máximo ( $Q_{Eng}^{(2)}$ ) e da potência disponível para reserva ( $\overline{P}_{RP}$ ) entre a penúltima ((1), em azul) e última ((2), em verde) resolução do problema.

Esta atualização também pode fazer com que haja contribuições negativas para a reserva de algumas usinas, mesmo quando o desvio da função de produção é negativo. Isso pode ocorrer devido a uma elevação do volume armazenado (e, conseqüentemente, também da altura de queda) da usina entre a penúltima e última resolução do problema. Isto faz com que, para um mesmo valor de turbinamento (por exemplo, o turbinamento referente ao engolimento máximo), a geração obtida na última resolução do problema ultrapasse a potência máxima para reserva ( $\overline{P}_{RP}$ ), que foi calculada para fins de potência disponível na restrição de reserva com base no resultado do penúltimo PL/MILP, onde o volume armazenado era menor. Esta situação é ilustrada na Figura 21-5, onde as variações de volume foram propositalmente amplificadas para facilitar a visualização. Ressalta-se que, na grande maioria das vezes, não se esperam variações relevantes de volume das usinas nas iterações finais de resolução do problema, portanto não se espera que o problema apontado ocorra com frequência.

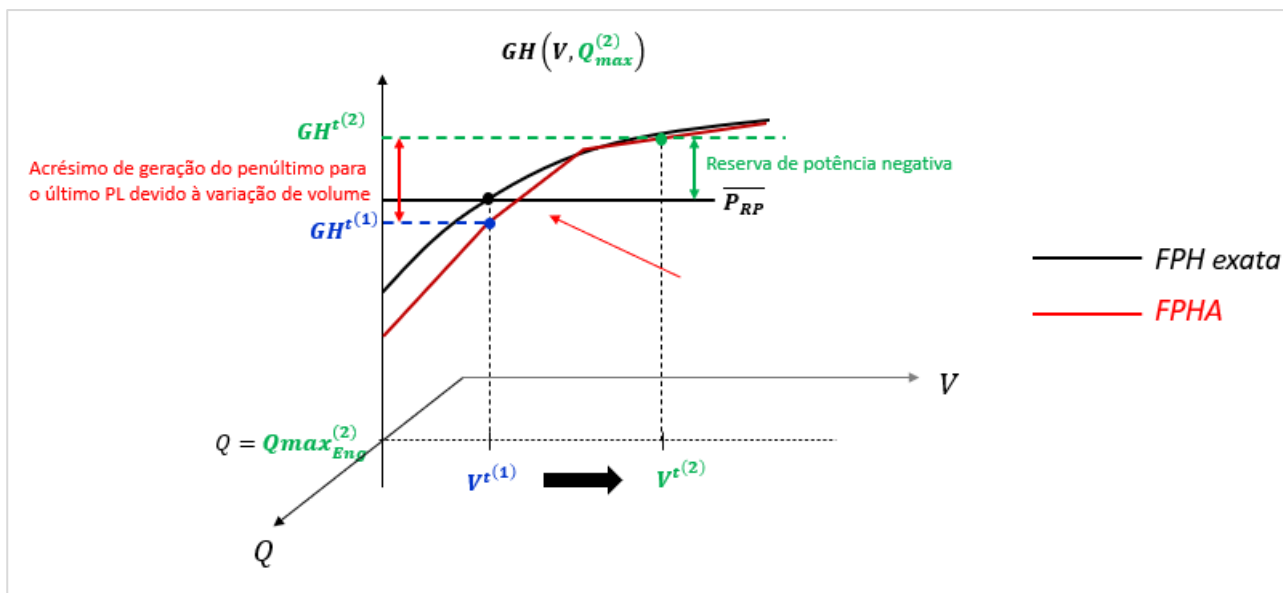


Figura 21-5 - Contribuição negativa para a reserva devido a variações de volume entre a penúltima e a última resolução do problema.

## 21.2 Restrições elétricas especiais

Existem áreas no sistema elétrico brasileiro que merecem especial atenção, por problemas de transmissão, sobrecarga, controle de tensão ou suporte de reativo. Para considerar essas questões nos estudos/períodos sem rede, ou até mesmo nos estudos com rede (já que as tensões e potências reativas não são representados na modelagem DC), podem-se inserir no problema as chamadas restrições elétricas especiais. No caso particular onde não se considera a rede elétrica, estas restrições permitem que se representem gargalos de transmissão dentro de cada submercado, como ilustrado na

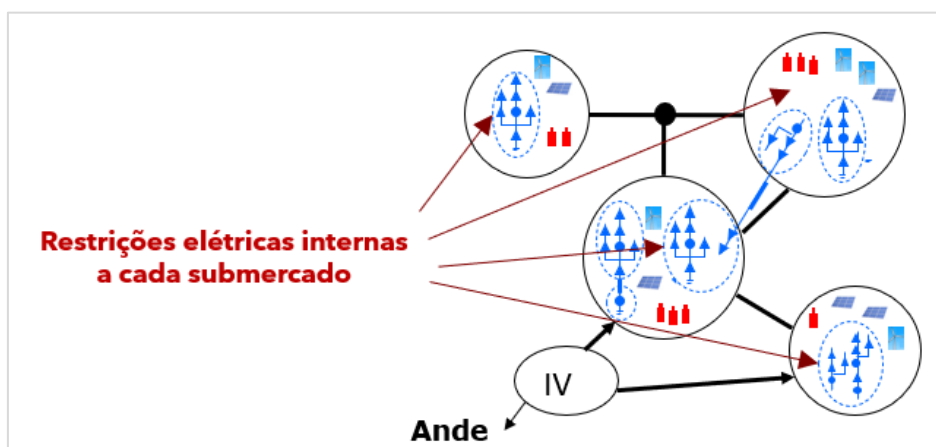


Figura 21-6 – Esquema ilustrativo da aplicação de restrições elétricas especiais envolvendo diversas gerações em cada submercado.

Essas restrições são representadas por uma expressão (fórmula), que é definida como a soma ponderada das injeções de potências de um subconjunto de usinas hidrelétricas, usinas térmicas, contratos de importação/exportação, usinas eólicas/solares ou intercâmbios do sistema, ou outros componentes de geração ou carga que injetam (consomem) energia em determinados pontos do sistema, cada uma com determinado fator de participação, que pode ser positivo ou negativo. Essas restrições são consideradas em cada período do estudo ao longo do seu horizonte de aplicação.

A expressão matemática para as restrições elétricas é dada por:

$$\begin{aligned} \underline{RE}_i^t \leq & \sum_{j \in REH_i} \kappa_{RE,H_i}^j GH_j^t + \sum_{j \in RET_i} \kappa_{RE,T_i}^j GT_j^t + \sum_{j \in REI_i} \kappa_{RE,I_i}^j Int_{sfr(j),sto(j)}^t \\ & + \sum_{j \in RECI_i} \kappa_{RE,CI_i}^j Eci_j^t + \sum_{j \in RECE_i} \kappa_{RE,CE_i}^j Ece_j^t \\ & + \sum_{j \in REEO_i} \kappa_{RE,EO_i}^j Geol_j^t + \sum_{j \in RESO_i} \kappa_{RE,SO_i}^j Gsol_j^t \leq \overline{RE}_i^t, \end{aligned} \quad (21.5)$$

$$i = 1, \dots, NRE, t = 1, \dots, T,$$

onde  $NRE$  é o número de restrições elétricas especiais;  $\kappa_{RE,H_i}^j$ ,  $\kappa_{RE,T_i}^j$ ,  $\kappa_{RE,I_i}^j$ ,  $\kappa_{RE,CI_i}^j$  e  $\kappa_{RE,CE_i}^j$ , são os fatores associados a cada usina hidrelétrica, térmica, intercâmbio, contrato de importação ou contrato de exportação  $j$  pertencente a restrição elétrica;  $REH_i$ ,  $RET_i$ ,  $REI_i$ ,  $RECI_i$  e  $RECE_i$  definem os conjuntos de elementos de cada um desses tipos, respectivamente, que pertencem à restrição, e os limites inferior e superior de cada restrição  $k$  em cada período  $t$  são dados por  $\underline{RE}_i^t$  e  $\overline{RE}_i^t$ , respectivamente.

Destaca-se a semelhança entre as restrições (21.5) e as restrições (22.1) e (22.2), que correspondem a limites de fluxo e de somatório de fluxos na rede elétrica, segundo uma modelagem DC: ambas as restrições possuem um termo independente e a participação de diversas injeções, cada uma com um fator de participação diferente. De fato, é possível, em princípio, informar todas as restrições de limite de fluxo nas linhas ou somatório de linhas pelo fluxo de potência DC através de restrições elétricas, bastando-se calcular por fora, de maneira explícita, todos os fatores de participação das gerações, e somando, no termo independente da restrição, as contribuições referentes às cargas.

É evidente que este não é o propósito das restrições RE, mas evidencia como estas podem ser utilizadas para representar algumas restrições da rede elétrica, não só nos períodos e estudos sem rede no modelo DESSEM, mas também nos modelos DECOMP e NEWAVE, que também dispõem essa funcionalidade. Estas restrições também podem ser utilizadas, de forma particular, para impor limites mínimos e máximos de geração individual para determinadas usinas. Finalmente, estas restrições também podem ser utilizadas para emular os elos HVDC (vide seção 7.5), assim como agregadores de carga em restrições de resposta da demanda

### 21.3 Restrições de meta de geração térmica ou intercâmbio

Conforme descrito na seção 5.3.1, um acoplamento complementar com o modelo DECOMP pode ser feito estabelecendo-se metas semanais de geração média para as usinas térmicas (expressão (21.6)) ou recebimentos líquidos médios para cada submercado (expressão (21.7)). Essas restrições são formuladas como segue:

$$\sum_{t=1}^T GT_i^t + \Delta META_{T,inf_i} - \Delta META_{T,sup_i} = META_{T_i}, \quad (21.6)$$

$$\sum_{t=1}^T \sum_{s \in \Omega_{S_i}} (Int_{s,i}^t - Int_{i,s}^t) + \Delta META_{I,inf_i} - \Delta META_{I,sup_i} = META_{S_i}. \quad (21.7)$$

onde  $\Delta META_{T,inf_i}$  e  $\Delta META_{T,sup_i}$  são os desvios para cima e para baixo ocorridos em relação às metas de geração térmica determinadas, e  $\Delta META_{S,inf_i}$ ,  $\Delta META_{S,sup_i}$  são os desvios para cima e para baixo ocorridos em relação às metas de recebimento dos submercados determinadas. Todas essas variáveis são decisões do modelo.

## 22 RESTRIÇÕES OPERATIVAS DA REDE ELÉTRICA

Além da modelagem em si da rede elétrica, descrita no capítulo 15, uma série de restrições devem ser consideradas, conforme descrito a seguir.

### 22.1 Restrições de limites de fluxo nas linhas

A injeção líquida  $p_i^t$  em cada barra  $i$  e período  $t$ , presente nas equações de balanço (15.5) corresponde à soma das gerações hidrelétricas, termoelétricas, energias importada e exportada, gerações de pequenas usinas, geradores eólicos e geradores solares conectados à barra  $i$ , subtraída da soma do consumo nas estações de bombeamento e cargas conectadas a essa barra. Colocando os ângulos  $\theta^t$  das barras em função dessas injeções líquidas, obtêm-se fatores de participação  $\kappa_{B_i}^l$  para a geração/carga de cada barra  $i$  no fluxo da linha  $l$ , como descrito em [62], [9]. Com isso, os fluxos nas linhas se tornam função direta das variáveis de decisão do problema de otimização, e as restrições de limite de fluxo podem ser inseridas sem a necessidade de inclusão das variáveis associadas aos ângulos das barras, como mostrado a seguir:

$$\begin{aligned}
 & -\bar{f}_l + \sum_{i=1}^{NB} \kappa_{B_i}^l d_i^t \\
 \leq & \sum_{i=1}^{NB} \kappa_{B_i}^l \left[ \sum_{j \in \Omega_{BH_i}} gh_j^t + \sum_{j \in \Omega_{BT_i}} gt_j^t - \sum_{j \in \Omega_{BEB_i}} Cons_{EB_j} Eb_j^t \right. \\
 & + \sum_{j \in \Omega_{BPQ_i}} G_{PQ_j}^t + \sum_{j \in \Omega_{BCI_i}} Eci_j^t - \sum_{j \in \Omega_{BCE_i}} Ece_j^t + \sum_{j \in \Omega_{BEOL_i}} G_{eol_j}^t \\
 & \left. + \sum_{j \in \Omega_{BSOL_i}} G_{solar_j}^t \right] \\
 \leq & \bar{f}_l + \sum_{i=1}^{NB} \kappa_{B_i}^l d_i^t
 \end{aligned} \tag{22.1}$$

onde, de forma análoga a que foi feito anteriormente para os submercados, os conjuntos  $\Omega_{BH_i}$ ,  $\Omega_{BT_i}$ ,  $\Omega_{BEB_i}$ ,  $\Omega_{BPQ_i}$ ,  $\Omega_{BCI_i}$ ,  $\Omega_{BCE_i}$ ,  $\Omega_{BEOL_i}$ ,  $\Omega_{BSOL_i}$  correspondem ao conjunto de usinas hidrelétricas, unidades térmicas, estações de bombeamento, pequenas usinas, contratos de importação e contratos de exportação, usinas eólicas e usinas solares conectadas à barra  $i$ .

### 22.2 Restrições de limites no somatório de fluxo nas linhas (restrições de segurança estáticas)

Além das restrições de limite de fluxo, podem ser consideradas restrições de somatório de fluxos nos circuitos e/ou injeções nas barras da rede. Estas restrições são conhecidas como "restrições

DREF", "inequações" ou "restrições de segurança estáticas" (security constraints (SC)) do sistema, e procuram representar algumas condições de operação da rede elétrica que precisam ser atendidas, por condições de segurança. A formulação matemática destas restrições é dada por:

$$\underline{SC}_i^t + \sum_{b \in SCB_i} \kappa_{SCB_i}^b d_b^t \leq \sum_{b \in SCB_i} \kappa_{SCB_i}^b g_b^t + \sum_{l \in SCL_i} \kappa_{SCL_i}^l f_l^t \leq \overline{SC}_i^t + \sum_{b \in SCB_i} \kappa_{SCB_i}^b d_b^t \quad (22.2)$$

para  $i = 1, \dots, NSC$ ,  $t = 1, \dots, T$ , onde  $NSC$  é o número de restrições de segurança,  $\kappa_{SCB_i}^b$  e  $\kappa_{SCL_i}^l$  são os fatores associados, respectivamente à barra ou linha  $i$  pertencentes aos conjuntos  $SCB_i$  e  $SCL_i$  de barras e linhas na restrição, e  $\underline{SC}_i^t$  e  $\overline{SC}_i^t$  são os limites inferior e superior da restrição de segurança  $i$ , no período  $t$ .

Observa-se que as expressões para os fluxos  $f_l^t$  em cada linha  $l$  que pertence à restrição pode ser substituída pela expressão do fluxo da linha em função das injeções e cargas, utilizada em (22.1). Em consequência, da mesma forma que as restrições (22.1), as restrições (22.2) se tornam uma expressão linear em função das injeções no sistema.

### **22.3 Restrições de segurança elétrica (DREF) ou restrições elétricas especiais (RE) dinâmicas por tabela**

As restrições de segurança elétrica dinâmica por tabela correspondem a limites dinâmicos, definidos por tabela, impostos a determinadas restrições de somatório de fluxo (restrições de segurança), que visam garantir a estabilidade da rede elétrica do sistema. Estes limites dependem dos valores de determinados parâmetros, como por exemplo, fluxos em linhas de transmissão, ou de dados fixos, como por exemplo, a carga em determinadas áreas. Um exemplo de restrição de segurança dinâmica DREF definida por tabela é mostrado na Figura 22-1.

Em cada restrição, definem -se os seguintes componentes:

- **restrições DREF ou RE controladores:** são aquelas cujos valores são utilizados para definir os limites de outra restrição DREF ou RE;
- **restrições DREF ou RE controladas:** são aquelas cujos limites são definidos a partir dos valores de uma ou mais restrições DREF ou RE controladores;
- **parâmetros adicionais de carga:** as cargas em determinados submercados, ou no SIN como um todo, podem também ser utilizados como parâmetros controladores das restrições.

Conceitualmente, a formulação das restrições é idêntica a das restrições de segurança definidas em (22.2), com a diferença de que os limites das restrições são obtidos de forma dinâmica. Uma descrição detalhada dos tipos de restrições que são consideradas, assim como os tipos de parâmetros associados a cada uma delas pode ser consultada no Manual do Usuário do modelo DESSEM (registros RESLPP e RSTSEG) e no relatório técnico [11]

LIMITES DE RNE (MW)						
	Carga NE < 10.500		10.500 ≤ Carga NE < 12.000		Carga NE ≥ 12.000	
Faixa de Recebimento / Exportação Norte (RN / Exp. N)	(F) = Somatório do fluxo na transformação 500/230 kV de Igaporã III, no sentido de 230 kV para o 500 kV e do fluxo na LT 230 kV Igaporã II / Bom Jesus da Lapa II, no sentido de Igaporã II para Bom Jesus da Lapa II.					
	0 < F ≤ 600	600 < F ≤ 1.050	0 < F ≤ 600	600 < F ≤ 1.050	0 < F ≤ 600	600 < F ≤ 1.050
Exp. N ≥ 5.000	Limite = 40% da carga NE	Limite = 40% da carga NE	4.400 (1)	4.300 (1)	4.400	4.300
4.000 ≤ Exp. N < 5.000		4.300 (1)	4.300 (1)	4.300	4.300	
3.000 ≤ Exp. N < 4.000		4.200 (1)	4.200 (1)	4.200 (1)	4.200	4.200
2.000 ≤ Exp. N < 3.000		4.100 (1)	4.100	4.100	4.100	4.100
1.000 ≤ Exp. N < 2.000		3.900 (1)	4.000	3.900	4.000	3.900
0 ≤ Exp. N < 1.000	4.100 (1)	3.600 (1)	4.000	3.700	4.000	3.500
0 < RN ≤ 500	3.900 (1)	3.300 (1)	4.000	3.500	4.000	3.500
500 < RN ≤ 1.000	3.600 (1)	3.000 (1)	3.800	3.200	4.000	3.300
1.000 < RN ≤ 1.500	3.200 (1)	2.700 (1)	3.400	2.900	3.600	2.900

Figura 22-1 – Exemplo de restrição de segurança dinâmica da rede elétrica definida por tabela.

A consideração dessas restrições no problema de otimização é feita de forma iterativa, de acordo com o fluxograma da Figura 22-2.

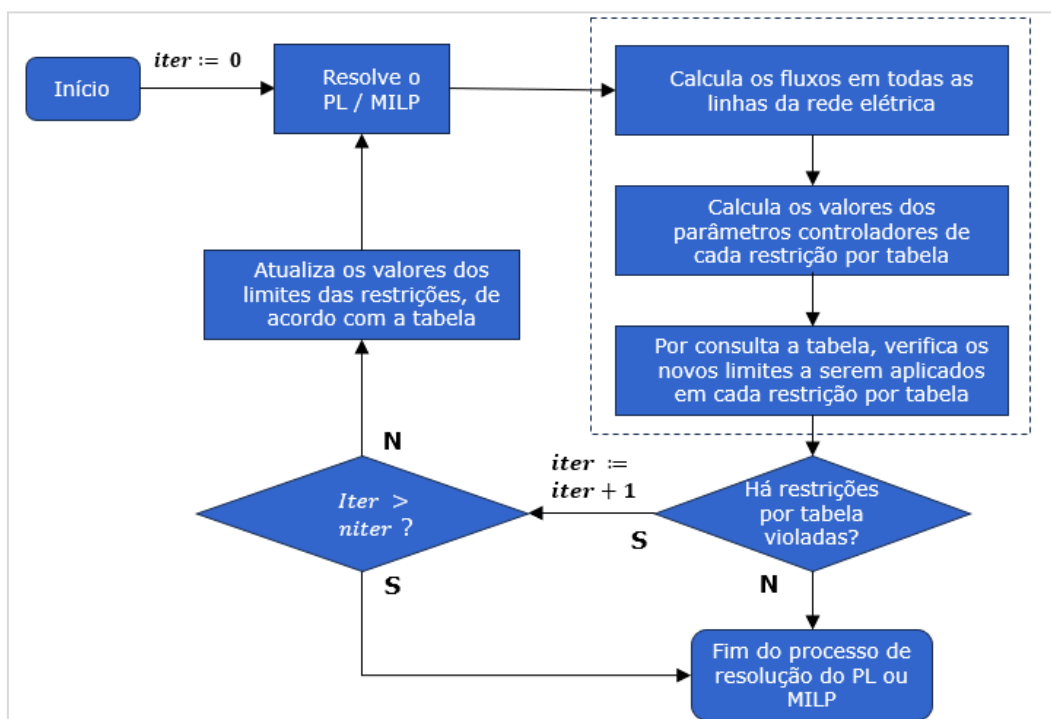
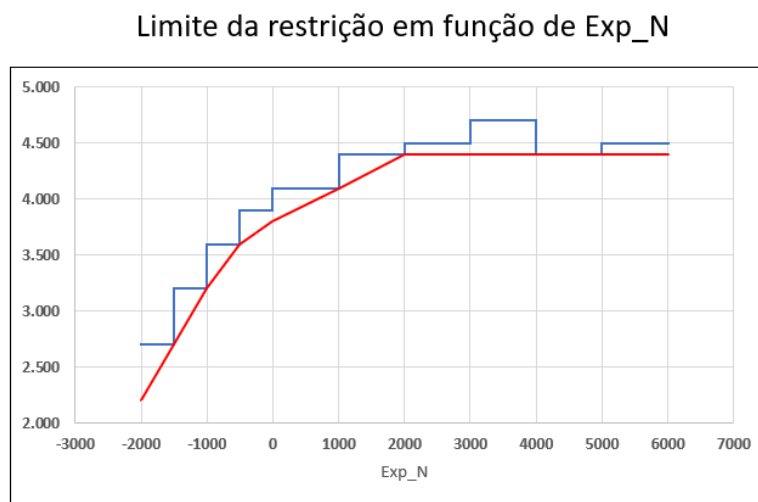


Figura 22-2 - Fluxograma para considerar limites das Restrições de Segurança por Tabela.

## 22.4 Restrições de segurança dinâmicas lineares por partes (LPP)

Dependendo do comportamento dos valores dos limites das restrições dinâmicas em função dos dados de entrada da tabela, é possível aproximar essas restrições por funções lineares por partes (LPP), como mostrado na Figura 22-3. Uma descrição mais detalhada de como essas regiões de segurança são construídas pode ser vista em [63].



**Figura 22-3 - Exemplo de uma restrição de segurança dinâmica da rede elétrica aproximada por uma função linear por partes.**

Nesta opção os limites das equações de somatório de fluxo (22.2) são variáveis do problema, sendo necessárias as seguintes adaptações na formulação dessas restrições:

$$SC_i^t = \sum_{b \in SCB_i} \kappa_{SCB_i}^b g_b^t + \sum_{l \in SCB_i} \kappa_{SCL_i}^l f_l^t - \sum_{b \in SCB_i} \kappa_{SCB_i}^b d_b^t, \quad (22.3)$$

$$SC_i^t \leq \overline{SC_{LPP_i}^t}, \quad (22.4)$$

$$\overline{SC_{LPP_i}^t} \leq \kappa_{SCLPP_{0i}}^k + \kappa_{SCLPP_{Pi}}^k VP_{SCLPP_i}^t, \quad (22.5)$$

para cada restrição de segurança  $i$  controlada por parâmetro de forma linear por partes, onde:

$\overline{SC_{LPP_i}^t}$ : limite da restrição obtido pelo modelo, para a restrição  $i$  e período  $t$ ;

$\kappa_{SCLPP_{0i}}^k$  e  $\kappa_{SCLPP_{Pi}}^k$  termos independente e linear do  $k$ -ésimo corte da restrição  $i$ ;

$VP_{SCLPP_i}^t$  o valor do parâmetro controlador da restrição  $i$ , no período  $t$ , que também é resultado da otimização.

A equação (22.3) define a expressão da restrição de segurança que será controlada (definida da mesma forma que as restrições na seção 22.2); a inequação (22.4) define o limite do fluxo, que passa a ser uma variável de decisão do modelo; o último conjunto de inequações (22.5) são as aproximações lineares por partes que relacionam o limite da restrição com o valor  $VP_i^t$  do parâmetro controlador.

Esse parâmetro controlador pode ser um fluxo no circuito, uma restrição de somatório de fluxos, uma restrição RE, a carga de um submercado, a carga total do sistema, ou a geração/carga de uma barra. Uma descrição detalhada do conjunto de restrições que são consideradas, assim como os tipos de parâmetros associados a cada uma delas pode ser consultada nos procedimentos de rede do ONS e no Manual do Usuário do modelo DESSEM.

## **22.5 Restrições de reserva de potência elétrica para as inequações de fluxo**

A Reserva de Potência Elétrica, também conhecida pelo jargão "Banda Morta", é uma redução no limite das restrições de segurança definidas em (22.2), de forma a manter uma margem de resguardo para situações de emergência. Neste caso, adiciona-se ao problema uma restrição do tipo:

$$SC_i^t \leq \overline{SC_{LPP}_i^t} - RPE_i^t \quad (22.6)$$

onde  $RPE_i^t$  é a reserva de potência elétrica estabelecida para a restrição de segurança  $i$  no período  $t$ .

## **22.6 Rampa para variação nos fluxos dos circuitos**

Esta funcionalidade limita a variação entre períodos de uma restrição de segurança, segundo a expressão:

$$-\underline{\Delta SC}_i^t \leq SC_i^t - SC_i^{t-1} \leq \overline{\Delta SC}_i^t \quad (22.7)$$

onde  $\overline{\Delta SC}_i^t$  e  $\underline{\Delta SC}_i^t$  são os valores máximos permitidos de rampa de acréscimo e decréscimo horários, respectivamente, na restrição de segurança  $i$ , para o período  $t$ .

## 23 RESTRIÇÕES OPERATIVAS HIDRÁULICAS

Correspondem a restrições operativas diversas para as usinas hidrelétricas, estações de bombeamento e seções de rio, que podem variar com o período de tempo. Ressalta-se que restrições adicionais às usinas hidrelétricas podem ser consideradas, utilizando as restrições operativas genéricas descritas no capítulo 24..

### 23.1 Retiradas de água para outros usos

Consiste em representar retiradas de água à montante dos reservatórios para outros usos da água (irrigação, abastecimento etc.). Essas restrições podem ser definidas para cada usina hidrelétrica  $i$ , com valores diferentes de retirada  $Q_{out_i}^t$  em cada período de tempo  $t$ . A representação da retirada de água na equação de balanço hídrico é apresentada na expressão (9.13).

### 23.2 Enchimento de volume morto

O enchimento de volume morto é representado através de uma vazão mínima  $Q_{ench_i}^t$  que deve ser armazenada, em cada intervalo de tempo, para todas as usinas que estejam enchendo o volume morto. A partir desta vazão, o modelo calcula volumes meta mínimos de modo que o volume armazenado no reservatório da usina em cada intervalo seja, no mínimo, igual a estes valores. Também pode ser imposta uma vazão  $Q_{desc_i}^t$  de descarga de fundo para a usina, em cada período de tempo, para evitar que haja interrupção completa do fluxo de água no rio imediatamente a jusante da usina que está enchendo volume morto.

A equação de balanço hídrico para uma usina enchendo volume morto é expressa por:

$$\begin{aligned}
 Q_{ench_i}^t + Q_{desc_i}^t = & \\
 = \zeta^t & \left[ \left( I_i^t + \sum_{j \in M_i} (Q_j^t + S_j^t) + \sum_{j \in M_{tv_i}} (Q_j^{t-\tau_{ji}} + S_j^{t-\tau_{ji}}) \right. \right. \\
 & \left. \left. + \sum_{j \in M_{eb_i}} Q_{b_j}^t + \sum_{j \in M_{dv_i}} Q_{dv_j}^t + \sum_{j \in Ch_i} Q_{ch_{ji}}^t \right) - \left( \sum_{j \in J_{eb_i}} Q_{b_j}^t \right) \right] \quad (23.1)
 \end{aligned}$$

onde na esquerda tem-se a vazão líquida total que deve afluir ao reservatório para atender ao seu enchimento e à descarga de fundo, e na direita tem-se os termos de (9.13), com exceção do turbinamento, vertimento e desvio (pois a usina não está operando ainda) e da evaporação, já que o polinômio volume cota não está calibrado para valores de armazenamento inferiores ao volume mínimo  $\underline{V}_i$ , conforme descrito em [48].

### 23.3 Variação Máxima de cota em seções de rio (ex: Régua 11)

Essas restrições consistem em controlar o nível em algumas seções de rio importantes ao longo da cascata. Dois tipos de restrições podem ser considerados: limite de cota e de variação.

As restrições associadas à Régua 11 são consideradas através da inclusão das restrições de variação horária e/ou diária no nível da Régua 11, que são estabelecidas pelo acordo tripartite entre Brasil, Argentina e Paraguai:

- o nível na Régua 11 pode variar no máximo 0,5 metro ao longo do período de uma hora;
- o nível na Régua 11 pode variar no máximo dois metros ao longo de qualquer intervalo igual ou inferior a 24 horas.

A formulação dessas restrições é feita definindo-se a régua 11 como uma dada seção de rio  $i$ , que tem um conjunto  $M_{sr_i}$  de usinas imediatamente à montante composto pelas usinas de Itaipu e Baixo Iguaçu. A Figura 23-2 mostra a topologia a montante da Régua 11, e o trecho dos procedimentos de rede do ONS que se referem às restrições a serem atendidas nesta seção.

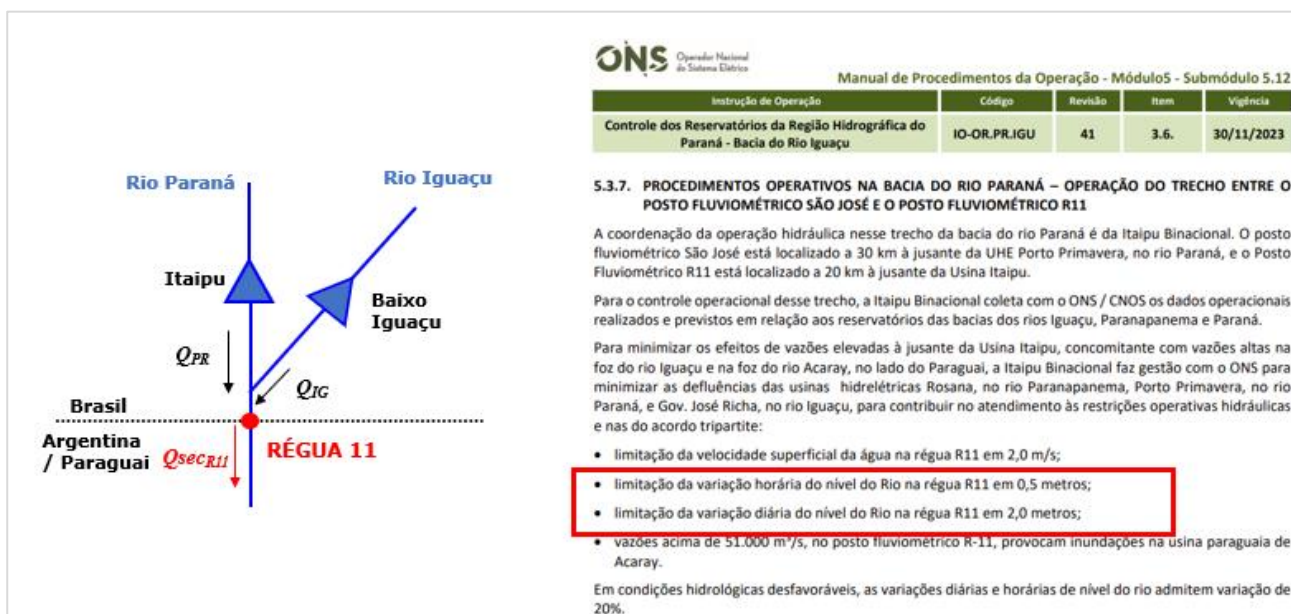


Figura 23-2 – Topologia hidráulica a montante da seção da Régua 11, e procedimentos operativos do ONS em relação às restrições de variação de cota na Régua 11 (fonte: ONS)

Cada usina  $j$  à montante desta seção  $i$  contribui com um fator  $\kappa_{MSR_i}^j$  para a vazão defluente na seção do rio, como mostra a equação a seguir:

$$Q_{SR_i}^t = \sum_{j \in M_{sr_i}} \kappa_{MSR_i}^j (Q_j^t + S_j^t) \quad (23.2)$$

As restrições de variação horária  $\Delta h_{SR_i}^h$  e diária  $\Delta h_{SR_i}^d$  na cota da seção são formuladas conceitualmente como:

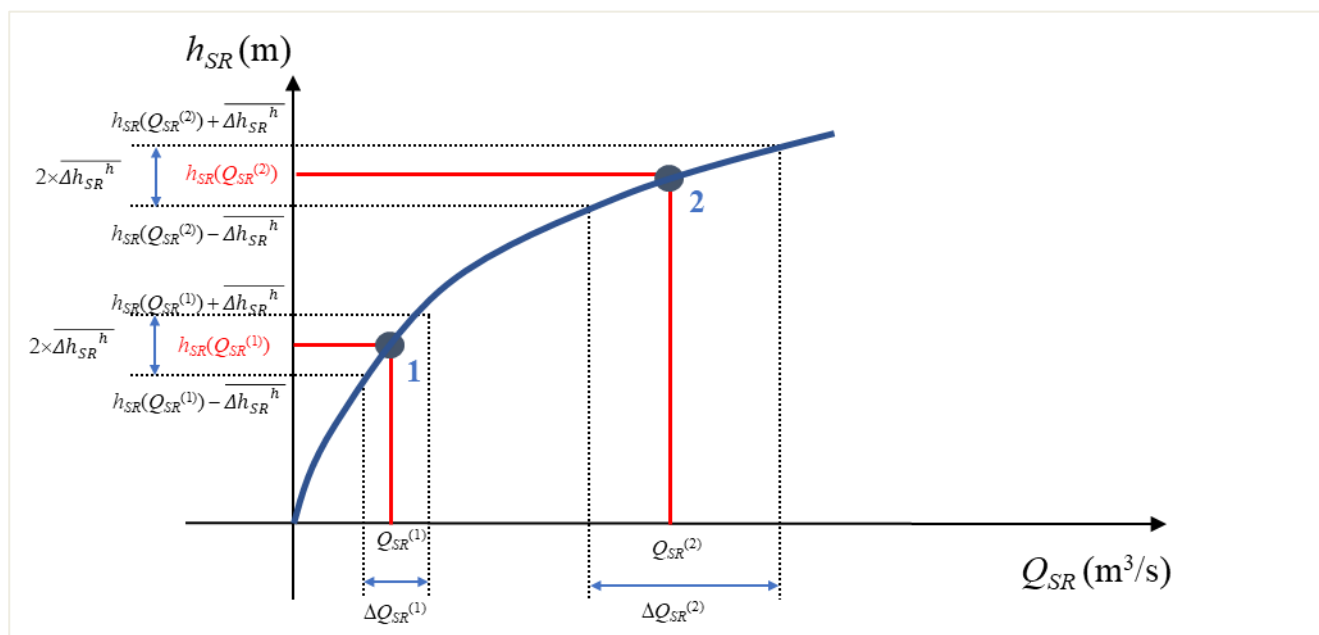
$$-\overline{\Delta h_{SR_i}^h} \leq \Delta h_{SR_i}^h = h_{SR_i}^t - h_{SR_i}^{t-1} \leq \overline{\Delta h_{SR_i}^h} \quad (23.3)$$

$$-\overline{\Delta h_{SR_i}^d} \leq \Delta h_{SR_i}^d = h_{SR_i}^t - h_{SR_i}^{t-24} \leq \overline{\Delta h_{SR_i}^d} \quad (23.4)$$

Uma vez que a cota na seção não é uma variável explícita no problema de otimização, constrói-se, por meio de regressão linear, funções que relacionam, para cada valor de vazão  $Q_{SR_i}^t$ , as variações máxima horária e diária permitidas na vazão da seção para que as variações máximas respectivas de nível  $\overline{\Delta h_{SR_i}^h}$  e  $\overline{\Delta h_{SR_i}^d}$  não sejam violadas, conforme descrito a seguir. Para simplificar a notação, será omitido, daqui em diante, o índice  $i$  da seção de rio

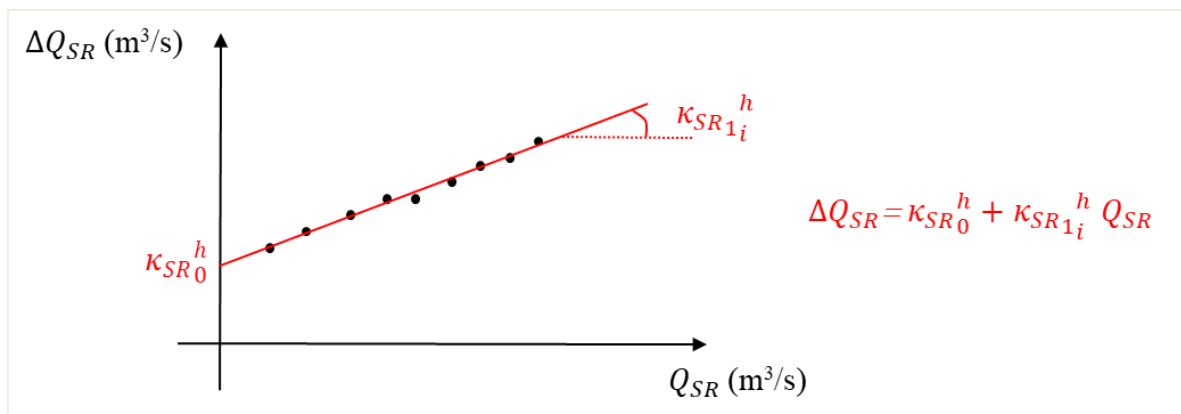
### 23.3.1 Restrições de variação máxima horária

A variação máxima horária na cota da seção, denotada  $\overline{\Delta h_{SR}^h}$ , é um valor fixo, em metros. Desta forma, a estratégia proposta para considerar estas restrições no problema de Programação da Operação (PDO) consiste em determinar, para cada valor  $Q_{SR}$  de vazão na seção (medido em  $m^3/s$ ), o comprimento de intervalo  $\Delta Q_{SR}^h$  que leva a uma variação de  $\pm \overline{\Delta h_{SR}^h}$  em torno da cota  $h_{SR}$ , que é calculada a partir do polinômio não linear  $h_{SR}(Q_{SR})$ , que, no caso da Régua 11 de Itaipu, é fornecido nos registros “R11”. Com isto, define-se uma função  $\Delta Q_{SR}^h(Q_{SR})$ , que indica, para cada valor de  $Q_{SR}$ , a diferença  $\Delta Q_{SR}^h$  entre as vazões máxima e mínima na vazão da seção que correspondem à variação máxima especificada  $\overline{\Delta h_{SR}^h}$  na cota da seção, para cima ou para baixo, como ilustrado Figura 23-3.



**Figura 23-3 - Cálculo da diferença entre as vazões máxima e mínima da seção SR em torno de cada ponto 1 e 2, de forma a atender a restrição de variação máxima  $\pm \Delta h_{SR(max)}$  de cota.**

Ao calcular os valores desta função em um conjunto de pontos para  $Q_{SR}$  (na Figura 23-3 ilustrou-se o cálculo para apenas dois pontos), obtém-se uma relação quase linear, a partir da qual se ajusta, pela técnica de mínimos quadrados, uma reta de regressão. A Figura 23-4 ilustra os coeficientes angular e linear  $\kappa_{SR_0}^h$  e  $\kappa_{SR_1}^h$  obtidos para essa reta, onde o supra-índice “h” indica que a reta se refere ao limite horário de variação<sup>24</sup>



**Figura 23-4 - Regressão linear para obtenção dos coeficientes da aproximação linear para a restrição de variação de cota horária na seção de rio**

Com isto, pode-se escrever, tomando como exemplo essa restrição de variação horária, a relação:

$$\Delta Q_{SR} = \kappa_{SR_0}^h + \kappa_{SR_1}^h Q_{SR} \quad (23.5)$$

que indica, para cada valor da variável  $Q_{SR}$ , o intervalo de comprimento  $\Delta Q_{SR}^h$ , centrado<sup>25</sup> no ponto  $Q_{SR}$ , no interior do qual esta variável pode oscilar ao longo de uma hora, partindo do valor  $Q_{SR}$ , de forma a não ultrapassar o limite  $\overline{\Delta h_{SR}^h}$  para a variação na cota em R-11.

Ressalta-se que o intervalo total de variação  $\Delta Q_{SR}^h$  obtido para a seção de rio, tem comprimento aproximadamente igual a duas vezes a variação permitida, já que se refere a um intervalo de comprimento  $2 \cdot \overline{\Delta h_{SR}^h}$  para a cota. Portanto, as restrições de máxima variação horária devem ser escritas da seguinte forma:

$$-\frac{\Delta Q_{SR}^H(Q_{SR}^{t-1})}{2} \Delta_t \leq Q_{SR}^t - Q_{SR}^{t-1} \leq \frac{\Delta Q_{SR}^H(Q_{SR}^{t-1})}{2} \Delta_t, \quad t = 1, \dots, T. \quad (23.6)$$

<sup>24</sup> Coeficientes similares são obtidos para a restrição de variação diária.

<sup>25</sup> ou seja, a partir do ponto referente a  $h_{R11}^H$ , considerou na regressão um intervalo de comprimento  $\Delta h_{R11(max)}$  para cima e para baixo, em torno de a  $h_{R11}^H$ .

Combinando as duas inequações obtém-se a seguinte formulação para as restrições a serem adicionadas ao problema de programação diária da operação (PDO) do DESSEM, a fim de representar a máxima variação horária na cota na seção de rio:

$$-\frac{[\kappa_{SR_0}^h + \kappa_{SR_1}^h Q_{R11}^{t-1}]}{2} \Delta_t \leq Q_{R11}^t - Q_{R11}^{t-1} \leq \frac{[\kappa_{SR_0}^h + \kappa_{SR_1}^h Q_{R11}^{t-1}]}{2} \Delta_t$$

que, após arrumação conveniente dos termos, resultam nas expressões:

$$\Rightarrow \begin{cases} Q_{R11}^t - \left(1 - \frac{\kappa_{SR_1}^h}{2} \Delta_t\right) Q_{R11}^{t-1} \geq -\frac{\kappa_{SR_0}^h}{2} \Delta_t \\ Q_{R11}^t - \left(1 + \frac{\kappa_{SR_1}^h}{2} \Delta_t\right) Q_{R11}^{t-1} \leq \frac{\kappa_{SR_0}^h}{2} \Delta_t. \end{cases} \quad (23.7)$$

Por simplicidade de exposição, omitiu-se o índice  $t$  para os coeficientes de regressão  $\kappa_{SR_0}^h$  e  $\kappa_{SR_1}^h$ , mas ressalta-se que estes podem ser variáveis por período, visto que o limite de variação máxima horária  $\overline{\Delta h_{SR}^h}$  é dinâmico no tempo. Ressalta-se também que, como a discretização temporal no DESSEM é variável ao longo do estudo, a variação máxima para cada período  $t$  corresponde a  $\overline{\Delta h_{SR}^h} \times \Delta_t$ , onde  $\Delta_t$  é a duração do período  $t$ .

### 23.3.2 Restrições de variação máxima diária

No caso da restrição de variação máxima diária, o nível na seção pode oscilar no máximo no valor de  $\overline{\Delta h_{SR}^d}$  ao longo de qualquer janela de tempo igual ou inferior a 24 horas compreendido ao longo do horizonte de estudo. Por esse motivo, o parâmetro de variação máxima  $\overline{\Delta h_{SR}^d}$  deve ser único e uniforme para todos os períodos. A expressão a seguir ilustra as inequações para as restrições de variação diária, onde os coeficientes  $\kappa_{SR_0}^d$  e  $\kappa_{SR_1}^d$  são obtidos de forma similar aos coeficientes de variação máxima horária:

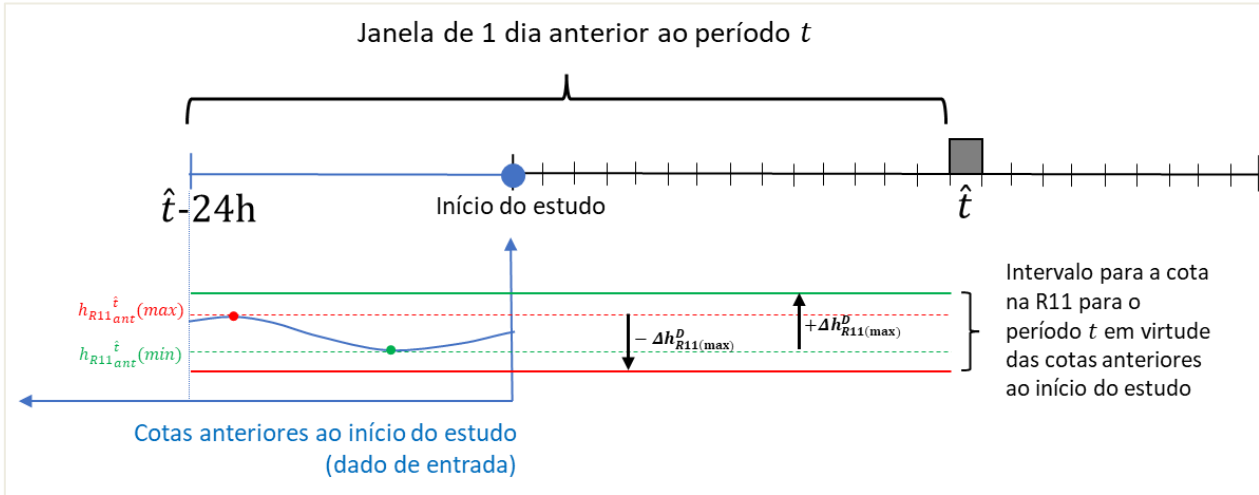
$$\Rightarrow \begin{cases} Q_{R11}^t - \left(1 - \frac{\kappa_{SR_1}^d}{2}\right) Q_{R11}^{t-k} \geq -\frac{\kappa_{SR_0}^d}{2} \\ Q_{R11}^t - \left(1 + \frac{\kappa_{SR_1}^d}{2}\right) Q_{R11}^{t-k} \leq \frac{\kappa_{SR_0}^d}{2}, \end{cases} \quad k = 1, \dots, 24, t = 1, \dots, T. \quad (23.8)$$

onde, nesta situação, não se multiplica pela duração do período (como em (22.7)) pelo fato de que a variação máxima considerada nessa modelagem (diária) entre dois instantes de tempo  $t$  e  $(t - k)$ . é a mesma, independente do valor de  $k$ .

Por simplicidade de exposição, o contador de restrições em (23.8) considera uma discretização horária. Entretanto, de forma geral estas restrições podem compreender uma quantidade inferior (superior) de períodos passados, conforme a discretização temporal compreenda intervalos com duração maior (menor) do que 1 hora.

### 23.4 Restrições para o primeiro dia de estudo

As restrições para cada período  $t$  pertencente ao primeiro dia devem ter um tratamento especial, visto que a janela de 24 horas anterior a este período pode incluir um intervalo anterior ao início do estudo. Esta questão é ilustrada na Figura 23-5.



**Figura 23-5 - Exemplo ilustrativo dos valores mínimo (linha vermelha) em máximo (linha verde) permitidos para a cota na seção no período  $t$ , em função das cotas anteriores ao início do estudo**

Por exemplo, em uma discretização horária, as restrições para um período  $\hat{t} < 24$  são as mostradas a seguir, onde o primeiro conjunto (23.9) refere-se às vazões anteriores ao período  $\hat{t}$ , que são variáveis de decisão do modelo, e o segundo conjunto (23.10) corresponde às vazões anteriores ao início do estudo, que são um dado de entrada para o modelo.

$$\Rightarrow \begin{cases} Q_{R11}^{\hat{t}} - \left(1 - \frac{\kappa_{SR1}^d}{2} \Delta_t\right) Q_{R11}^{\hat{t}-k} \geq -\frac{\kappa_{SR0}^d}{2} \Delta_t \\ Q_{R11}^{\hat{t}} - \left(1 + \frac{\kappa_{SR1}^d}{2} \Delta_t\right) Q_{R11}^{\hat{t}-k} \leq \frac{\kappa_{SR0}^d}{2} \Delta_t, \end{cases} , k = 1, \dots, \hat{t} - 1 \quad (23.9)$$

$$\Rightarrow \begin{cases} Q_{R11}^{\hat{t}} \geq -\frac{\kappa_{SR0}^d}{2} \Delta_t + \left(1 - \frac{\kappa_{SR1}^d}{2} \Delta_t\right) \tilde{Q}_{R11}^{-k} \\ Q_{R11}^{\hat{t}} \leq \frac{\kappa_{SR0}^d}{2} \Delta_t + \left(1 + \frac{\kappa_{SR1}^d}{2} \Delta_t\right) \tilde{Q}_{R11}^{t-k}, \end{cases} , k = 1, \dots, 24 - \hat{t} + 1 \quad (23.10)$$

Nesta segunda expressão, o termo  $\tilde{Q}_{R11}^{-k}$  corresponde à vazão na seção do rio na  $k$  –ésima hora anterior ao início do estudo. Observa-se que, como todas as inequações em (23.10) possuem o mesmo termo do lado esquerdo, variando apenas o lado direito (RHS), pode-se representá-las da seguinte forma:

$$\Rightarrow \begin{cases} Q_{R11}^{\hat{t}} \geq -\frac{\kappa_{SR0}^d}{2} \Delta_t + \max_k \left\{ \left( 1 - \frac{\kappa_{SR1}^d}{2} \Delta_t \right) \tilde{Q}_{R11}^{-k} \right\} \\ Q_{R11}^{\hat{t}} \leq \frac{\kappa_{SR0}^d}{2} \Delta_t + \min_k \left\{ \left( 1 + \frac{\kappa_{SR1}^d}{2} \Delta_t \right) \tilde{Q}_{R11}^{-k} \right\}. \end{cases} \quad (23.11)$$

A Figura 23-5 também indica a determinação dos valores máximo e mínimo da cota da seção de rio neste período  $\hat{t}$ , considerando os valores passados. Ou seja, varre-se o trecho anterior a 24 horas do período  $\hat{t}$ , que já foi realizado (histórico), e toma-se o máximo ( $h_{SR_{ant}}^{\hat{t}}(max)$ ) e mínimo ( $h_{SR_{ant}}^{\hat{t}}(min)$ ) valores de cota já ocorridos, que são utilizados como referência para calcular, respectivamente, os limites mínimo e máximo de cota para o período  $\hat{t}$ , considerando-se a máxima variação permitida para baixo e para cima. Ressalta-se que, no problema de otimização, serão considerados os valores de vazão na seção, conforme mostrado em (23.11).

Naturalmente, as expressões mostradas ao longo dessa seção correspondem a uma aproximação para as reais restrições  $-\Delta h_{SR}^h \leq h_{R11}^t - h_{R11}^{t-1} \leq \Delta h_{SR}^h, t = 1, \dots, T$ . Portanto, após a resolução do problema de otimização, é importante verificar o atendimento a essas restrições reais, considerado as expressões exatas, não lineares.

A descrição metodológica mais detalhada da modelagem dessas restrições pode ser consultada em [18], [52].

### 23.4.2 Verificação do atendimento às restrições de variação de variação de cota

As restrições (23.7) e (23.11) são inseridas no problema de otimização com variáveis de folga, que possuem custo elevado na função objetivo, de forma a permitir que sejam violadas, somente na hipótese de não ser possível atende-las (vide seção “Penalidades elevadas de violação de restrições” no Manual de Metodologia do DESSEM). Assim, após a resolução do problema de otimização, caso alguma dessas variáveis de folga seja diferente de zero, será considerado que houve uma **violação no PL (ou MILP)**.

Além disso, independentemente se houve ou não violação no PL, consultam-se os valores dos polinômios de quarto grau para a seção de rio, com os valores de vazão obtidos como resultado do DESSEM, para verificar o atendimento às expressões exatas de variação máxima. Caso se verifiquem violações superiores às permitidas, considera-se que houve uma **violação real** da restrição. O cálculo da variação máxima exata na cota da Régua 11 com base na variação máxima imposta na vazão dessa seção é feita através da seguinte expressão:

$$h_{R11}^t \leq h_{R11} \left( \hat{Q}_{R11}^{t-1} + \left( \frac{b_{R11}^H + a_{R11}^H \hat{Q}_{R11}^{t-1}}{2} \right) \Delta_t \right) \quad (23.12)$$

Portanto, há uma diferença conceitual entre uma violação no PL e uma violação na expressão exata. Embora uma violação grande da restrição do PL muito provavelmente será acompanhada por um par correspondente de violação da expressão real para o mesmo período (pelo fato de a restrição

do PL ser uma aproximação razoável da função exata), pode ocorrer de uma violação ser reportada em apenas um arquivo.

A seguir ilustra-se, para o caso genérico em que uma restrição  $f(x)$  não linear (em azul) é aproximada por um modelo linear por partes  $\tilde{f}(x)$  (em vermelho), as situações que podem ocorrer em relação a uma violação no PL (ou seja, para a curva em vermelho) e uma violação real (ou seja, para a curva azul) de uma restrição  $y \leq f(x)$  não linear, que é representada no problema de forma aproximada pela restrição  $y \leq \tilde{f}(x)$ .

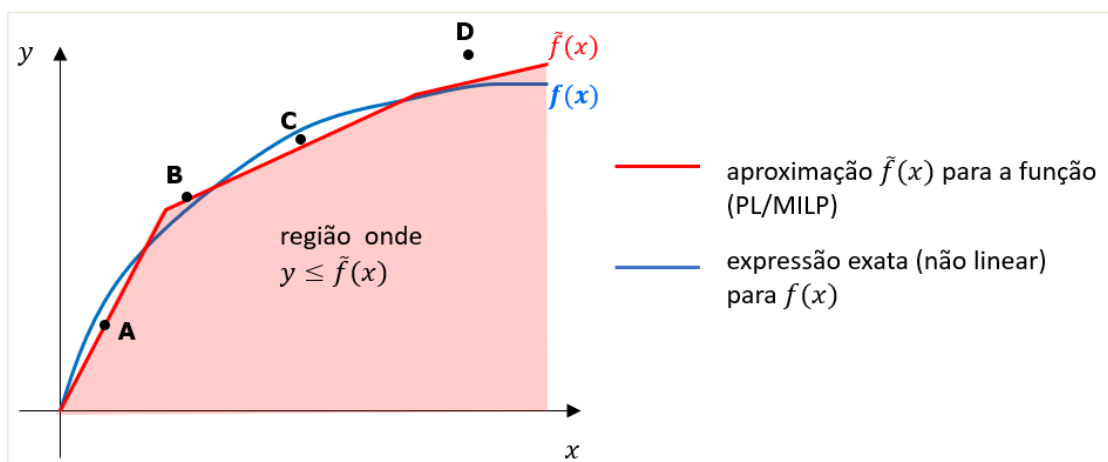


Figura 23-6 - Situações que podem ocorrer para as violações reportadas na avaliação de uma função não linear (em azul) aproximada por um modelo linear por partes (em vermelho).

### 23.5 Volume de espera para controle de cheias

Consistem em volumes máximos  $V_{VE_i}^t$  para os reservatórios, variáveis por período, que são inferiores à sua capacidade máxima de armazenamento, para fins de controle de cheias. Ou seja, é necessário deixar um espaço “extra” em alguns reservatórios, para acomodar grandes volumes de água que podem vir à montante e, desta forma, impedir que ocorram cheias em localidades à jusante deste reservatório, como ilustra a Figura 23-7 a seguir:

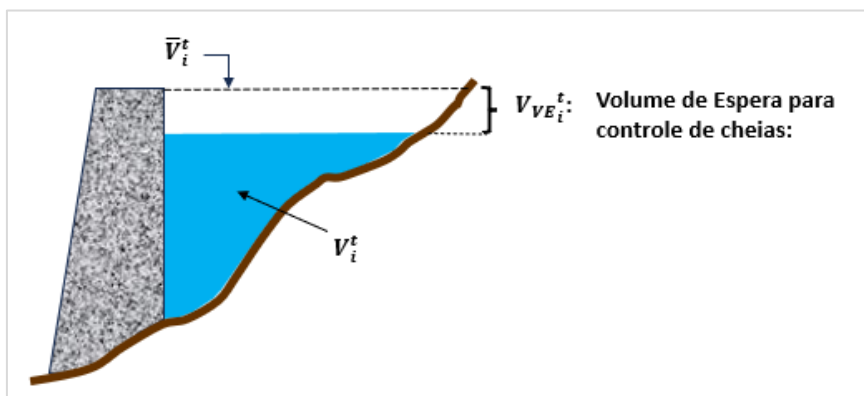


Figura 23-7 – Exemplo de volume de espera em um reservatório, para controle de cheias.

Estes volumes de espera impõem as seguintes restrições no problema de otimização:

$$V_i^t \leq V_{VE_i}^t \quad , t = 1, \dots, T \quad (23.13)$$

### 23.6 Restrições de vazão máxima no canal

É a restrição que limita a vazão no canal  $i$  de forma a atender os limites de segurança estabelecidos pela tabela mostrada na Figura 9-17:

$$Q_{ch_{ij}}^t \leq \overline{Q_{ch_{ij}}}(V_i^t, V_j^t, ) \quad (23.14)$$

onde  $\overline{Q_{ch_{ij}}}(.,.)$  representa a função, dada por uma tabela, que relaciona a vazão máxima no canal em função dos volumes  $V_i^t$  e  $V_j^t$  nos reservatórios  $i$  e  $j$  conectados pelo canal.

### 23.7 Restrições operativas de Limite instantâneas

Consistem em restrições operativas que estabelecem limites mínimo e máximo para expressões envolvendo uma ou mais variáveis hidráulicas, e que devem ser atendidas em cada período de tempo, conforme detalhado a seguir.

#### 23.7.1 Restrições hidráulicas de nível (cota) de armazenamento

As restrições de nível (cota) de armazenamento são restrições hidráulicas envolvendo níveis de montante dos reservatórios, expressas em metros:

$$RHN_{P_{min_i}}^t \leq \sum_{j \in RHN_{P_i}} \kappa_{RHN_{P_{ij}}} h_{mon_j}^t \leq RHN_{P_{max_i}}^t \quad (23.15)$$

onde  $RHN_{P_i}$  é o conjunto de variáveis que compõem a  $i$ -ésima restrição hidráulica de limite de nível instantânea,  $\kappa_{RHN_{P_{ij}}}$  é o fator associado ao  $j$ -ésimo componente da  $i$ -ésima restrição hidráulica de nível instantânea, e  $RHN_{P_{min_i}}^t$ ,  $RHN_{P_{max_i}}^t$  consistem, respectivamente, dos limites mínimo e máximo da  $i$ -ésima restrição hidráulica de nível, para o período  $t$ .

A variável cota  $h_{mon}$  não é uma variável de decisão explícita do problema de otimização (PL/MILP), mas sim uma função do volume armazenado no reservatório  $V$ , que é uma variável de decisão do problema. A relação entre  $h_{mon}$  e  $V$  é dada pelo polinômio cota-volume, descrito na seção 9.4.1. Este polinômio, de grau 4, é côncavo e monotonicamente crescente entre os limites inferior ( $\underline{V}$ ) e superior ( $\overline{V}$ ) físicos para o volume do reservatório. Portanto, há uma correlação biunívoca entre  $h_{mon}$  e  $V$ , o que faz com que a restrição (23.15) seja escrita da seguinte forma:

$$RHN_{P_{min_i}}^t \leq \sum_{j \in RHN_{P_i}} \kappa_{RHN_{P_{i,j}}} hmon_j(V_j^t) \leq RHN_{P_{min_i}}^t \quad (23.16)$$

Por ser não linear, não é possível representar o polinômio cota-volume de forma exata no PL/MILP. Porém, por ser côncavo, pode-se realizar uma aproximação de Taylor de primeira ordem para a cota, em torno de um volume de referência, para o qual se considera o volume  $V_{inic_j}$  da usina no início do estudo, fornecido como dado de entrada. Esta aproximação, ilustrada na Figura 23-8, é formulada em (23.17).

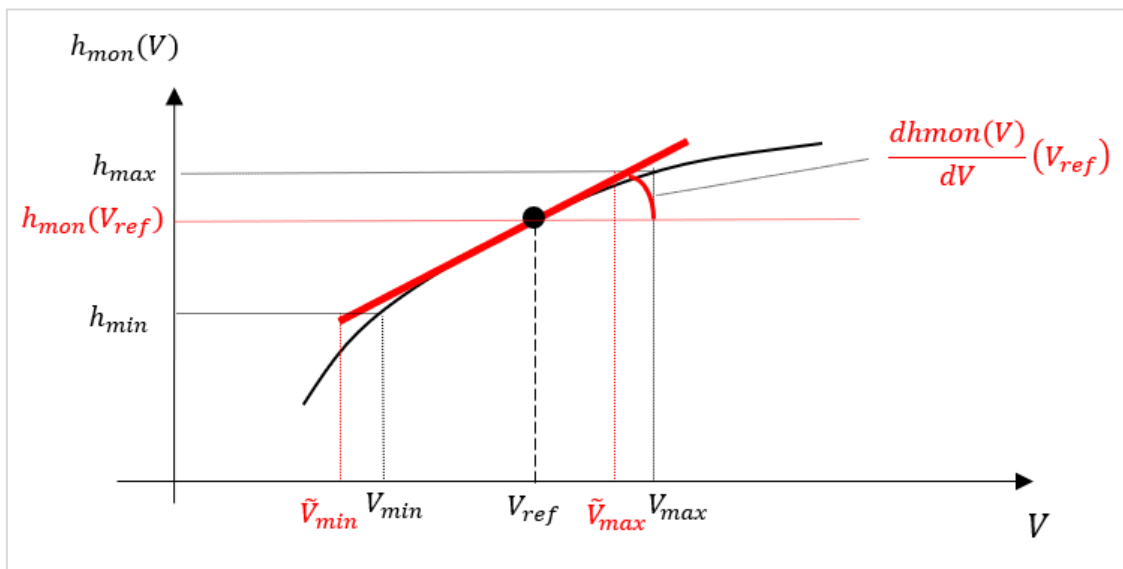


Figura 23-8 – Aproximação linear para a cota de montante, para modelagem das restrições de limite de cota

$$\begin{aligned} hmon_j(V_j) &\approx hmon_j(V_{ref_j}) + \frac{dhmon_j(V_j)}{dV}(V_{ref_j})(V_j - V_{ref_j}) = \\ &= href_j + dhref_j(V_j - V_{ref_j}) \end{aligned} \quad (23.17)$$

onde

$href_j$ : cota da usina  $i$  associada ao volume de referência ( $href_j = hmon_j(V_{ref_j})$ );

$dhref_j$ : derivada cota da função cota x volume da usina  $j$ , no ponto referente ao volume  $V_{ref_j}$ .

Com isso, a restrição pode ser escrita de forma linear, da seguinte forma:

$$\begin{aligned}
 h_{min} &\leq \sum_{j \in RHNP_i} \kappa_{RHNP_{i,j}} [h_{ref_j} + dh_{ref_i}(V_i - V_{ref_i})] \leq h_{max} \\
 \Rightarrow h_{min} - \Delta RHS &\leq \sum_{j \in RHNP_i} \kappa_{RHNP_{i,j}} dh_{ref_j} V_j \leq h_{max} - \Delta RHS \\
 &= h_{ref_j} + dh_{ref_j}(V_j - V_{ref_j})
 \end{aligned} \tag{23.18}$$

onde  $\Delta RHS$  é um “shift” que necessita ser dado no limite original da restrição, dado por:

$$\Delta RHS = \sum_{j \in RHNP_i} \kappa_{RHNP_{i,j}} [h_{inic_j} - dh_{inic_j} V_{inic_j}] \tag{23.19}$$

Observando-se a Figura 23-8, verifica-se que essa aproximação linear leva, para um determinado valor de cota  $h$ , à obtenção de um volume associado  $\tilde{V}$  que é menor do que o valor exato  $V$  dado pela curva não linear, como mostrado nos valores em vermelho na figura. Em consequência, essa aproximação resulta em um valor otimista (mais relaxado) para o limite inferior e pessimista (mais restritiva) para um limite superior de cota.

Portanto, uma primeira constatação importante desta análise é: as restrições podem não ser atendidas de acordo com as expressões exatas, mesmo quando atendidas no problema de otimização (PL/MILP)<sup>26</sup>.

### 23.7.2 Restrições de volume armazenado

As restrições de volume armazenado são restrições hidráulicas envolvendo volumes de montante dos reservatórios, expressas em  $hm^3$ :

$$RHV_{P_{min_i}}^t \leq \sum_{j \in RHVP_i} \kappa_{RHVP_{i,j}} V_j^t \leq RHV_{P_{max_i}}^t \tag{23.20}$$

onde  $RHV_{P_i}$ ,  $\kappa_{RHVP_{i,j}}$ ,  $RHV_{P_{min_i}}^t$ ,  $RHV_{P_{max_i}}^t$  são definidos de forma análoga às restrições de nível, porém aplicadas para as restrições de volume.

<sup>26</sup> Atualmente, esta aproximação linear é feita para todas as restrições de cota. Entretanto, caso uma restrição seja aplicada a uma usina de forma individual, pode-se transformar essa restrição em uma restrição de volume (vide seção 23.7.2, utilizando-se a expressão não linear do polinômio volume-cota, resultando em uma formulação exata. Este procedimento será implementado em uma versão futura do DESSEM.

### 23.7.3 Restrições de vazão

As restrições hidráulicas de vazão podem envolver diversas variáveis relacionadas à vazão nos reservatórios, expressas em m<sup>3</sup>/s:

$$\begin{aligned}
 RHQP_{min_i}^t \leq & \sum_{j \in RHQP_{Q_i}} \kappa_{RHQP_{Q_{i,j}}} Q_j^t + \sum_{i \in RHQP_{S_i}} \kappa_{RHQP_{S_{i,j}}} S_j^t + \sum_{i \in RHQP_{Dv_i}} \kappa_{RHQP_{Dv_{i,j}}} Dv_j^t \\
 & + \sum_{j \in RHQP_{Afl_i}} \kappa_{RHQP_{Afl_{i,j}}} Afl_j^t + \sum_{i \in RHQP_{Def_i}} \kappa_{RHQP_{Def_{i,j}}} Defl_j^t \\
 & + \sum_{j \in RHQP_{b_i}} \kappa_{RHQP_{b_{i,j}}} Qb_j^t \leq RHQP_{min_i}^t
 \end{aligned} \tag{23.21}$$

onde  $RHQP_{Q_i}$ ,  $RHQP_{S_i}$ ,  $RHQP_{Dv_i}$ ,  $RHQP_{Afl_i}$  e  $RHQP_{Def_i}$  consistem dos conjuntos de usinas hidrelétricas cujas variáveis de turbinamento, vertimento, desvio, afluência e defluência total, respectivamente, participam da restrição e  $RHQP_{b_i}$  é o conjunto de usinas elevatórias cuja variável de bombeamento participam da restrição. Analogamente às restrições das seções anteriores,  $\kappa_{RHQP_{Q_{i,j}}}$ ,  $\kappa_{RHQP_{S_{i,j}}}$ ,  $\kappa_{RHQP_{Dv_{i,j}}}$ ,  $\kappa_{RHQP_{Afl_{i,j}}}$ ,  $\kappa_{RHQP_{Def_{i,j}}}$  e  $\kappa_{RHQP_{b_{i,j}}}$  correspondem aos fatores referentes a cada tipo de variável e componente (usina hidrelétrica ou elevatória, conforme o caso) na restrição;  $RHQP_{min_i}^t$  e  $RHQP_{max_i}^t$  são os limites da restrição, para o período  $t$ .

A afluência  $Afl_j^t$  e defluência  $Def_j^t$  de uma usina hidráulica  $j$  são definidas por:

$$Afl_j^t = I_j^t + \sum_{k \in M_i} (Q_k^t + S_k^t) + \sum_{k \in M_{tv_i}} (Q_k^{t-\tau_{kj}} + S_k^{t-\tau_{kj}}) + \sum_{k \in M_{dv_i}} Q_{dv_k}^t \tag{23.22}$$

$$Def_j^t = Q_j^t + S_j^t \tag{23.23}$$

### 23.7.4 Restrições de geração

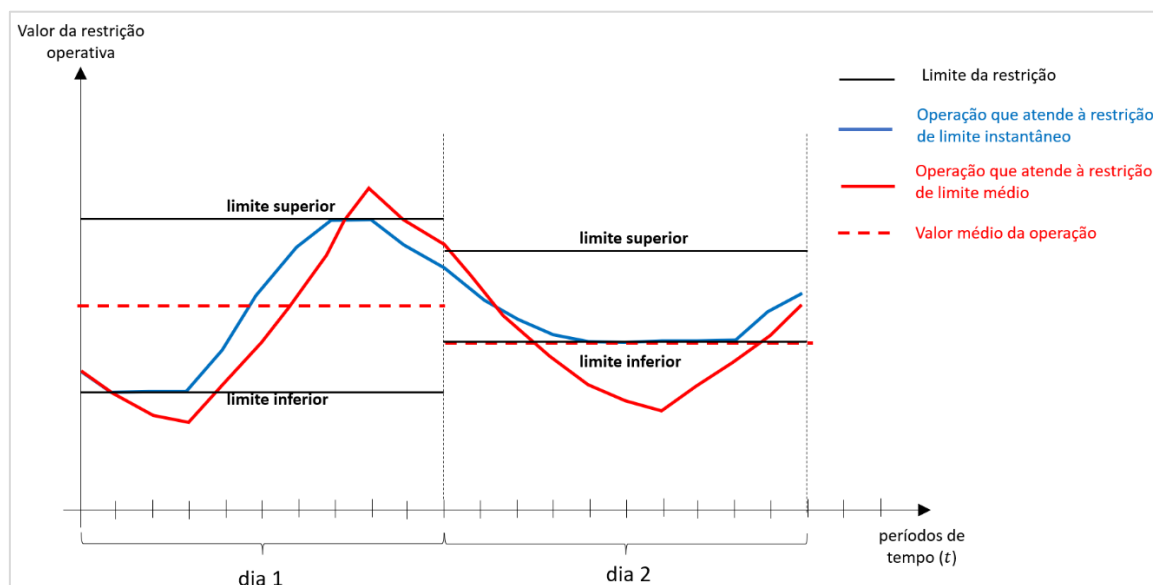
As restrições de geração podem envolver diversas variáveis de geração dos componentes por sistema, expressas em MW. No caso de usinas hidrelétricas, estas restrições são formuladas por:

$$RHGP_{min_i}^t \leq \sum_{j \in RHGP_i} \kappa_{RHGP_{i,j}} GH_j^t \leq RHGP_{max_i}^t \tag{23.24}$$

onde  $RHG_{p_i}$ ,  $\kappa_{RHG_{p_i,j}}$ ,  $RHG_{P_{min_i}}^t$  e  $RHG_{P_{max_i}}^t$  são definidos de forma análoga às restrições de volume e nível para as usinas hidrelétricas, porém aplicadas para as restrições de geração. Para as usinas térmicas e contratos consideram-se limites mínimos e máximos para cada componentes, individualmente<sup>27</sup>.

### 23.8 Restrições operativas de Limite médias por dia civil ou semana operativa

Consistem nos mesmos tipos de restrições hidráulicas definidas anteriormente, mas cujos valores devem ser atendidos em média, para cada dia civil ou semana. Ou seja, os valores das variáveis que participam da restrição são obtidos pela média dos valores ao longo de todos os períodos que compreendem a janela de aplicação da restrição (dia ou semana). A Figura 23.1 ilustra a adoção das restrições de limite médio diário (linha vermelha), em comparação com uma restrição que possui os mesmos limites, mas que são aplicadas de forma instantânea, como descrito na seção 23.7.



**Figura 23.1** Esquema ilustrativo da consideração de restrições de limite instantâneo X restrições de limite médio.

A motivação para essa modelagem são as restrições estabelecidas pela ANA, que devem ser respeitadas não em cada período de tempo do DESSEM, mas apenas em valores médios durante um intervalo de tempo que é superior à duração de um período do DESSEM, como por exemplo as restrições diárias, semanais ou mensais.

Apresenta-se, a seguir, a formulação matemática dessas restrições, que são descritas com mais detalhes no relatório técnico [64]

<sup>27</sup> Ressalta-se que podem ser definidas restrições elétricas especiais envolvendo diversos componentes do mesmo tipo de geração, cada um com determinado coeficiente, conforme descrito na seção 21.1.4

Observa-se que a operação em vermelho violaria a restrição instantânea (caso fosse aplicada), mas é viável para a restrição média. Por outro lado, qualquer operação que seja viável para a restrição instantânea também será viável para a restrição. Conclui-se portanto que, pelo fato de serem mais flexíveis, as restrições médias podem resultar em uma operação mais barata do sistema, caso sejam utilizadas em substituição às restrições por período.

Ressalta-se que, assim como as restrições já existentes por modelo, as restrições de média diária/semanal podem envolver uma ou mais variáveis hidráulicas relacionadas à vazão nos reservatórios, e expressas em m<sup>3</sup>/s, como descrito a seguir.

### 23.8.1 Restrições operativas de vazão média diárias

Consistem em restrições operativas que estabelecem limites mínimo e máximo de média diária para uma combinação linear qualquer de variáveis expressas em m<sup>3</sup>/s, como mostrado a seguir, para determinada restrição de índice  $i$ :

$$\begin{aligned}
 RHQ_{Dmin_i}^d &\leq \sum_{j \in RHQ_{DQ_i}} \kappa_{RHQ_{DQ_{i,j}}} Q_j^d + \sum_{j \in RHQ_{DS_i}} \kappa_{RHQ_{DS_{i,j}}} S_j^d \\
 &+ \sum_{j \in RHQ_{DDv_{i,j}}} \kappa_{RHQ_{DDv_{i,j}}} Dv_j^d + \sum_{j \in RHQ_{DAfl_{i,j}}} \kappa_{RHQ_{DAfl_{i,j}}} Afl_j^d \\
 &+ \sum_{j \in RHQ_{DDef_{i,j}}} \kappa_{RHQ_{DDef_{i,j}}} Defl_j^d + \sum_{j \in RHQ_{DBb_{i,j}}} \kappa_{RHQ_{DBb_{i,j}}} Qb_j^d + f_i^{d-} \\
 - f_i^{d+} &\leq RHQ_{Dmax_i}^d
 \end{aligned} \tag{23.25}$$

onde  $RHQ_{DQ_i}$ ,  $RHQ_{DS_i}$ ,  $RHQ_{DDv_{i,j}}$ ,  $RHQ_{DAfl_{i,j}}$ , e  $RHQ_{DDef_{i,j}}$  consistem nos conjuntos de usinas hidrelétricas cujas variáveis de turbinamento, vertimento, desvio, afluência e defluência total, respectivamente, participam da restrição de vazão média diária e  $RHQ_{DBb_{i,j}}$  é o conjunto de usinas elevatórias cuja variável de bombeamento participa da mesma restrição. Os coeficientes  $\kappa_{RHQ_{DQ_{i,j}}}$ ,  $\kappa_{RHQ_{DS_{i,j}}}$ ,  $\kappa_{RHQ_{DDv_{i,j}}}$ ,  $\kappa_{RHQ_{DAfl_{i,j}}}$ ,  $\kappa_{RHQ_{DDef_{i,j}}}$  e  $\kappa_{RHQ_{DBb_{i,j}}}$  correspondem aos fatores referentes a cada tipo de variável e componente (usina hidrelétrica ou elevatória, conforme o caso) na restrição, e  $RHQ_{Dmin_i}^d$  e  $RHQ_{Dmax_i}^d$  são os limites da restrição, para o dia civil  $d$ . As variáveis  $Q_j^d$ ,  $S_j^d$ ,  $Dv_j^d$ ,  $Qb_j^d$ ,  $Afl_j^d$  e  $Defl_j^d$  expressam os valores médios de turbinamento, vertimento, desvio, bombeamento, afluência e defluência, respectivamente da usina hidrelétrica (ou usina elevatória)  $j$ , para o dia  $d$ . As variáveis  $f_i^{d-}$  e  $f_i^{d+}$  correspondem às folgas incluídas para permitir a violação das restrições para baixo ou para cima, caso não seja possível atendê-la.

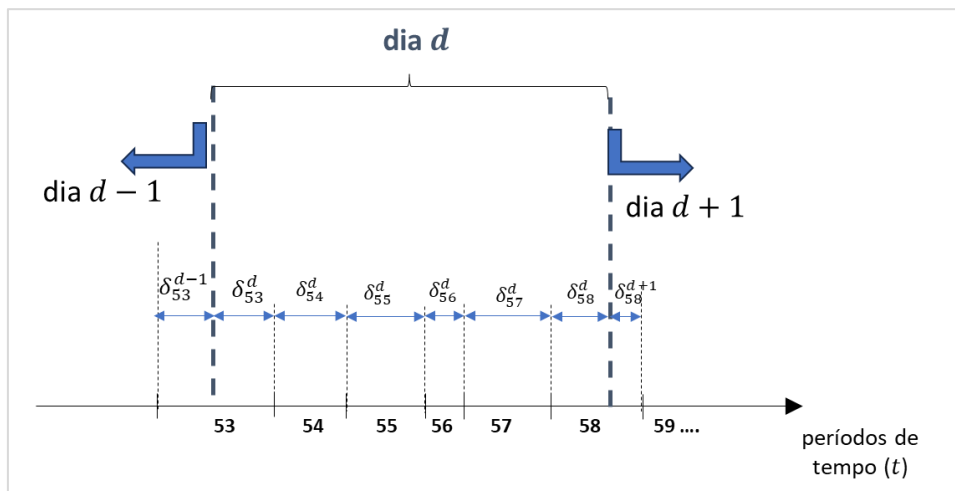
Ressalta-se que os valores das variáveis que participam da restrição são obtidos pela média dos valores ao longo de todos os períodos que compreendem o dia civil, ponderados pelas respectivas participações da duração do período  $t$  no dia  $d$ . A expressão mostra um exemplo para o cálculo da

vazão turbinada no dia civil em função das vazões turbinadas por período, onde  $TinicD_d$  e  $TfimD_d$  são os índices dos períodos inicial e final do dia civil  $d$ .

$$Q_j^d = \frac{\sum_{t=TinicD_d}^{TfimD_d} Q_j^t \times \delta_t^d}{24} \quad (23.26)$$

A Figura 23.2 mostra um esquema ilustrativo para essa restrição, na situação geral em que um período pode estar situado em mais de um dia. Neste exemplo, tem-se para o dia  $d$ ,  $TinicD_d = 53$  e  $TfimD_d = 58$ , sendo que os períodos 53 e 58 encontram-se parcialmente no dia  $d$ , portanto suas vazões são ponderadas apenas pelas parcelas  $\delta_{53}^d$  e  $\delta_{58}^d$  que pertencem ao dia  $d$ . Já os períodos 54 a 57 estão integralmente incluídos no dia, portanto considera-se a vazão do período ponderada pela duração total do período.

$$Q_j^d = \frac{Q_j^{53} \times \delta_{53}^d + Q_j^{54} \Delta_{54} + Q_j^{55} \Delta_{55} + Q_j^{56} \Delta_{56} + Q_j^{57} \Delta_{57} + Q_j^{58} \times \delta_{58}^d}{24} \quad (23.27)$$



**Figura 23.2 - Esquema geral dos períodos compreendidos em um dia civil  $d$ .**

A expressão (23.27) se aplica de forma análoga para as demais variáveis que pertencem à restrição.

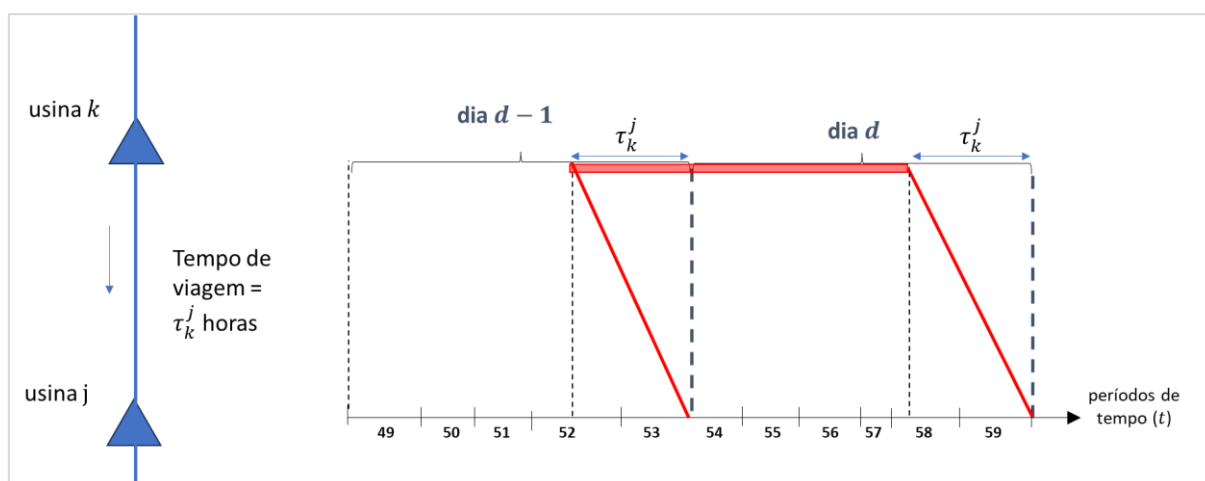
### Casos particulares: termos referentes à afluência e defluência

Os termos referentes à afluência  $Afl_j^D$  e defluência  $Def_j^D$  não correspondem a variáveis explícitas na formulação do problema. Portanto, seus valores na restrição de média diária são definidas por:

$$Afl_j^D = I_j^D + \sum_{k \in M_i} (Q_k^D + S_k^D) + \sum_{\substack{k \in M_{tv_i} \\ t \in Dia_d}} (Q_k^{t-\tau_{kj}} + S_k^{t-\tau_{kj}}) + \sum_{k \in M_{dv_i}} Q_{dv_k}^D \quad (23.28)$$

$$Def_j^t = Q_j^D + S_j^D \quad (23.29)$$

onde  $M_i$  e  $M_{tvi}$  são os conjuntos de usinas a montante da usina  $i$  com e sem tempo de viagem, respectivamente,  $\tau_{kj}$  é o tempo de viagem entre as usinas  $k$  e  $j$ , e  $Dia_d$  é o conjunto definido pelos intervalos  $[TinicD_d, TfimD_d]$ . Observa-se que, para o caso de aplicação de tempo de viagem da água nas restrições de afluência, o intervalo  $[TinicD_d - \tau_{kj}, TinicD_d]$ , que compreende as defluências das usinas de montante anteriores ao dia civil  $d$ , não necessariamente cairá inteiramente em um único período (e ao longo de toda a sua duração), sendo necessário considerar a fração de participação desse intervalo no(s) período(s) passado(s) respectivos. Este aspecto é ilustrado na Figura 23.3, onde se verifica que, se houver restrição de afluência média para a usina  $j$  no dia  $d$ , devem ser consideradas, no cálculo da média, as defluências da usina  $k$  entre os períodos 52 e 58, sendo que, para os períodos 52 e 58, as vazões são ponderadas considerando apenas parte da duração desses períodos. Estes fatores de participação são calculados de forma semelhante ao detalhado em [47], onde se descreve a consideração do tempo de viagem nas equações de balanço hídrico das usinas na situação genérica em que um período pode envolver várias horas.



**Figura 23.3 - Exemplo de consideração do tempo de viagem na participação da vazão defluente de montante na restrição de média diária de afluência.**

### 23.8.2 Restrições operativas de geração média diária

São restrições envolvendo as médias diárias das gerações das usinas hidrelétricas, expressas em MW, como mostrado a seguir:

$$RHG_{D_{min_i}}^d \leq \sum_{j \in RHG_{p_i}} \kappa_{RHG_{D_{i,j}}} GH_j^d + f_i^{d-} - f_i^{d+} \leq RHG_{D_{min_i}}^d \quad (23.30)$$

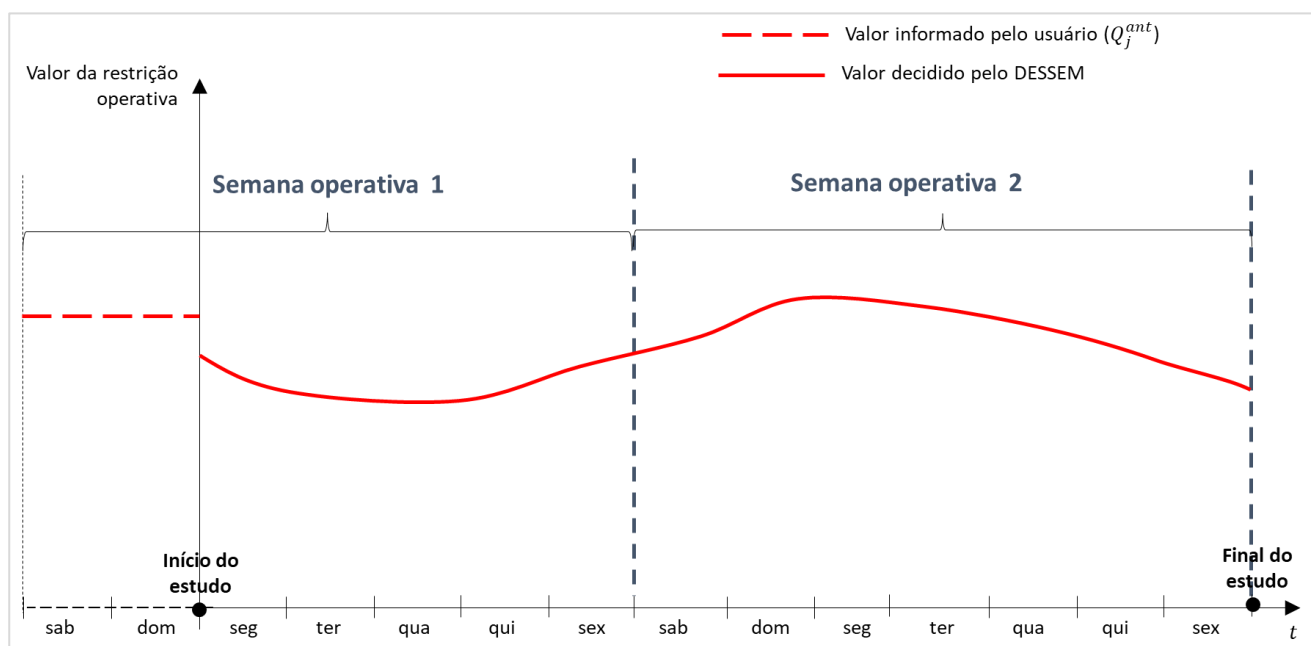
onde  $RHG_{D_i}$ ,  $\kappa_{RHG_{D_{i,j}}}$ ,  $RHG_{D_{min_i}}^t$  e  $RHG_{D_{max_i}}^t$  são definidos de forma análoga às restrições de vazão, e a geração média diária  $GH_j^d$  é calculada de forma análoga às outras variáveis.

### 23.8.3 Restrições operativas de vazão e geração média semanais

As restrições operativas de vazão e geração média semanais seguem o mesmo padrão das restrições médias diárias, porém aplicadas ao longo de toda a semana operativa, que se inicia em um sábado e termina em uma sexta feira. É importante ressaltar que, como o horizonte de estudo pode iniciar em um dia diferente de um sábado, a vazão turbinada média  $Q_j^s$  para a primeira semana ( $s = 1$ ) será calculada por:

$$Q_j^s = \frac{\sum_{t=TinicS_s}^{TfimS_s} Q_j^t \times \delta_t^s + \left( \frac{168 - \Delta s_{1HORIZ}}{168} \right) Q_j^{ant}}{168} \quad (23.31)$$

onde  $\Delta s_{1HORIZ}$  é a parcela da semana operativa 1 que está compreendida no horizonte de otimização do DESSEM, e  $Q_j^{ant}$  é o valor médio de turbinamento antes do início do estudo e que pertence a primeira semana operativa, sendo informado pelo usuário. De forma análoga à modelagem das restrições de média diária define-se  $\delta_t^s$  como sendo a parcela do período  $t$  que está compreendida na semana operativa  $s$ , e  $TinicS_s$  e  $TfimS_s$  como sendo os índices dos períodos inicial e final da semana operativa  $s$ .



**Figura 23.4 - Esquema ilustrativa de consideração de média semanal para estudos cujo início não correspondo ao início da semana operativa.**

O mesmo processo é realizado para as demais variáveis que podem ser consideradas na restrição.

### 23.9 Restrições operativas de variação instantâneas

Consistem em restrições operativas que estabelecem limites máximos de variação horária para diversas variáveis do problema, e que devem ser atendidas em cada período de tempo. Estas restrições são particulares para um modelo de programação diária da operação, visto que variações bruscas em algumas variáveis podem causar situações indesejáveis. Por exemplo, variações bruscas de defluência em uma usina podem causar “ondas” indesejáveis nos trechos de rio, e variações bruscas de níveis em alguns reservatórios podem causar transtornos em algumas atividades recreativas à montante do reservatório.

A formulação matemática dessas restrições é dada por:

$$\overline{\Delta h^-} \leq h_{mon_i}^t - h_{mon_i}^{t-1} \leq \overline{\Delta h^+} \quad (23.32)$$

$$\overline{\Delta Q^-} \leq Q_i^t - Q_i^{t-1} \leq \overline{\Delta Q^+} \quad (23.33)$$

$$\overline{\Delta S^-} \leq S_i^t - S_i^{t-1} \leq \overline{\Delta S^+} \quad (23.34)$$

$$\overline{\Delta Dv^-} \leq Q_{Dv_i}^t - Q_{Dv_i}^{t-1} \leq \overline{\Delta V^+} \quad (23.35)$$

$$\overline{\Delta Afl^-} \leq Afl_i^t - Afl_i^{t-1} \leq \overline{\Delta Afl^+} \quad (23.36)$$

$$\overline{\Delta Defl^-} \leq Defl_i^t - Defl_i^{t-1} \leq \overline{\Delta Defl^+} \quad (23.37)$$

$$\overline{\Delta Q_b^-} \leq Q_{b_i}^t - Q_{b_i}^{t-1} \leq \overline{\Delta Q_b^+} \quad (23.38)$$

## 24 RESTRIÇÕES OPERATIVAS GENÉRICAS

Consistem em restrições operativas de limite e de variação para outros componentes do sistema além das usinas hidrelétricas.

### 24.1 Restrições operativas de Limite

Podem ser aplicadas para as usinas térmicas:

$$GT_{P_{min_i}}^t \leq GT_j^t \leq GT_{P_{min_i}}^t \quad (24.1)$$

ou para os contratos de importação/exportação de energia:

$$Ece_{P_{min_i}}^t \leq Ece_i^t \leq Ece_{P_{min_i}}^t \quad (24.2)$$

$$Eci_{P_{min_i}}^t \leq Eci_i^t \leq Eci_{P_{min_i}}^t \quad (24.3)$$

### 24.2 Restrições operativas de Variação

Consistem em restrições operativas que estabelecem limites máximos de variação horária para as variáveis:

$$\overline{\Delta GT^-} \leq GT_i^t - GT_i^{t-1} \leq \overline{\Delta GT^+} \quad (24.4)$$

$$\overline{\Delta Ece^-} \leq Ece_i^t - Ecd_i^{t-1} \leq \overline{\Delta Ece^+} \quad (24.5)$$

$$\overline{\Delta Eci^-} \leq Eci_i^t - Eci_i^{t-1} \leq \overline{\Delta Eci^+} \quad (24.6)$$

## 25 MANUTENÇÃO DE UNIDADES GERADORAS

O modelo considera-se a possibilidade de que todo componente de geração possa estar em manutenção em determinados períodos de tempo, de acordo com determinado cronograma de manutenção das unidades geradoras, que pode ser fornecido em qualquer granularidade temporal. Após processados os dados horários, calcula-se um fator de manutenção médios em cada período de tempo, que limita a quantidade de geração que este componente pode realizar no período correspondente.

### 25.1 Manutenção de unidades geradoras hidrelétricas

Denota-se por  $\kappa_{manut_{h_i}}^t$  e  $\kappa_{manut_{H_i}}^t$  (conforme o contexto) respectivamente, os fatores de manutenção (em p.u.) de cada unidade geradora ou usina hidrelétrica  $i$  no período  $t$ . Estes fatores de manutenção são fornecidos por unidade geradora nos registros MH, a partir do qual pode-se calcular o fator de manutenção da usina como um todo.

A aplicação do fator de manutenção leva à inclusão da seguinte restrição no problema de otimização:

$$gh_i^t \leq \kappa_{manut_{h_i}}^t \overline{gh_i} \quad (25.1)$$

### 25.2 Manutenção de estações de bombeamento

Considera-se a possibilidade de manutenção das unidades elevatórias, que impactará o montante de vazão que pode ser bombeada em cada período de tempo. Denota-se por  $\kappa_{manut_{E_i}}^t$  o fator de manutenção (em p.u.) de cada usina elevatória  $i$ , que é fornecido nos registros ME. A aplicação do fator de manutenção leva à inclusão da seguinte restrição no problema:

$$Qb_i^t \leq \kappa_{manut_{E_i}}^t \overline{Qb_i} \quad (25.2)$$

### 25.3 Manutenção de unidades geradoras termoeletricas

Denota-se por  $\kappa_{manut_{t_i}}^t$  e  $\kappa_{manut_{T_i}}^t$ , respectivamente, os fatores de manutenção (em p.u.) de cada unidade geradora térmica ou usina térmica  $i$  no período  $t$ , conforme o contexto. Estes fatores de manutenção são fornecidos por unidade geradora nos registros MT, a partir do qual pode-se calcular o fator de manutenção da usina como um todo, quando for conveniente. A aplicação do fator de manutenção leva à inclusão da seguinte restrição no problema:

$$gt_i^t \leq \kappa_{manut_{t_i}}^t \overline{gt_i} \quad (25.3)$$

**PARTE VI - ESTRATÉGIA DE SOLUÇÃO**

## **26 ESTRATÉGIA DE SOLUÇÃO DO PROBLEMA POR PROGRAMAÇÃO LINEAR INTEIRA-MISTA (MILP)**

A programação inteira mista é aplicada para a resolução de problemas que envolvem variáveis inteiras. No contexto do planejamento da operação, isto ocorre fundamentalmente na programação diária, devido às restrições de *Unit Commitment Térmico*, descritas na seção 10.1. Desta forma, essa estratégia de solução será adotada no modelo DESSEM, podendo utilizar técnicas avançadas para acelerar a convergência, conforme apresentado em [65].

Devido ao fato de o problema ser de grande porte, com um grande número de restrições envolvendo variáveis inteiras, e haver um elevado número de restrições da rede elétrica (onde muitas delas não estarão “ativas” na solução do problema), o processo de resolução do problema de PDO no modelo DESSEM é feito de forma iterativa, com algumas variantes, dependendo da escolha do usuário. Este processo iterativo envolve a resolução sequencial de diversos problemas de Programação Linear (PL), Programação Linear Inteira Mista (MILP), ou MILP com restrições de UCT relaxadas, conforme a variante escolhida. A cada vez que se resolve um novo problema, incluem-se de forma iterativa novas restrições da rede elétrica ou atualizam-se alguns parâmetros do problema. Inicialmente, descrevem-se os processos iterativos de inclusão ou ajustes de restrições existentes e, posteriormente, apresentam-se as diversas opções que podem ser adotadas para a execução do problema,

### **26.1 Processo iterativo de resolução da rede elétrica**

O processo iterativo da rede elétrica consiste em evitar a inclusão, de forma direta, de todas as restrições de limite de fluxos nos circuitos (22.1) e de somatório de fluxos (DREF) (22.2) no problema de otimização, em virtude do custo computacional envolvido devido ao elevado número de restrições. Alternativamente, resolve-se o problema sem as restrições, calculando o fluxo de potência DC “por fora” e, na sequência, os fluxos nos circuitos, verificando, por fim, se alguma restrição foi violada. Caso positivo, inserem-se novas restrições, ignora-se a solução anterior do PL/MILP e resolve-o novamente. Este processo iterativo é mostrado na Figura 26-1

Ressalta-se que este processo iterativo é exato, ou seja, garante que a solução ótima obtida na resolução do PL/MILP atende a todas as restrições da rede, visto que as restrições calculadas posteriormente “por fora” e não violadas não necessitariam ser incluídas no problema. Uma descrição mais detalhada deste processo é descrito em [9] e a extensão para consideração de uma modelagem linear por partes para a rede elétrica é apresentada em [10].

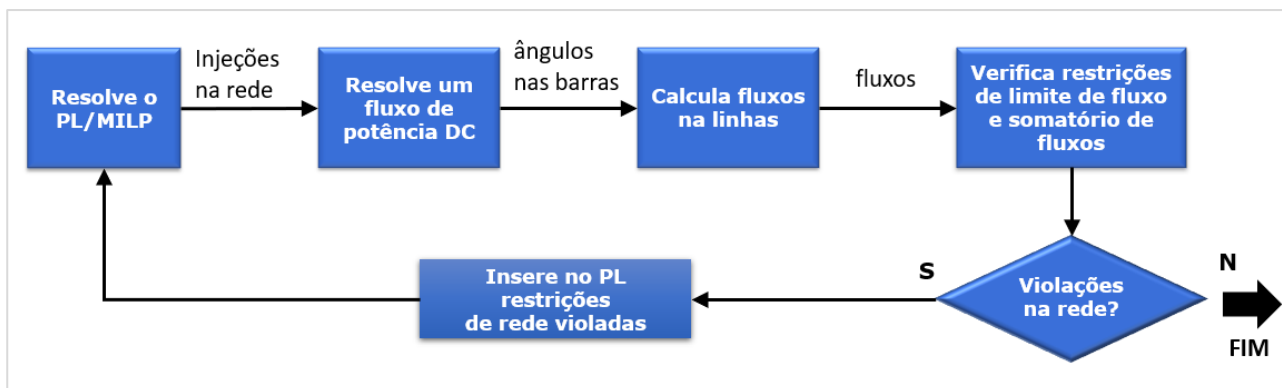


Figura 26-1 – Processo iterativo de inclusão das restrições de limite de fluxo na rede elétrica.

## 26.2 Seleção de cortes da função da produção hidrelétrica

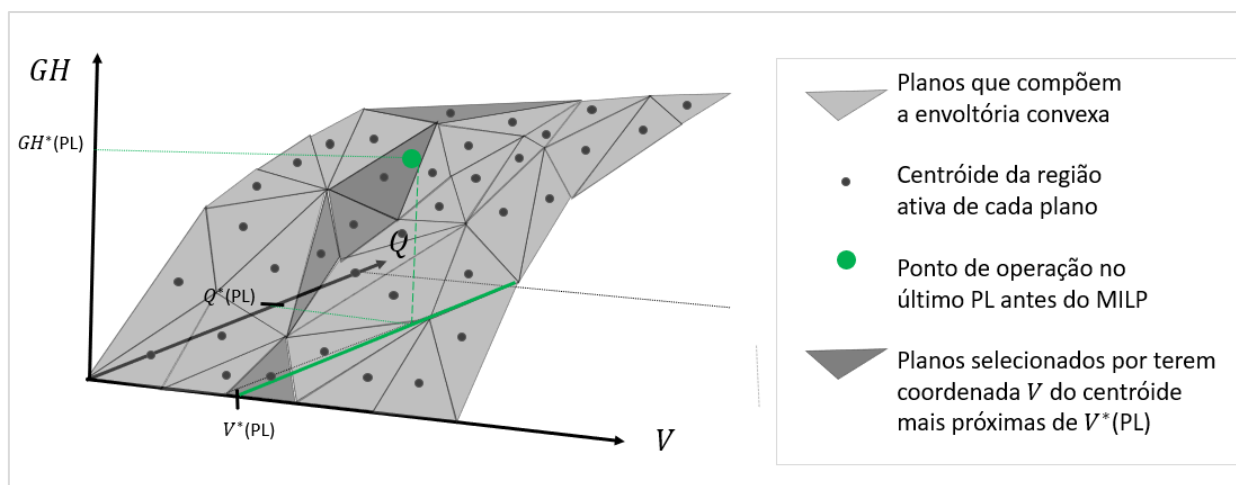
A modelagem linear por partes para a função de produção hidrelétrica, descrita na seção 9.15.11, pode levar a um número razoavelmente grande de restrições no problema de otimização, visto que as restrições (9.33) aplicam-se a todas as usinas e períodos. Isto pode levar a um custo computacional elevado para resolução do problema, especialmente no caso do problema de MILP. De forma a reduzir o custo computacional sem comprometer o resultado final, desenvolveu-se uma estratégia de **seleção de cortes da FPHA** para reduzir os cortes da FPHA no problema para usinas com reservatório, **apenas para a resolução do MILP**. Esta estratégia consiste dos seguintes passos:

**Passo 1.** Obter a solução  $V^*(PL)$  para o volume armazenado de todas as usinas com reservatório, em todos os períodos, após a resolução do último PL antes do MILP.

**Passo 2.** Obter o vetor com os centróides  $V_{ck}$  para cada um dos  $k$  cortes do modelo linear por partes da FPHA, para cada usina.

**Passo 3.** Para cada usina e período, selecionar os  $NFHA_{MILP}$  cortes cujo centróide está mais próximo do valor de  $V^*(PL)$  para a respectiva usina/período

A Figura 26-2 ilustra o processo de seleção de cortes descrito acima, onde se mostra o centróide de cada um dos planos e, em área hachureada, os planos (cortes) da FPHA selecionados. O valor default de  $NFHA_{MILP}$  é igual a 5, podendo ser alterado pelo usuário. Os cortes selecionados serão incluídos no problema de MILP resolvido pelo DESSEM. Posteriormente, no cálculo do PL final, todos os cortes são recuperados novamente.



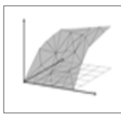
**Figura 26-2 – Processo de seleção de cortes para a FPHA para inclusão no MILP.**

A opção por escolher os planos mais próximos com base apenas no valor de volume se deve ao fato de que esta é a variável da FPHA que tende a menos se alterar, em termos relativos, de uma resolução para outra do problema, visto que a inclusão de restrições de UCT pode causar variações razoáveis no valor de turbinamento das usinas hidrelétricas.

### 26.3 Processos iterativos de inclusão e ajuste de restrições

Independentemente da opção adotada para a resolução geral do problema (“0”, “2” ou “3”, vide seção 26.4), há vários processos para inclusão iterativa ou tratamento de restrições durante as resoluções de PLs e MILPs, que podem ocorrer ou não de forma simultânea. Estes processos, já descritos ao longo deste documento e referenciados novamente a seguir, serão identificados pelos símbolos mostrados na tabela a seguir.

**Tabela 26.1 - Símbolos utilizados nos processos de tratamento de restrições**

Processo	seção	símbolo
Atualização dos limites de engolimento máximo e potência disponível para reserva de potência	9.16.2 e 21.1.3, respectivamente	
Processo iterativo para ajuste de limites das restrições de segurança por tabela	22.3	
Processo iterativo para inclusão das restrições da rede elétrica	26.1	
Seleção de cortes da FPHA para o MILP	26.2	

## 26.4 Tipos de Problemas resolvidos

O problema de otimização da programação diária da operação resolvido pelo modelo DESSEM é bastante complexo, por ser de grande porte e envolver uma série de restrições não convexas. Por esse motivo, na estratégia de resolução concebida pelo CEPEL para a resolução do problema, é aplicada uma metodologia que envolve a resolução de diversas variantes da formulação do problema, que são chamados de “tipos de problemas”, conforme descrito na tabela a seguir

**Tabela 26.2 - Tipos de problemas resolvidos**

<b>Tipo de Problema</b>	<b>Descrição</b>	<b>símbolo</b>
Problema de programação linear (PL)	Problema sem variáveis e restrições de UCT. Sua resolução, após o processo iterativo de tratamento da rede elétrica, permite a obtenção de um limite inferior (LINF) para a solução ótima do problema	
Problema de programação linear (PL) com UCT relaxado	Problema com as variáveis e restrições de UCT, porém considerando um domínio contínuo [0,1] para todas as variáveis binárias. Sua resolução, após o processo iterativo de tratamento da rede elétrica, também permite a obtenção de um limite inferior (LINF) para a solução ótima do problema	
Problema de Programação Linear Inteira Mista (MILP)	Problema completo, com todas as restrições e variáveis binárias de unit commitment	
Problema de Programação Linear com variáveis de UCT fixas	Problema com as restrições e variáveis de unit commitment, porém com todas as variáveis binárias fixadas, com base na solução encontrada na última resolução do MILP	
Problema de Programação Linear (PL) para cálculo do CMO	Corresponde ao PL final, com as variáveis binárias fixadas e cujo resultado será publicado pelo DESSEM	

O pacote utilizado oficialmente para resolver todos os tipos de problemas acima é o CPLEX, desenvolvido pela IBM, porém o CEPEL disponibilizará em breve uma versão do DESSEM com a possibilidade de utilização do pacote Gurobi.

## 26.5 Estratégia geral de solução

Existem quatro opções para a estratégia de solução do problema no DESSEM, denotadas de “0”, “1”, “2” e “3”, que diferem entre si acordo com a escolha dos tipos e sequenciamento dos problemas a serem resolvidos, e a adoção ou não dos processos iterativos descritos na seção 26.3, durante a resolução de cada tipo de problema. A Tabela 26.3 sintetiza as escolhas que são feitas para cada opção.

**Tabela 26.3 – Escolhas feitas para cada tipos de problema e processo iterativo realizados, para cada Opção de estratégia de solução do problema**

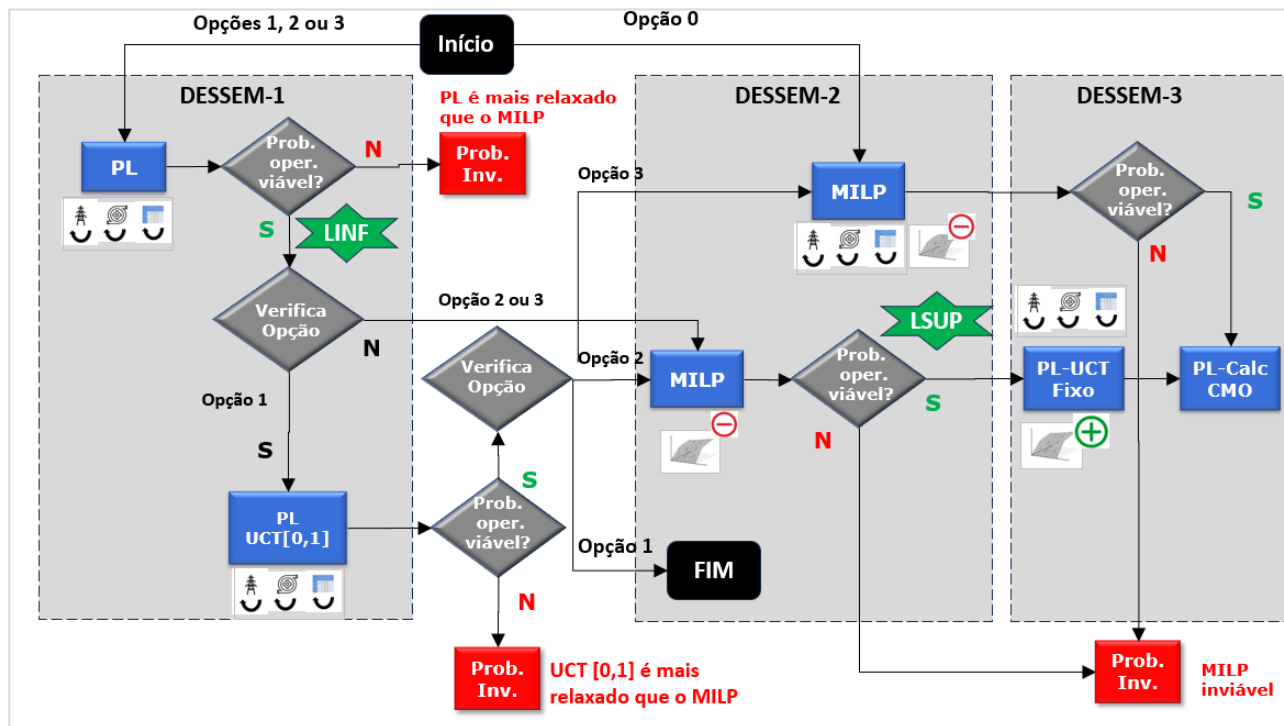
Opção	0	1	2	3
PL	não resolve	resolve, com todos os processos iterativo	resolve, com todos os processos iterativo	resolve, com todos os processos iterativo
PL UCT[0,1]	não resolve	resolve, com todos os processos iterativos	não resolve	não resolve
MILP	Resolve, com todos os processos iterativos	Não resolve (interrompe execução antes)	Resolve, sem os processos iterativos	Resolve, com todos os processos iterativos
PL-UCT Fixo	não resolve	Não resolve (interrompe execução antes)	Resolve, com todos os processos iterativos	não resolve
PL-CalcCMO	resolve	resolve	resolve	resolve

A Tabela 26.4 apresenta comentários sobre as principais vantagens e desvantagens de cada opção de resolução do problema no DESSEM. A opção utilizada oficialmente é a **opção 2**

**Tabela 26.4 – Vantagens e desvantagens de cada opção de resolução do problema.**

Opção	Vantagens de desvantagens
0	A vantagem desta opção é que se garante sempre obter a solução ótima, se o problema for viável, ou retornar as inviabilidades, caso o problema seja inviável. A resolução é com o problema sempre completo. A desvantagem é o tempo computacional elevado, principalmente para reportar inviabilidades.
1	Só é recomendável como alternativa à opção “0”, ao antecipar eventuais inviabilidades que só ocorreriam no MILP, ao resolver o problema de UCT relaxado. Porém, para problemas viáveis, apresenta desvantagem em relação às opções 2 e 3.
2	Reportam-se rapidamente inviabilidades na rede elétrica, agilizando o processo de retirada de restrições pelo ONS, para tornar o caso viável. Porém, essa estratégia de solução não garante que será encontrada uma solução viável, caso ela exista, embora essa situação ocorra com uma frequência muito baixa.
3	É um meio termo entre as opções 0 e 2. Como na opção 2, reportam-se rapidamente as inviabilidades na rede elétrica, agilizando o processo de retirada de restrições. Se o caso for viável, o modelo irá procurar a solução ótima, assim como na opção 0. Entretanto, se o modelo reportar um caso como inviável após a etapa de MILP, o caso é de fato inviável. A desvantagem desta opção é que tenderá a ser mais lenta do que a opção 2.

Finalmente apresenta-se, na Figura 26-3, o fluxograma abrangendo todas as estratégias de resolução. Os ícones dos processos iterativos indicam quais tipos de problema os utilizam, em cada opção de resolução. Os símbolos “-” e “+” no tratamento da FPHA indicam, respectivamente, quando são reduzidas (selecionadas) as restrições da FPHA, e quando estas são consideradas novamente de forma completa.



**Figura 26-3 - Fluxograma para o processo iterativo do DESSEM, contemplando todas as opções.**

## 26.6 Verificação da viabilidade da solução

O problema resolvido pelo DESSEM pode tornar-se inviável, por não ser possível atender a todas as restrições físicas e operativas simultaneamente. Assim, a introdução de variáveis de folga permite a violação de restrições operativas, com um custo alto de ativação na função objetivo (vide seção 19). No entanto estas variáveis de folga podem causar um mau condicionamento do problema e, conseqüentemente, dificuldades numéricas para sua resolução, podendo acarretar em aumento sensível do tempo computacional, sobretudo em problemas de programação inteira. Por esse motivo, o modelo DESSEM desativa todas as variáveis de folga, e somente nos casos inviáveis estas variáveis são ativadas para que sejam reportadas as restrições operativas inviáveis. A Figura 26 ilustra o processo para se obter as incompatibilidades encontradas, que é realizado qualquer que seja o método em uso (PL, MILP ou PL-UCT-Fixo), ou seja, para todas as opções e sempre que se resolve algum problema de otimização.

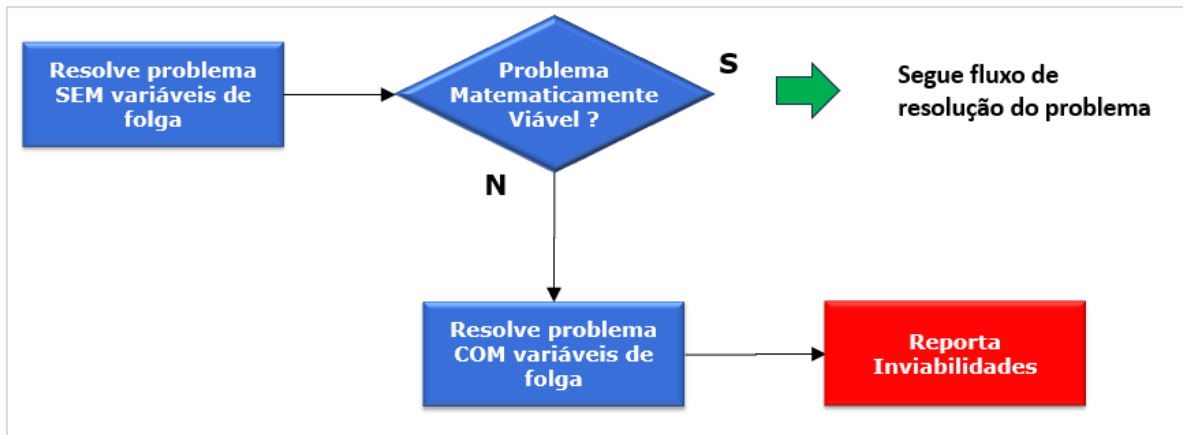


Figura 26-4 – Processo de tratamento das variáveis de folga para as restrições operativas.

## 27 EFICIENTIZAÇÃO E INTERAÇÃO COM O SOLVER PARA A RESOLUÇÃO DO PL/MILPS

Para a resolução dos problemas de programação linear “PL”, “PL-UCT [0,1]” e “PL-UCT Fixo”, três métodos podem ser aplicados:

- (i) algoritmo simplex (primal ou dual) que obtém uma solução ótima básica;
- (ii) o método de pontos interiores (*PINT*), que obtém uma solução ótima interior; e
- (iii) método de pontos interiores com obtenção de solução básica ótima, pelo algoritmo “crossover”

Atualmente, na resolução dos casos da programação diária da operação é utilizado o método de resolução (iii), a exceção do primeiro PL, que utiliza a metodologia (ii).

É importante mencionar que mesmo utilizando a metodologia de solução (iii) os tempos de resolução ainda permanecem proibitivos em alguns casos, pois mesmo que a solução interior seja obtida rapidamente pelo método da barreira logarítmica do solver IBM/CPLEX, o algoritmo de crossover pode apresentar tempos elevados.

### 27.1 Aplicação de crossover nos PLs

O algoritmo de crossover [66] disponível no solver IBM/CPLEX utiliza uma solução interior ótima para encontrar uma solução básica do problema, que não necessariamente é a ótima. De posse desta solução básica, o algoritmo simplex é utilizado para determinar a solução básica ótima do problema. Desta forma, nota-se que, mesmo sendo possível determinar a solução ótima interior com baixo custo computacional, a busca pela solução básica ótima através do algoritmo de crossover pode ter custo computacional alto, pois a solução básica inicial obtida através da solução interior ótima pode estar “longe” da solução básica ótima do problema, necessitando de muitas iterações do método Simplex. A ilustração a seguir evidencia este fato.

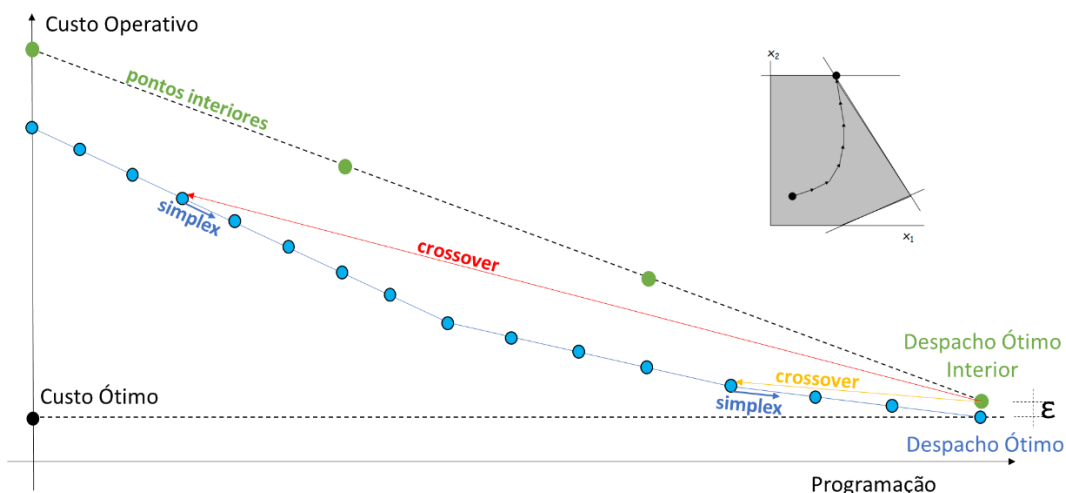


Figura 27-1– Esquema ilustrativo dos algoritmos: Simplex, Pontos Interiores e Crossover.

Esta ilustração apresenta o comportamento da “Função Valor” em um problema linear resolvido pelo modelo DESSEM. Nesta função, cada ponto operativo (despacho) possui um custo operativo associado (valor), onde os pontos em cor azul indicam as bases primais percorridas pelo método simplex, enquanto os pontos em cor verde as soluções interiores obtidas pelo método de barreira logarítmica. Nesta ilustração hipotética, mostra-se a situação em que o algoritmo crossover “recupera” uma solução primal desejável em cor amarela (próxima ao ótimo) e também a situação em que é recuperada uma solução primal não-desejável em cor vermelha (afastada do ótimo) que necessitará, portanto, de muitas iterações do método Simplex e, conseqüentemente, um elevado tempo computacional.

## **27.2 Algoritmo primal simplex aproximativo para os PLs**

No intuito de minimizar este efeito foi proposta uma forma alternativa de resolução para os problemas lineares, aplicada em todos os PLs, à exceção do primeiro PL e do PL para o cálculo do CMO, que denominamos de “Algoritmo Primal Simplex Aproximativo”, desenvolvido pelo Cepel para a utilização no modelo DESSEM. Este algoritmo baseia-se no método Primal Simplex no qual seu critério de convergência é alterado tornando possível a obtenção de uma solução básica primal viável que possua garantia de otimalidade definida através de um valor pré-determinado de gap relativo em relação ao ótimo.

## **27.3 Desigualdades válidas para o MILP**

Outra ferramenta de efficientização desenvolvida é o uso de desigualdades válidas no MILP. Essas são restrições adicionais derivadas das condições do problema original que, por definição, não alteram o espaço de soluções possíveis. A inclusão dessas desigualdades é uma técnica que pode acelerar a convergência de algoritmos aplicados a MILPs, pois facilita a rápida determinação de soluções viáveis [67]. Na aplicação do DESSEM para o problema de unit commitment térmico (UCT), essas desigualdades são derivadas da combinação dos limites mínimos e máximos de geração das usinas termelétricas com o polítopo de rampa de cada unidade térmica. O resultado são restrições válidas de mochila e cobertura de conjunto que reforçam a relaxação linear, levando a uma convergência mais rápida do algoritmo branch-and-cut.

## **27.4 Simetria para o MILP**

O tratamento da simetria no DESSEM envolve a imposição de uma ordem lexicográfica de acionamento para unidades idênticas de uma mesma usina termelétrica (UTE). Essa estratégia de eficiência computacional simplifica o problema e reduz a carga de trabalho ao diminuir as combinações possíveis entre as unidades, permitindo encontrar soluções ótimas de maneira mais eficiente e evitando redundâncias e combinações desnecessárias [68].

## **27.5 Fluxograma de resolução dos PLs**

Há outros procedimentos adotados na resolução do PL, tais como: ajuste da tolerância de Markovitz ( $Tol_{Mark}$ ), tolerância de complementaridade das folgas ( $Tol_{compl}$ ), utilização ou não de pré-solver ( $PRESOLV$ ), tratamento de status com valor 6 na solução obtida pelo CPLEX. O status 6 do CPLEX

indica que “a solução está disponível, mas não se mostrou ótima, devido a dificuldades numéricas durante a otimização”. Apresentam-se, nas figuras a seguir, os fluxogramas de resolução do PL, quando o algoritmo primal simplex é ou não utilizado.

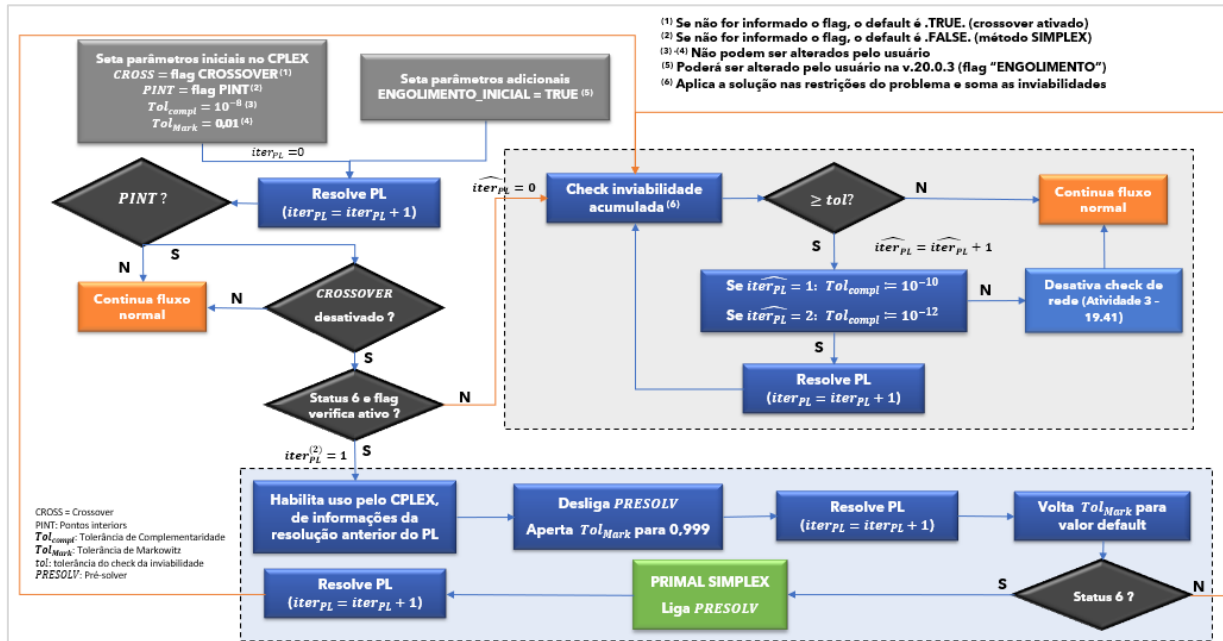


Figura 27.1 - Fluxograma de resolução do PL, quando o algoritmo Primal Simplex está ativado

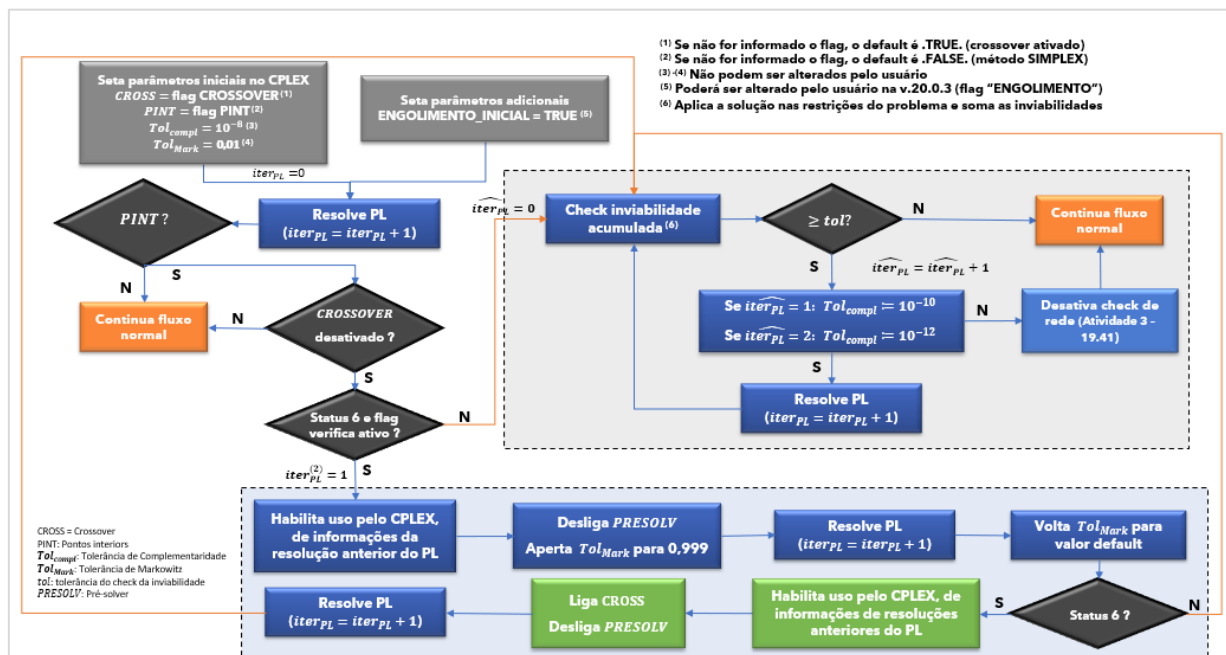


Figura 27.2 - Fluxograma de resolução do PL, quando o algoritmo Primal Simplex NÃO está ativado.

## 27.6 Fluxograma de resolução dos MILPs

Apresenta-se, a seguir, o fluxograma de resolução do MILP, incluindo o tratamento adotado quando a solução obtida pelo CPLEX no MILP apresenta status com valor 103, indicando um problema inviável. Nesse caso, é realizada uma verificação adicional para confirmar se realmente não existem soluções viáveis para o problema.

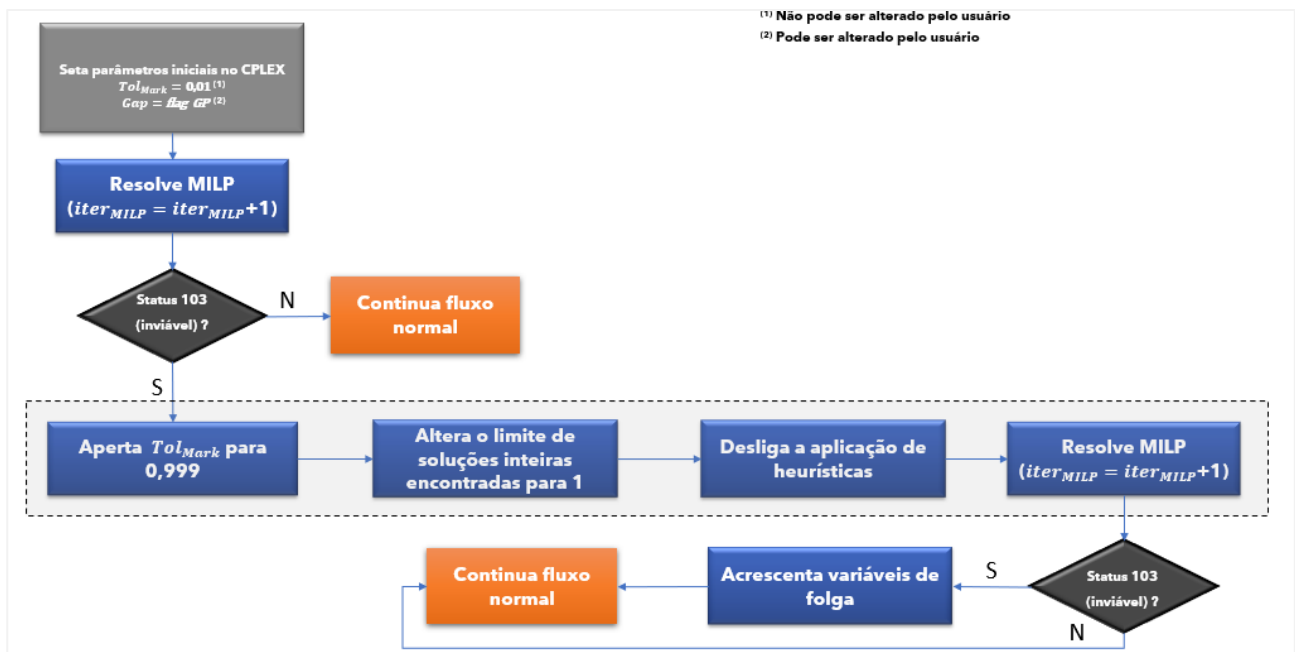


Figura 27.3 - Fluxograma de resolução dos MILPs.

## 27.7 Fluxograma de resolução dos PLs com UCT fixo

Apresentam-se, nas figuras a seguir, os fluxogramas de resolução do PL com UCT fixo, quando o algoritmo primal simplex é ou não utilizado. No caso de uso de pontos interiores e crossover, destaca-se que na resolução de PL com UCT fixo a tolerância de complementaridade de folgas é mais apertada, com valor de  $10^{-10}$ .

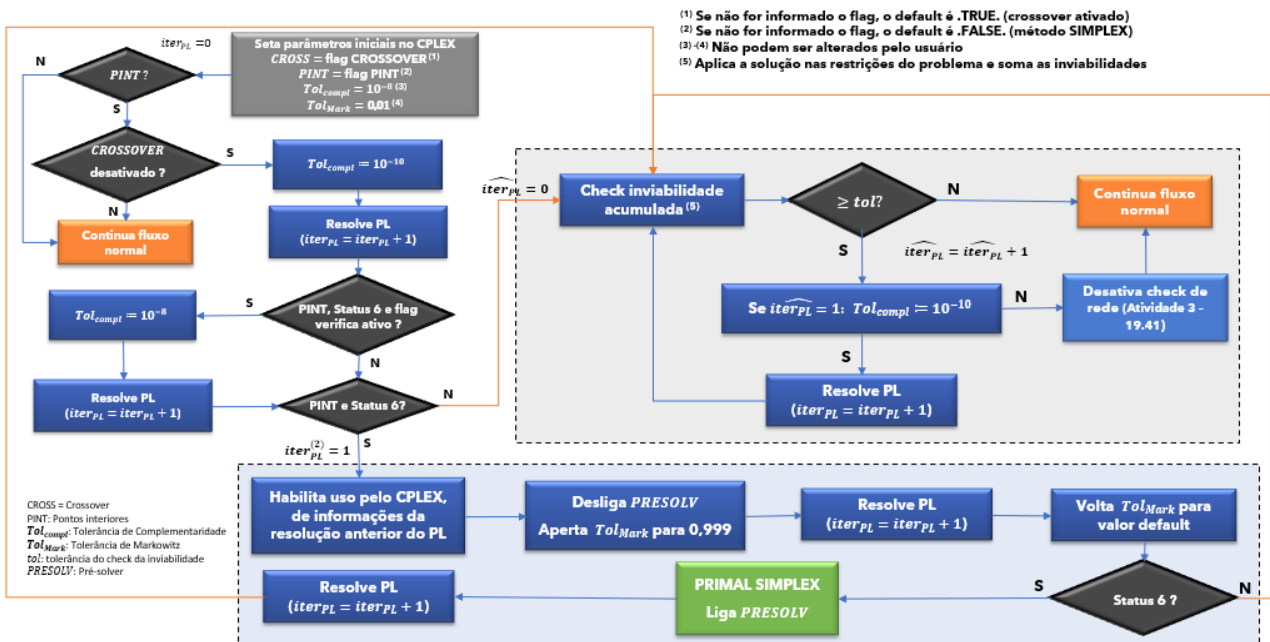


Figura 27.4 - Fluxograma de resolução do PL UCT-fixa, quando o algoritmo Primal Simplex está ativado

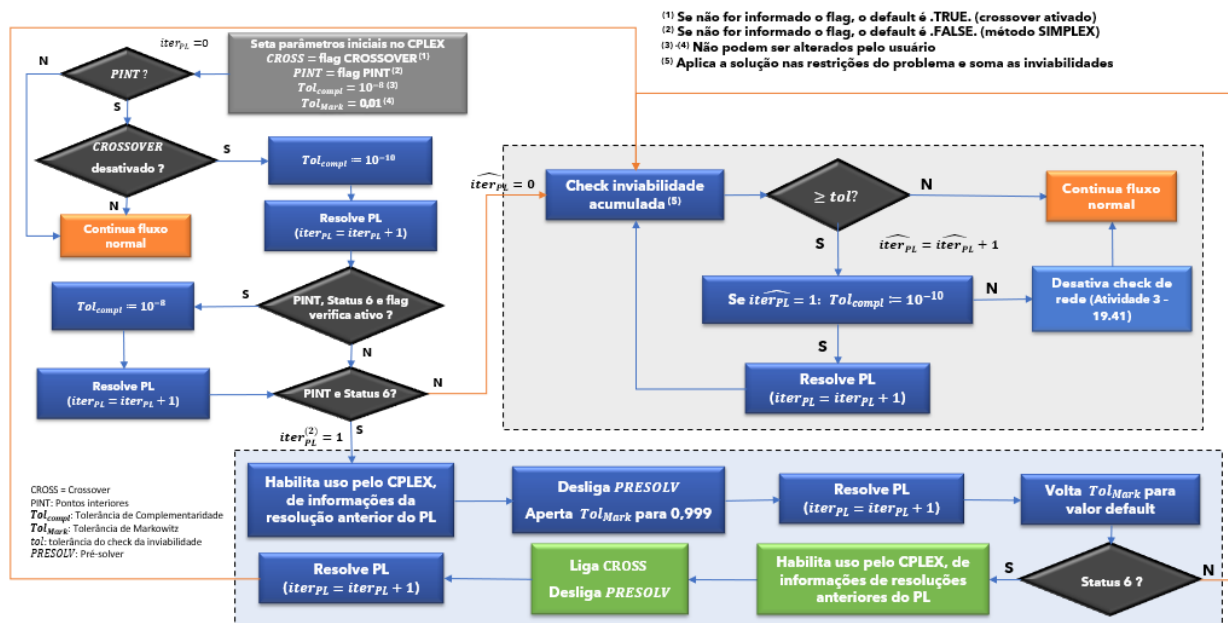


Figura 27.5 - Fluxograma de resolução do PL UCT-fixa, quando o algoritmo Primal Simplex NÃO está ativado

## 28 CÁLCULO DO CUSTO MARGINAL DE OPERAÇÃO (CMO)

Após a resolução do problema, ou seja, resolver o MILP a ter a rede atendida, é preciso mais uma resolução de PL-UCT-Fixo para se obter os valores das variáveis duais necessárias para o cálculo do custo marginal de Operação (CMO). Este procedimento é devido à dificuldade de se obter as variáveis duais de um problema linear-inteiro misto (MILP).

### 28.1 Cálculo do custo marginal em cada barra (CMB)

Com os valores das variáveis duais, obtidos após a resolução do PL com as variáveis inteiras fixas, obtêm-se os Custos Marginais das Barras  $CMB_i^t$ , para cada barra  $i$  e período  $t$ , utilizando-se as variáveis duais (multiplicadores) de todas as restrições onde a carga da barra participa no lado direito (“RHS”) do problema de otimização:

- Multiplicador  $\lambda_{DS_{s_{b_i}}}^t$  da equação de atendimento à demanda do submercado  $s_{b_i}$  ao qual pertence à barra, com fator “+1” (vide equação (7.2));
- Multiplicador  $\lambda_{DI_{IB_k}}^t$  da equação de atendimento à demanda da ilha  $s_{b_i}$  ao qual pertence à barra, com fator “+1” (vide equação 15.6);
- Multiplicador  $\lambda_{L_l}^t$  da restrição de limite de fluxo de cada linha  $l$ , com fator “ $\kappa_{B_i}^{l'}$ ” (vide expressão (22.1))
- Multiplicador  $\lambda_{SC_j}^t$  de cada restrição de somatório de fluxo (segurança)  $j$ , descrita na seção 22.2 e formulada nas expressões (22.2) (restrição comum) ou (22.3) (lineares por partes). Este multiplicador é composto de duas parcelas:
  - ✓ a primeira só se aplica se a própria barra  $i$  participa da restrição  $j$ , com um fator  $\kappa_{SCB_j}^i$ ;
  - ✓ a segunda parcela se aplica a todas as linhas  $l'$  que participam na restrição, com um fator  $\kappa_{SCL_j}^{l'}$  multiplicado pelo fator de participação  $\kappa_{B_i}^{l'}$  da injeção da barra  $i$  na linha  $l'$ .

Aplicando-se todos esses termos, o custo marginal  $CMB_i^t$  de cada barra é dado por:

$$\begin{aligned}
 CMB_i^t = & (+1)\lambda_{DS_{s_{b_i}}}^t + (+1)\lambda_{DI_{IB_k}}^t + \sum_{l=1}^{NL} (+\kappa_{B_i}^{l'})\lambda_{L_l}^t \\
 & + \sum_{j=1}^{NSC} \left( \kappa_{SCB_j}^i + \sum_{l' \in SCL_j} (+\kappa_{B_i}^{l'})\kappa_{SCL_j}^{l'} \right) \lambda_{SC_j}^t
 \end{aligned} \tag{28.1}$$

## **28.2 Cálculo do custo marginal do submercado (CMO)**

O CMO do submercado é calculado como a média ponderada dos CMBs nas barras que pertencem a cada submercado, ponderados pelas respectivas cargas:

$$CMO_i^t = \frac{\sum_{k \in \Omega_{SB_i}} (CMB_k^t \cdot d_k^t)}{\sum_{k \in \Omega_{SB_i}} d_k^t} \quad (28.2)$$

considerando, por hipótese, que um aumento de carga no submercado se dá de maneira uniforme nas barras que a ele pertencem.

## 29 REFERÊNCIAS

- [1] T. N. Santos, A. L. Diniz, C. H. Saboia, R. N. Cabral e L. F. Cerqueira, “Hourly pricing and day-ahead dispatch setting in Brazil: the DESSEM model,” *Electric Power Systems Research*, vol. 189, p. 106709, 2020.
- [2] M. E. Maceira, L. A. Terry, A. L. Diniz, L. C. Sousa, F. S. Costa, S. P. Romero e S. Binato, “Despacho de geração horário com representação detalhada de restrições hidráulicas,” em *VII SEPOPE – Symposium of Specialists in Electric Operational and Expansion Planning*, Foz do Iguaçu, 2000.
- [3] A. L. Diniz, F. S. Costa, M. E. Maceira, T. N. Santos, L. C. Brandão e R. N. Cabral, “Short/Mid-Term Hydrothermal Dispatch and Spot Pricing for Large-Scale Systems - the Case of Brazil,” em *20th Power Systems Computation Conference*, Dublin, Jun 2018.
- [4] M. E. Maceira, D. D. Penna, A. L. Diniz, R. J. Pinto, A. C. G. de Melo, C. L. V. Vasconcellos e C. B. Cruz, “Twenty Years of Application of Stochastic Dual Dynamic Programming in Official and Agent Studies in Brazil – Main Features and Improvements on the NEWAVE Model,” em *20th PSCC - Power Systems Computation Conference*, Dublin, 2018.
- [5] M. E. Maceira, V. S. Duarte, D. D. J. Penna, L. Moraes e A. C. G. Melo, “Ten years of application of stochastic dual dynamic Programming in official and agent studies in Brazil–Description of the NEWAVE program,” em *16th Power Systems Computation Conference - PSCC*, Glasgow, 2008.
- [6] M. E. Maceira, T. A. Lerry, F. S. Costa, J. M. Damazio e A. C. G. Melo, “Chain of optimization models for setting the energy dispatch and spot price in the Brazilian system,” em *Proceedings of the Power System Computation Conference - PSCC*, Sevilla, 2002.
- [7] R. Barboza, M. E. P. Maceira, T. C. Justino, A. L. Diniz, C. B. Cruz e A. C. G. Melo, “Programa NW2DS - Conversor de Casos do Modelo NEWAVE para o Modelo DESSEM,” Relatório Técnico CEPEL DEA - 2568/2021, 2021.
- [8] M. G. Curty, C. H. L. M. L. V. Saboia e C. L. T. Borges, “Planejamento da expansão da geração considerando aspectos da programação diária através de um soft link com o modelo DESSEM,” em *XXVI Seminário Nacional de Produção e Transmissão de Energia Elétrica - SNPTEE*, 2022.
- [9] A. L. Diniz, L. C. F. Sousa, M. E. Maceira, S. P. Romero, F. S. Costa, C. A. Sagastizabal e A. Belloni, “Estratégia de representação DC da rede elétrica no modelo de despacho da operação energética – DESSEM,” em *VIII SEPOPE – Symposium of Specialists in Electric Operational and Expansion Planning*, Brasília, 2002.
- [10] “T. N. Santos, A. L. Diniz, “A Dynamic Piecewise Linear Model for DC Transmission Losses in Optimal Scheduling Problems”,” *IEEE Transactions on Power Systems*, vol. 26, nº 2, pp. 508-519, May 2011.
- [11] T. Santos, A. Diniz, R. Cabral e L. F. E. Cerqueira, “Consideração de restrições de segurança da rede elétrica no modelo DESSEM,” Relatório Técnico CEPEL 6691/2019, 2019.

- [12] C. Saboia, T. Santos e A. L. Diniz, “Consideração de Restrições de unit commitment no Modelo Dessem por programação linear inteira-mista (MILP), com representação de trajetórias de partida e parada e modelagem de usinas térmicas e ciclo combinado,” Relatório Técnico CEPEL 6695/19, 2019.
- [13] A. L. Diniz, L. F. Cerqueira e C. H. Saboia, “Proposta de modelagem das restrições de unit commitment hidráulico e curvas de eficiência para o modelo DESSEM,” Relatório Técnico CEPEL 999/2022, 2022.
- [14] L. F. Cerqueira, C. H. Sabóia e A. L. Diniz, “Consideração da modelagem do unit commitment hidráulico na programação diária da operação”, XXVII SNPTEE -,” em XXVII SNPTEE, *Seminário Nacional de Produção e Transmissão de Energia Elétrica*, Brasília, 2023.
- [15] A. L. Diniz e M. E. Maceira, “A Four-Dimensional Model of Hydro Generation for the Short-Term Hydrothermal Dispatch Problem Considering Head and Spillage Effects,” *IEEE Transactions on Power Systems*, vol. 23, nº 3, pp. 1298-1308, 2008.
- [16] A. L. Diniz, L. A. Terry, L. C. F. Sousa e M. E. P. Maceira, “Modelagem da função de produção das usinas hidroelétricas no modelo DESSEM,” Relatório Técnico CEPEL 926/05, revisão 2, Jan. 2010.
- [17] L. C. Brandão, J. F. Pessanha, L. S. Khenafys, A. L. Diniz, R. J. C. Pereira e C. A. Araujo Jr, “A Data-Driven Representation of Aggregate Efficiency Curves of Hydro Units for the Mid-Term Hydrothermal Coordination Problem,” *Electric Power Systems Research*, vol. 212, p. 108511, 2022.
- [18] A. L. Diniz e T. M. Souza, “Short-Term Hydrothermal Dispatch with River-Level and Routing Constraints,” *IEEE Transactions on Power Systems*, vol. 29, nº 5, pp. 2427-2435, 2014.
- [19] T. Santos, C. Boas, F. Mourão e A. Diniz, “Restrições de metas semanais na política de operação do sistema elétrico brasileiro,” em XII SEPOPE - *Symposium of Specialists in Electric Operational and Expansion Planning*, Rio de Janeiro, 2012.
- [20] A. L. Diniz, T. N. Santos e M. E. P. Maceira, “Short term security constrained hydrothermal scheduling for large scale systems considering transmission losses,” em *IEEE/PES Transm. Distr. Conf. Expos. Latin America*, Caracas, Venezuela, Jun. 2006, 2006.
- [21] T. N. Santos e A. L. Diniz, “A New Multiperiod Stage Definition for the Multistage Benders Decomposition Approach Applied to Hydrothermal Scheduling,” *IEEE Transactions on Power Systems*, vol. 24, nº 3, pp. 1383-1392, 2009.
- [22] T. N. Santos e A. L. Diniz, “Feasibility and optimality cuts for the multi-stage Benders decomposition approach: application to the network constrained hydrothermal scheduling,” em *2009 IEEE PES General Meeting*, Calgary, Canada, 2009.
- [23] CEPEL, Centro de Pesquisas de Energia Elétrica, , “Manual do Usuário do programa DECODESS – Conversor de dados entre os modelos DECOMP e DESSEM,” versão 8.4, Abril/2020.

- [24] A. L. Diniz e T. N. Santos, “Simulação da operação hidroelétrica de usinas hidroelétricas em cascata - programa SIMHIDR,” Relatório Técnico 14079/07, CEPEL - Centro de Pesquisas de Energia Elétrica, 2007.
- [25] M. Ennes, T. Santos e A. Diniz, “Estratégia de decomposição do problema de simulação hidráulica (modelo SIMHIDR) por bacias,” Relatório Técnico DP/DEA -15008, 2010.
- [26] L. Kirchmayer, “Economic Operation of Power Systems,” , John Wiley & Sons, New York, 1959.
- [27] A. W. B. Wood, "Power Generation Operation and Control", 2nd Edition ed., John Wiley and Sons, 1996.
- [28] B. F. Hobbs, M. H. Rothkopf, R. P. O’Neil e H. Chao, The next generation of electric power unit commitment models, Kluwer Academic Publishers, Massachusetts, 2001.
- [29] F. Noakes e A. Arismunandar, “Bibliography on optimum operation of power systems: 1919-1959,” *AIEE Transactions, pt III (Power Apparatus and Systems)*, vol. 81, pp. 864-871, Feb 1963.
- [30] A. I. Cohen e V. R. Sherkat, “Optimization-based methods for operations scheduling,” *Proceedings of the IEEE*, vol. 75, nº 12, pp. 1574-1590, Dec 1987.
- [31] G. B. Sheble e G. N. Fahd, “Unit commitment literature synopsis,” *IEEE Transactions on Power Systems*, vol. 9, nº 1, pp. 128-135, 1994.
- [32] N. P. Padhy, “Unit commitment-a bibliographical survey,” *IEEE Transactions on Power Systems*, vol. 19, nº 2, pp. 1196-1205, May 2004.
- [33] A. L. Diniz, “Uma estratégia de decomposição por relaxação lagrangeana para a otimização da programação diária da operação de sistemas hidrotérmicos com modelagem detalhada da rede elétrica – aplicação ao sistema brasileiro,” Tese de Doutorado, COPPE – Programa de Engenharia de Sistemas, Rio de Janeiro, 2007.
- [34] R. D. C. Taktak, “An overview on mathematical programming approaches for the deterministic unit commitment problem in hydro valleys,” *Energy Systems*, vol. 8, nº 1, pp. 57-79, Feb. 2017.
- [35] W. Van Ackooij, I. D. Lopez, A. Frangioni, F. Lacalandra, M. Tahanan, “Large-scale unit commitment under uncertainty: an updated literature survey,” *Annals of Operations Research*, vol. 271, nº 1, pp. 11-85, 2018.
- [36] L. M. Costa, A. L. Diniz e T. N. Santos, “Sensitivity analysis on different types of electrical network modeling for the network constrained hydrothermal scheduling problem,” em *XI SEPOPE –Symposium of Simposium of Specialists in Electric Operational and Expansion Planning*, Belém, Brazil, 2009.
- [37] J. L. F. Birge, Introduction to stochastic programming, 2nd Edition ed., Springer Series in OR, 2011.
- [38] A. .. Ben-Tal, L. El-Ghaouli e A. Nemirovski, Robust optimization, Princeton Series in Applied Mathematics, 2009.

- [39] CEPEL - Centro de Pesquisas de Energia Elétrica, “Manual do usuário do programa VENTOS,,” disponível em <https://www.cepel.br/produtos/documentacao-tecnica/>, 2018.
- [40] L. A. M. Fortunato, T. A. A. Neto, J. C. R. Albuquerque e M. V. F. Pereira, “Introdução ao planejamento da expansão e operação de sistemas de produção de energia elétrica”, Niterói: Universidade Federal Fluminense, EDUFF, 1990, Rio de Janeiro: EDUFF, 1990.
- [41] E. L. Silva, Formação de preços em mercados de energia elétrica, Ed. Sagra Luzatto, 2001.
- [42] M. E. Maceira, L. G. B. Marzano, D. D. J. Penna, A. L. Diniz e T. C. Justino, “Application of CVaR risk aversion approach in the expansion and operation planning and for setting the spot price in the Brazilian hydrothermal interconnected system,” *International Journal of Electrical Power and Energy Systems*, vol. 72, pp. 126-135, 2015.
- [43] S. Souza, F. Costa, L. Xavier, M. Maceira e J. Damázio, “PREVIVAZ – Improving Weekly Streamflow Time Series Forecasts with the Current Hydrologic State of the River Basin,” em *Advances in Statistical Hydrology International Workshop*, Taormina, Italy, 2010.
- [44] J. Colonese, “Uso de dados de precipitação em modelos de previsão de vazões diárias utilizados no planejamento da operação do sistema interligado nacional,” Dissertação de Mestrado. Programa de Engenharia Civil, COPPE/UFRJ, Rio de Janeiro, Brasil, 2016.
- [45] M. E. Maceira, R. R. Barboza, T. C. Justino, A. L. Diniz, C. B. Cruz e A. C. Melo, “Acoplamento entre os modelos de planejamento e programação da operação de sistemas hidrotérmicos interligados (NEWAVE e DESSEM) com a presença de fontes intermitentes,” em *XXVI SNPTEE - Seminário Nacional de Produção e Transmissão de Energia Elétrica*, 2022.
- [46] A. L. Diniz e T. N. Santos, “Modelagem do vertimento e desvio das usinas hidroelétricas nos modelos SIMHIDR e DESSEM-PAT,” Relatório Técnico CEPEL 2005/2011, 2011.
- [47] A. L. Diniz e T. N. Santos, “Consideração do tempo de viagem da água nos modelos SIMHIDR e DESSEM-PAT,” Relatório Técnico CEPEL 1006/11, 2011.
- [48] M. I. Ennes, A. L. Diniz e T. N. Santos, “Consideração da evaporação nos reservatórios nos modelos SIMHIDR E DESSEM-PAT,” Relatório Técnico CEPEL DP/DEA 14047/10, Rio De Janeiro, 2010.
- [49] ONS - Operador Nacional do Sistema Elétrico, “Revisão dos polinômios nível de jusante x vazão defluente conforme metodologia estabelecida pelo GTDP,” Nota Técnica 0135/2018, 2018.
- [50] L. d. S. Khenayfis, “Proposta de nova metodologia para determinação das relações vazão-cota de jusante em aproveitamentos hidrelétricos brasileiros,” Trabalho de Conclusão do Curso de Graduação em Engenharia Elétrica, 2017.
- [51] L. C. Brandão, A. L. Diniz e P. T. M. Lira, “Consideração da influência de vazões naturais às usinas hidroelétricas no cálculo da altura de jusante e função de produção,” 2021.

- [52] A. L. Diniz e T. N. Santos, “Consideração das Restrições de Controle de Nível na Estação Fluviométrica da Régua 11 na Programação da Operação do Sistema Elétrico Brasileiro,” em *XVII Simpósio Brasileiro de Recursos Hídricos*, São Paulo, 2007.
- [53] ONS - Operador Nacional do Sistema Elétrico, “Revisão dos dados cadastrais utilizados para o cálculo de produtividade de usinas hidroelétricas,” Relatório Técnico 0103/2019, 2019.
- [54] L. C. Brandão, A. L. Diniz, J. F. Pessanha e P. T. M. Lira, “Metodologia orientada por dados para a modelagem da produtividade e perdas variáveis das usinas hidrelétricas nos modelos de otimização energética - aplicação ao modelo DECOMP,” Relatório Técnico CEPEL 995/2022, Rio De Janeiro, 2022.
- [55] C. Liu, S. M. Shahidehpour, Z. Li e M. Fotuhi-Firuzabad, “Component and mode models for the short-term scheduling of combined-cycle units,” *IEEE Transactions on Power Systems*, vol. 24, nº 2, pp. 976-990, 2009.
- [56] A. L. Diniz e M. E. Maceira, “Multi-lag Benders decomposition for power generation planning with nonanticipativity constraints on the dispatch of LNG thermal plants,” em *Stochastic Programming - Applications in Finance, Energy, Planning and Logistics.*, H. I. Gassmann e W. T. Ziemba, Eds., World Scientific, 2013.
- [57] A. L. Diniz, M. E. Maceira e M. P. Tcheou, “Proposta de Modelagem do Despacho das Usinas Térmicas à GNL nos Modelos DECOMP e NEWAVE,” Relatório Técnico CEPEL 36587/09, 2009.
- [58] M. E. Maceira, A. C. Melo, J. F. Pessanha, C. B. Cruz, V. A. Almeida e T. C. Justino, “Uma Abordagem para a Representação das Incertezas da Fonte de Geração Eólica no Planejamento da Operação de Longo e Médio Prazos-Modelo NEWAVE-Relatório Final,” Relatório Técnico CEPEL 3872/2021, 2021.
- [59] B. P. Cotia, C. L. Borges e A. L. Diniz, “Optimization of wind power generation to minimize operation costs in the daily scheduling of hydrothermal systems,” *International Journal of Electrical Power & Energy Systems*, vol. 113, pp. 539-548, 2019.
- [60] G. M. Longhi, *Resposta da demanda com deslocamento de carga na programação diária da operação: aplicação ao sistema elétrico brasileiro*,, Departamento de Energia Elétrica, Universidade Federal do Rio de Janeiro, 2022.
- [61] G. M. Longhi, C. L. T. Borges e A. L. Diniz, “Resposta da demanda com deslocamento da carga na programação diária da operação, aplicada ao sistema elétrico brasileiro,” em *XXVII SNPTEE - Seminário Nacional de Produção e Transmissão de Energia Elétrica, Brasil*, Brasília, 2023.
- [62] A. J. Monticelli, Fluxo de carga em redes de energia elétrica. E. Blucher, 1983, MONTICELLI, Alcir José., 1983.
- [63] R. V. Faria, A. R. Nunes, A. C. B. Sampaio, P. Neves, A. Silva, M. Silva, M. Silveira, J. M. F. Ferreira e I. J. S. Lourinho, “Utilização de regiões de segurança para a representação de limites elétricos baseados em inequações de fluxo em linhas de transmissão no modelo energético, sem

representação da rede,” em *XXVI SNPTEE – Seminário Nacional de Produção e Transmissão de Energia Elétrica*, Rio de Janeiro, 2022.

- [64] R. Cabral e A. L. Diniz, “Restrições hidráulicas de limite médio diário e semanal no modelo DESSEM,” Relatório Técnico, CEPEL - Centro de Pesquisas de Energia Elétrica, Disponível em "<http://www.cepel.br/produtos/otimizacao-energetica/documentacao-tecnica/>", 2025.
- [65] C. H. M. Saboia e A. L. Diniz, “A local branching approach for network-constrained thermal unit commitment problem under uncertainty,” em *19th Power Systems Computation Conference (PSCC)*, Genova, 2016.
- [66] R. E. Bixby e M. J. Saltzman, “Recovering an Optimal LP Basis from an Interior Point Solution,” *Operations Research Letters*, vol. 15, 1994.
- [67] K. PAN e Y. GUAN, “A polyhedral study of the integrated minimum-up/-down time and ramping polytope,” *arXiv preprint arXiv:1604.02184*, 2026.
- [68] J. e. a. Alemany, “Symmetry issues in mixed integer programming based Unit Commitment,” *International Journal of Electrical Power & Energy Systems*, 2014.
- [69] A. L. Diniz e T. N. Santos, “Consideração das Restrições de Controle de Nível na Estação Fluviométrica da Régua 11 na Programação da Operação do Sistema Elétrico Brasileiro,” em *XVII SBRH - Simpósio Brasileiro de Recursos Hídricos*, São Paulo, 2007.
- [70] A. L. Diniz, J. F. Pessanha, L. C. Brandão e .. P. T. M. Lira, “Metodologia orientada por dados para a modelagem da produtividade e perdas variáveis das usinas hidrelétricas nos modelos de otimização energética - aplicação ao modelo DECOMP,” Relatório Técnico CEPEL 995/2022, 2022.
- [71] A. L. Diniz e T. M. Souza, “Short-Term Hydrothermal Dispatch with River-Level and Routing Constraints,” *IEEE Transactions on Power Systems*, vol. 29, nº 5, pp. 2427-2435, 2014.
- [72] A. L. Diniz, M. E. P. Maceira, M. P. Tcheou, T. N. Santos, V. S. Duarte e D. D. J. Penna, “Hydrothermal Generation Planning with Time-Linking Constraints on the Dispatch of Liquefied Natural Gas (LNG) Thermal Plants,” em *17th PSCC - Power Systems Computation Conference*, Stockholm, 2011.